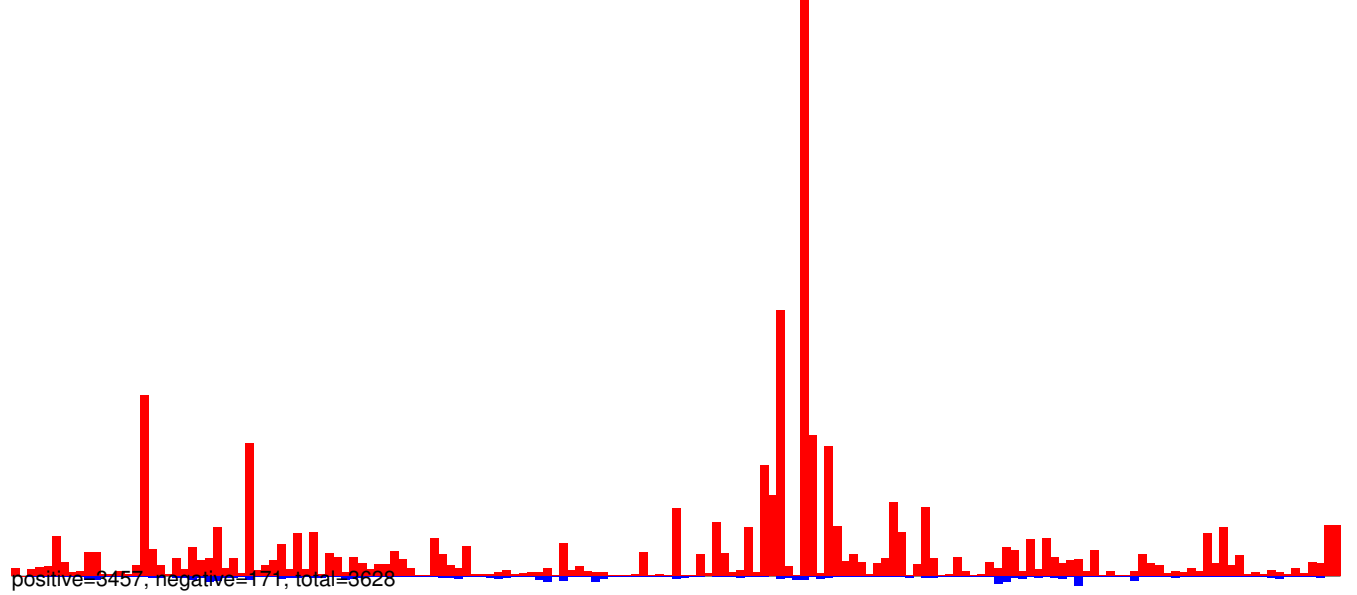
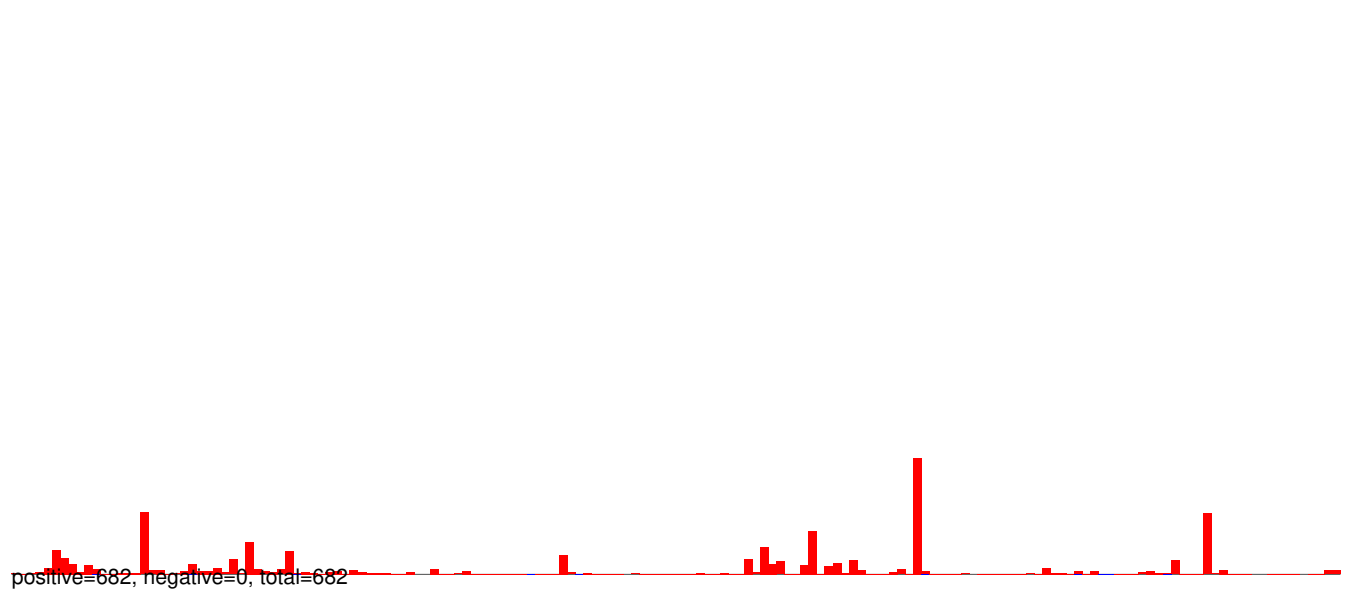


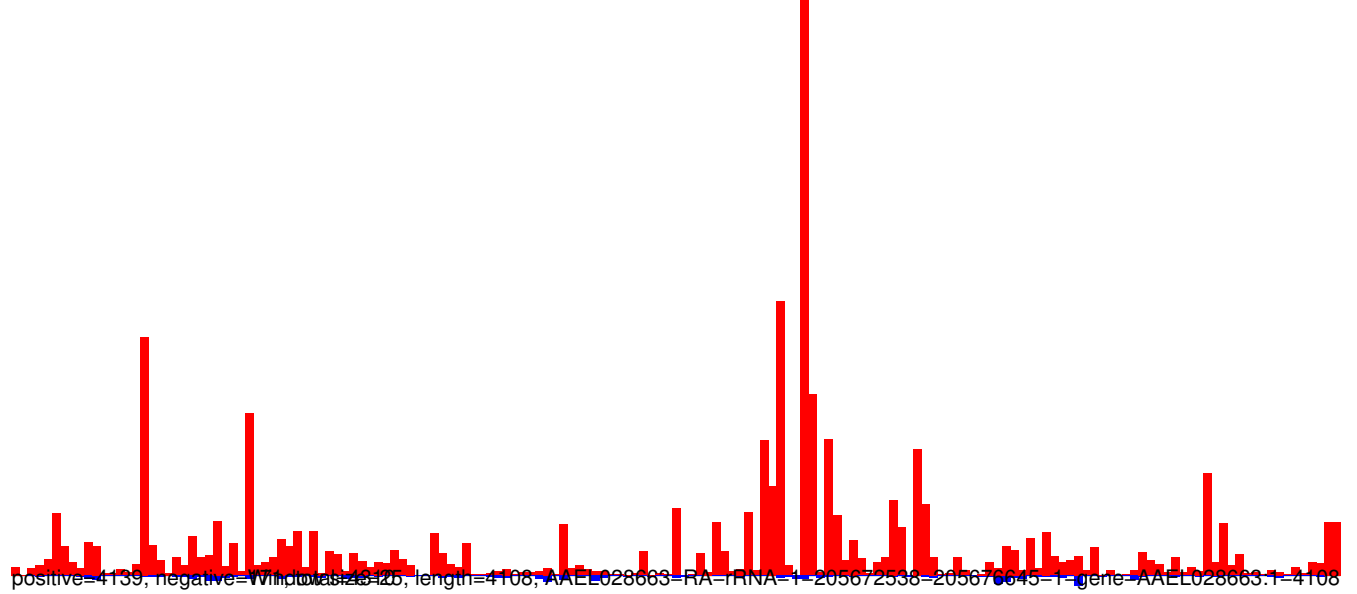
AeAeg_Aag2SINV_dsPiwi4.18_23.rep



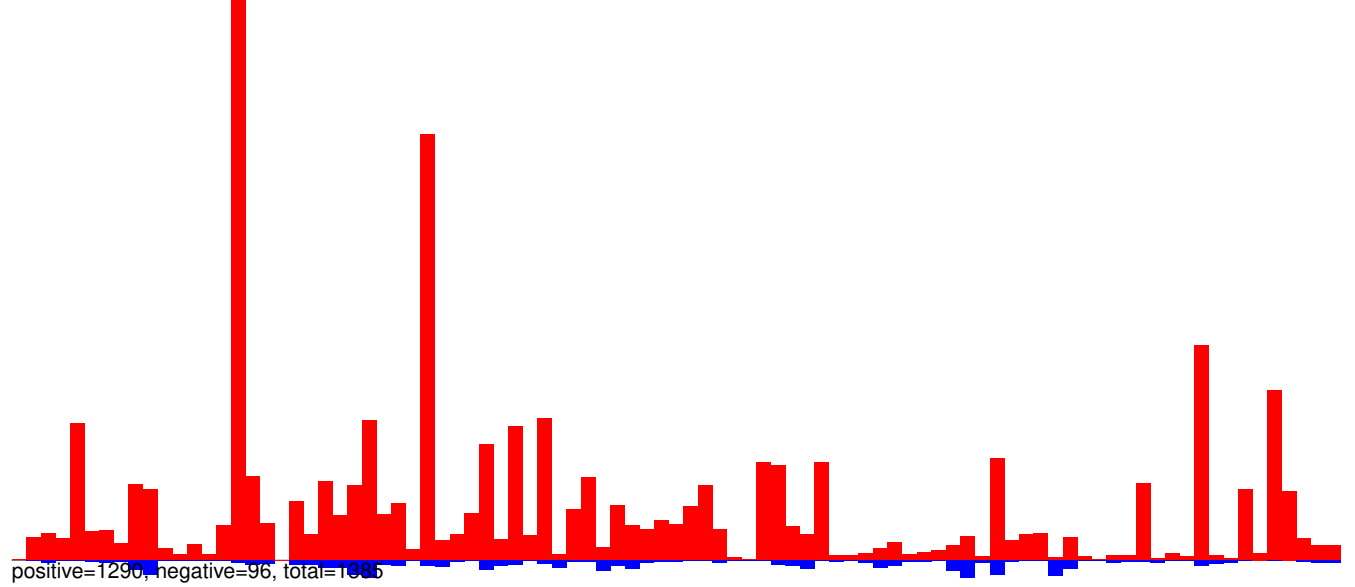
AeAeg_Aag2SINV_dsPiwi4.24_35.rep



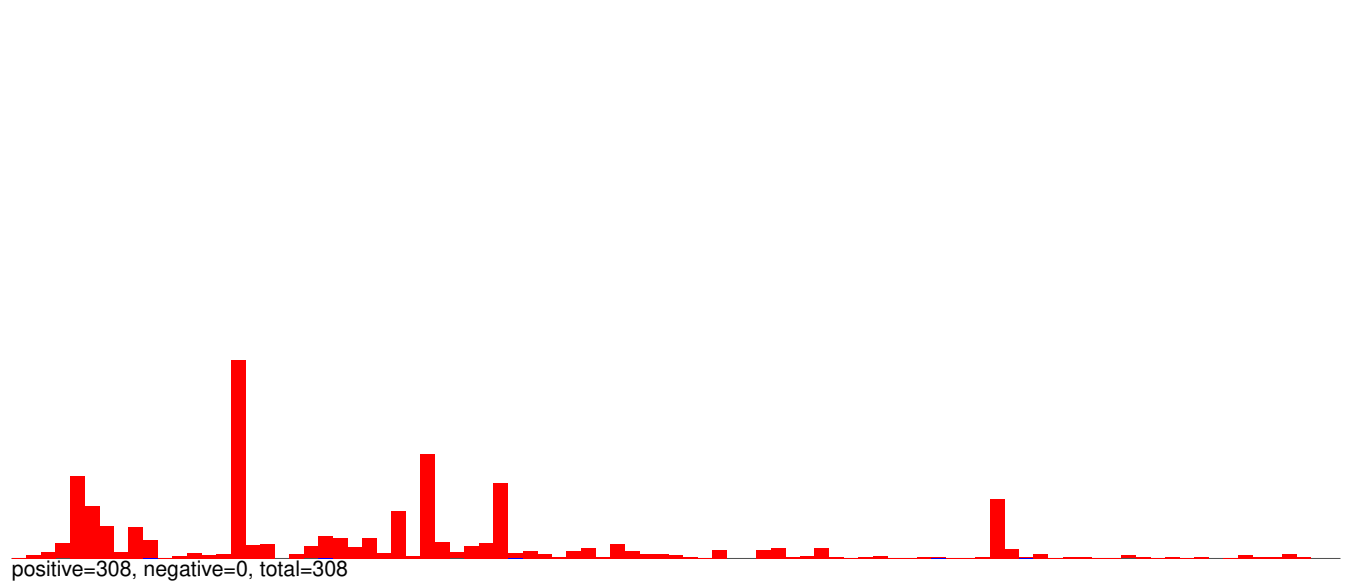
AeAeg_Aag2SINV_dsPiwi4.rep



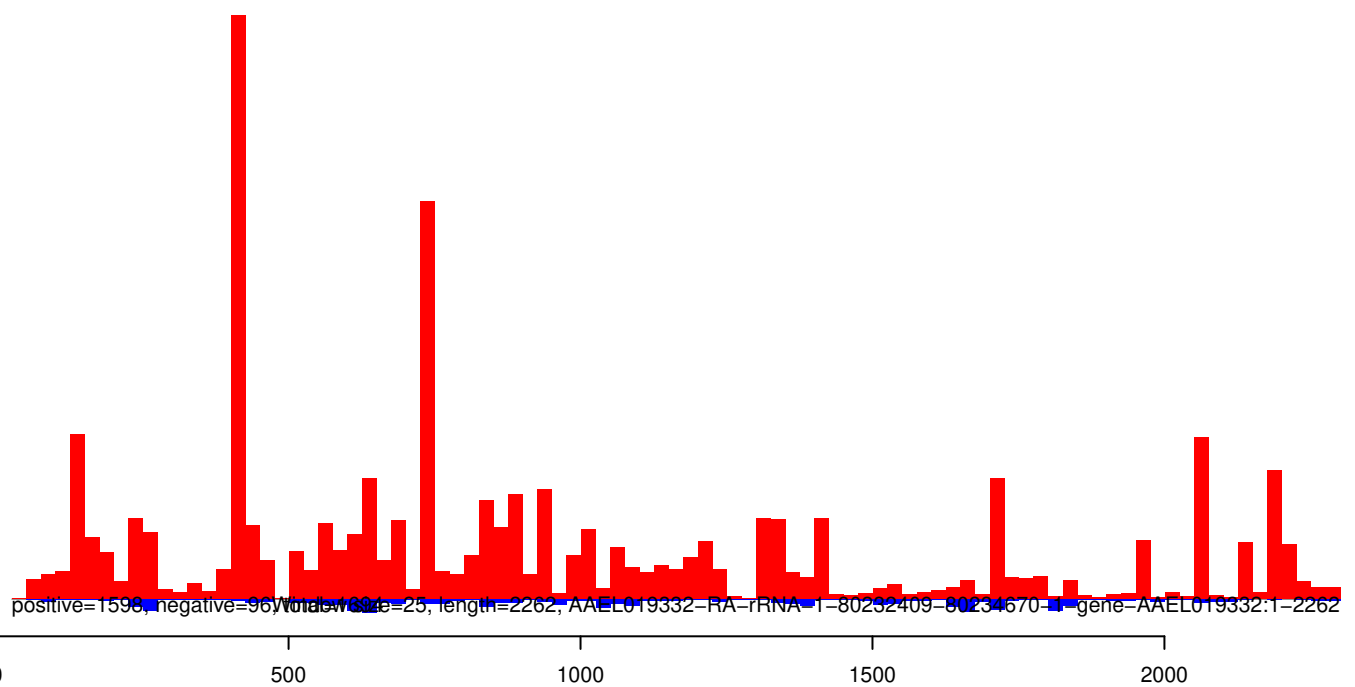
AeAeg_Aag2SINV_dsPiwi4.18_23.rep



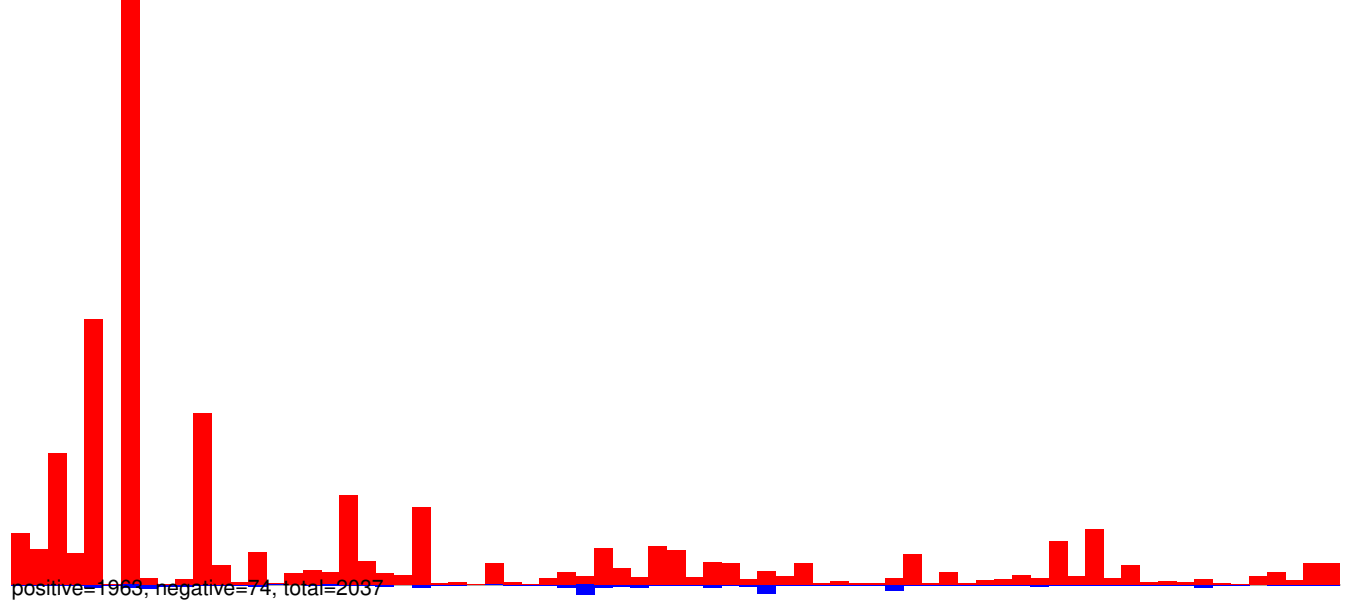
AeAeg_Aag2SINV_dsPiwi4.24_35.rep



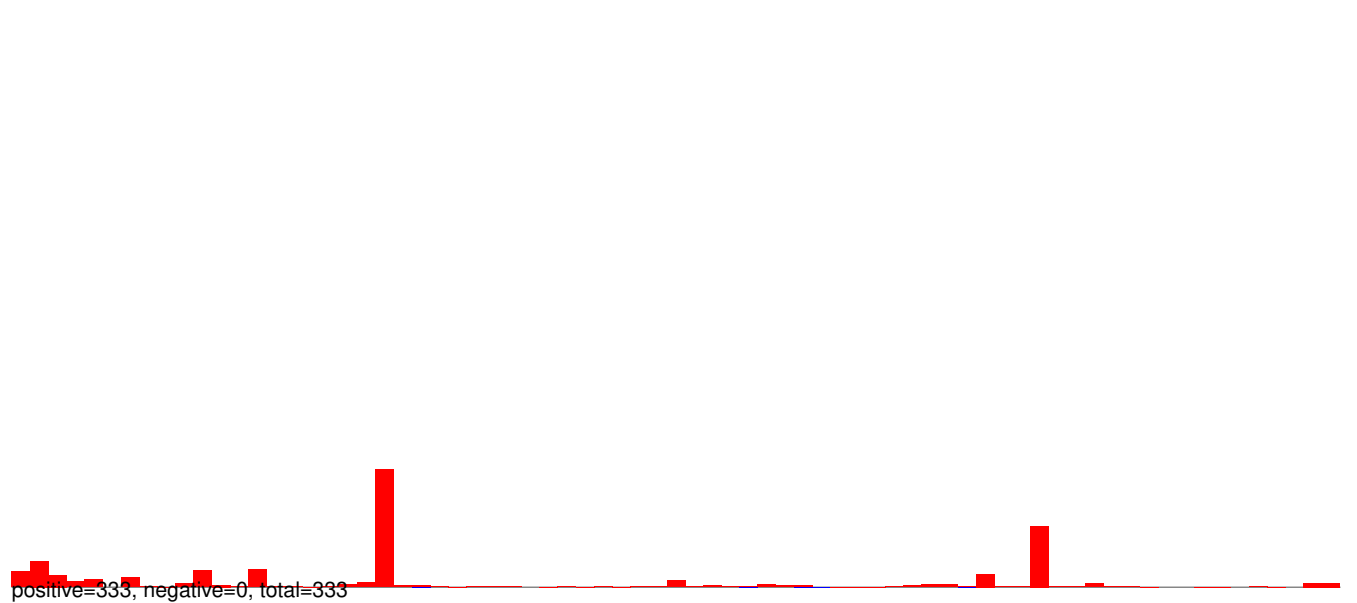
AeAeg_Aag2SINV_dsPiwi4.rep



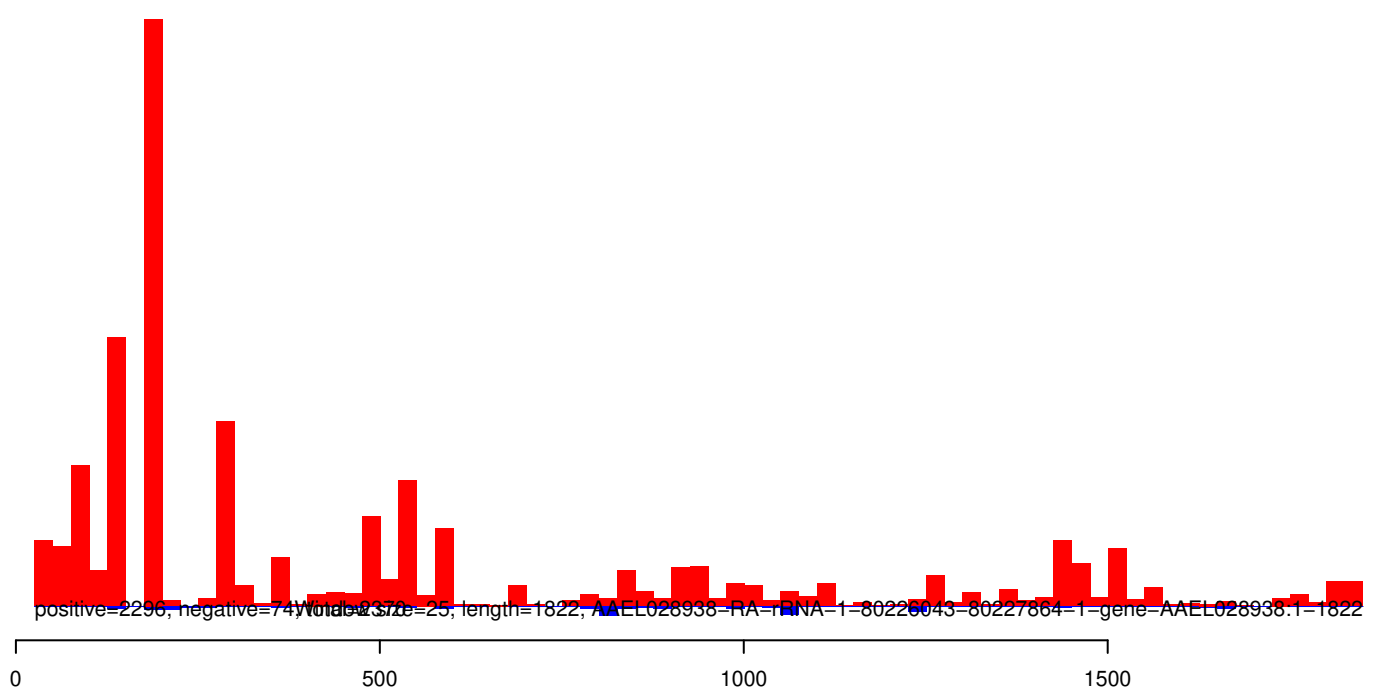
AeAeg_Aag2SINV_dsPiwi4.18_23.rep



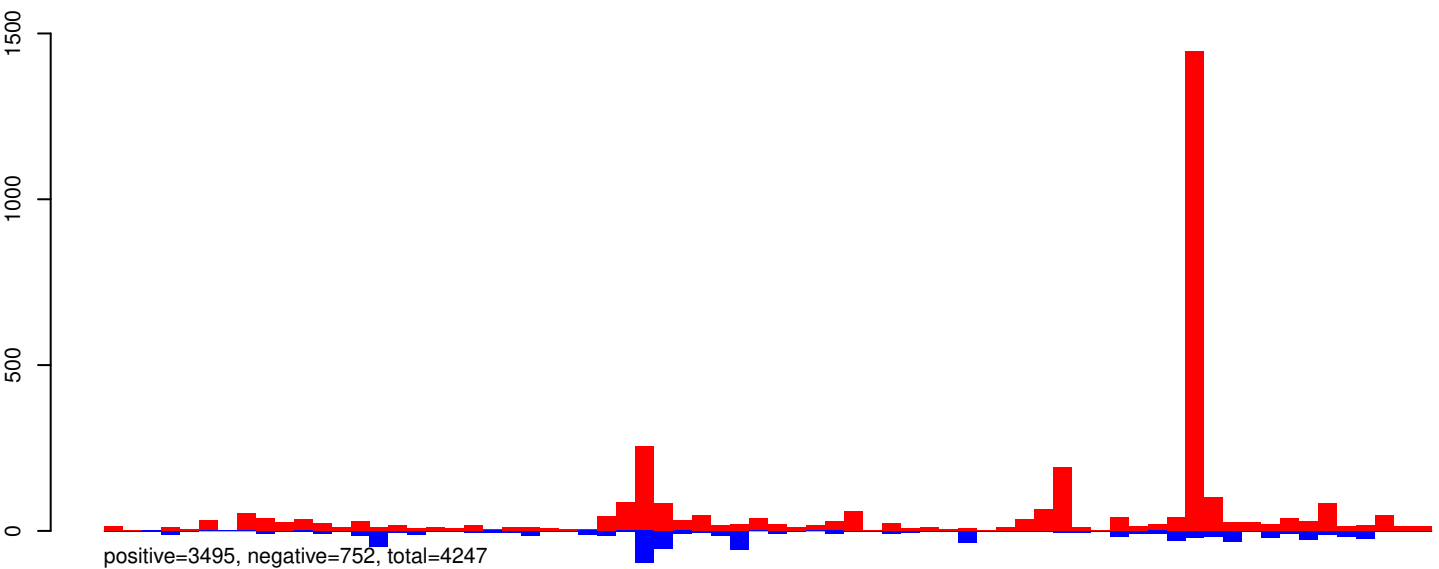
AeAeg_Aag2SINV_dsPiwi4.24_35.rep



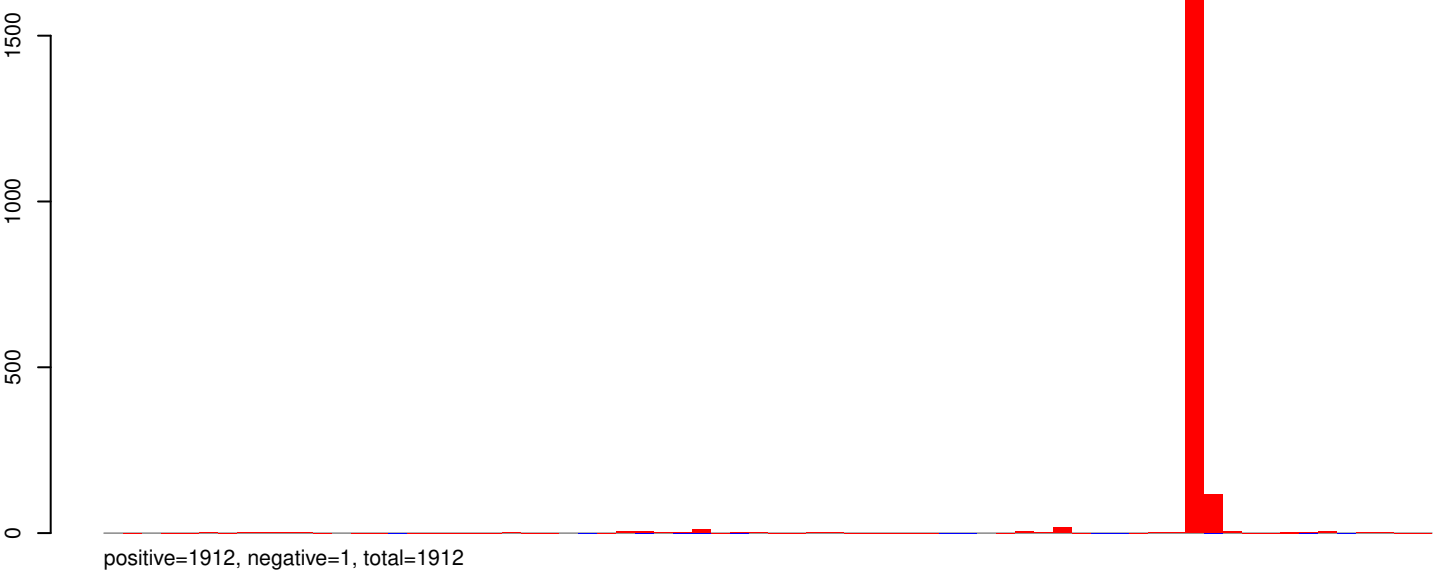
AeAeg_Aag2SINV_dsPiwi4.rep



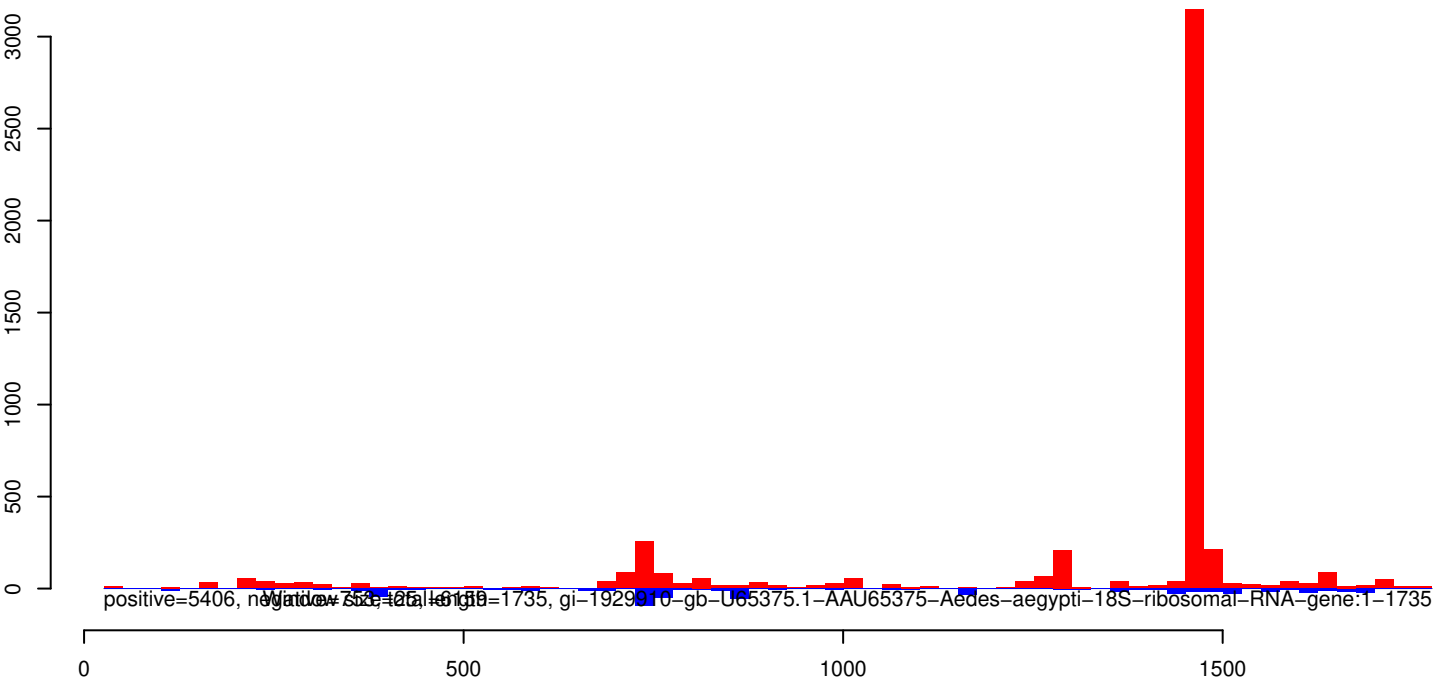
AeAeg_Aag2SINV_dsPiwi4.18_23.rep



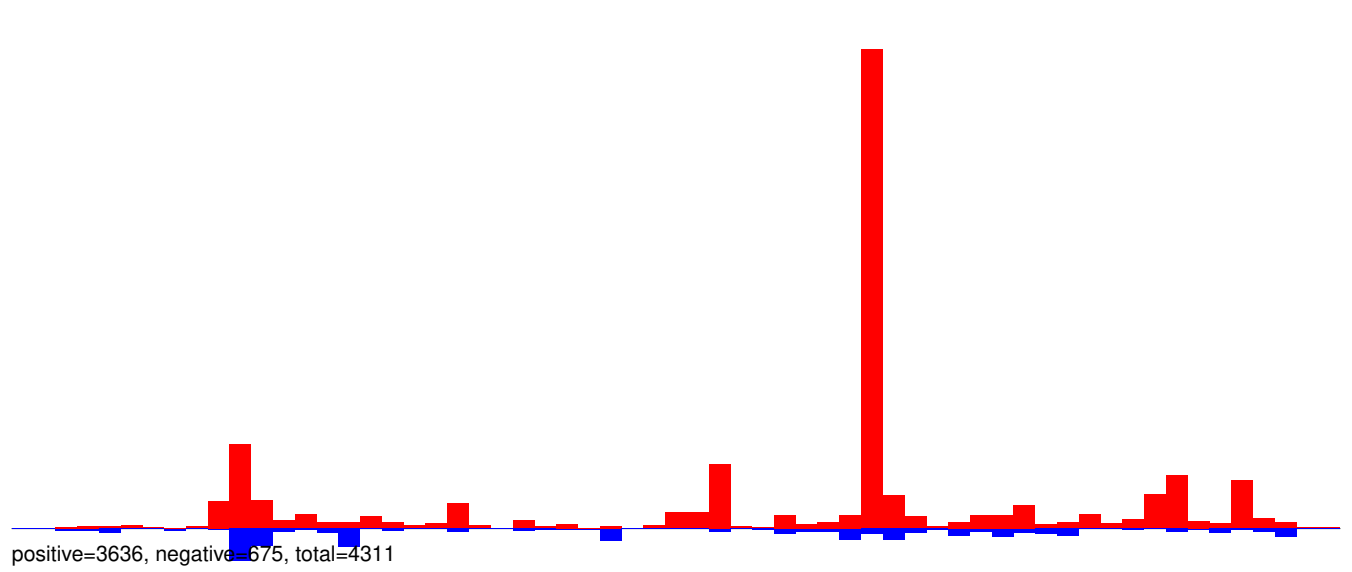
AeAeg_Aag2SINV_dsPiwi4.24_35.rep



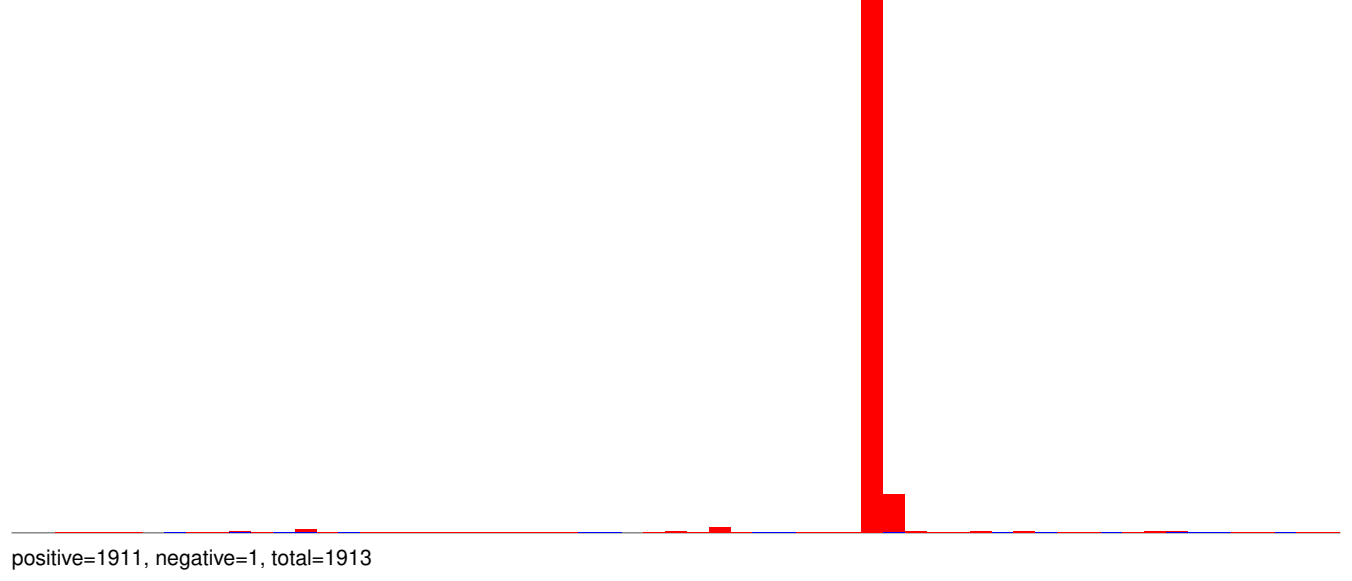
AeAeg_Aag2SINV_dsPiwi4.rep



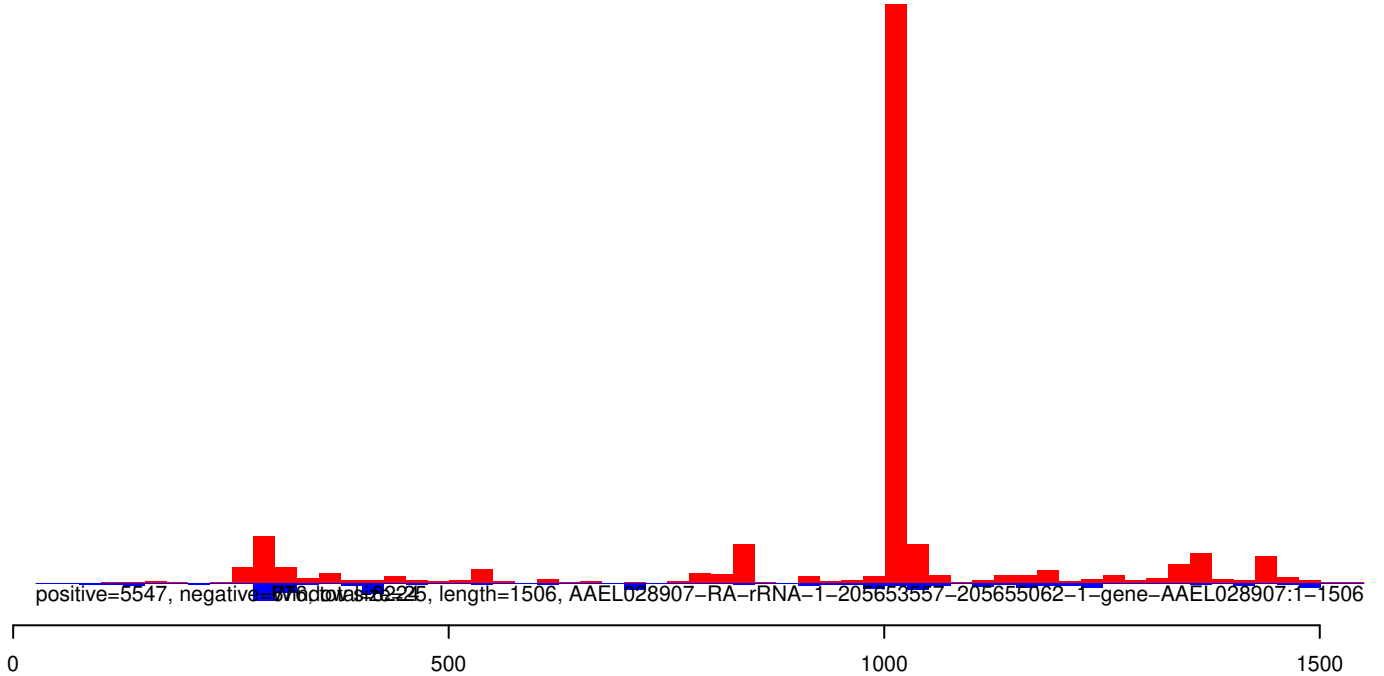
AeAeg_Aag2SINV_dsPiwi4.18_23.rep



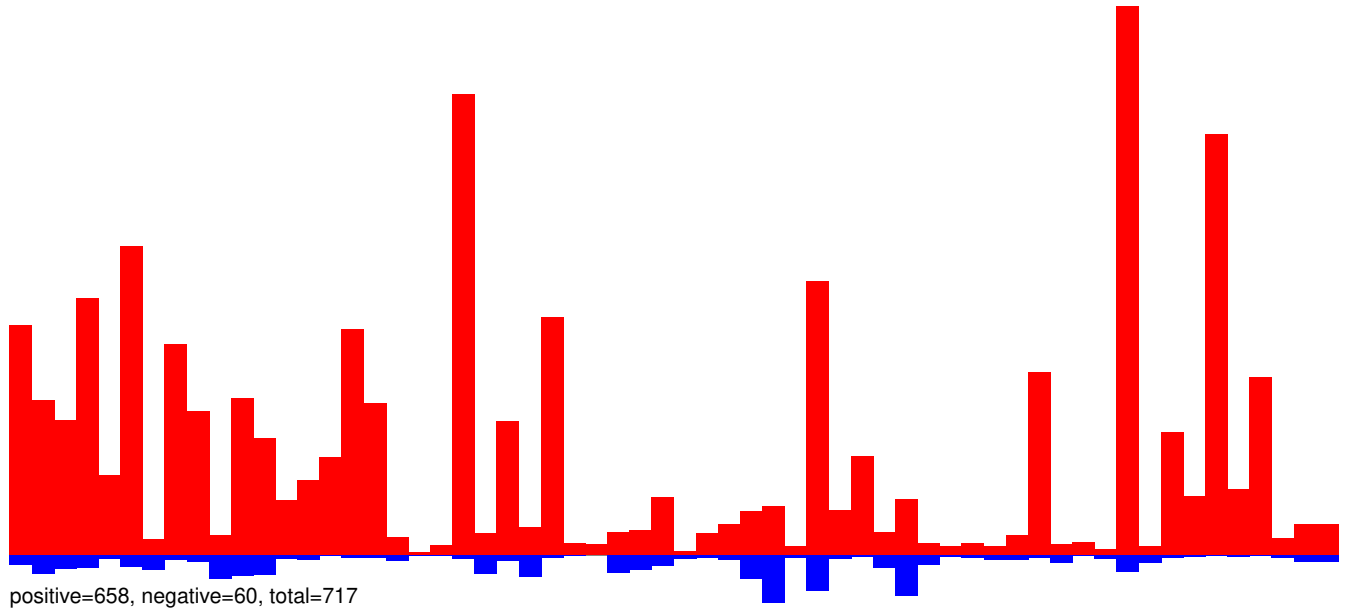
AeAeg_Aag2SINV_dsPiwi4.24_35.rep



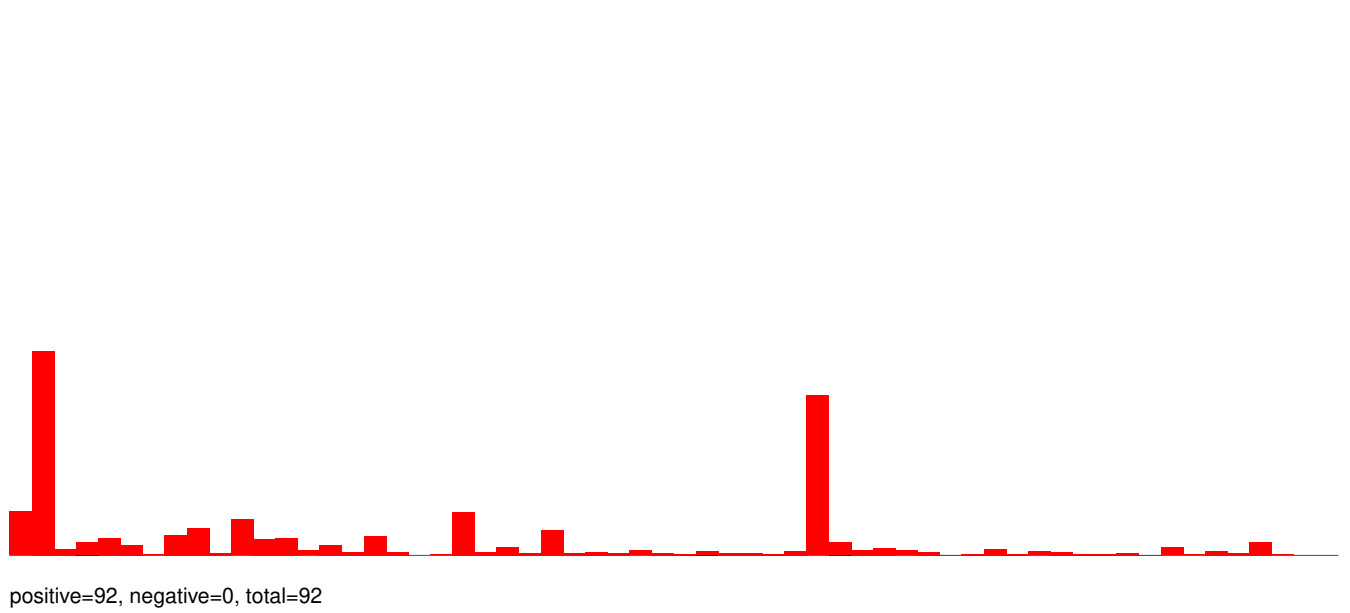
AeAeg_Aag2SINV_dsPiwi4.rep



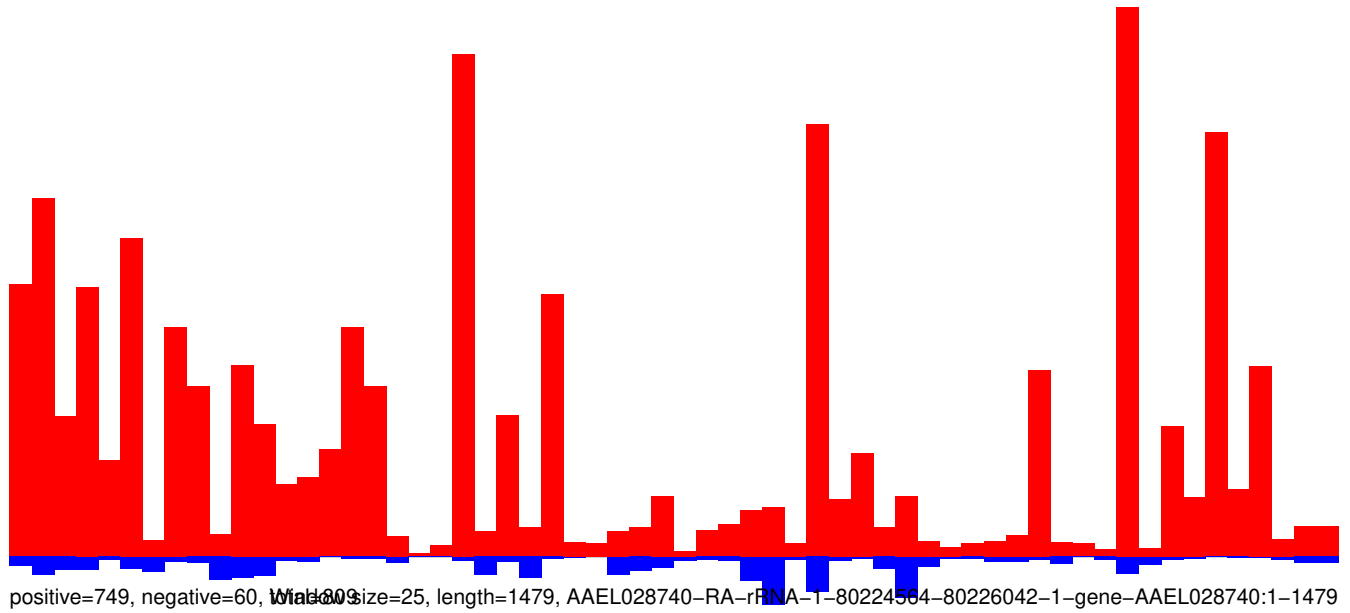
AeAeg_Aag2SINV_dsPiwi4.18_23.rep



AeAeg_Aag2SINV_dsPiwi4.24_35.rep

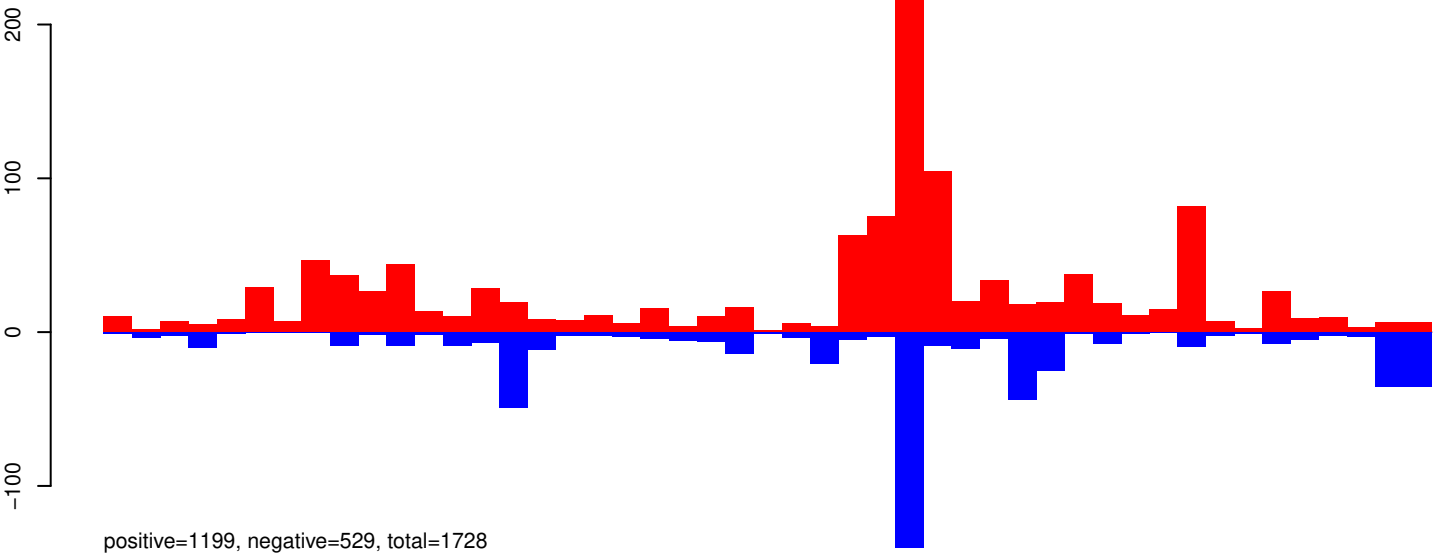


AeAeg_Aag2SINV_dsPiwi4.rep

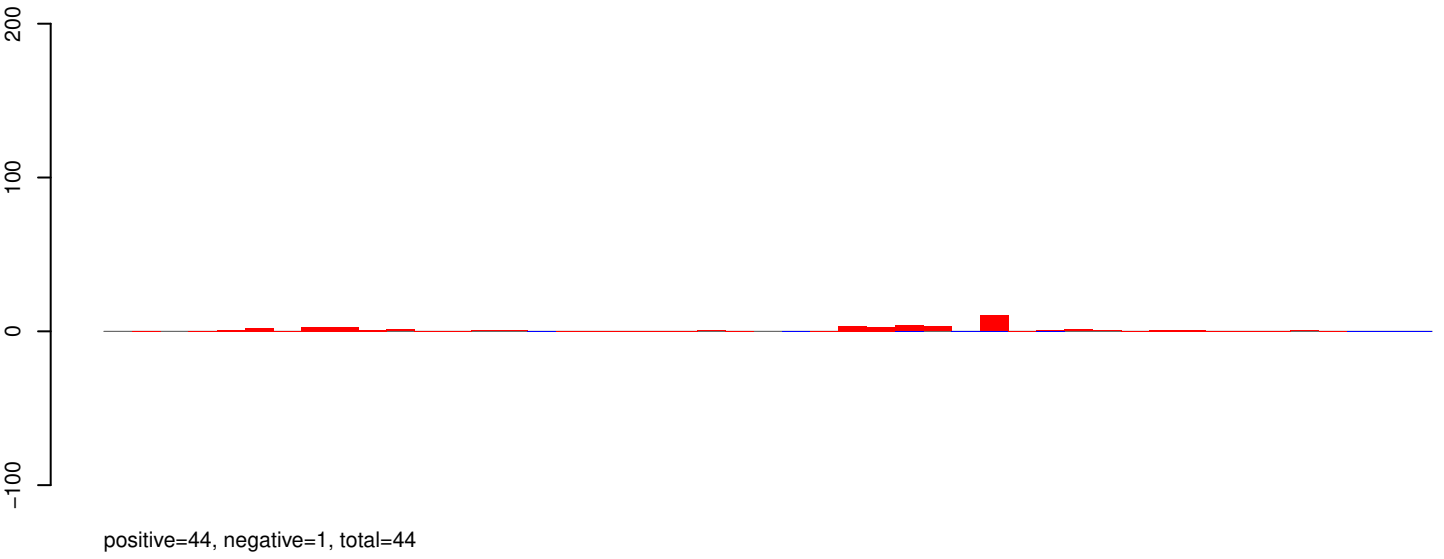


0 500 1000 1500

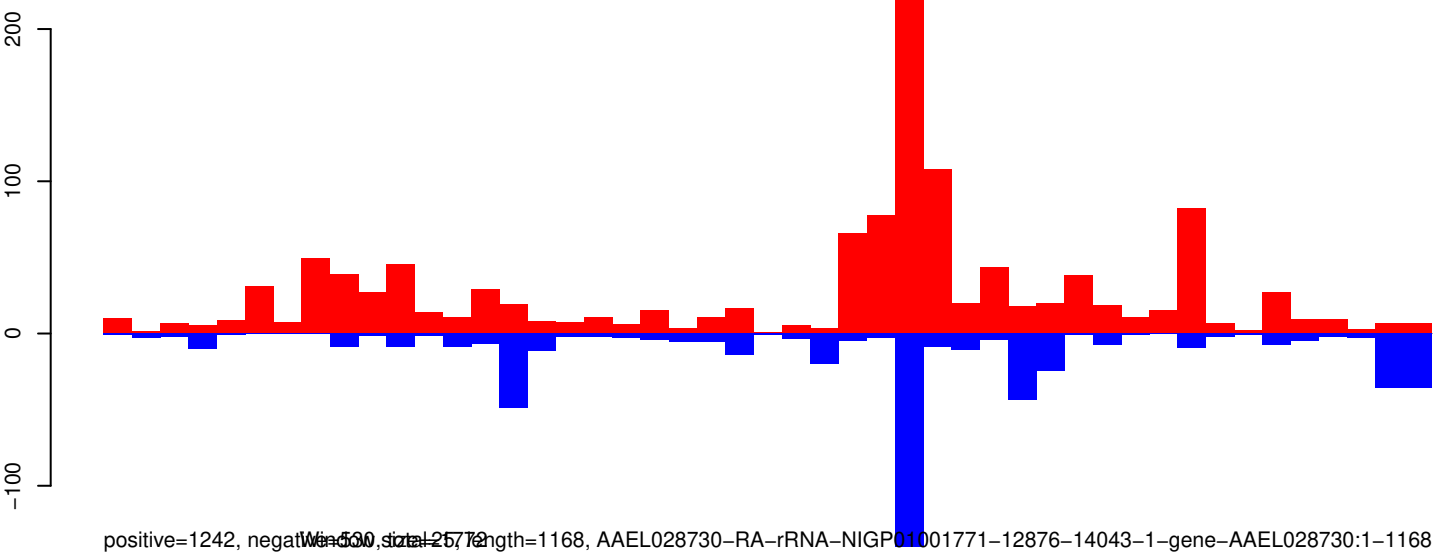
AeAeg_Aag2SINV_dsPiwi4.18_23.rep



AeAeg_Aag2SINV_dsPiwi4.24_35.rep

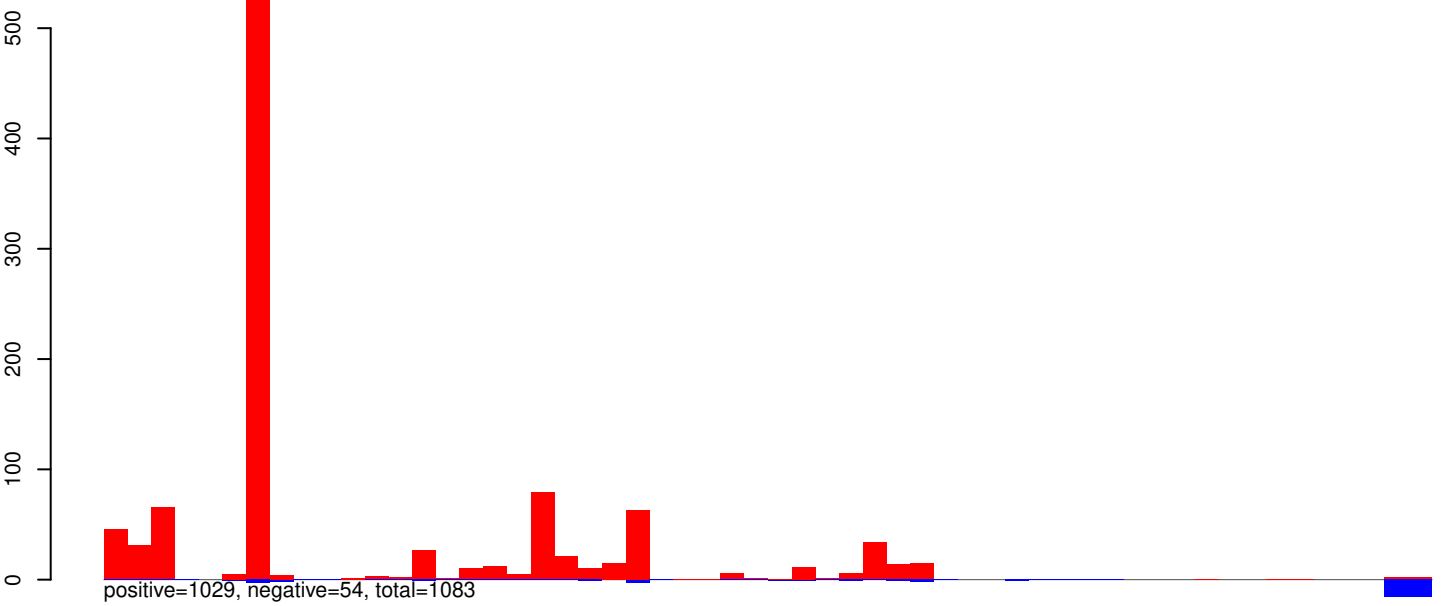


AeAeg_Aag2SINV_dsPiwi4.rep

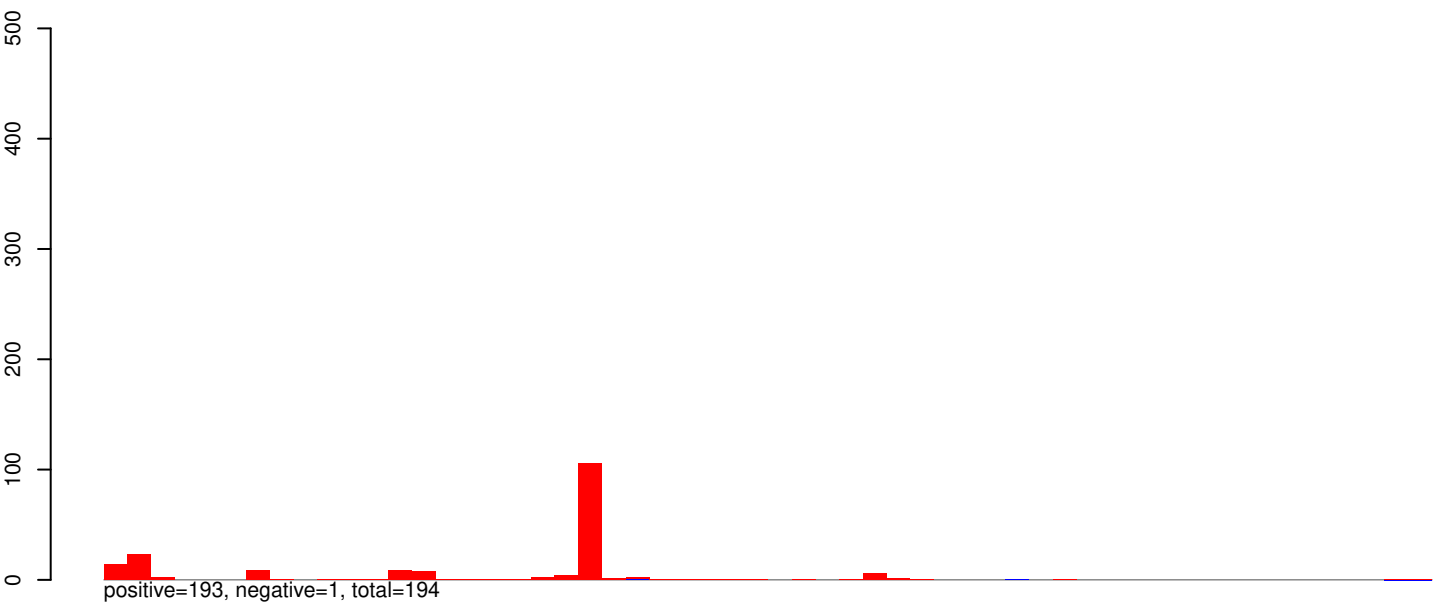


Window size=257, length=1168, AAEL028730-RA-rRNA-NIGP01001771-12876-14043-1-gene-AAEL028730:1-1168

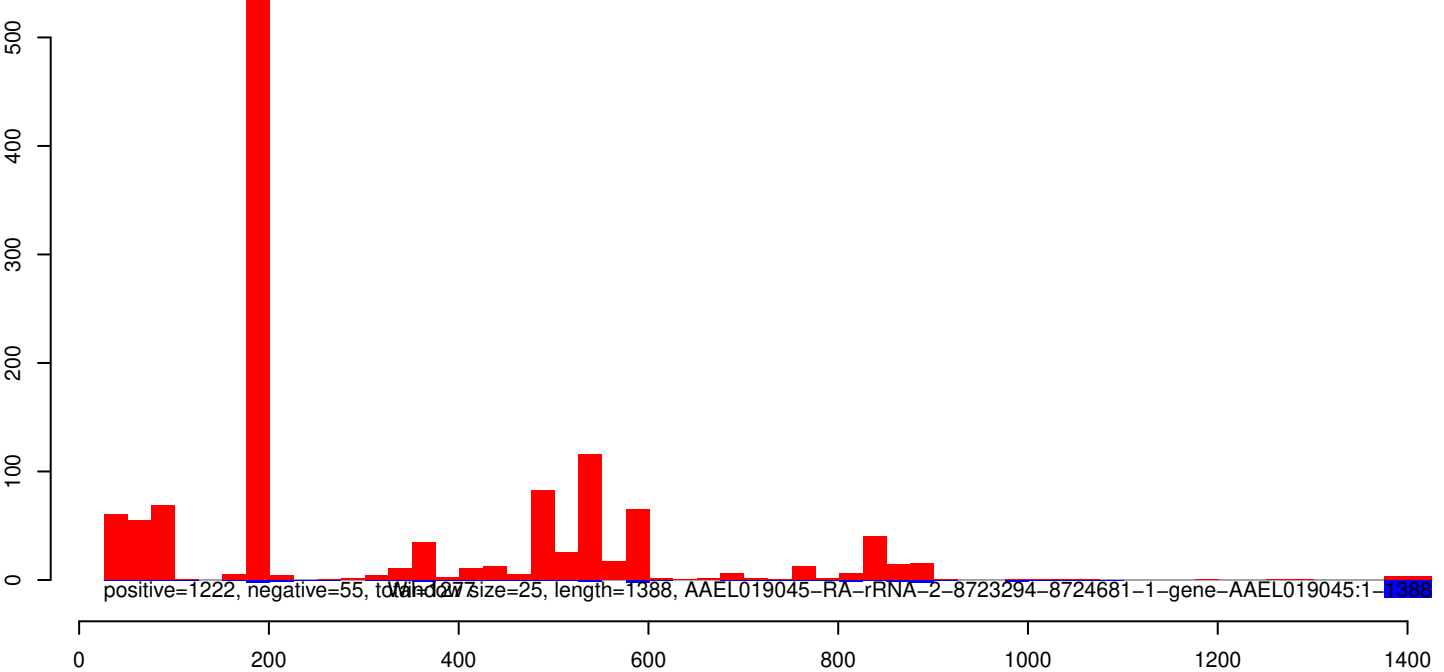
AeAeg_Aag2SINV_dsPiwi4.18_23.rep



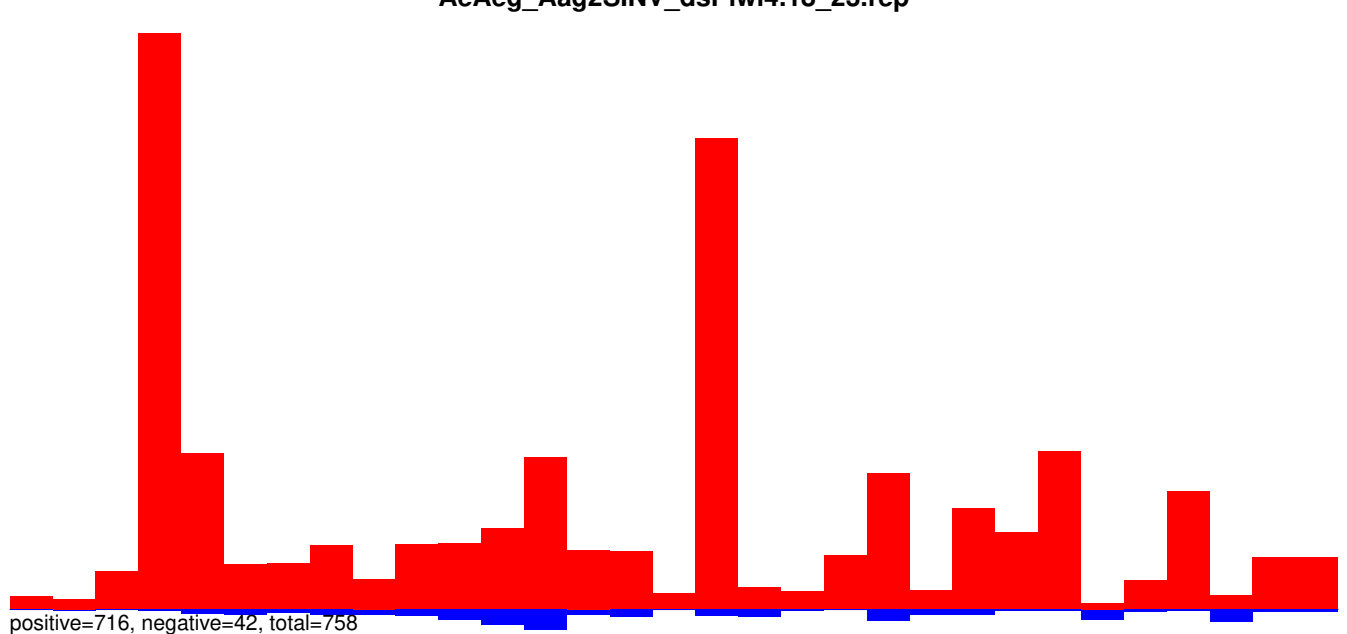
AeAeg_Aag2SINV_dsPiwi4.24_35.rep



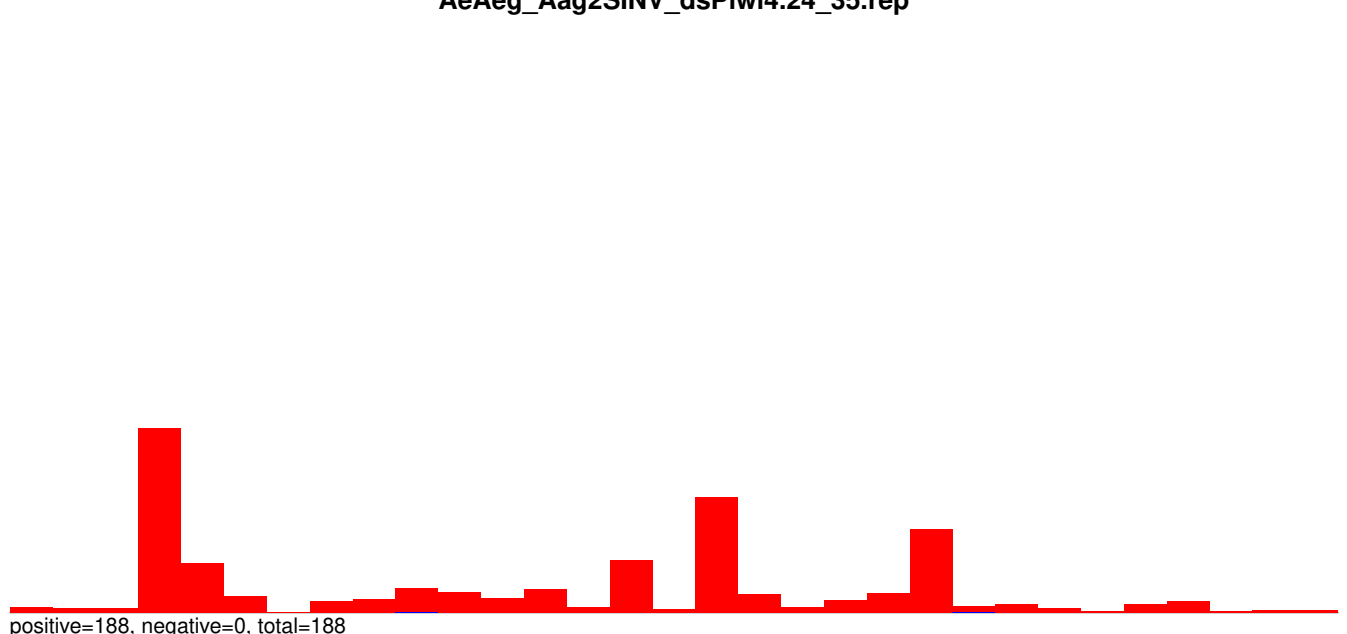
AeAeg_Aag2SINV_dsPiwi4.rep



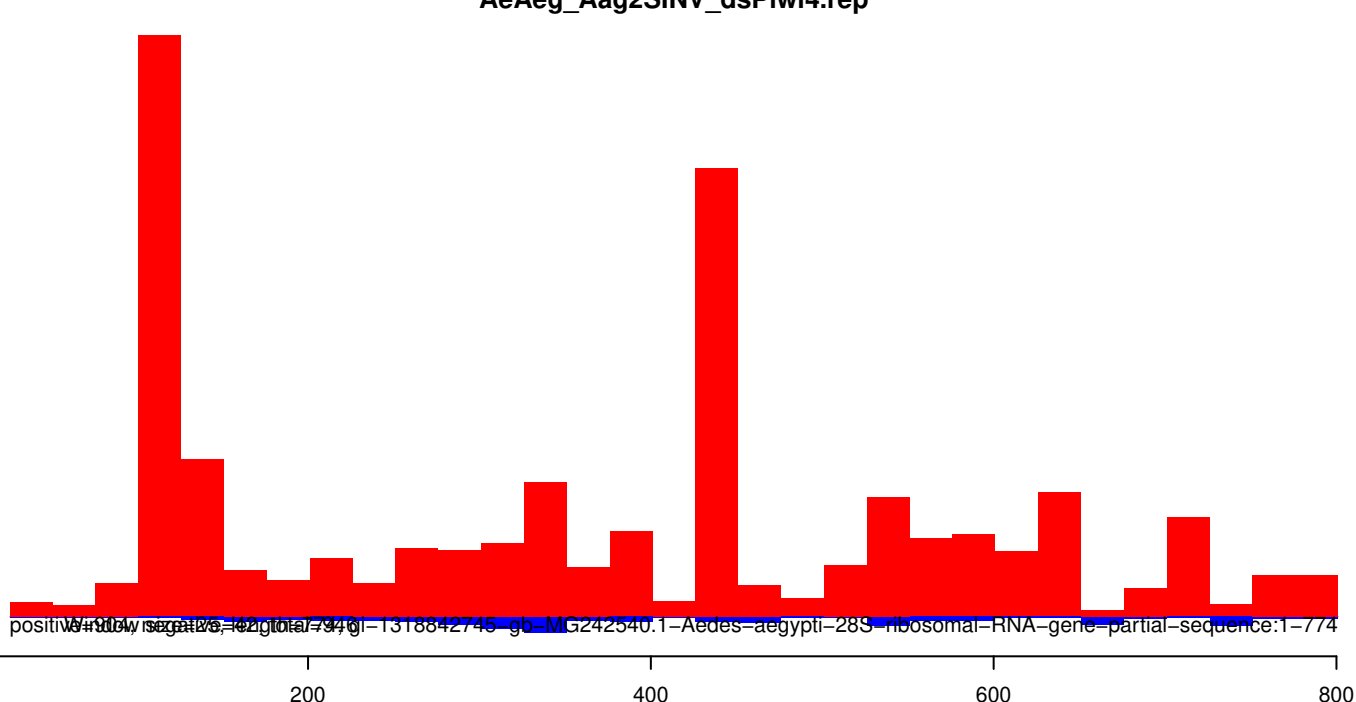
AeAeg_Aag2SINV_dsPiwi4.18_23.rep



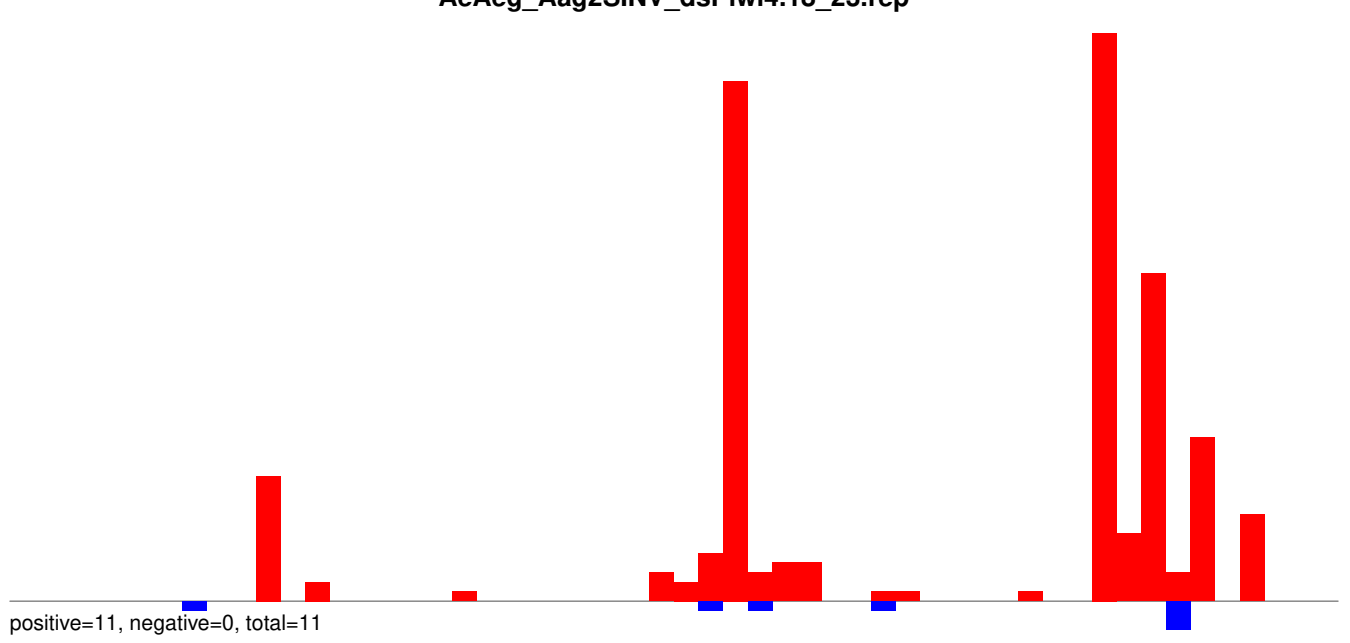
AeAeg_Aag2SINV_dsPiwi4.24_35.rep



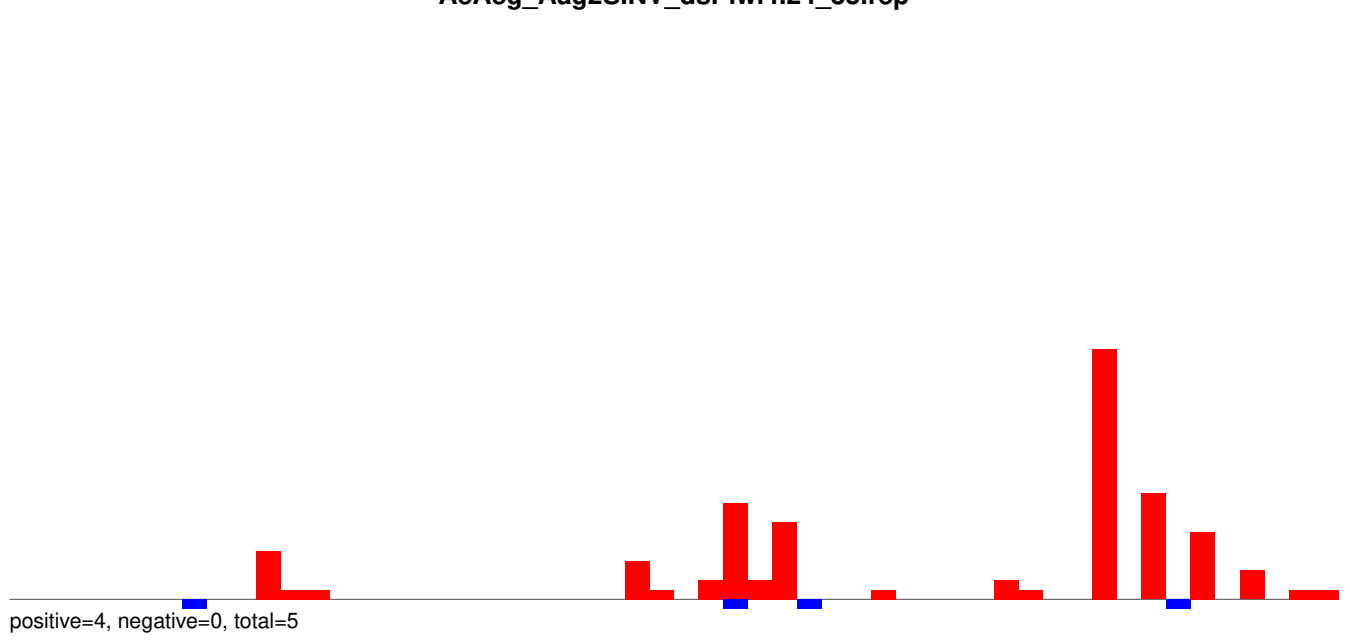
AeAeg_Aag2SINV_dsPiwi4.rep



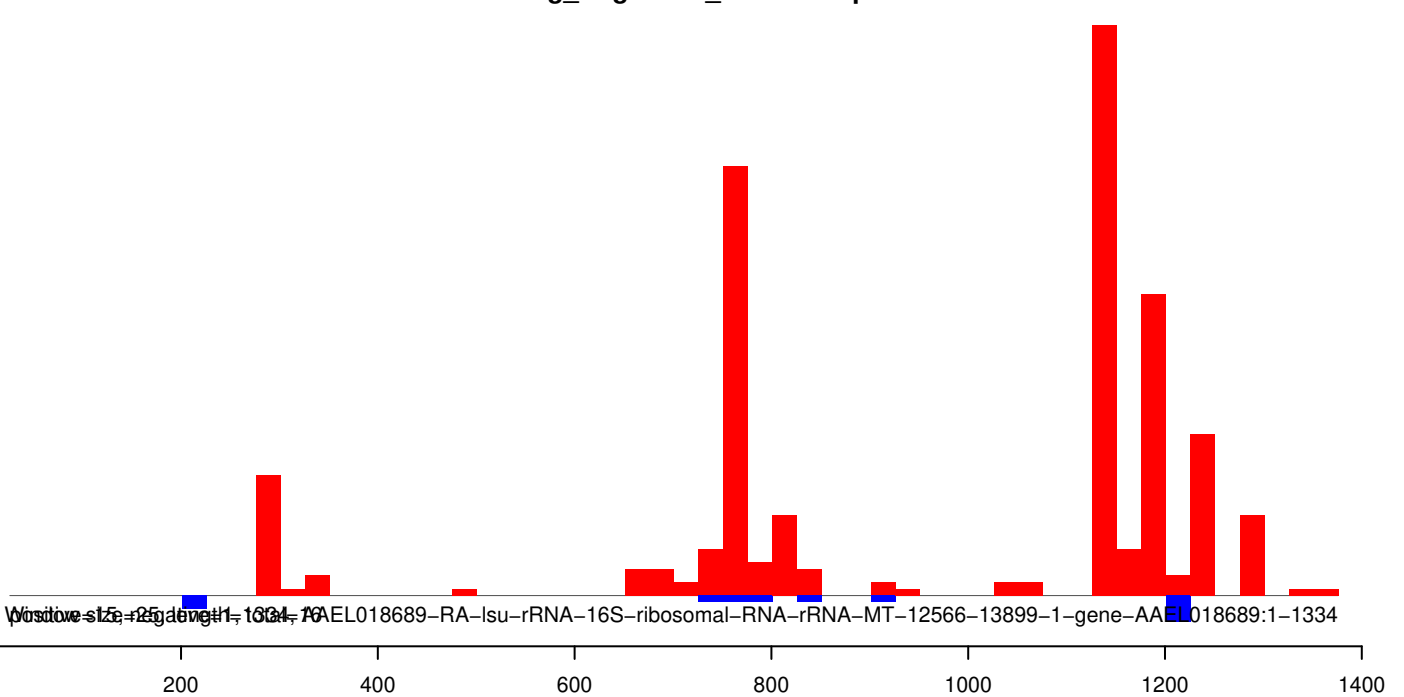
AeAeg_Aag2SINV_dsPiwi4.18_23.rep



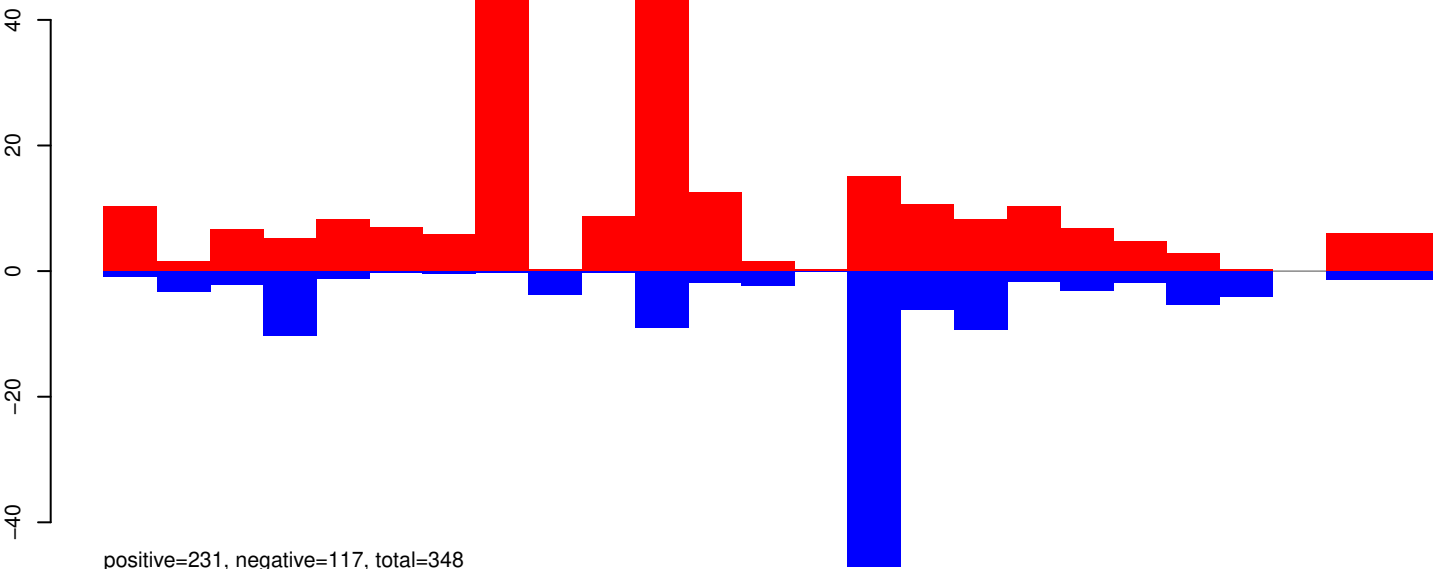
AeAeg_Aag2SINV_dsPiwi4.24_35.rep



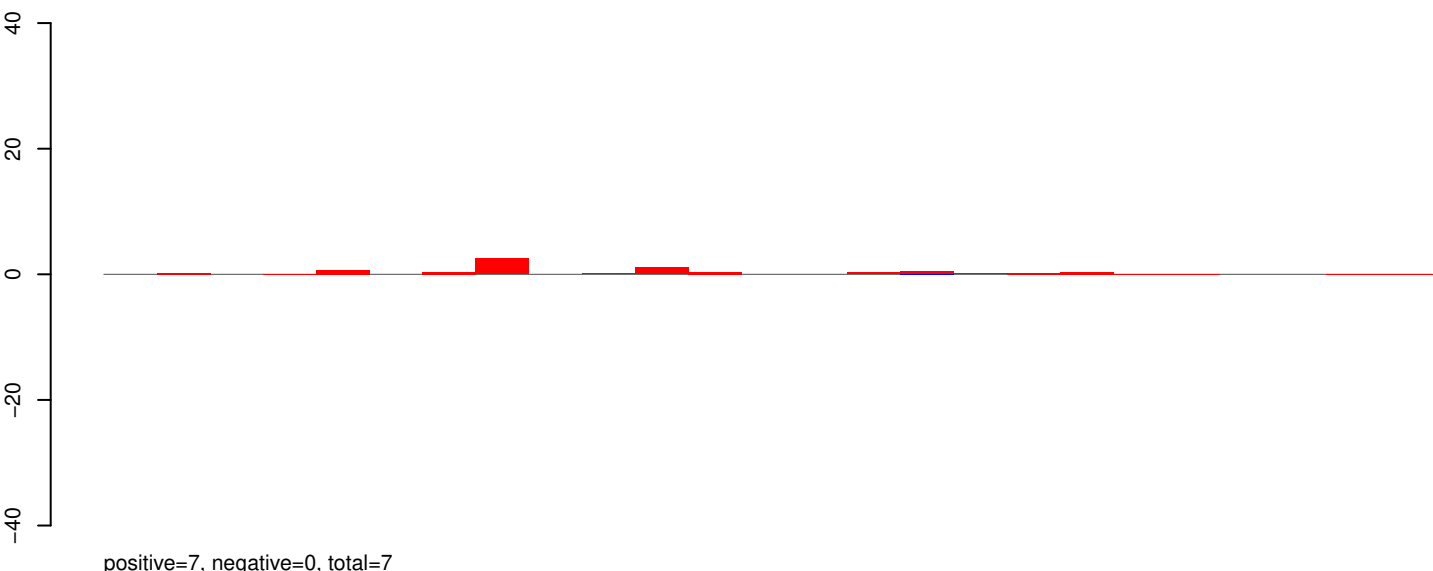
AeAeg_Aag2SINV_dsPiwi4.rep



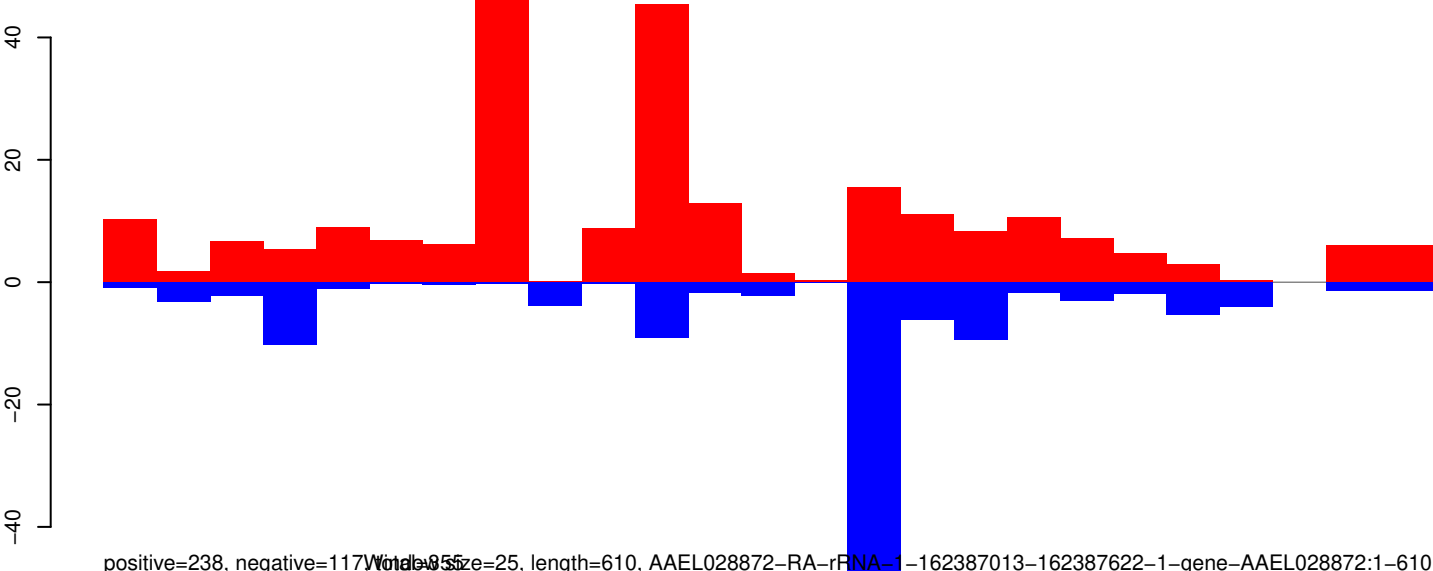
AeAeg_Aag2SINV_dsPiwi4.18_23.rep



AeAeg_Aag2SINV_dsPiwi4.24_35.rep

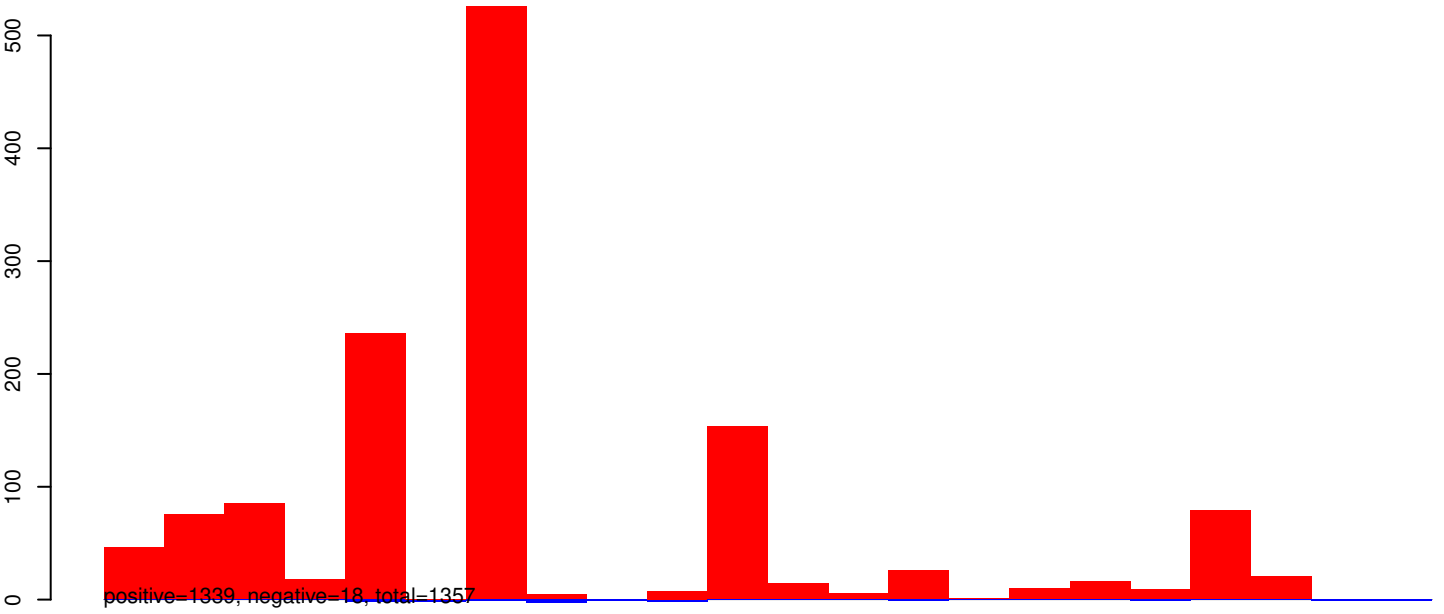


AeAeg_Aag2SINV_dsPiwi4.rep

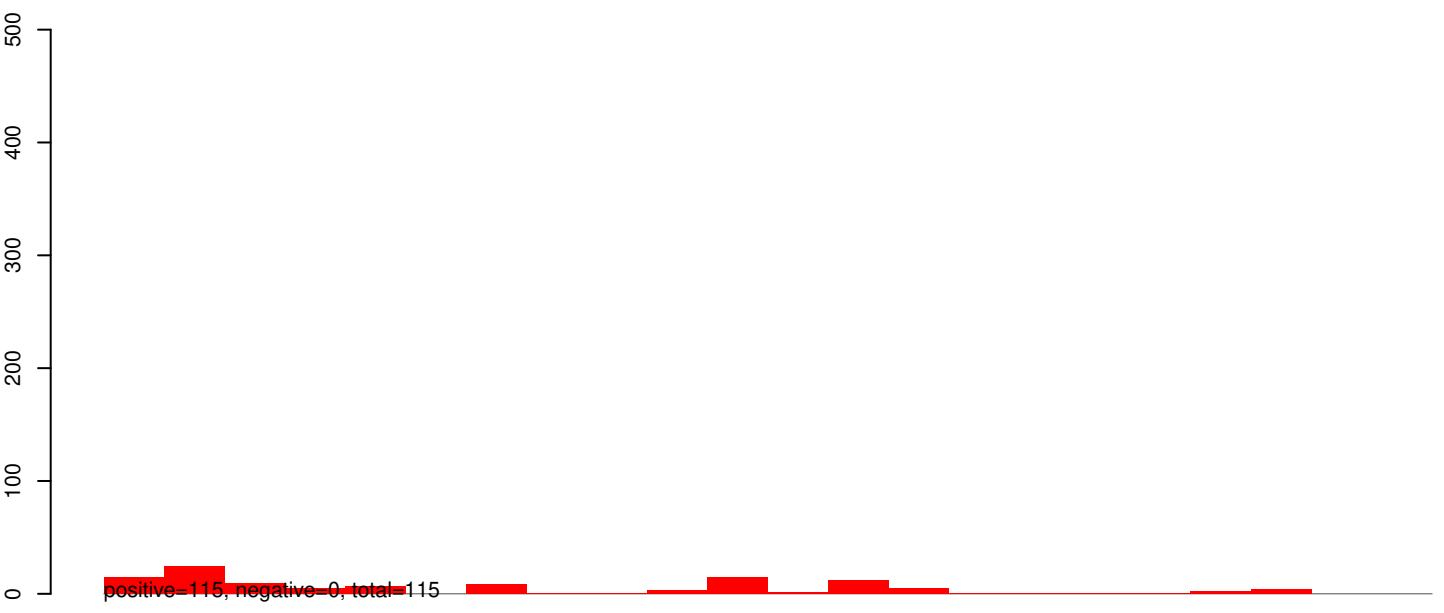


Window size=25, length=610, AAEL028872-RA-rRNA-1-162387013-162387622-1-gene-AAEL028872:1-610

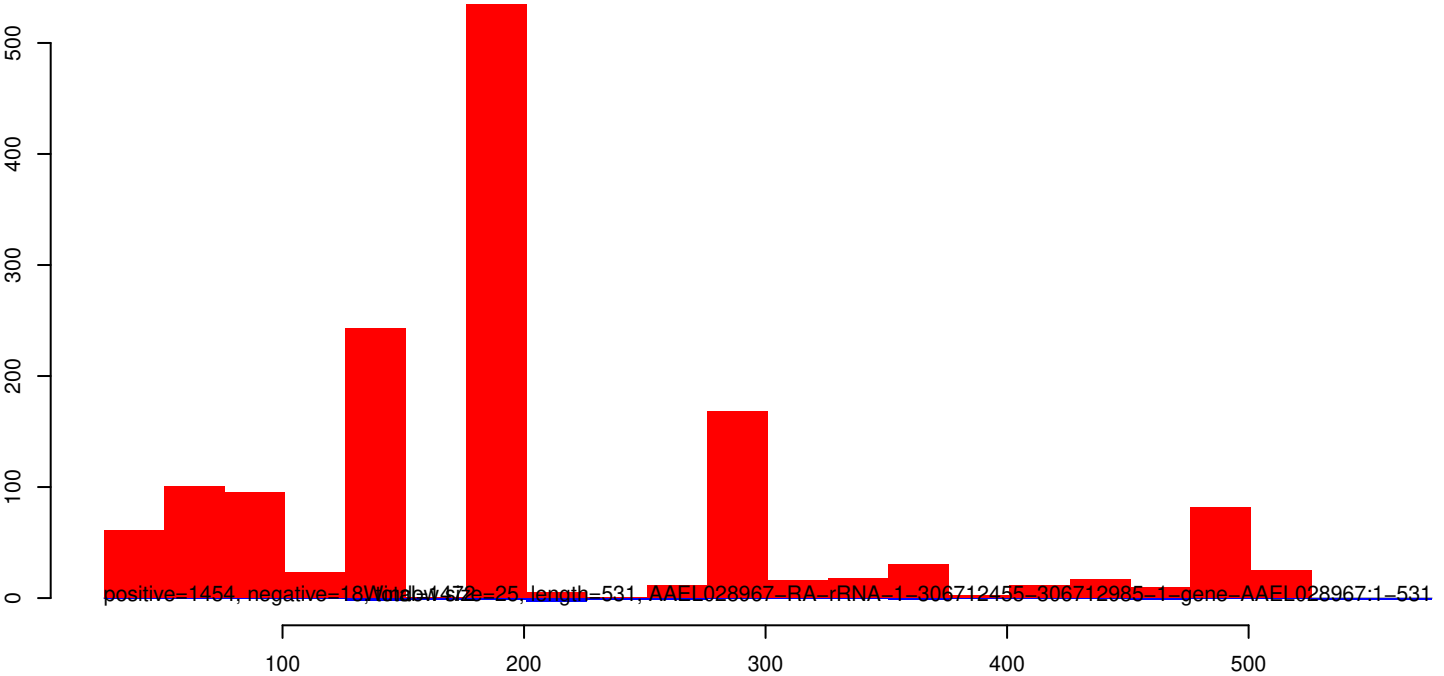
AeAeg_Aag2SINV_dsPiwi4.18_23.rep



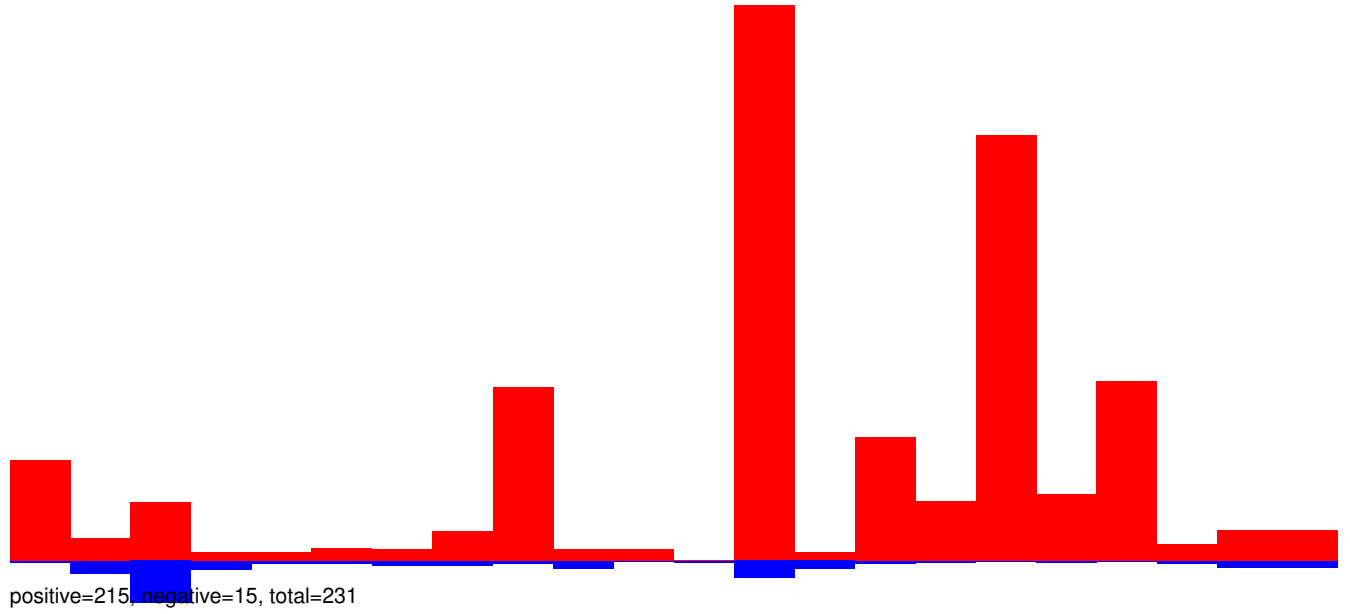
AeAeg_Aag2SINV_dsPiwi4.24_35.rep



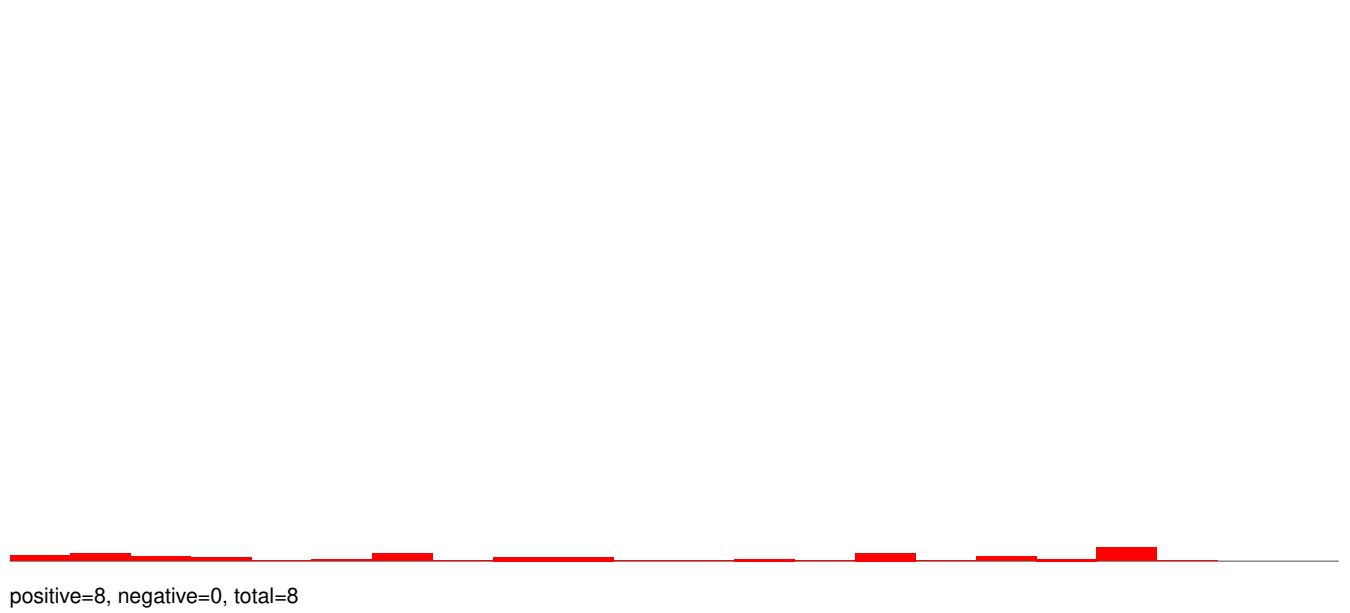
AeAeg_Aag2SINV_dsPiwi4.rep



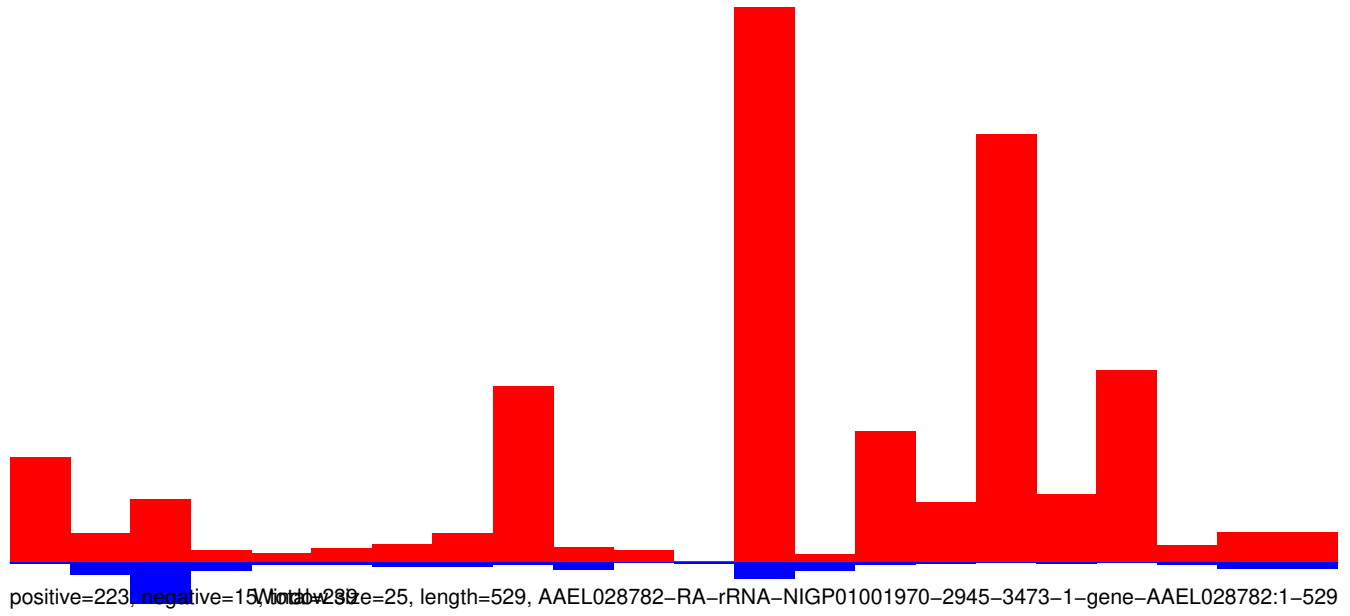
AeAeg_Aag2SINV_dsPiwi4.18_23.rep



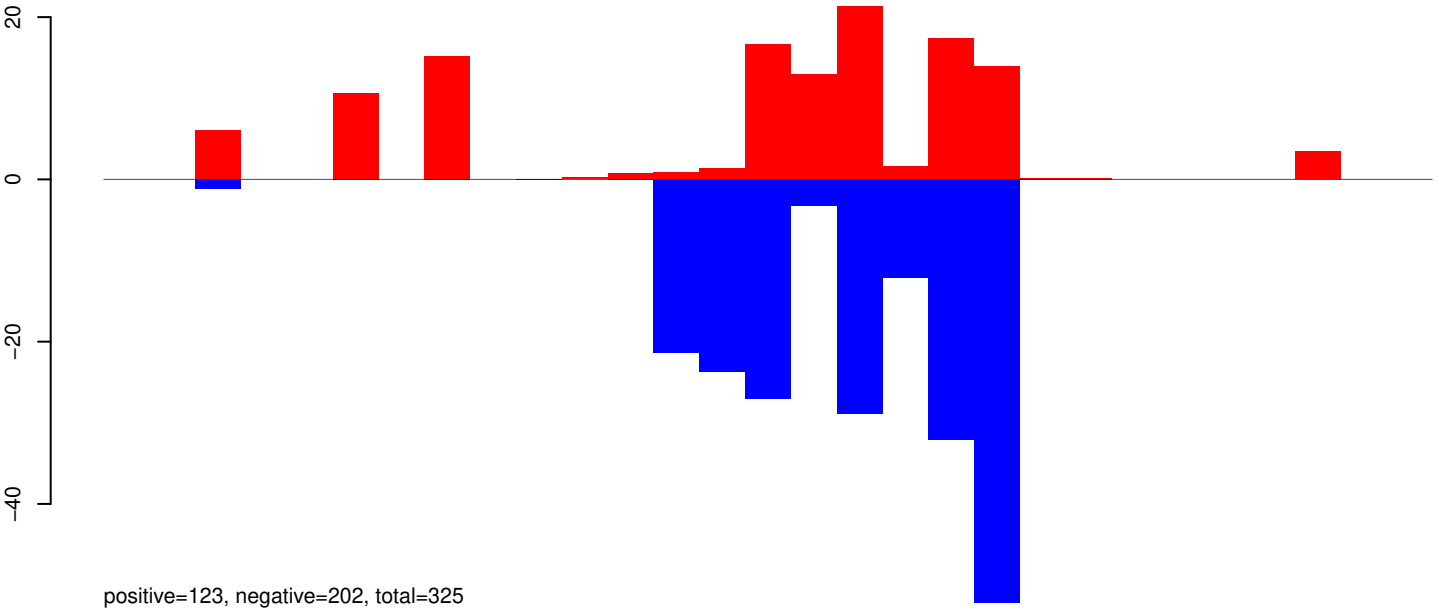
AeAeg_Aag2SINV_dsPiwi4.24_35.rep



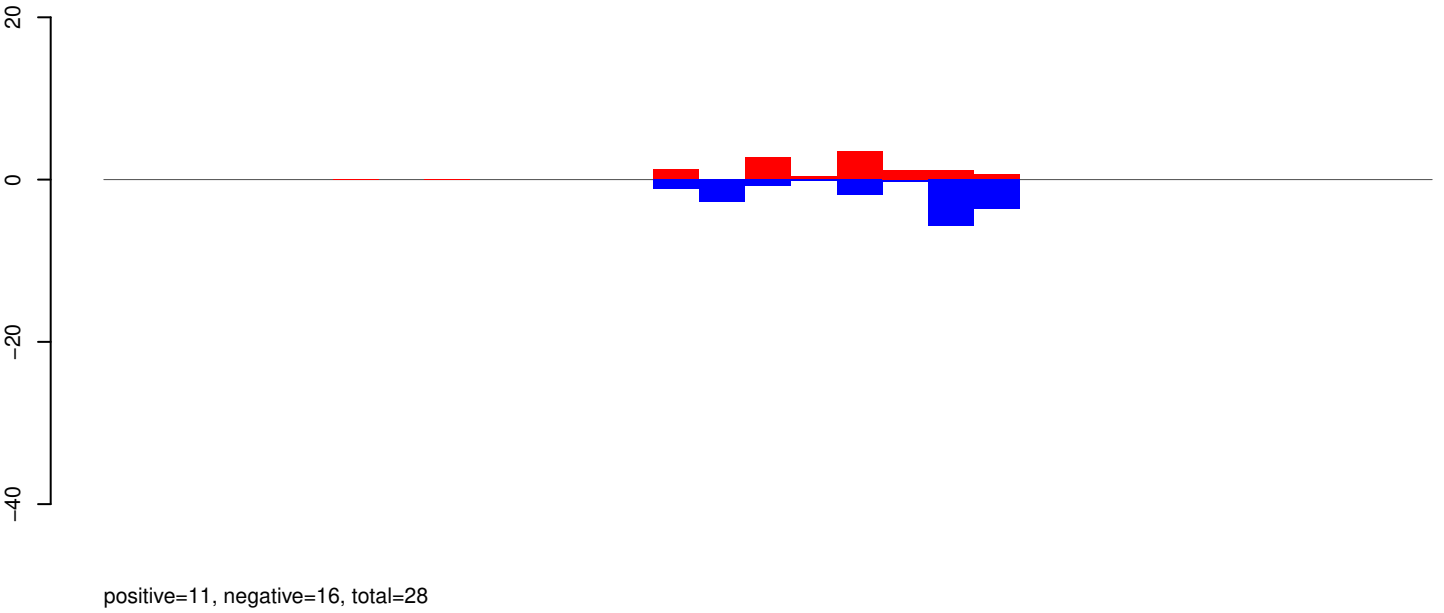
AeAeg_Aag2SINV_dsPiwi4.rep



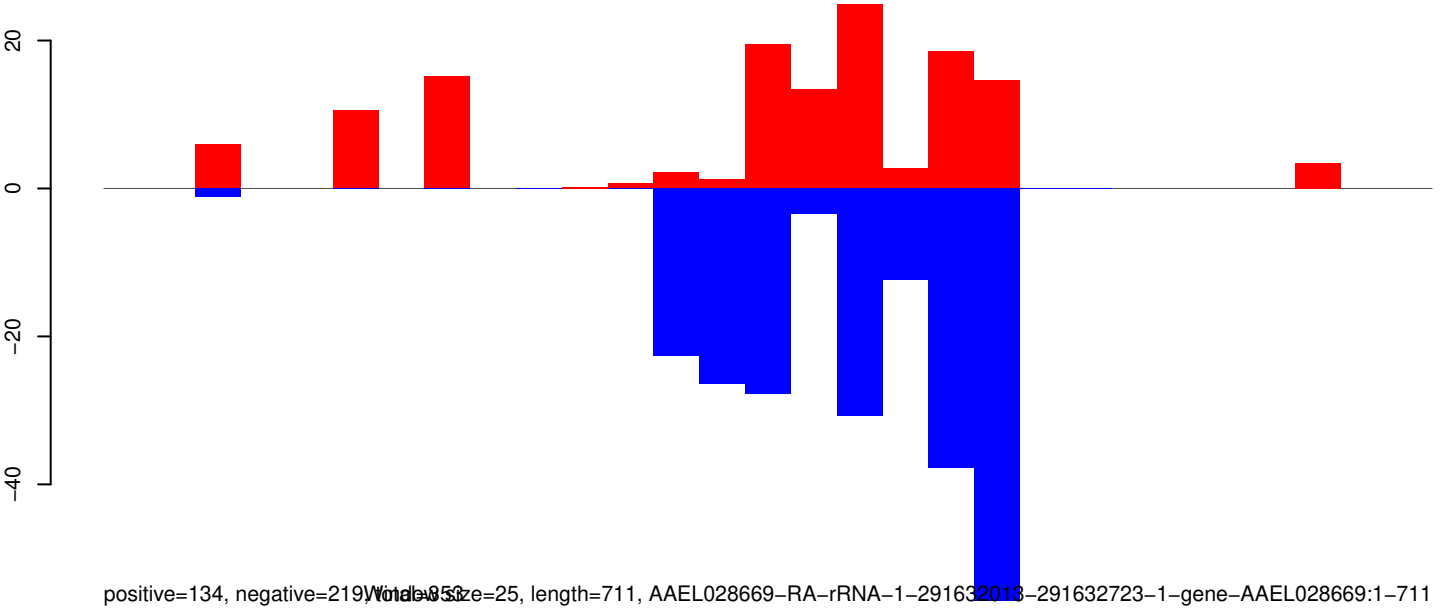
AeAeg_Aag2SINV_dsPiwi4.18_23.rep



AeAeg_Aag2SINV_dsPiwi4.24_35.rep

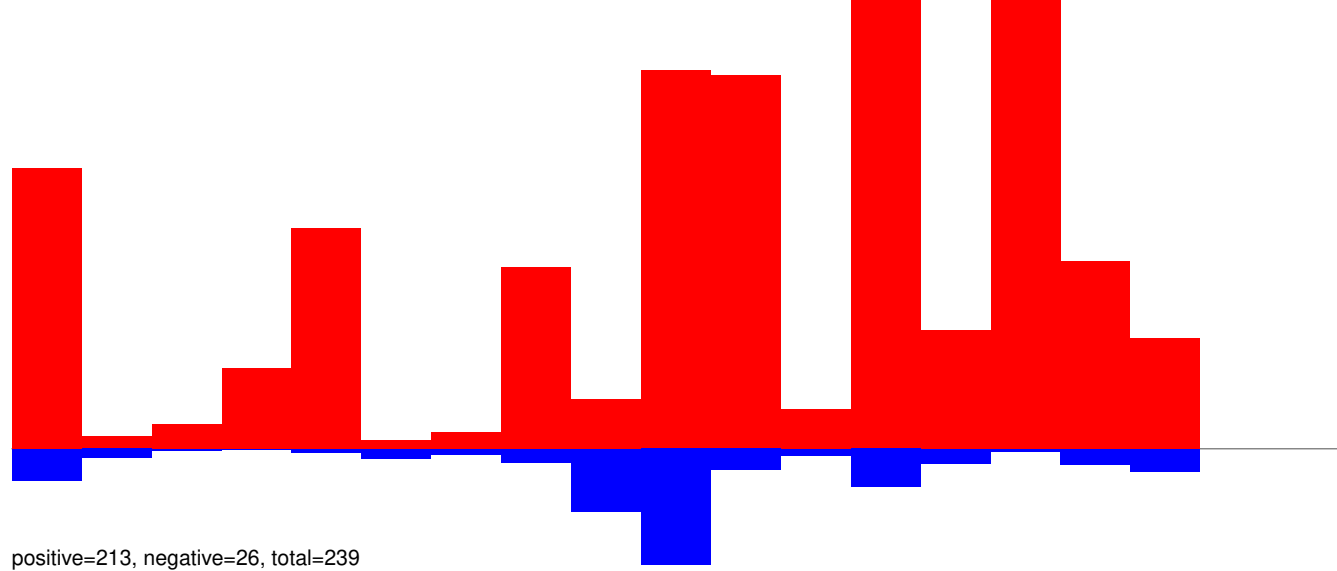


AeAeg_Aag2SINV_dsPiwi4.rep

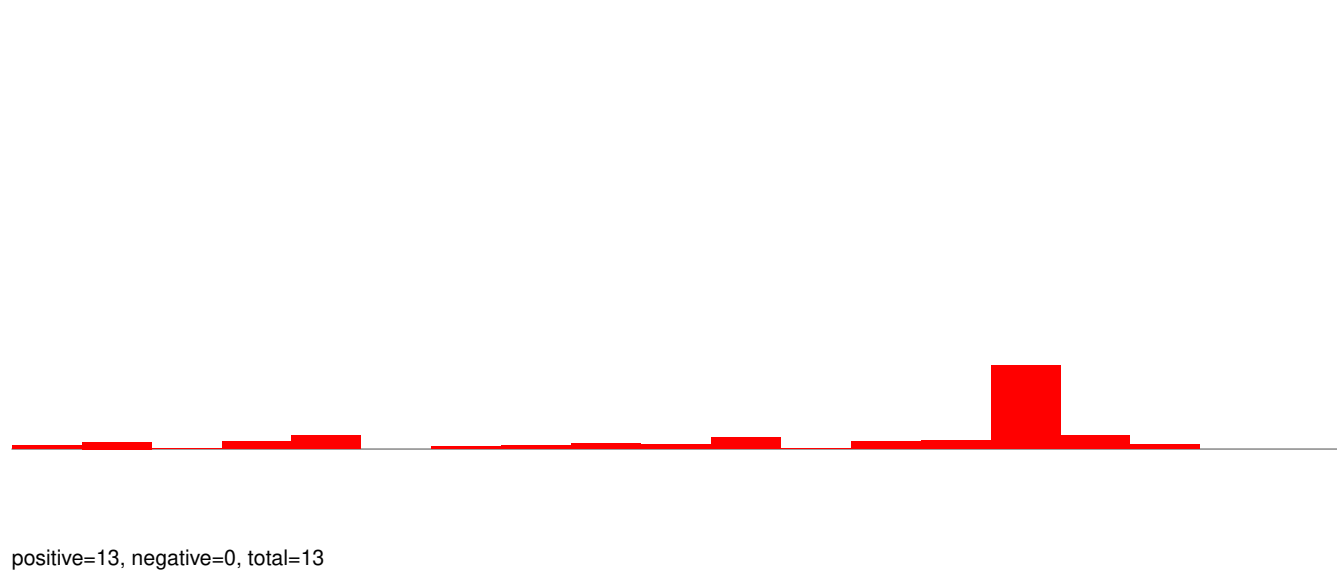


Window size=25, length=711, AAEL028669-RA-rRNA-1-291632013-291632723-1-gene-AAEL028669:1-711

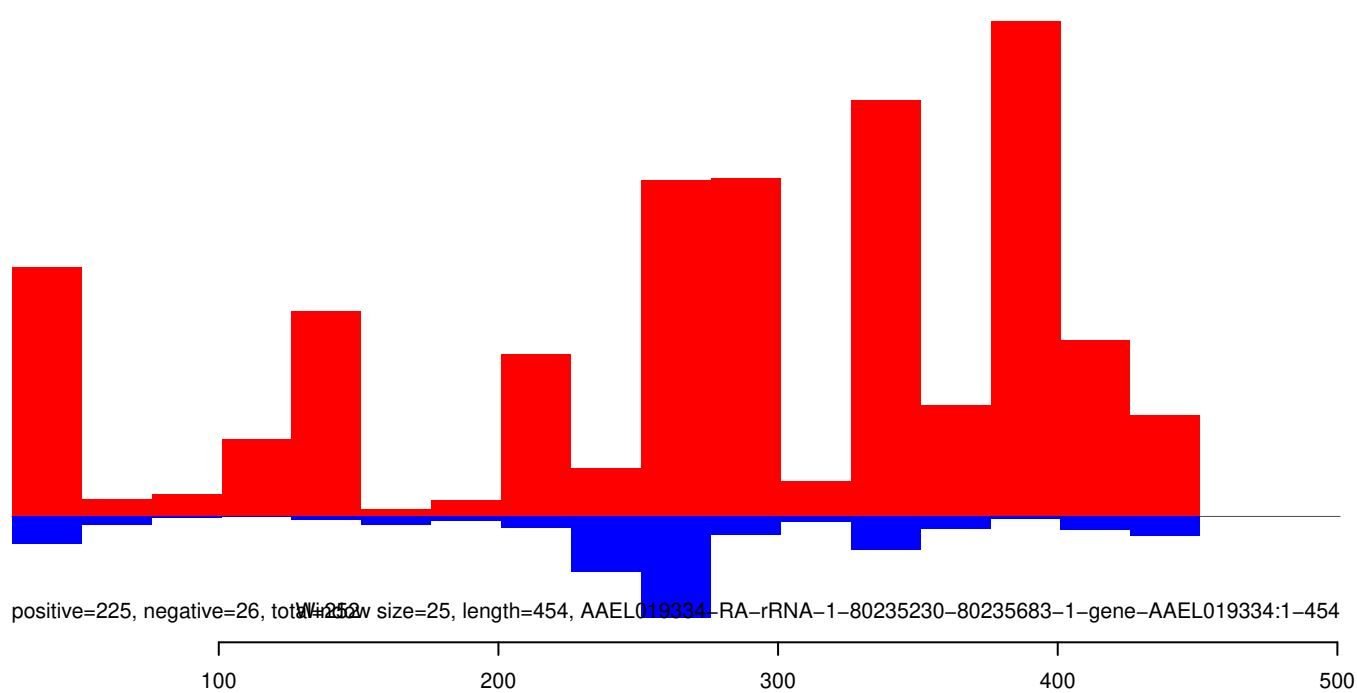
AeAeg_Aag2SINV_dsPiwi4.18_23.rep



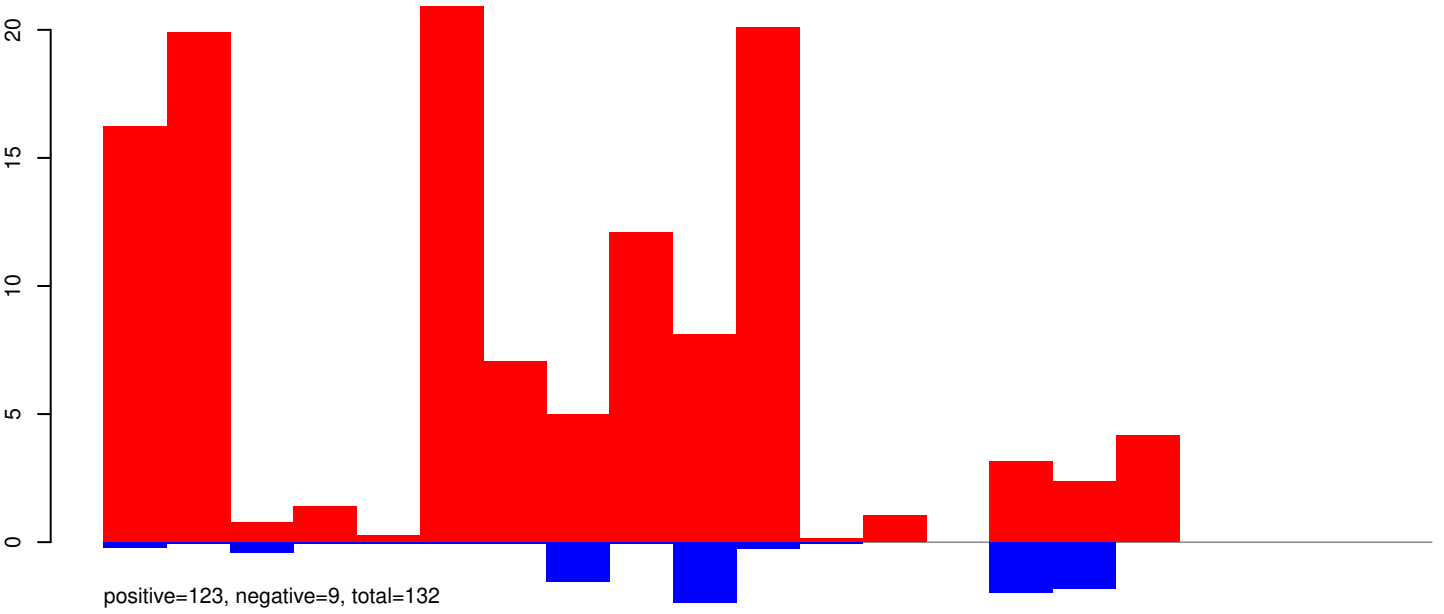
AeAeg_Aag2SINV_dsPiwi4.24_35.rep



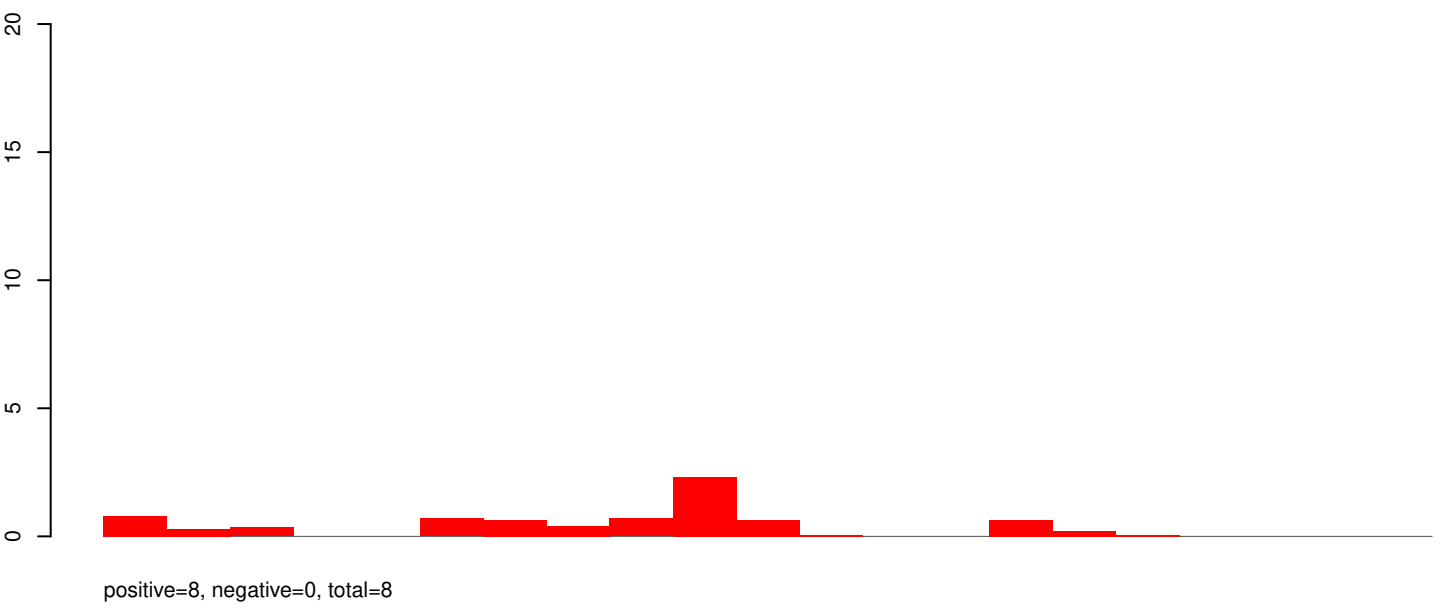
AeAeg_Aag2SINV_dsPiwi4.rep



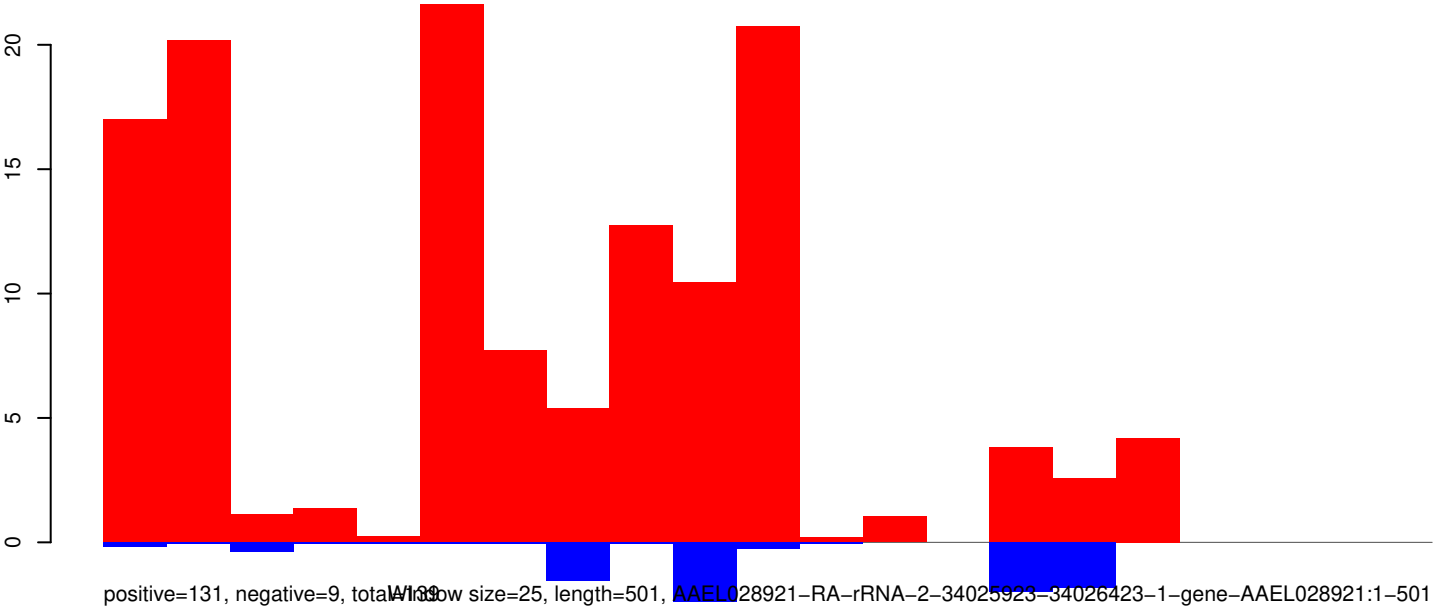
AeAeg_Aag2SINV_dsPiwi4.18_23.rep



AeAeg_Aag2SINV_dsPiwi4.24_35.rep

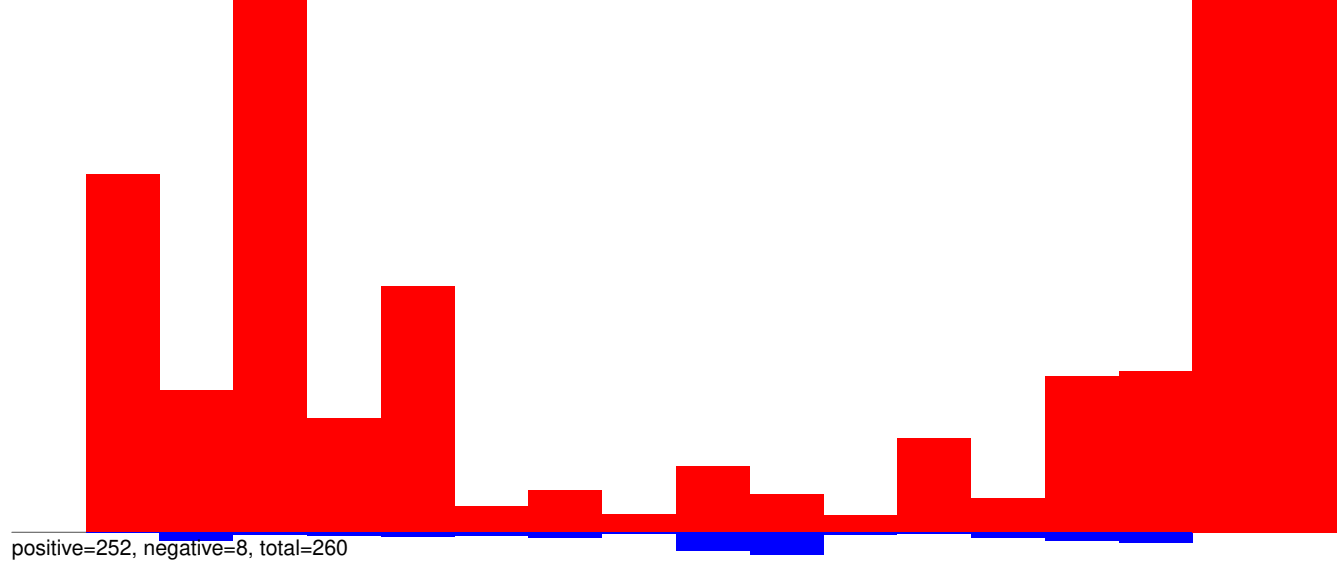


AeAeg_Aag2SINV_dsPiwi4.rep

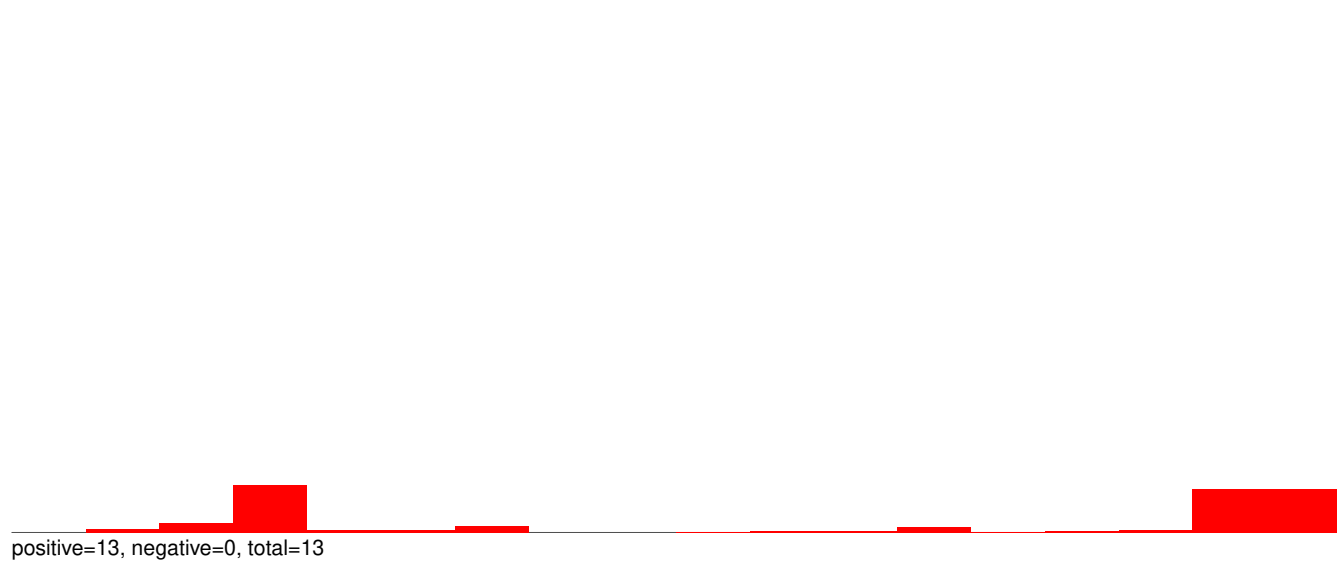


Window size=25, length=501, AAEL028921-RA-rRNA-2-34025923-34026423-1-gene-AAEL028921:1-501

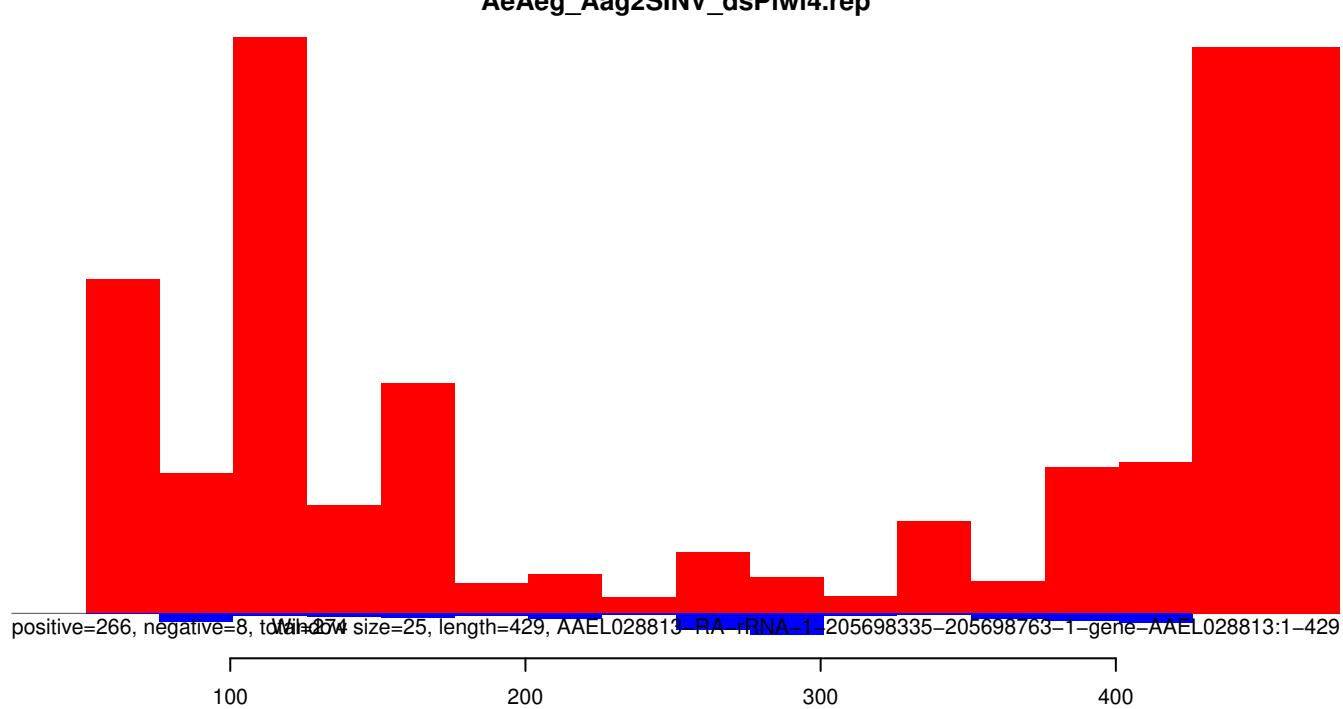
AeAeg_Aag2SINV_dsPiwi4.18_23.rep



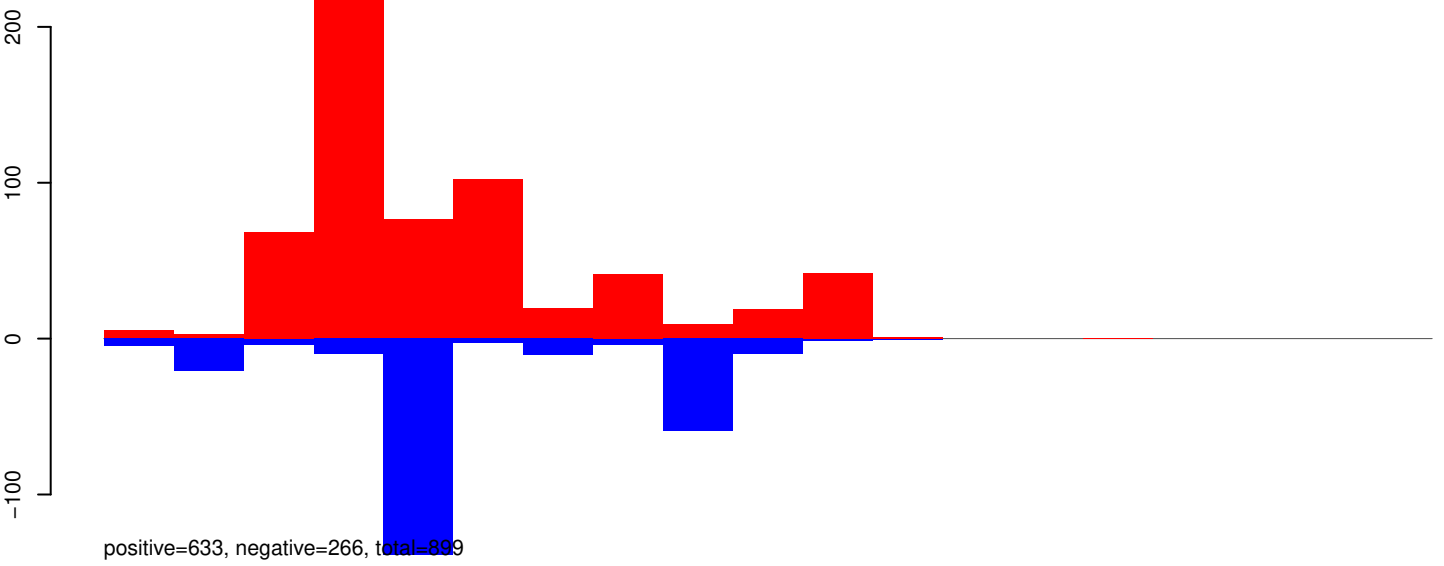
AeAeg_Aag2SINV_dsPiwi4.24_35.rep



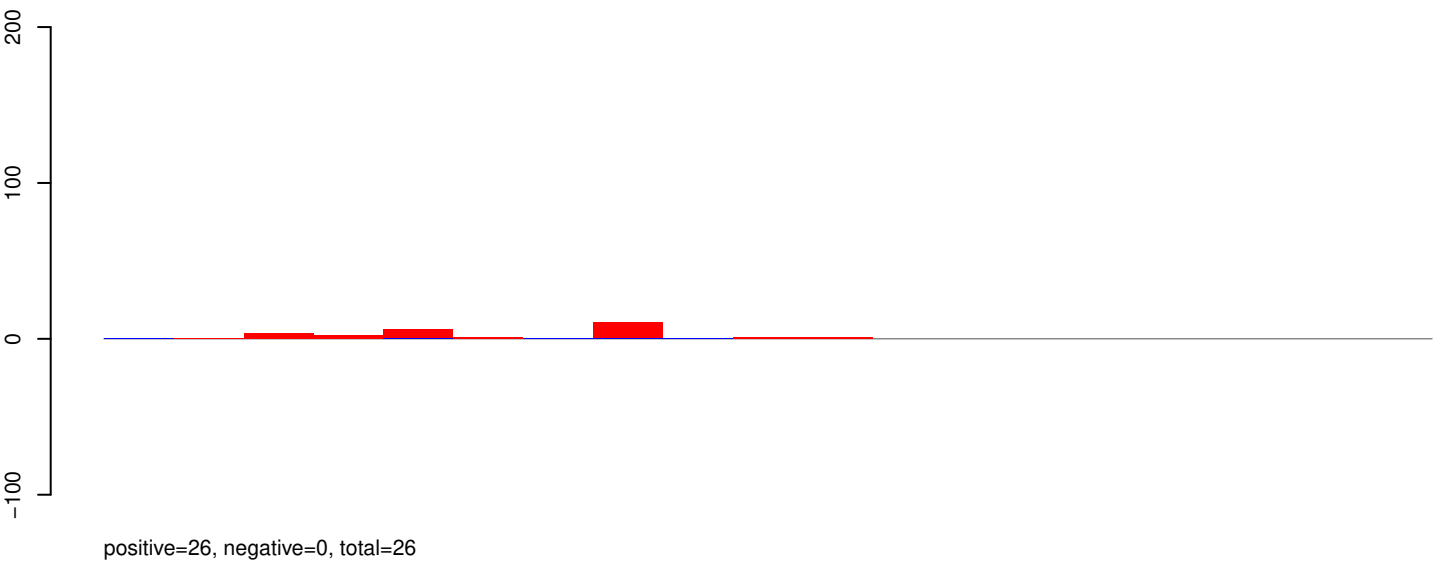
AeAeg_Aag2SINV_dsPiwi4.rep



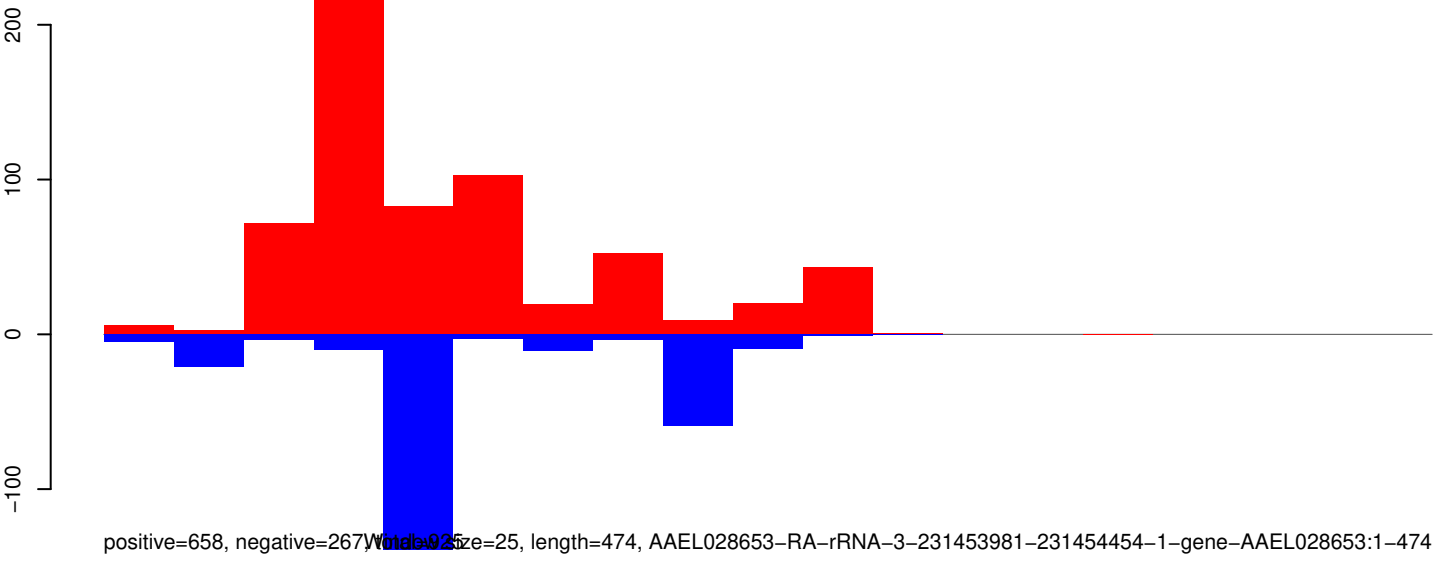
AeAeg_Aag2SINV_dsPiwi4.18_23.rep



AeAeg_Aag2SINV_dsPiwi4.24_35.rep

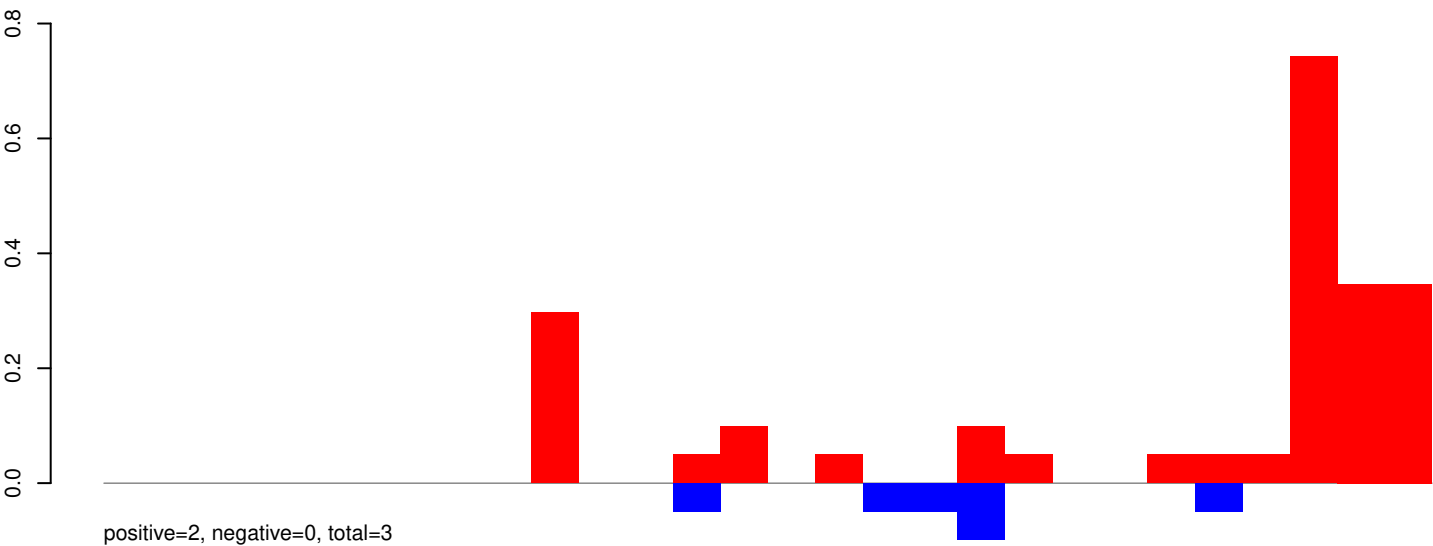


AeAeg_Aag2SINV_dsPiwi4.rep

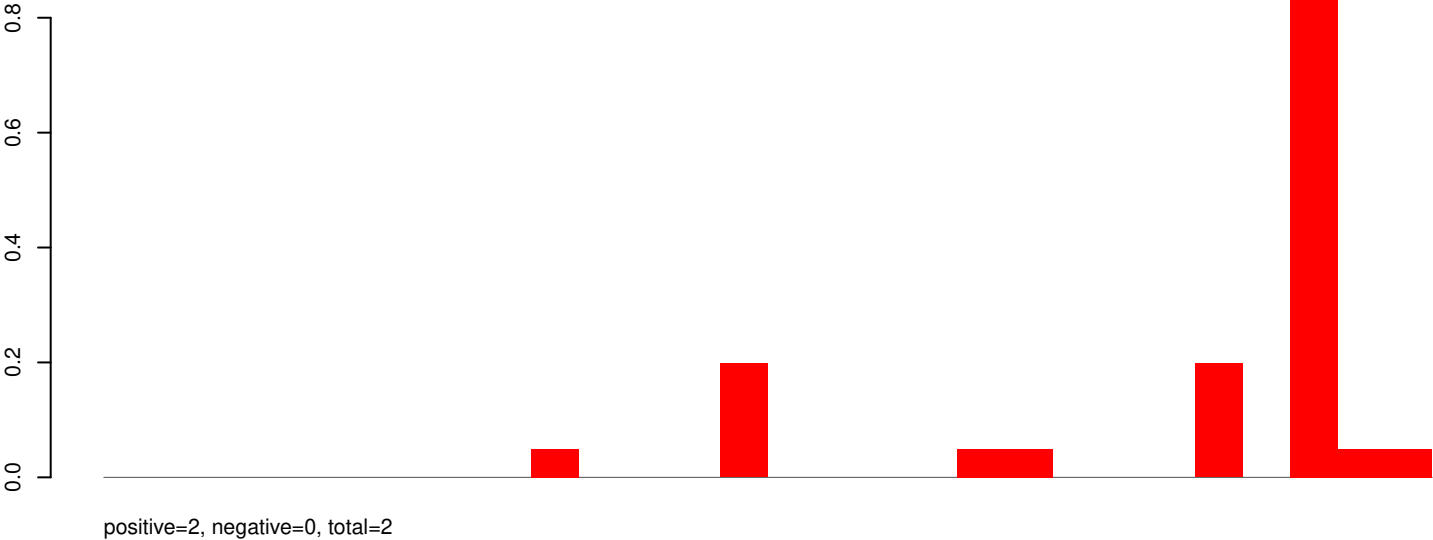


Window size=25, length=474, AAEL028653-RA-rRNA-3-231453981-231454454-1-gene-AAEL028653:1-474

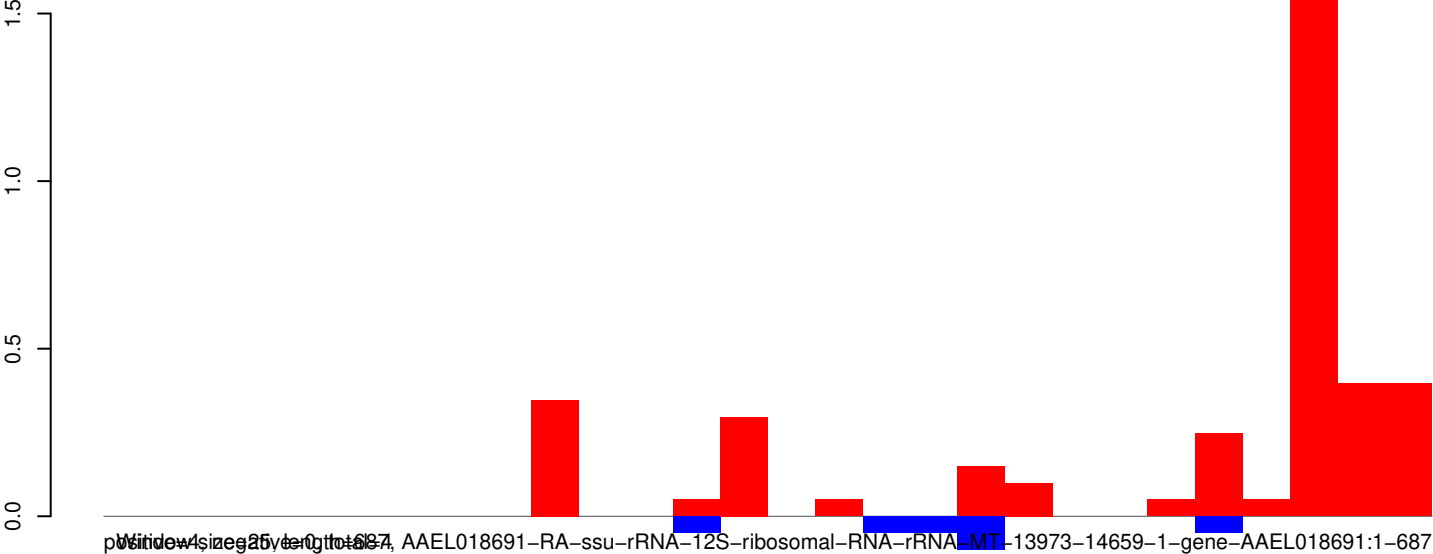
AeAeg_Aag2SINV_dsPiwi4.18_23.rep



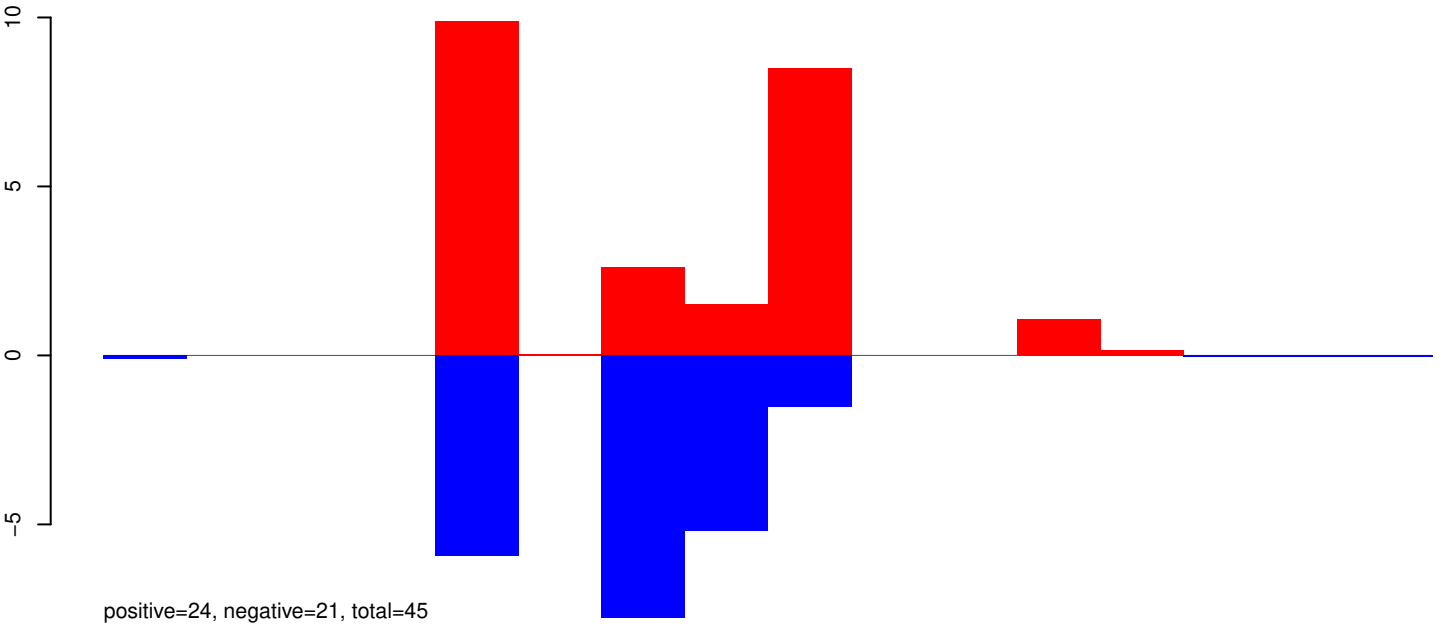
AeAeg_Aag2SINV_dsPiwi4.24_35.rep



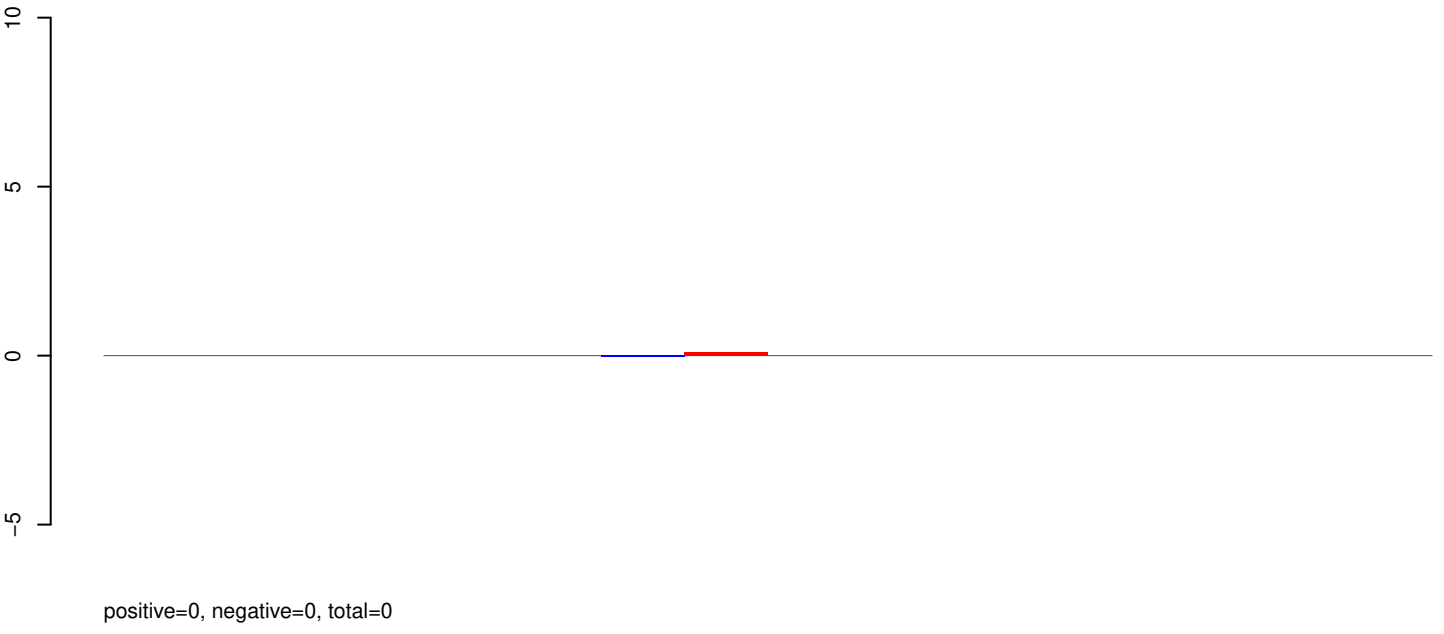
AeAeg_Aag2SINV_dsPiwi4.rep



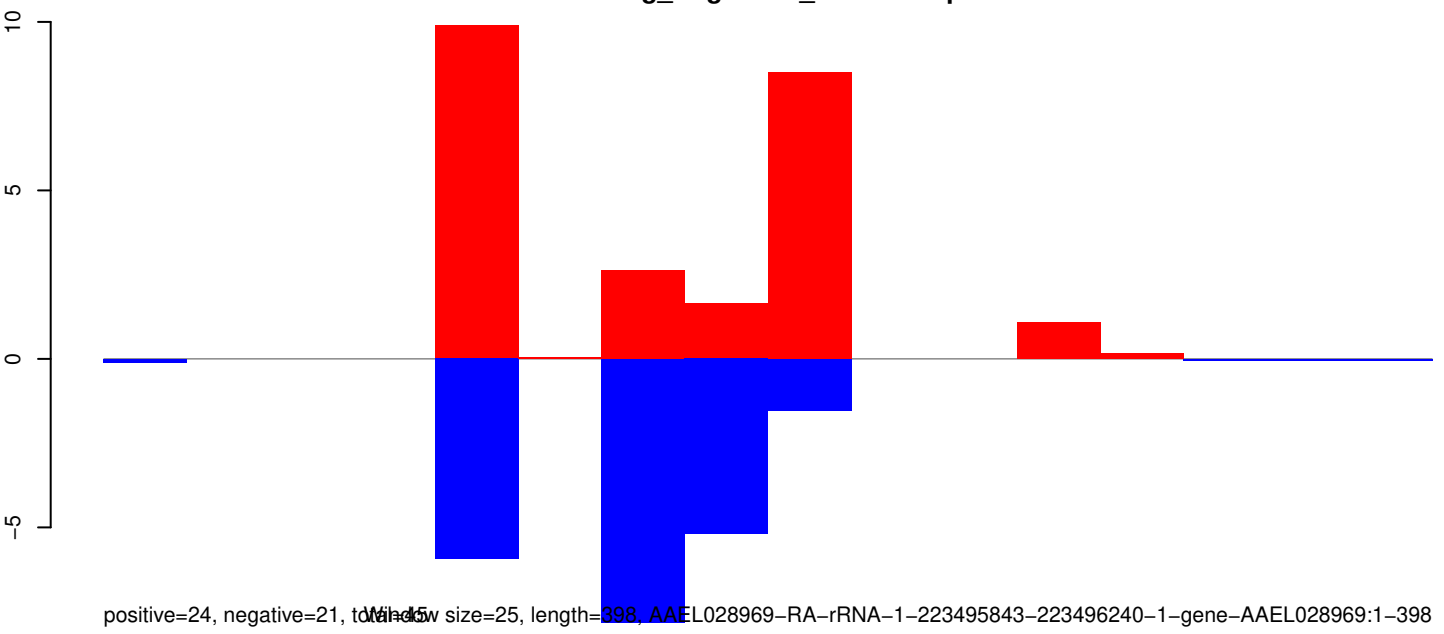
AeAeg_Aag2SINV_dsPiwi4.18_23.rep



AeAeg_Aag2SINV_dsPiwi4.24_35.rep

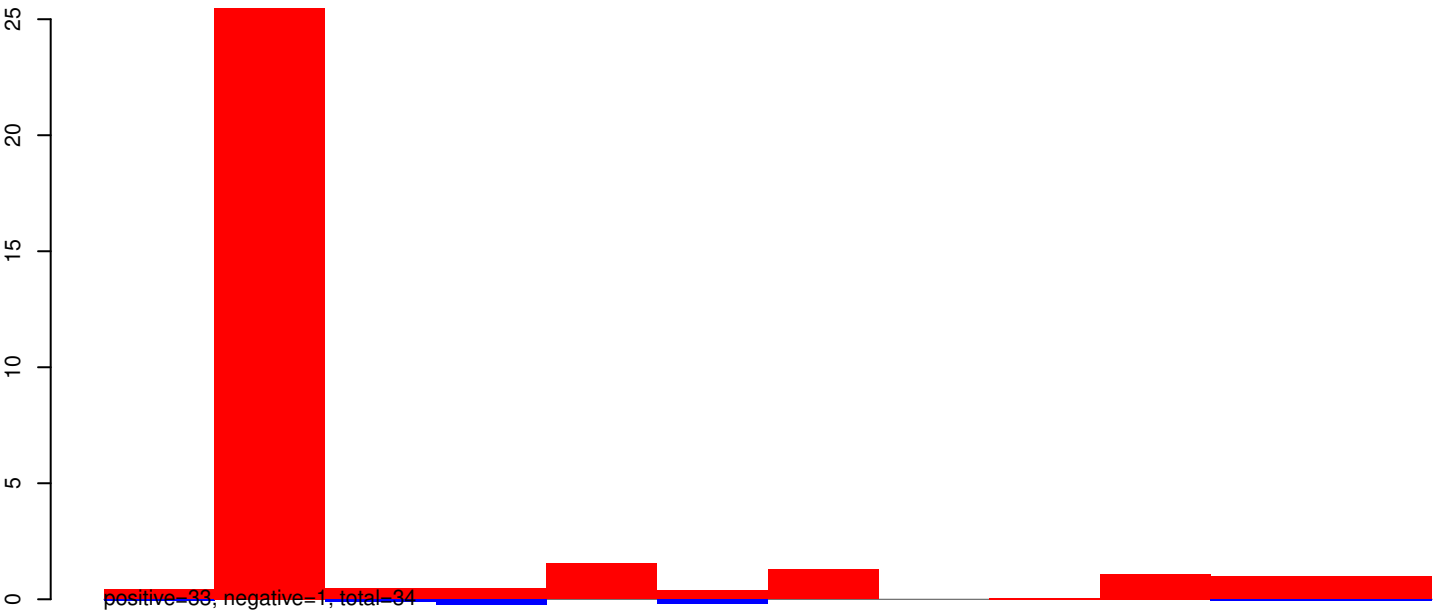


AeAeg_Aag2SINV_dsPiwi4.rep

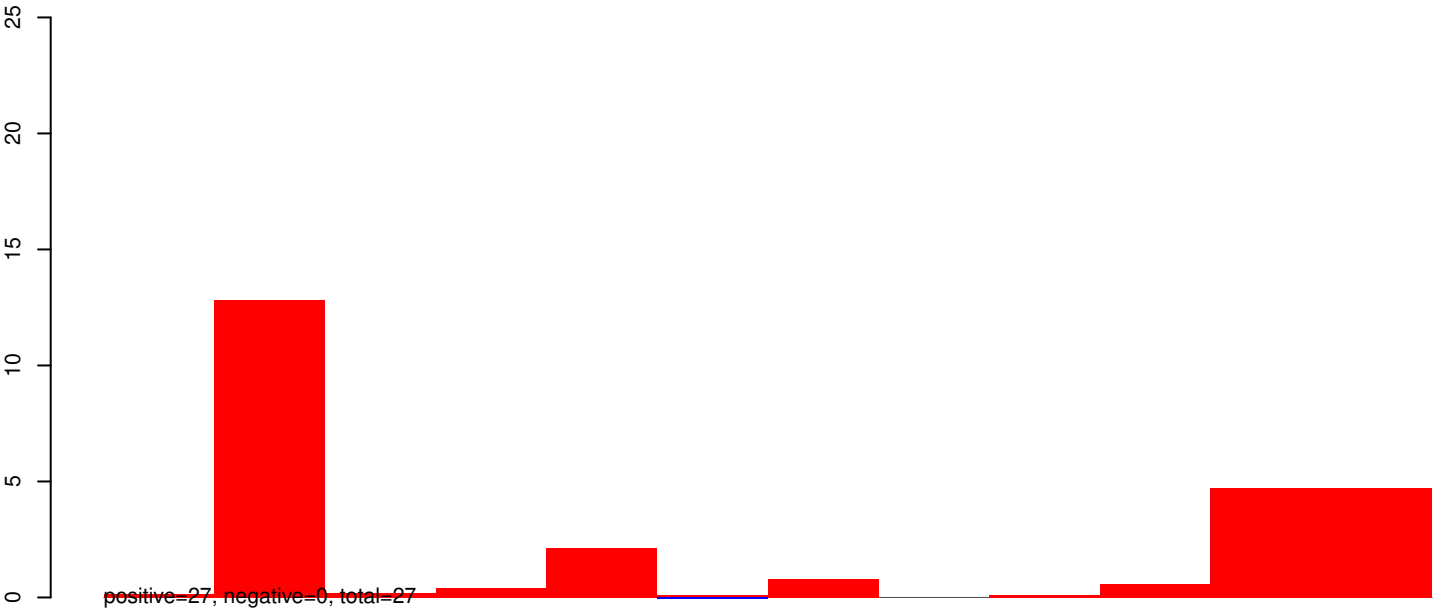


Window size=25, length=398, AAE028969-RA-rRNA-1-223495843-223496240-1-gene-AAEL028969:1-398

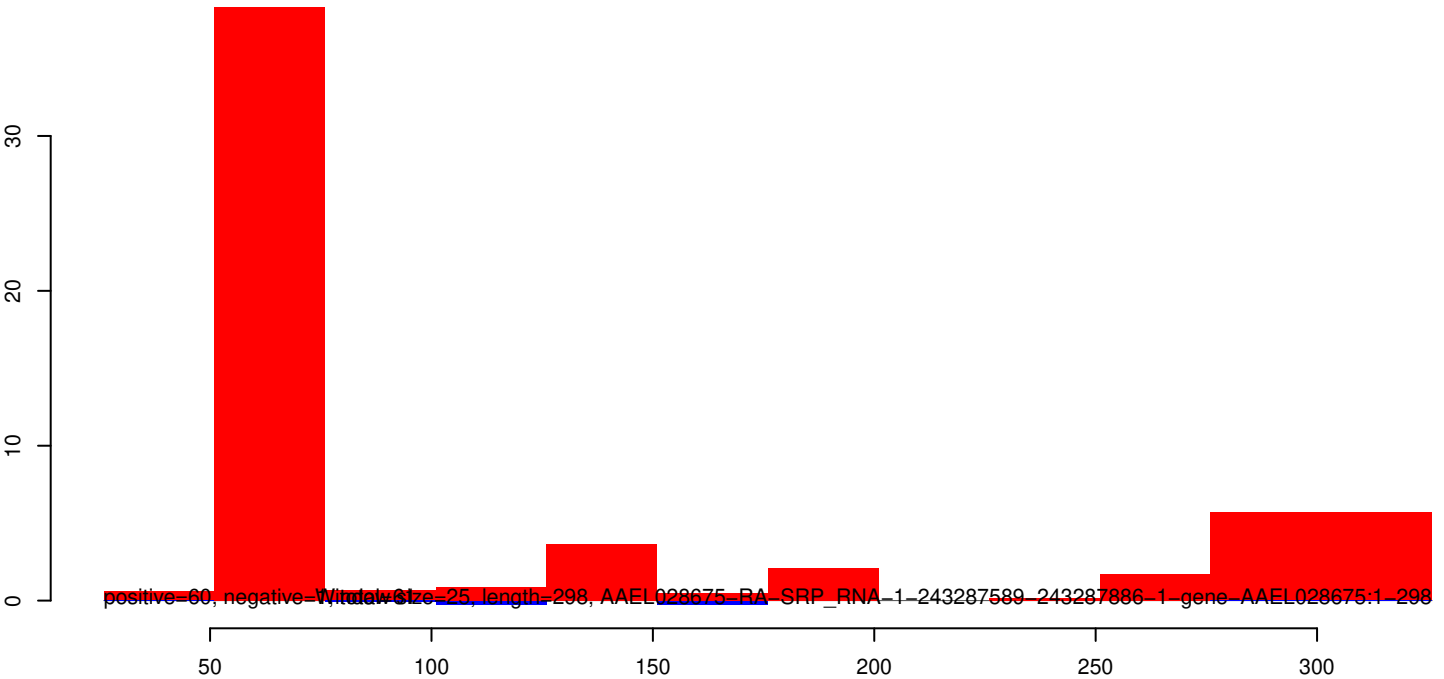
AeAeg_Aag2SINV_dsPiwi4.18_23.rep



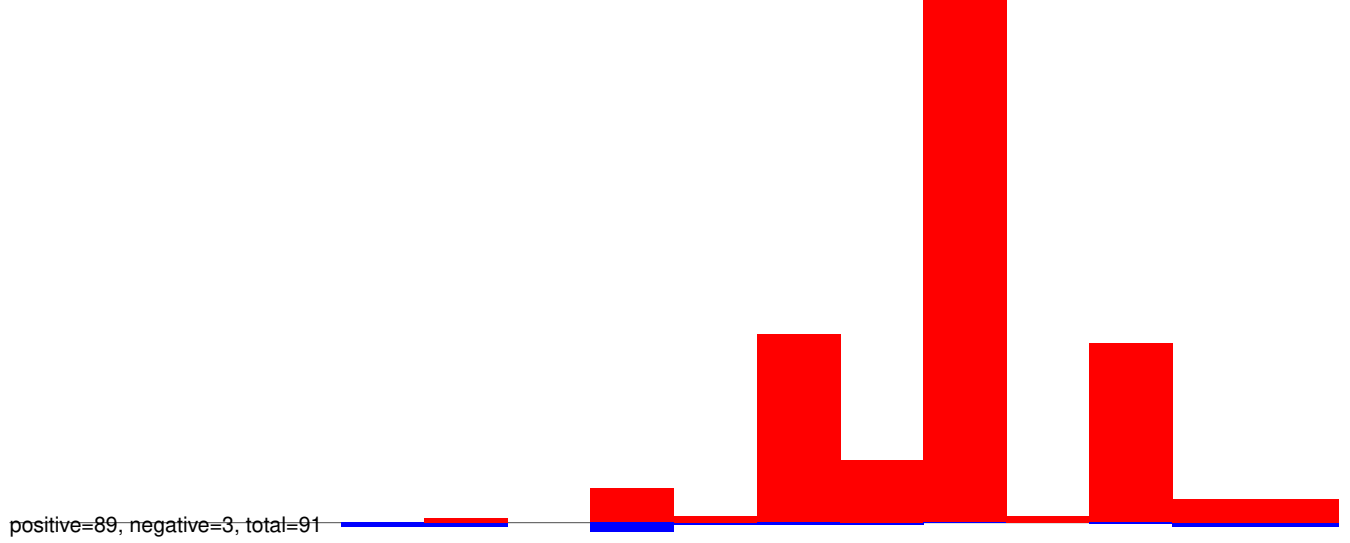
AeAeg_Aag2SINV_dsPiwi4.24_35.rep



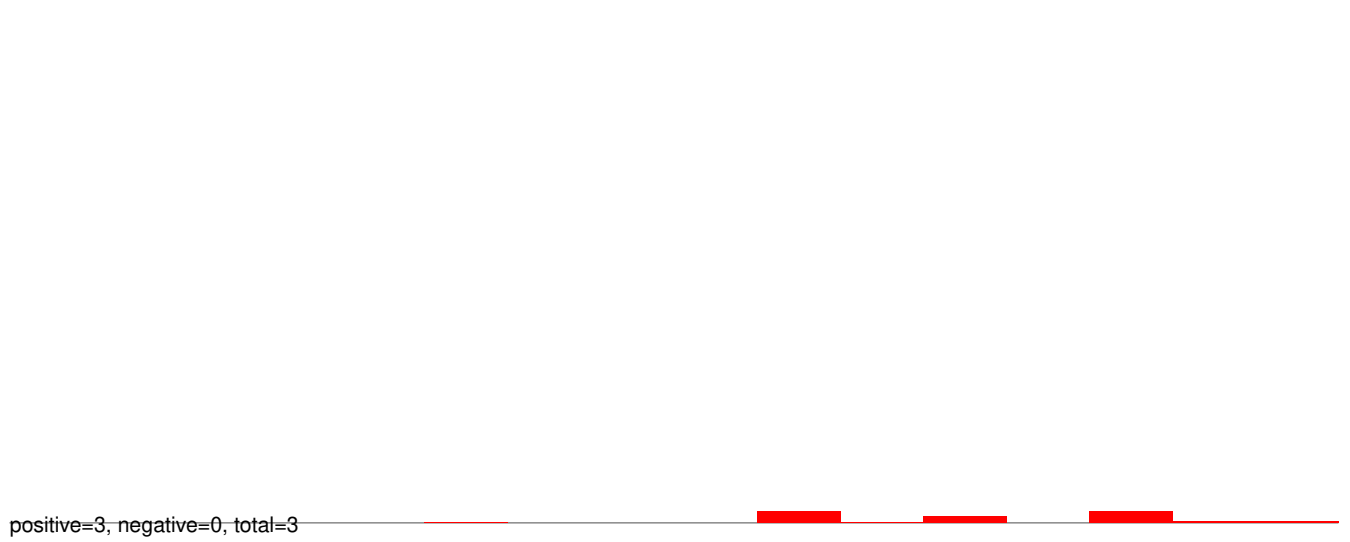
AeAeg_Aag2SINV_dsPiwi4.rep



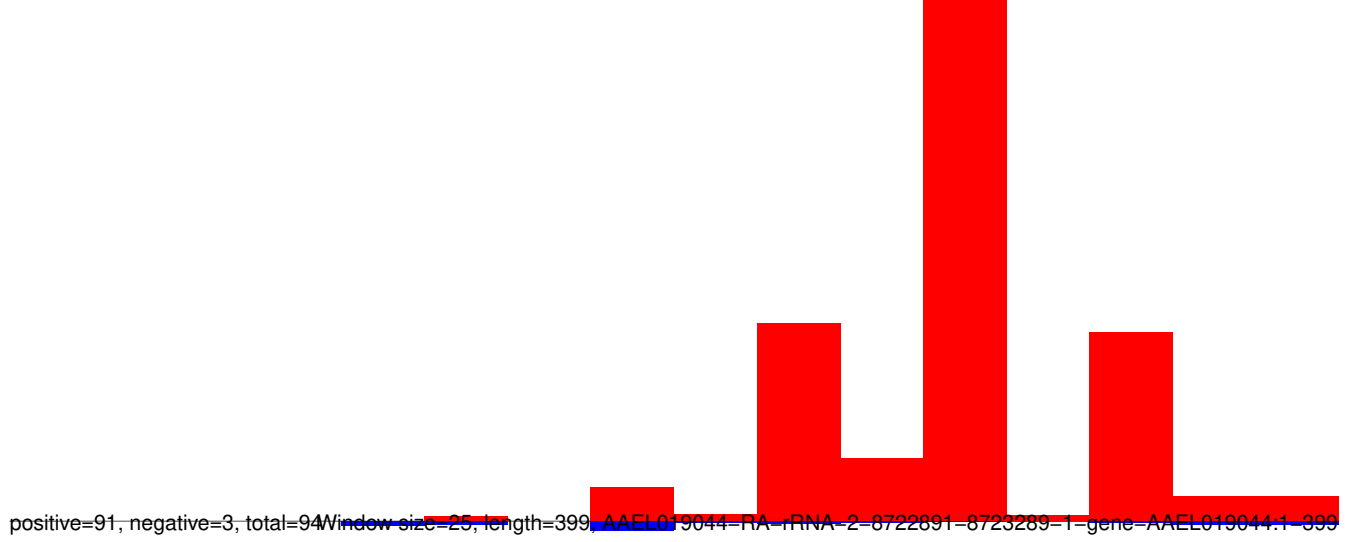
AeAeg_Aag2SINV_dsPiwi4.18_23.rep



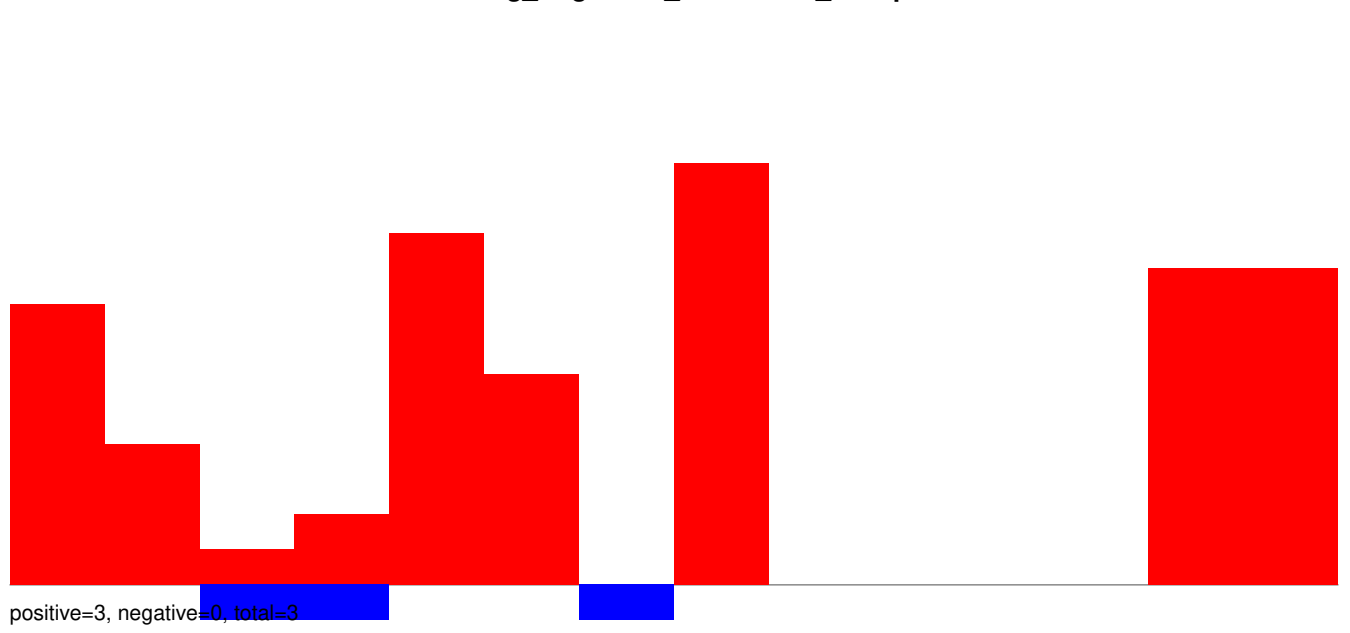
AeAeg_Aag2SINV_dsPiwi4.24_35.rep



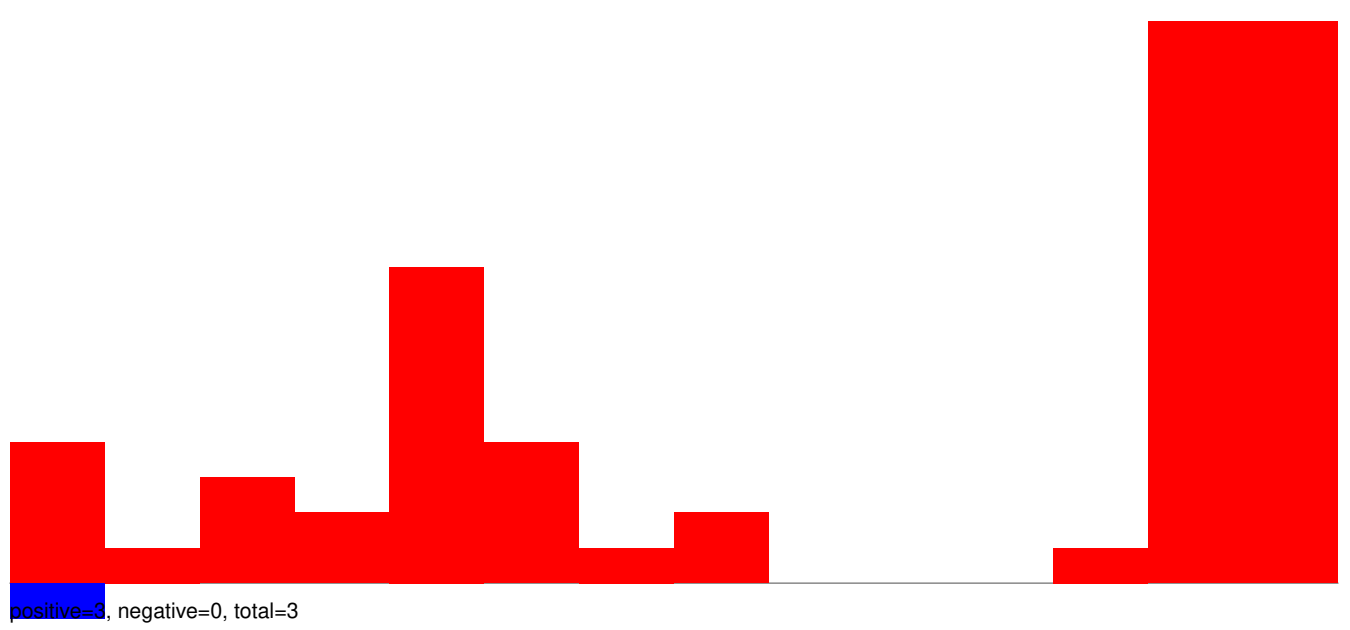
AeAeg_Aag2SINV_dsPiwi4.rep



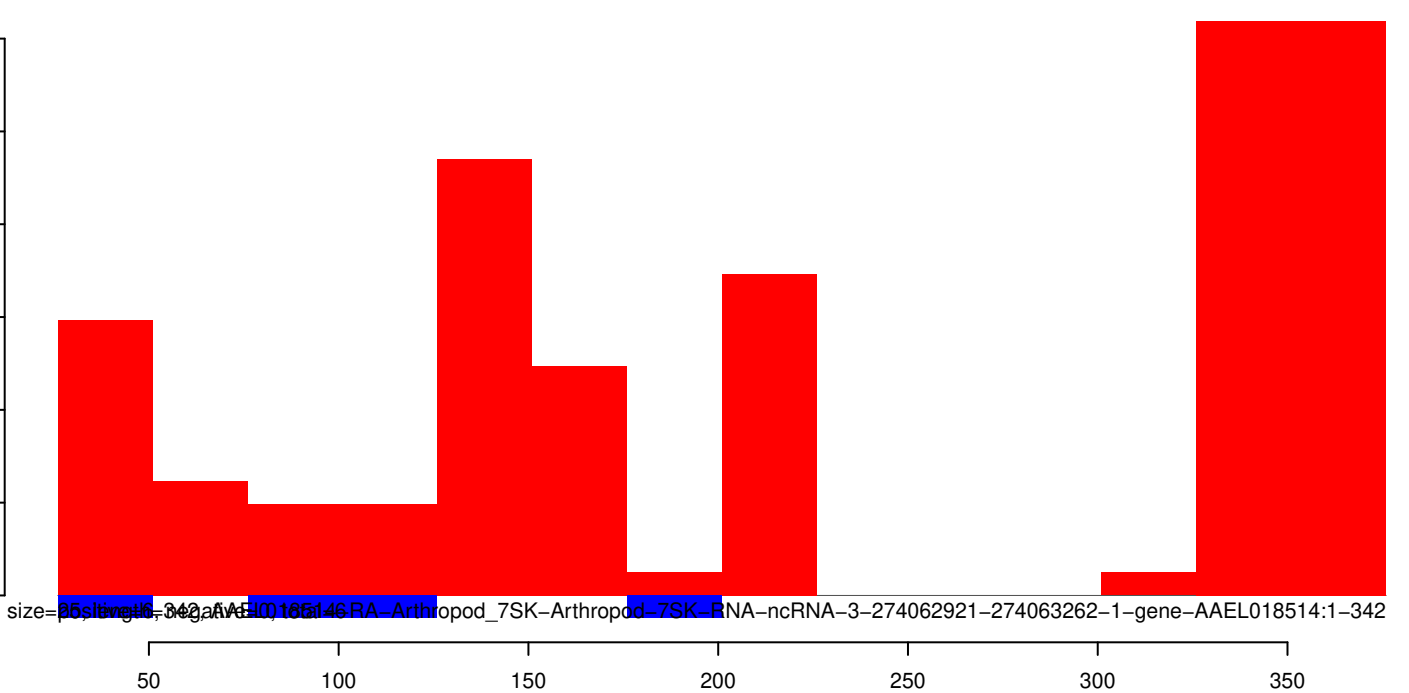
AeAeg_Aag2SINV_dsPiwi4.18_23.rep



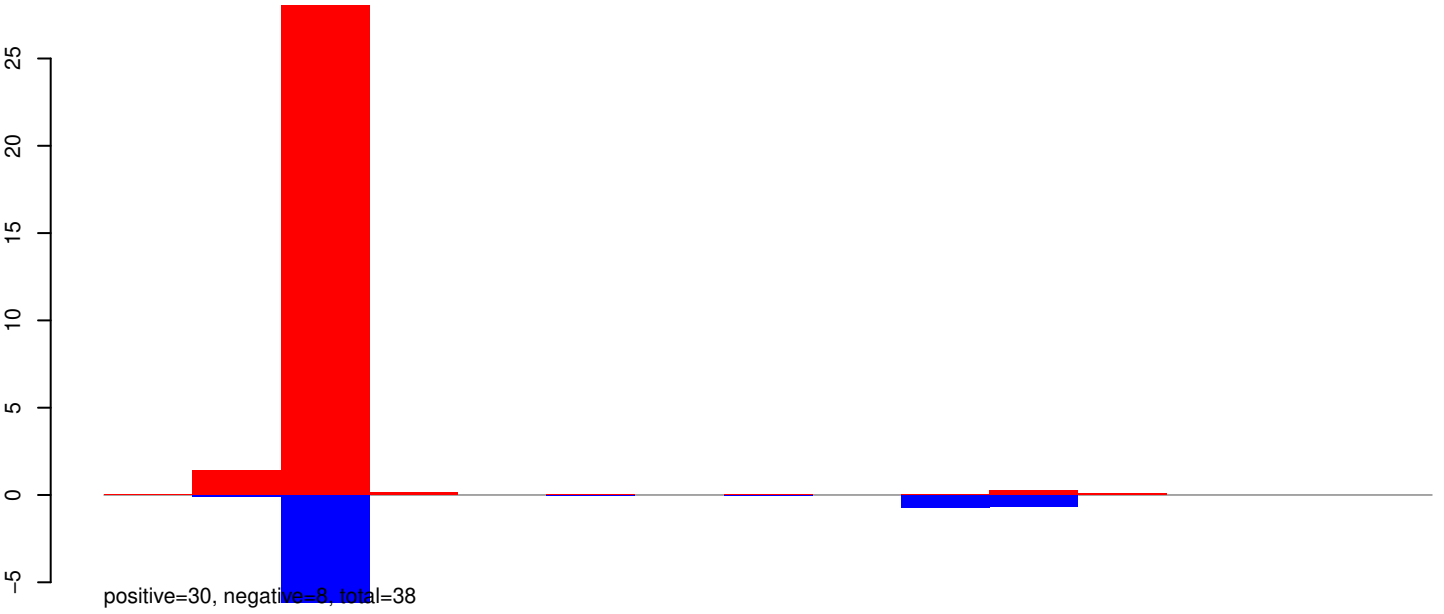
AeAeg_Aag2SINV_dsPiwi4.24_35.rep



AeAeg_Aag2SINV_dsPiwi4.rep



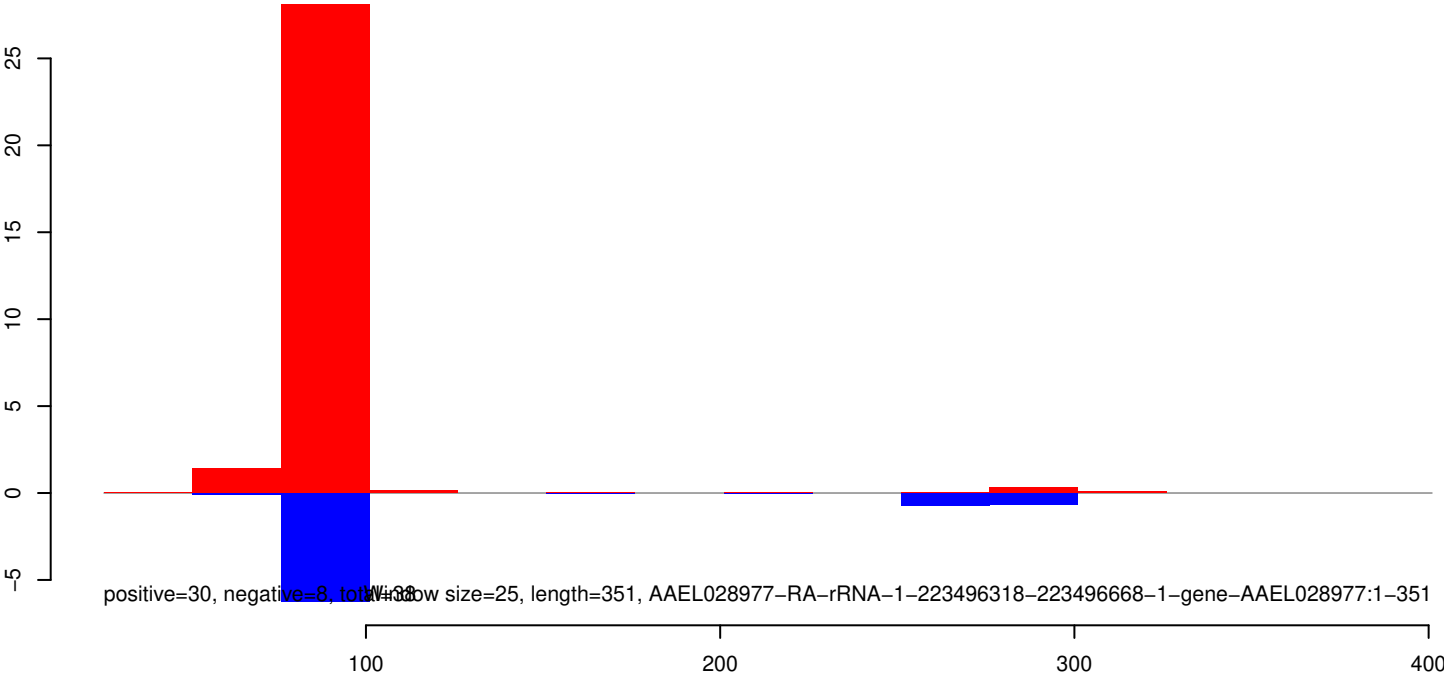
AeAeg_Aag2SINV_dsPiwi4.18_23.rep



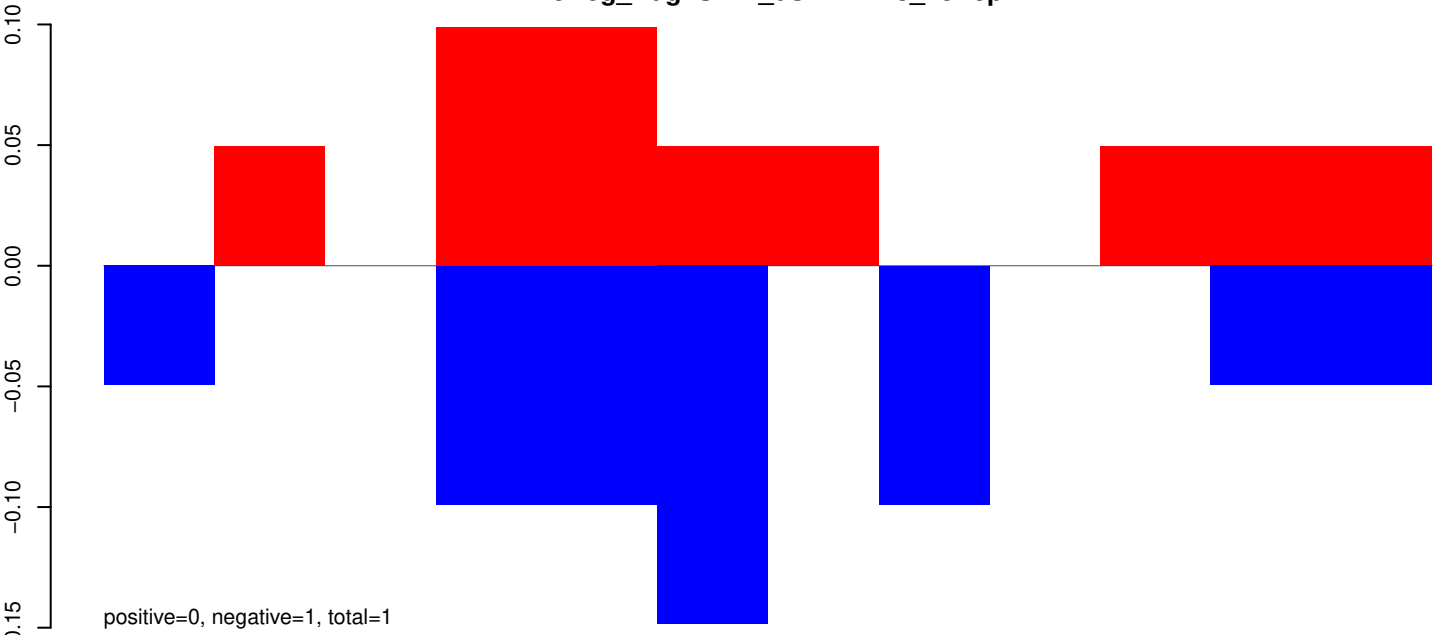
AeAeg_Aag2SINV_dsPiwi4.24_35.rep



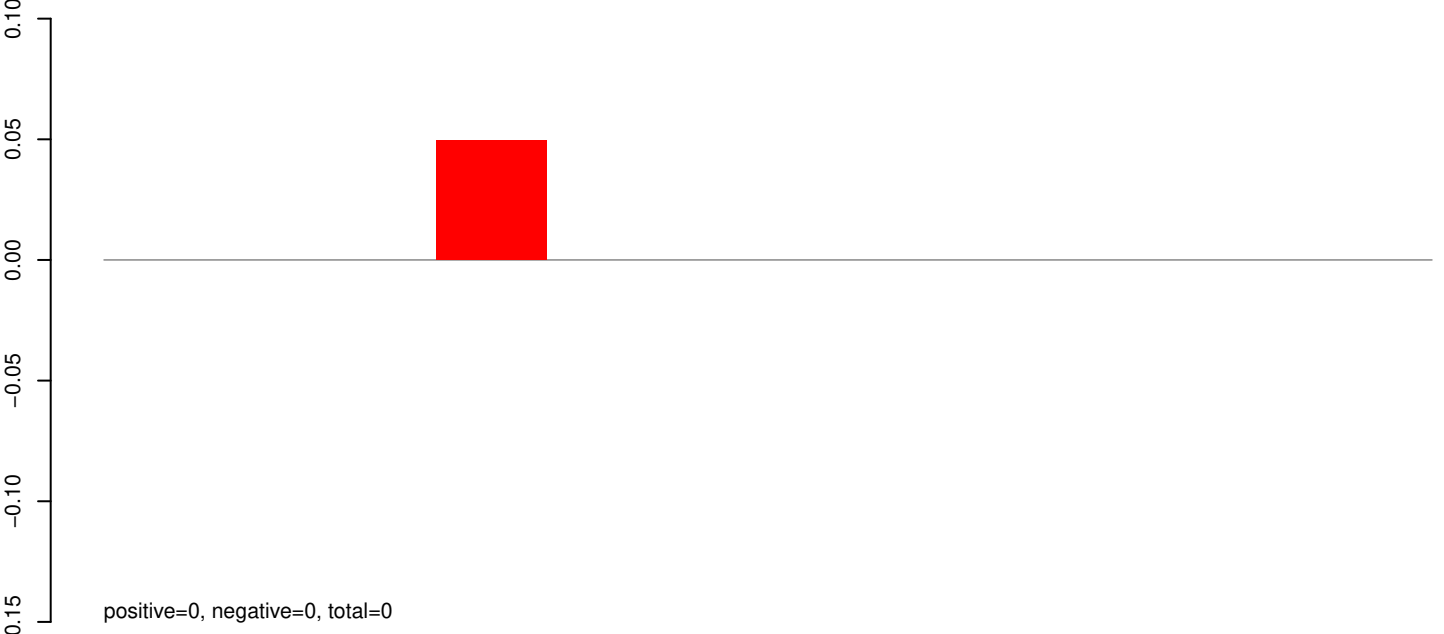
AeAeg_Aag2SINV_dsPiwi4.rep



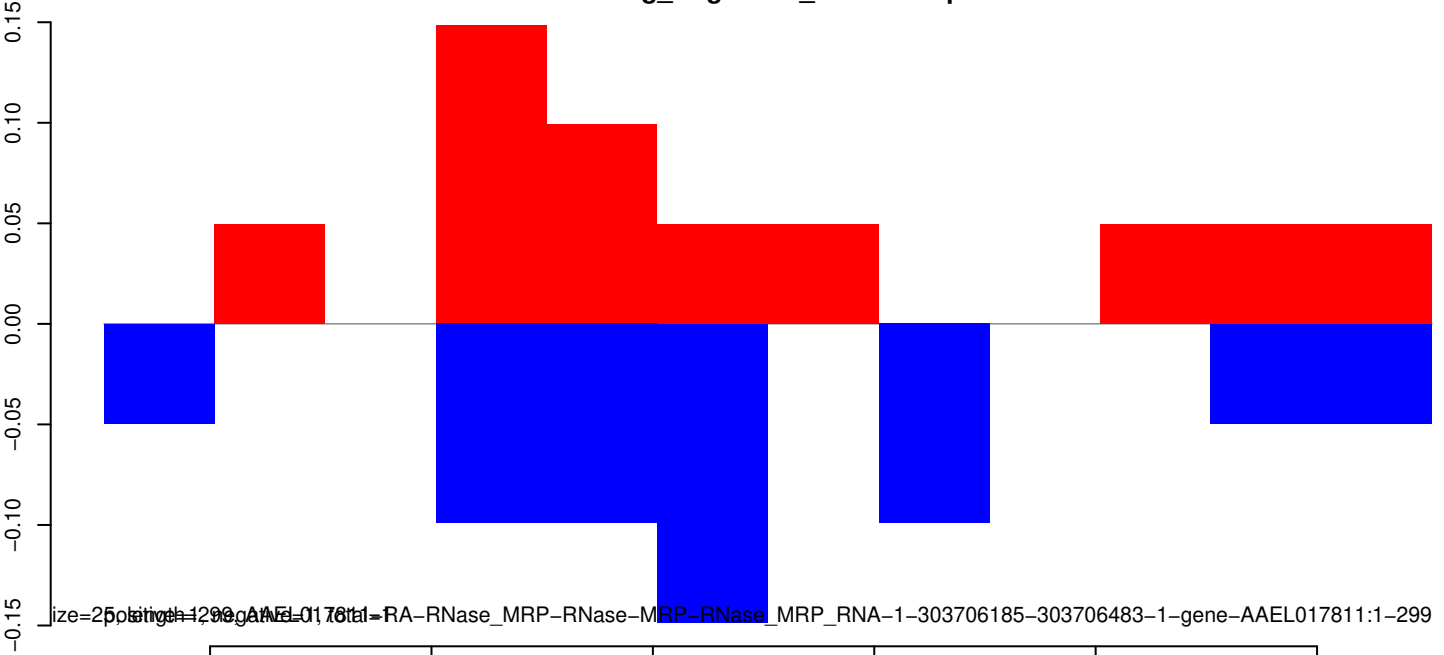
AeAeg_Aag2SINV_dsPiwi4.18_23.rep



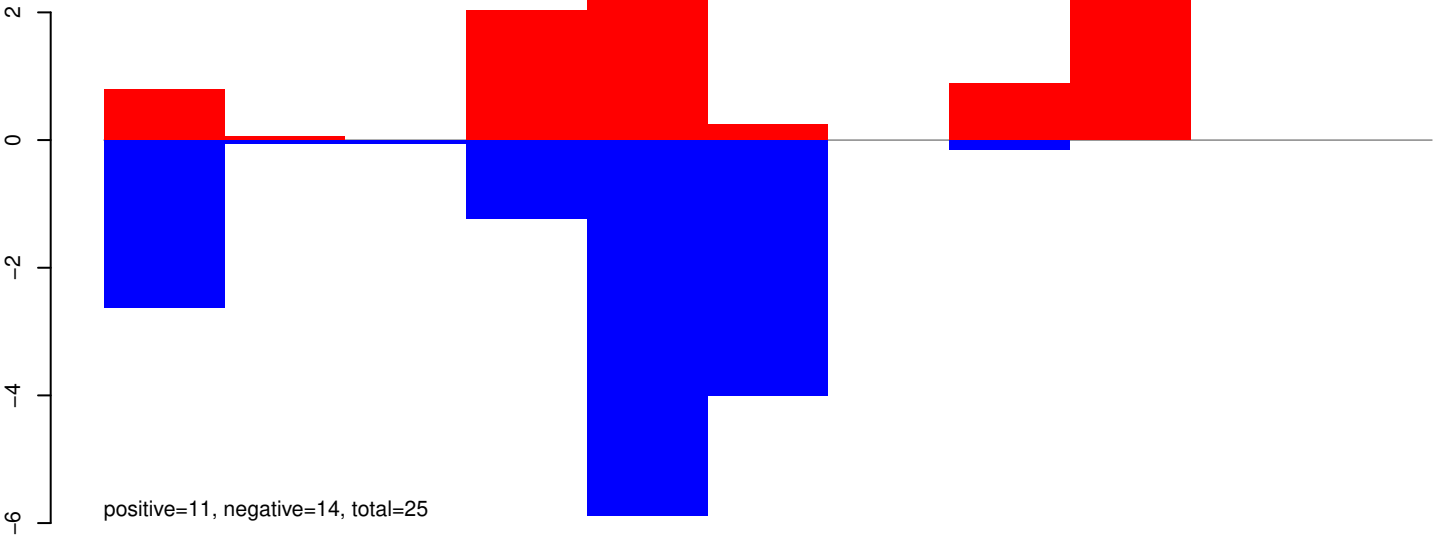
AeAeg_Aag2SINV_dsPiwi4.24_35.rep



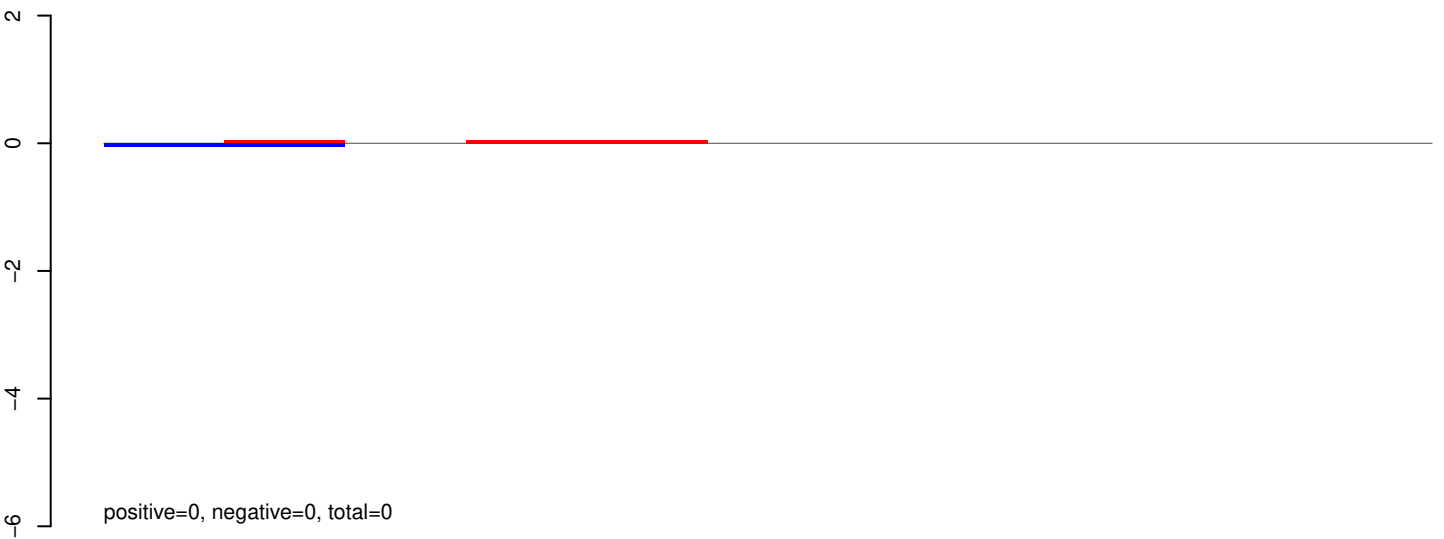
AeAeg_Aag2SINV_dsPiwi4.rep



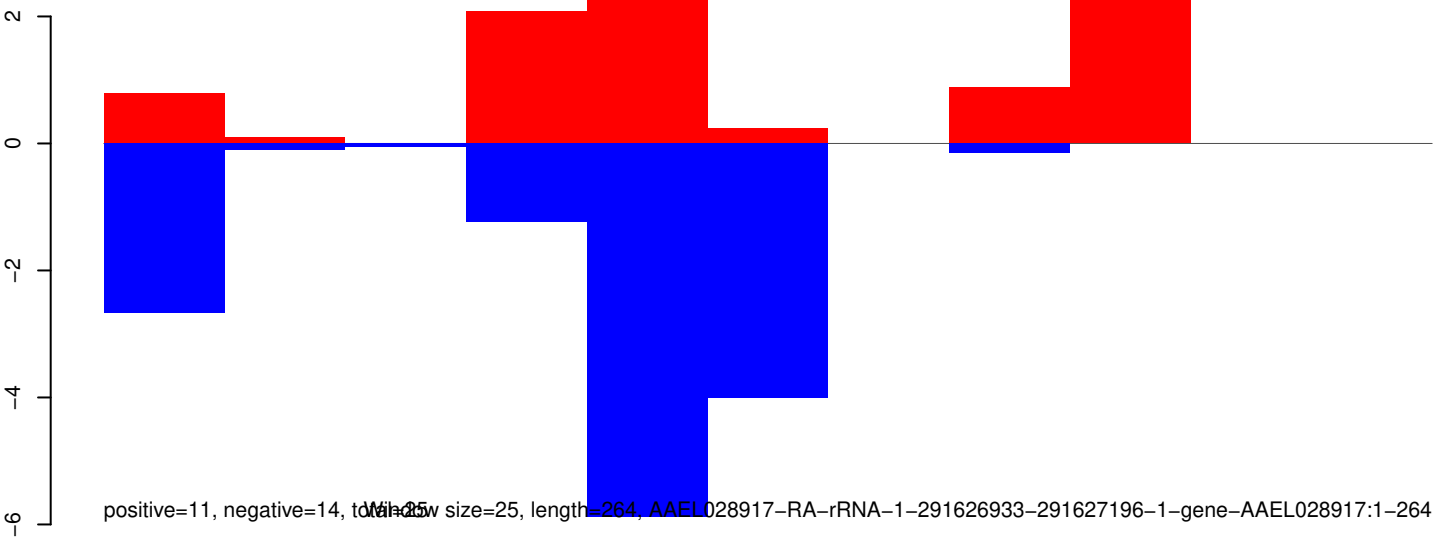
AeAeg_Aag2SINV_dsPiwi4.18_23.rep



AeAeg_Aag2SINV_dsPiwi4.24_35.rep



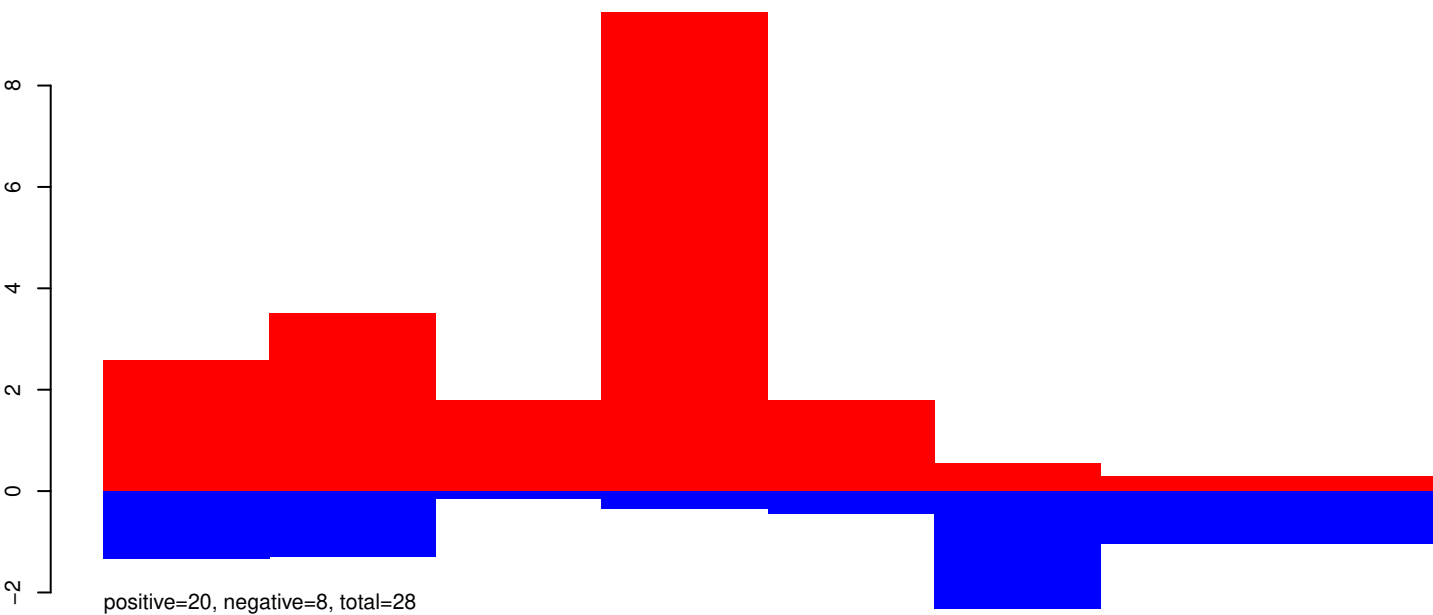
AeAeg_Aag2SINV_dsPiwi4.rep



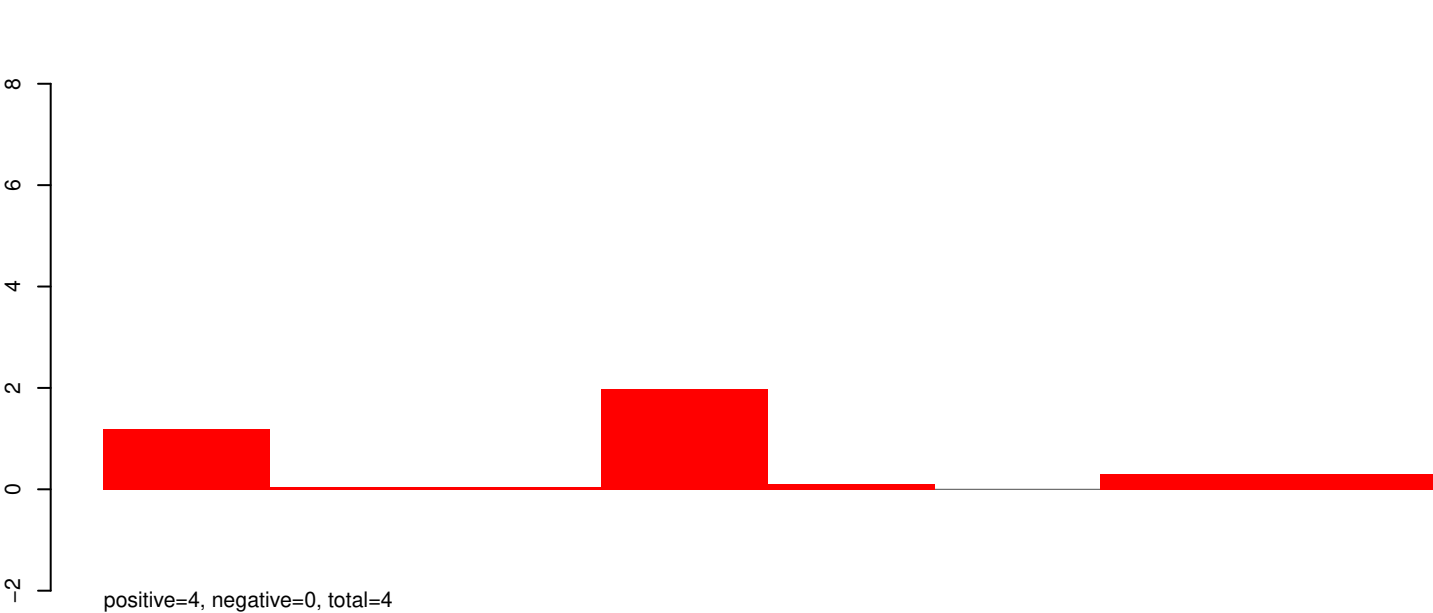
positive=11, negative=14, total=25, window size=25, length=264, AAEL028917-RA-rRNA-1-291626933-291627196-1-gene-AAEL028917:1-264

50 100 150 200 250 300

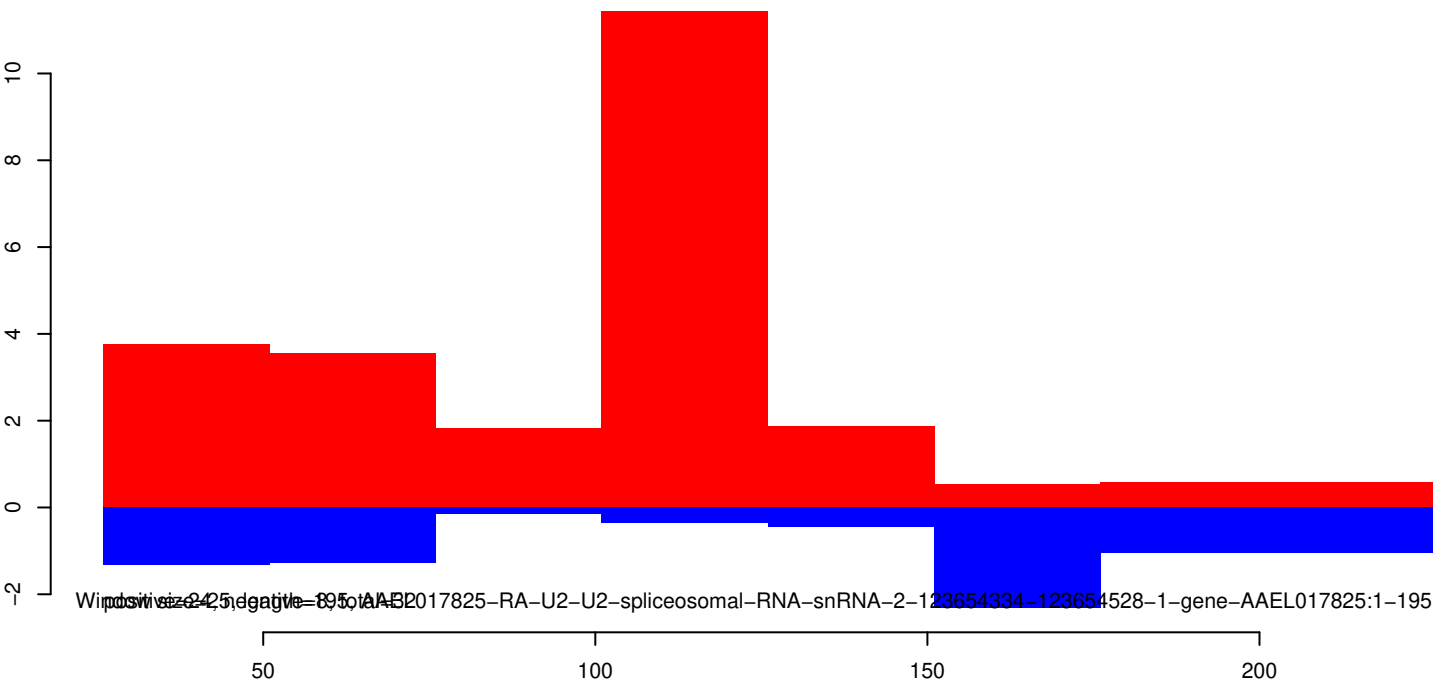
AeAeg_Aag2SINV_dsPiwi4.18_23.rep



AeAeg_Aag2SINV_dsPiwi4.24_35.rep

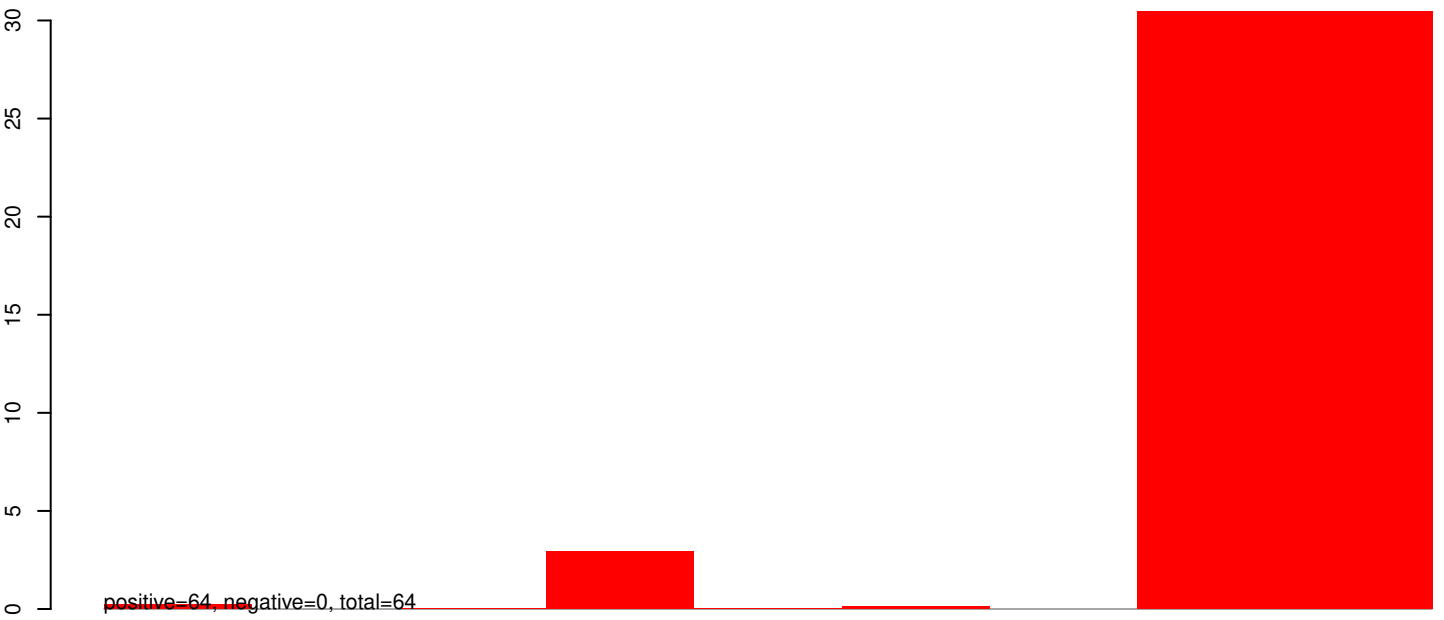


AeAeg_Aag2SINV_dsPiwi4.rep

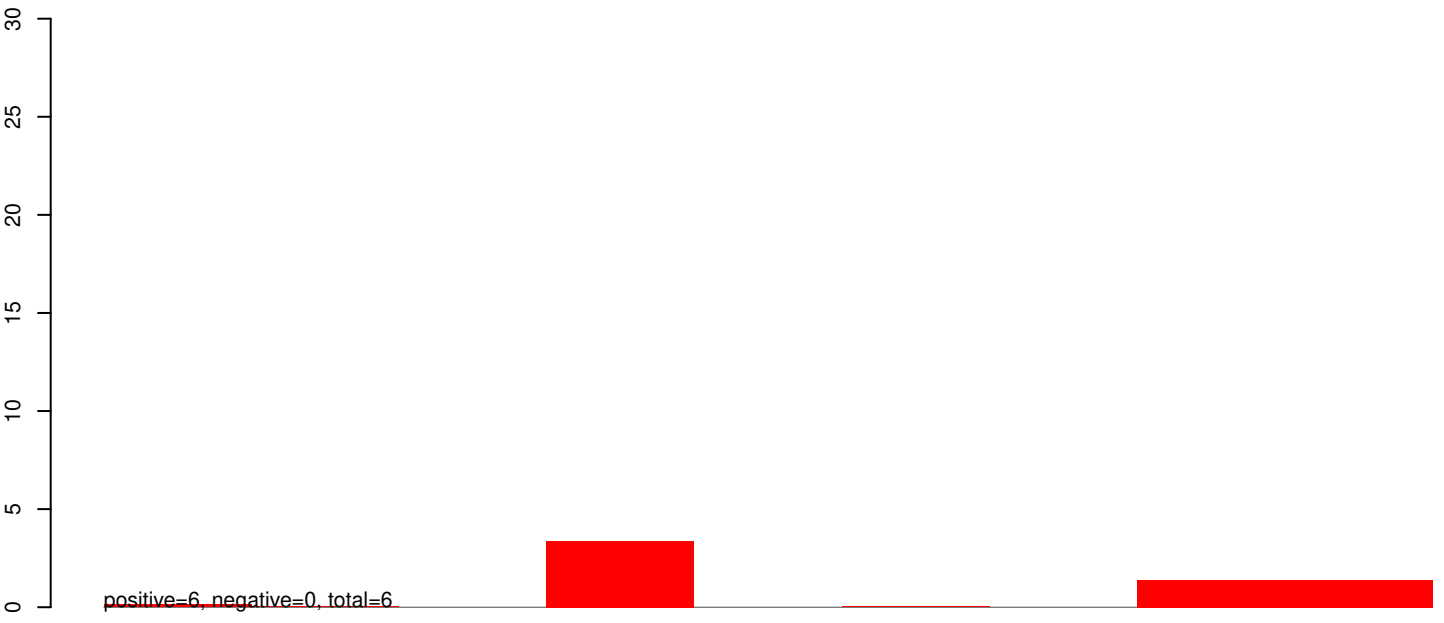


Wipac swiss-2.5, negative=895, total=1432017825-RA-U2-U2-spliceosomal-RNA-snRNA-2-123654334-123654528-1-gene-AAEL017825:1-195

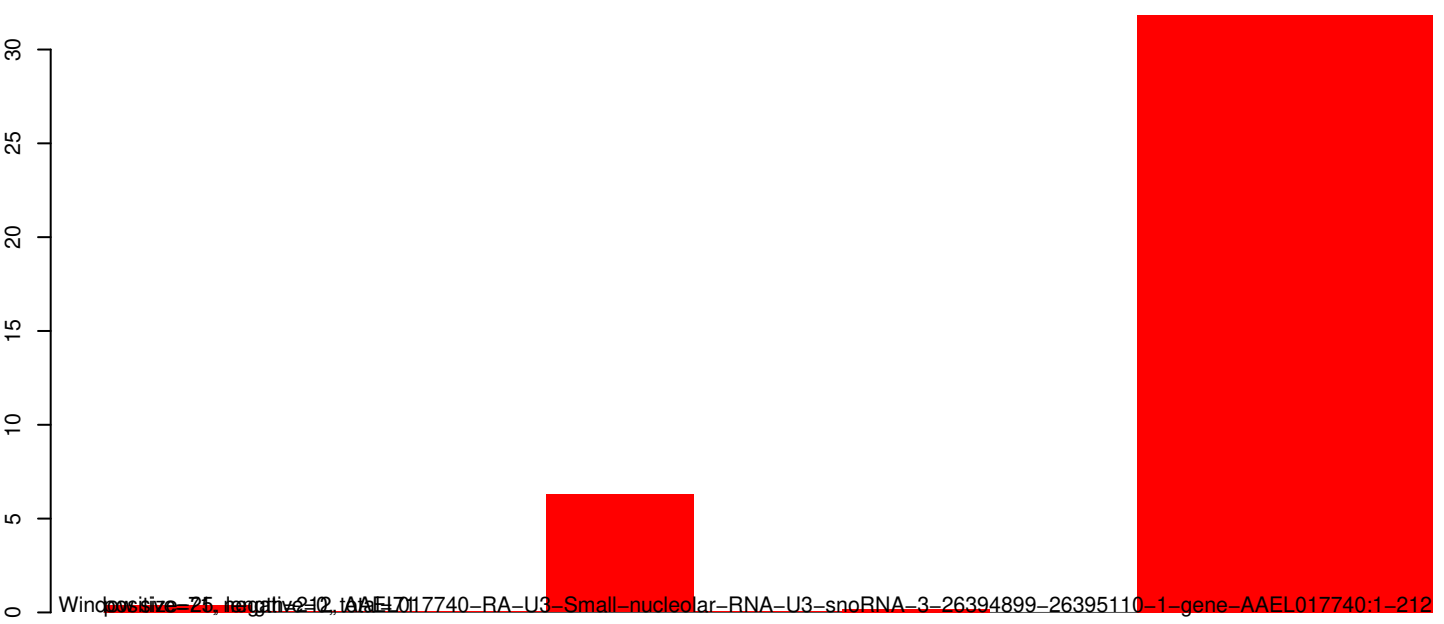
AeAeg_Aag2SINV_dsPiwi4.18_23.rep



AeAeg_Aag2SINV_dsPiwi4.24_35.rep

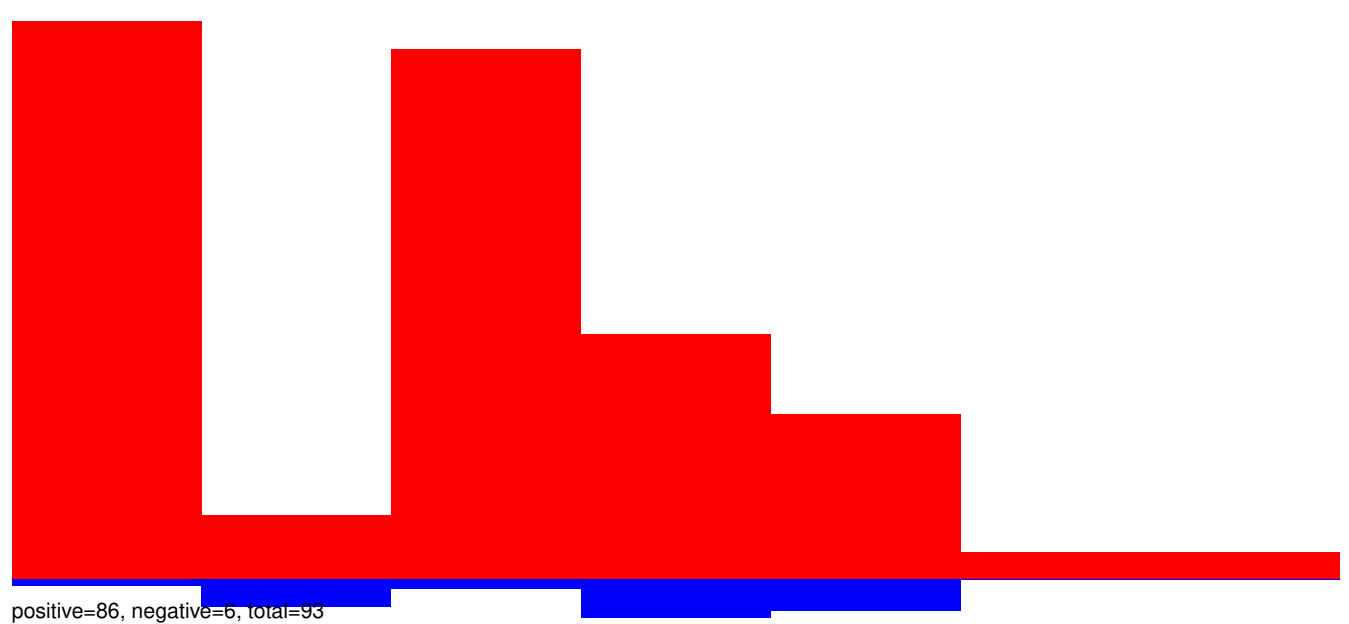


AeAeg_Aag2SINV_dsPiwi4.rep

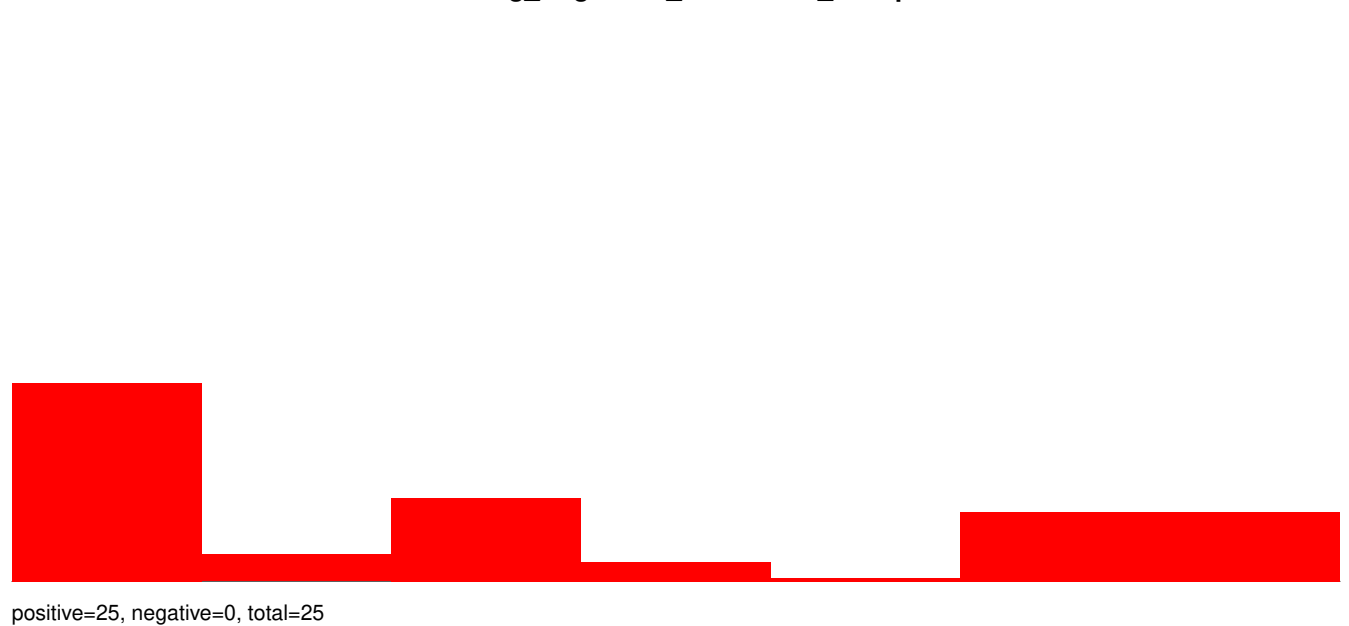


Windoski, 2012, AAEI017740-RA-U3-Small-nucleolar-RNA-U3-snoRNA-3-26394899-26395110-1-gene-AAEI017740:1-212

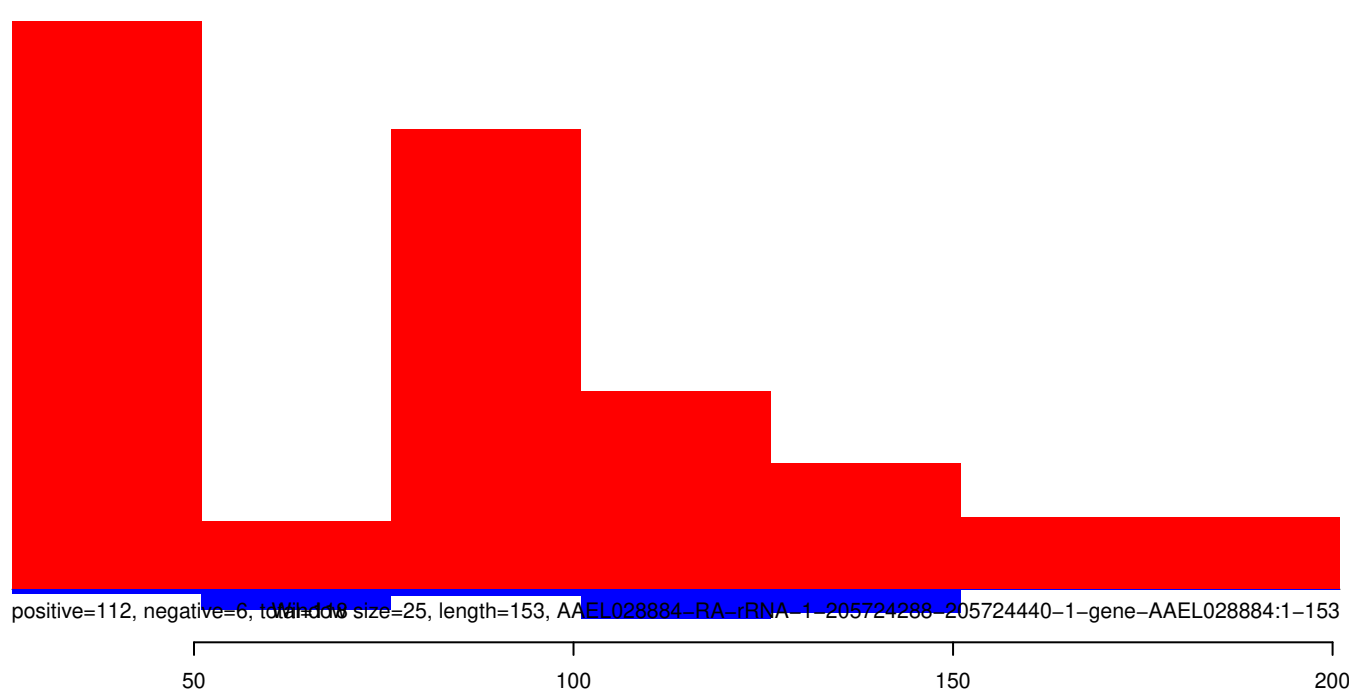
AeAeg_Aag2SINV_dsPiwi4.18_23.rep



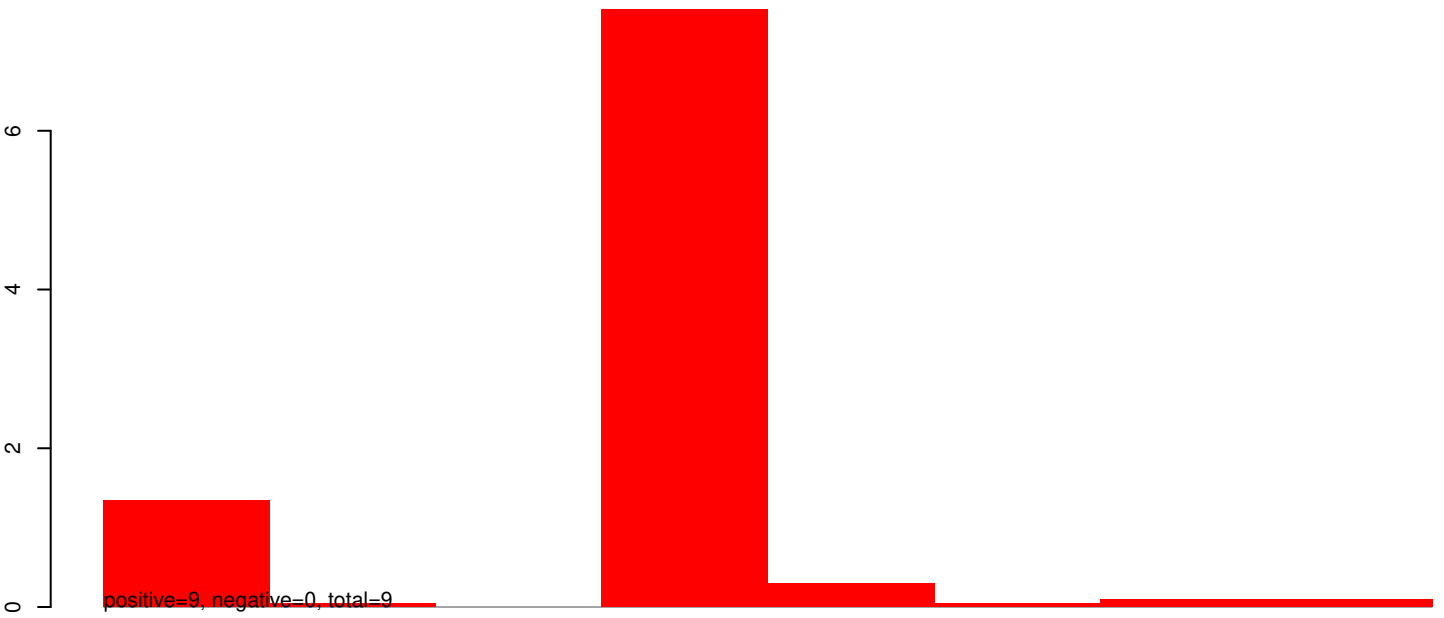
AeAeg_Aag2SINV_dsPiwi4.24_35.rep



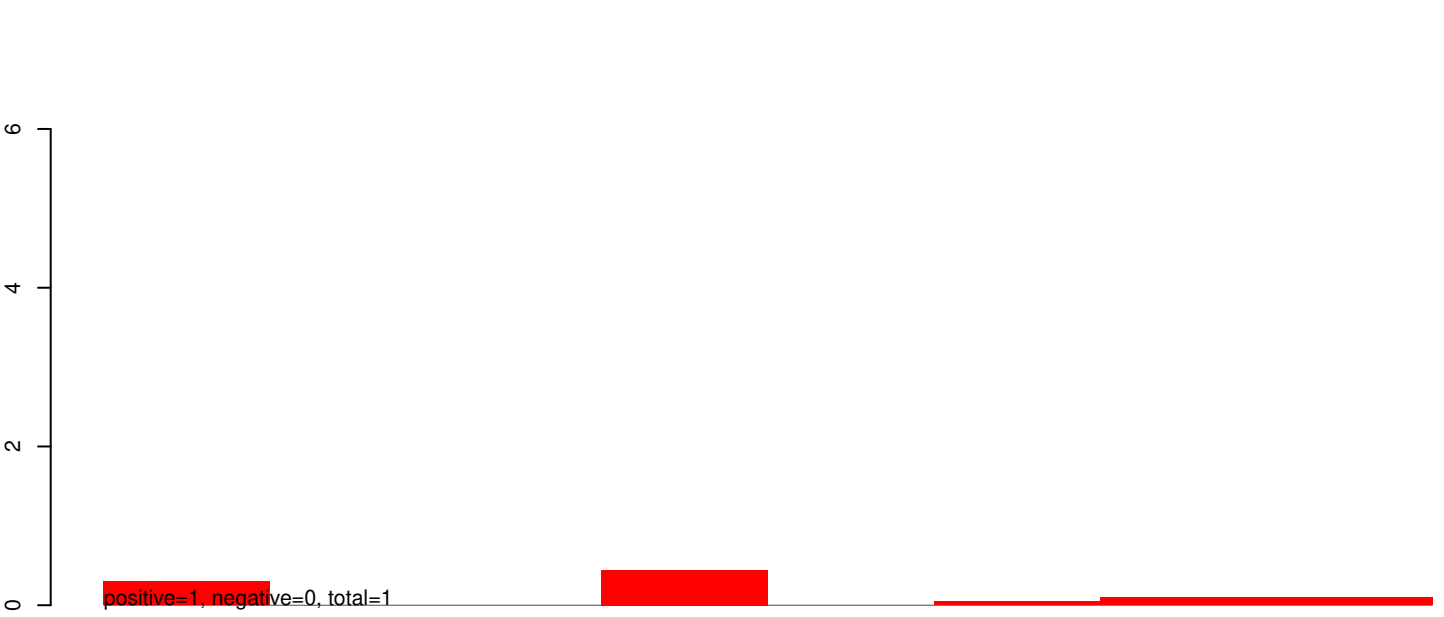
AeAeg_Aag2SINV_dsPiwi4.rep



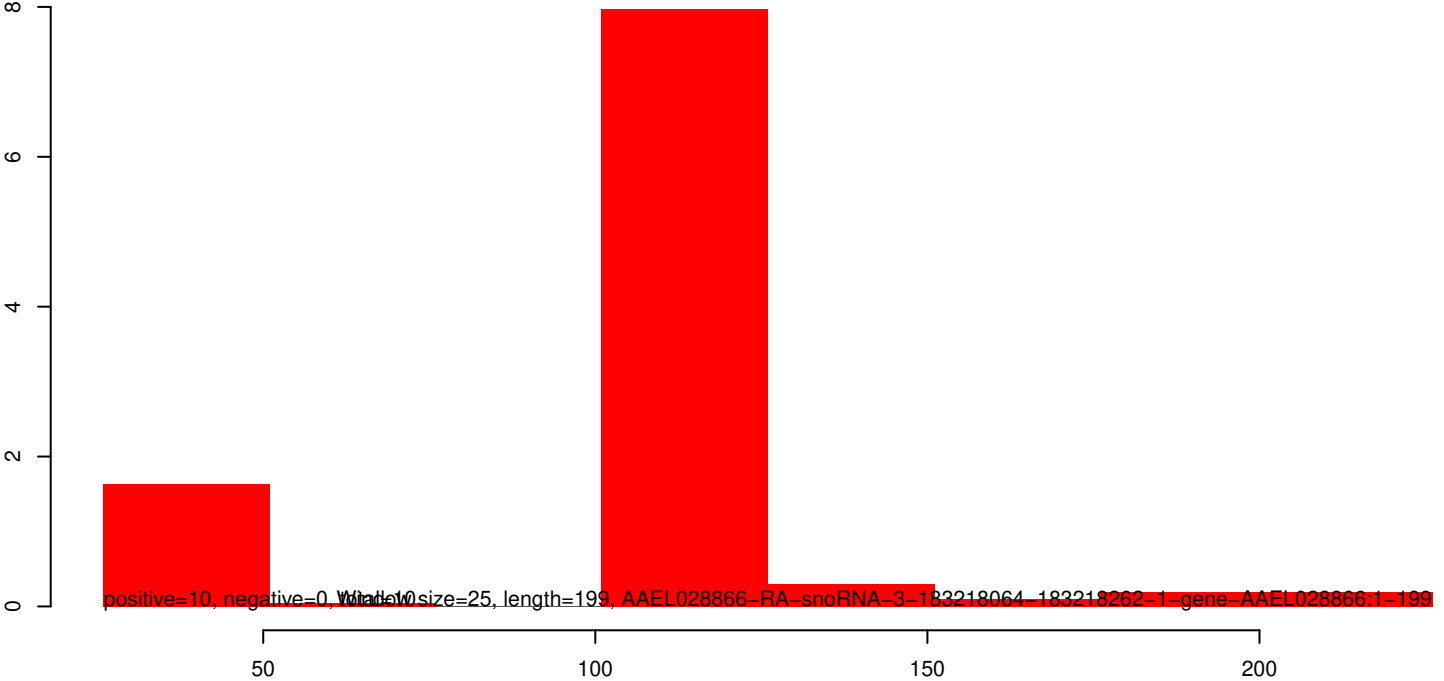
AeAeg_Aag2SINV_dsPiwi4.18_23.rep



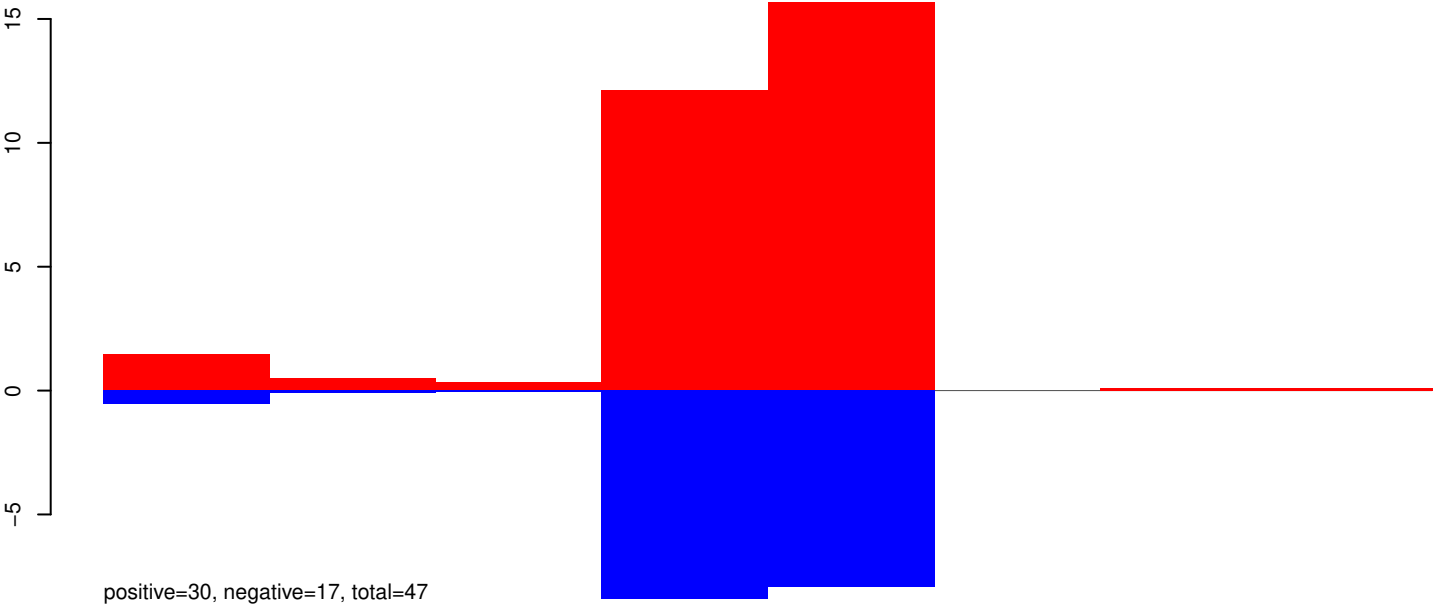
AeAeg_Aag2SINV_dsPiwi4.24_35.rep



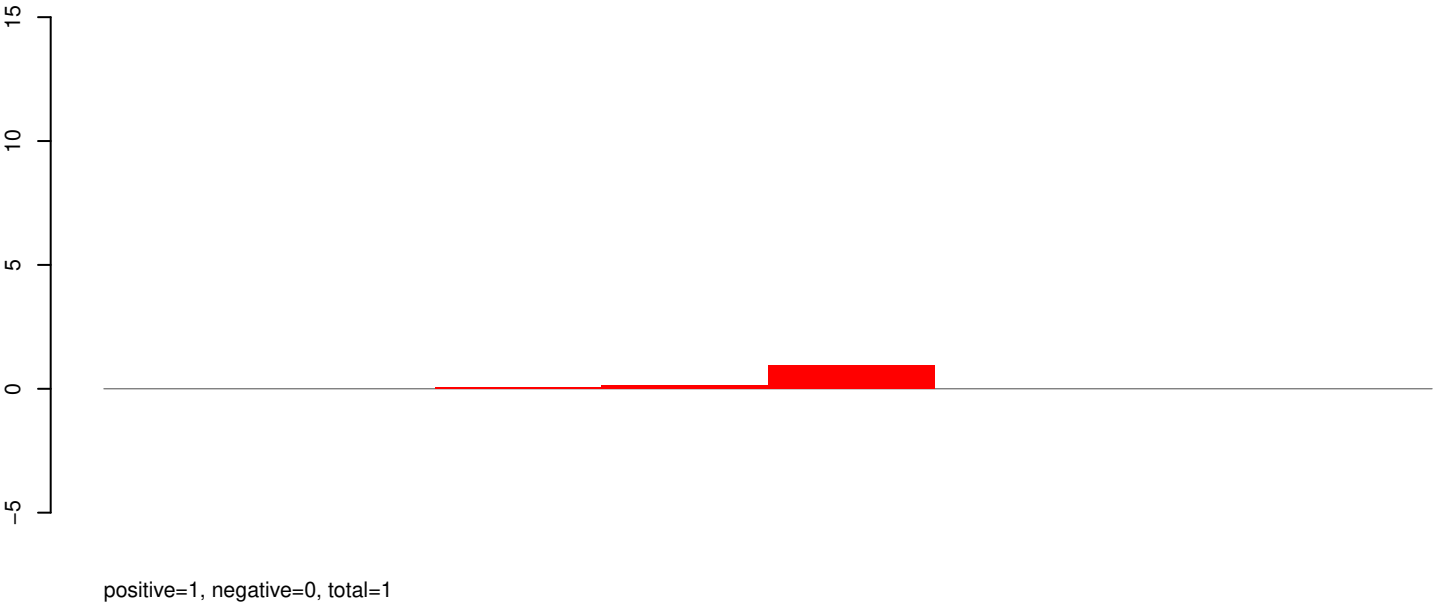
AeAeg_Aag2SINV_dsPiwi4.rep



AeAeg_Aag2SINV_dsPiwi4.18_23.rep



AeAeg_Aag2SINV_dsPiwi4.24_35.rep



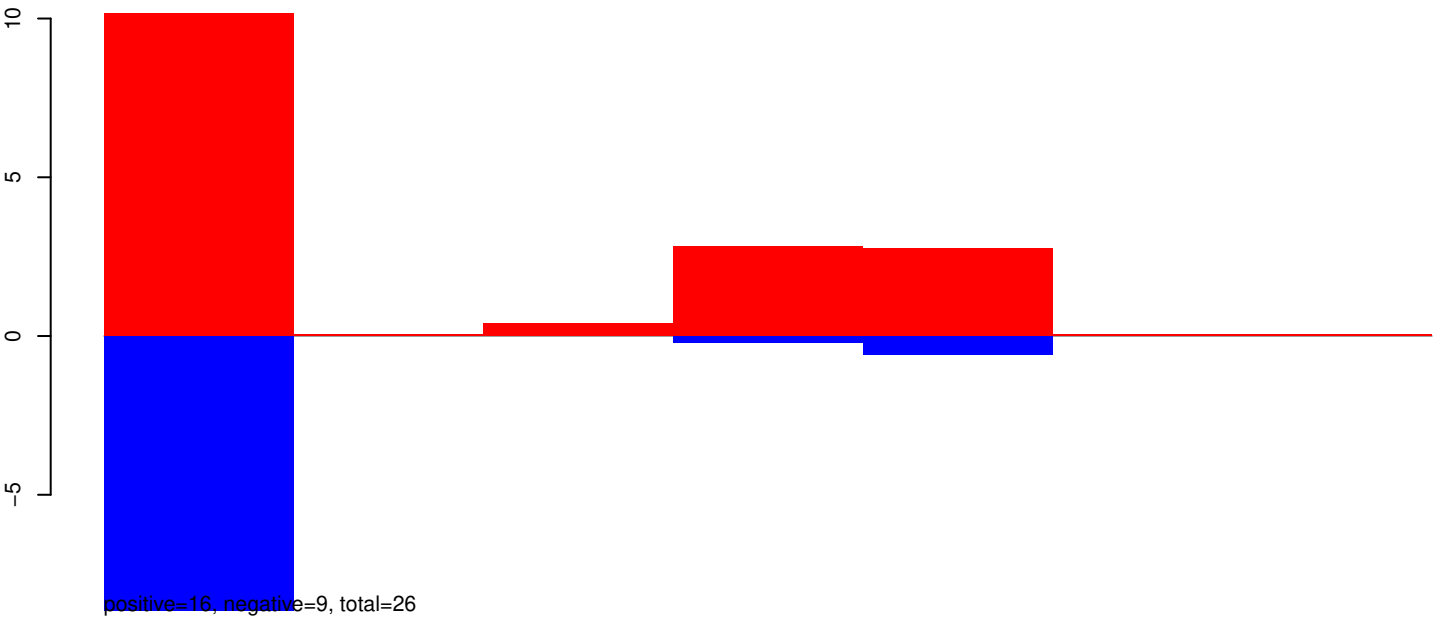
AeAeg_Aag2SINV_dsPiwi4.rep



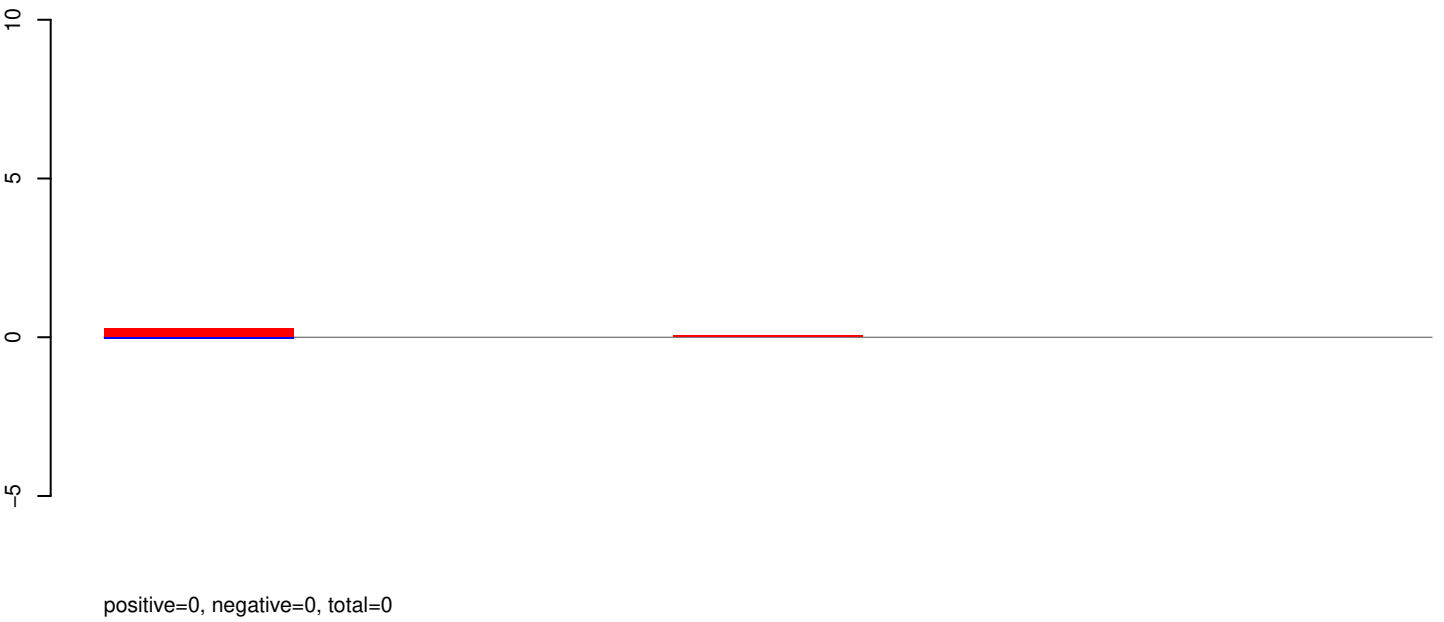
Window size=25, length=200, AAEL028777-RA-rRNA-1-260444138-260444337-1-gene-AAEL028777:1-200

50 100 150 200

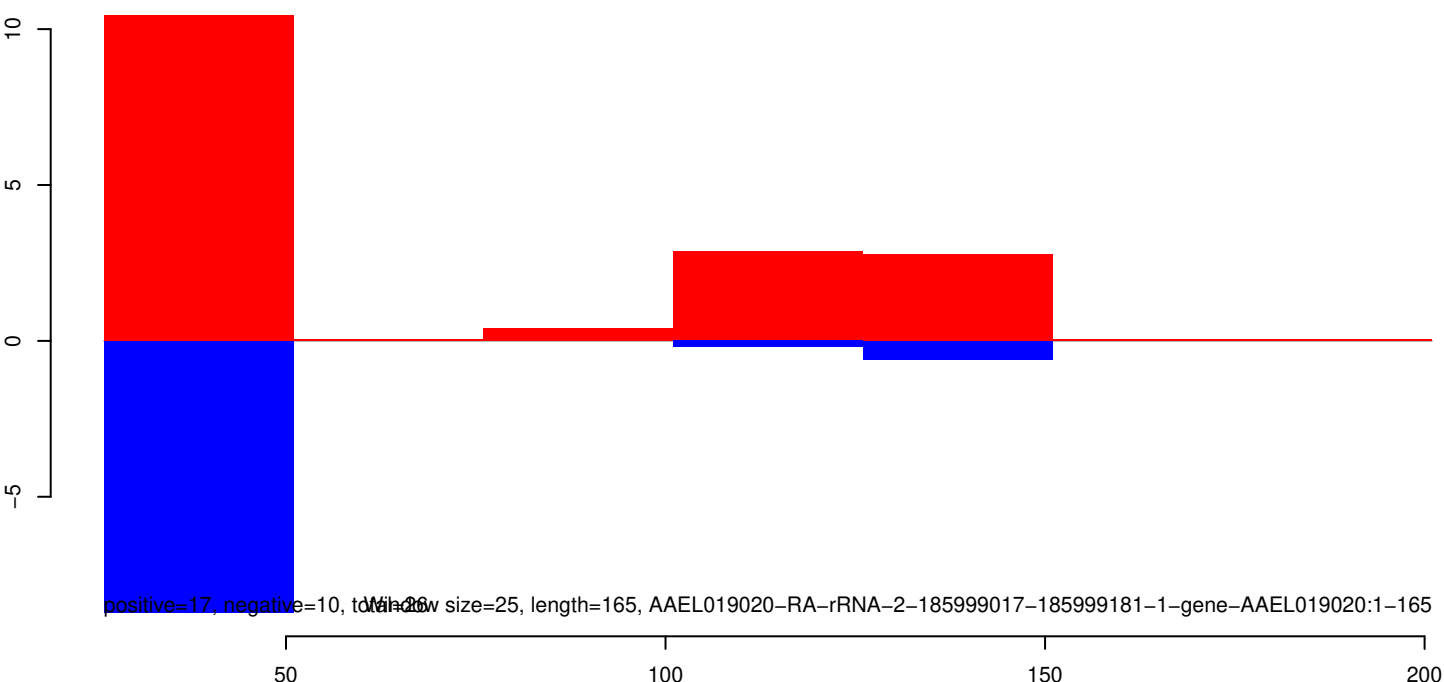
AeAeg_Aag2SINV_dsPiwi4.18_23.rep



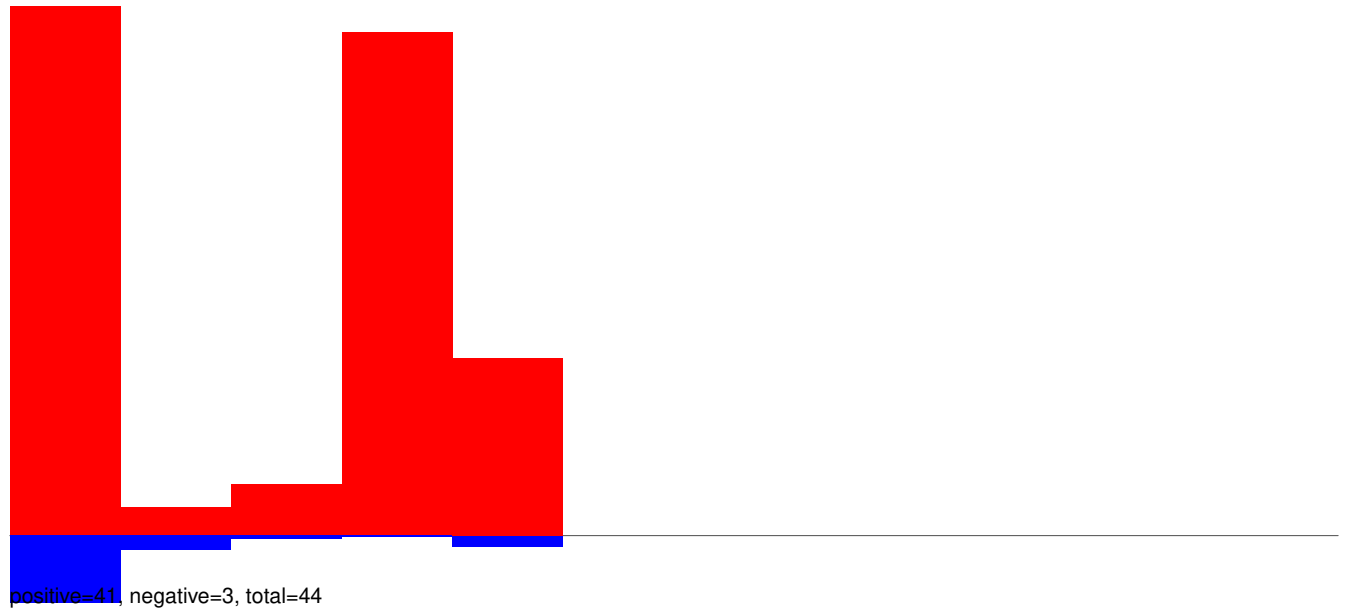
AeAeg_Aag2SINV_dsPiwi4.24_35.rep



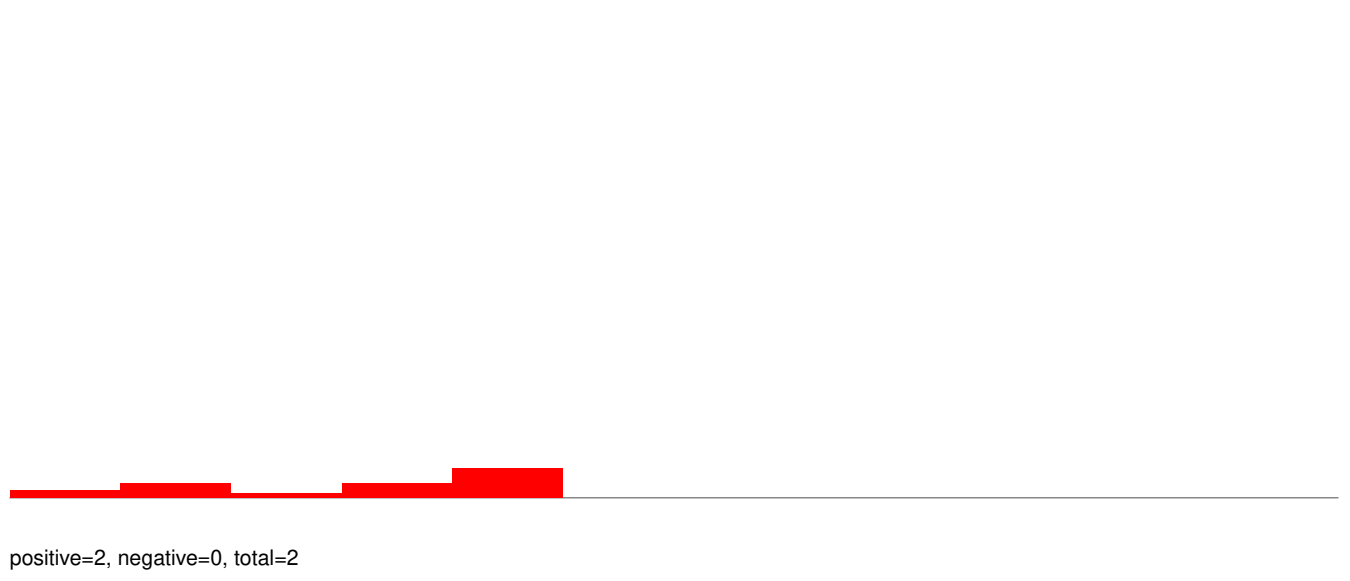
AeAeg_Aag2SINV_dsPiwi4.rep



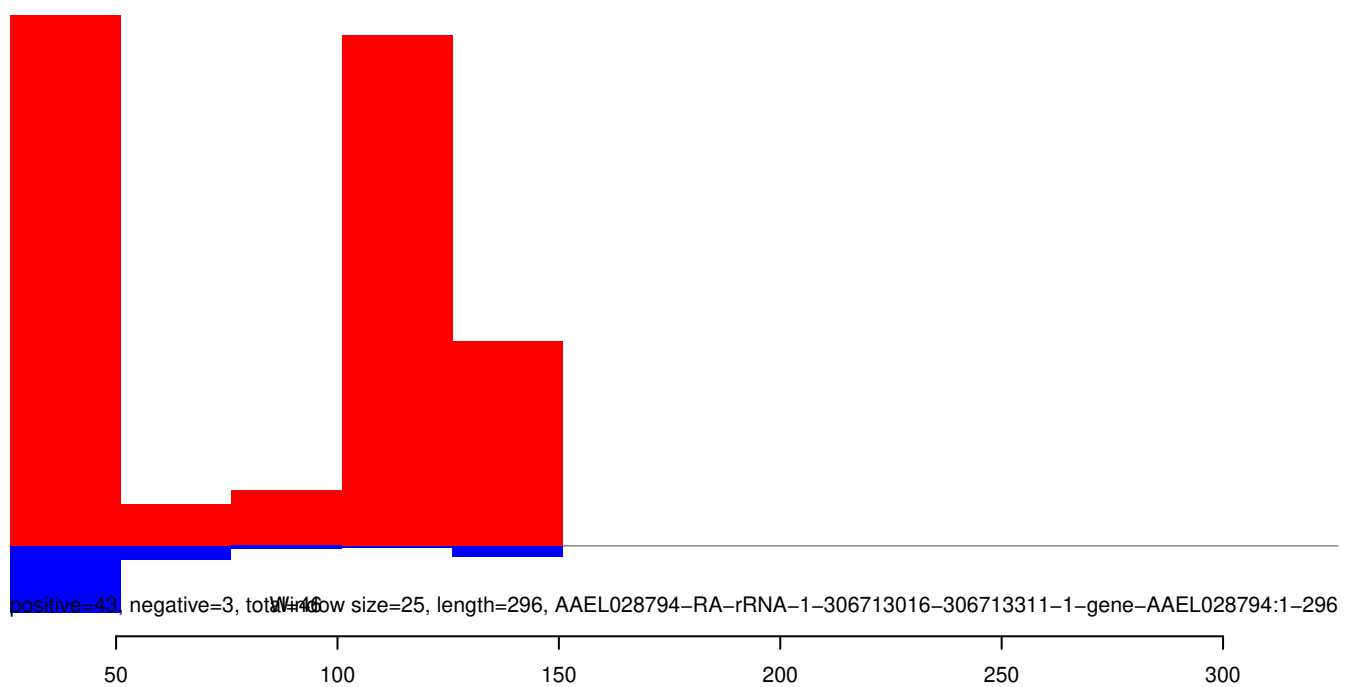
AeAeg_Aag2SINV_dsPiwi4.18_23.rep



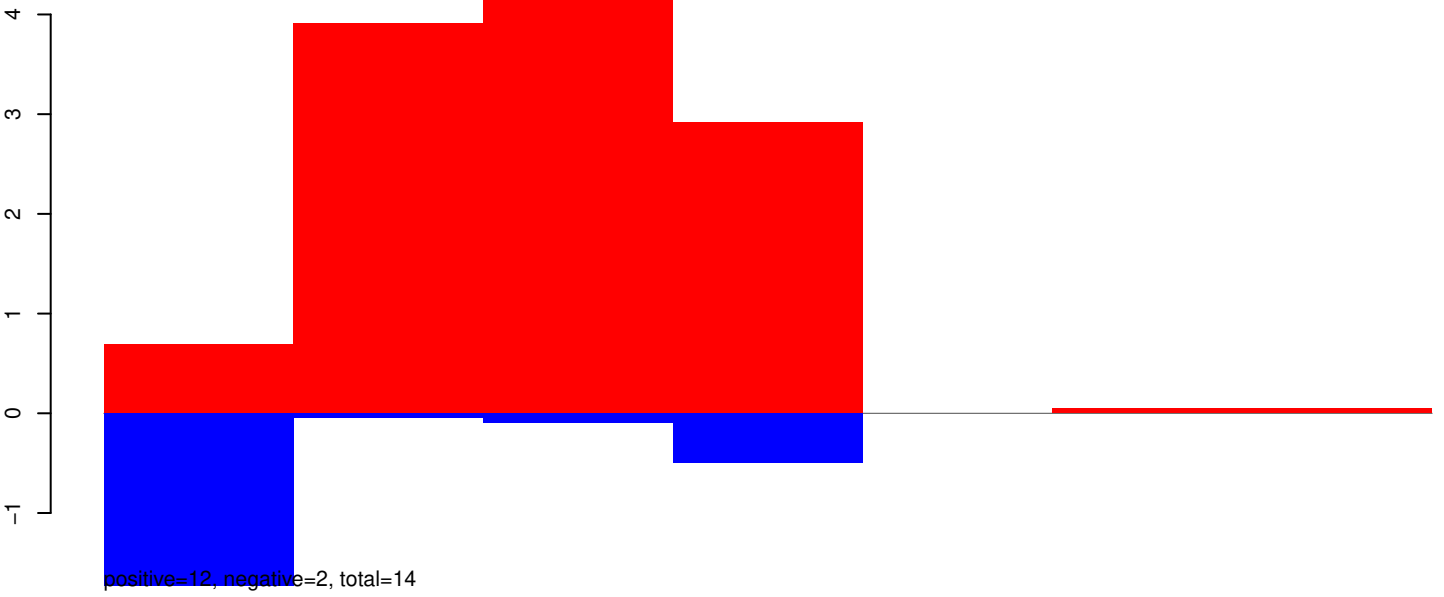
AeAeg_Aag2SINV_dsPiwi4.24_35.rep



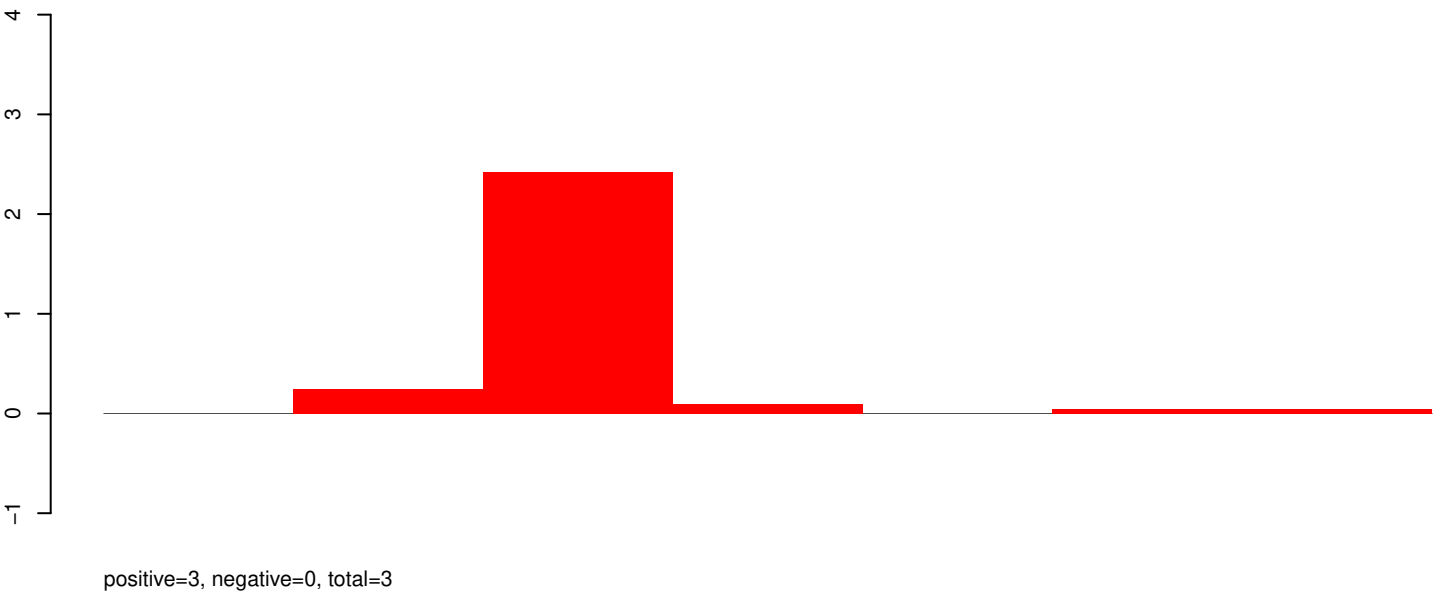
AeAeg_Aag2SINV_dsPiwi4.rep



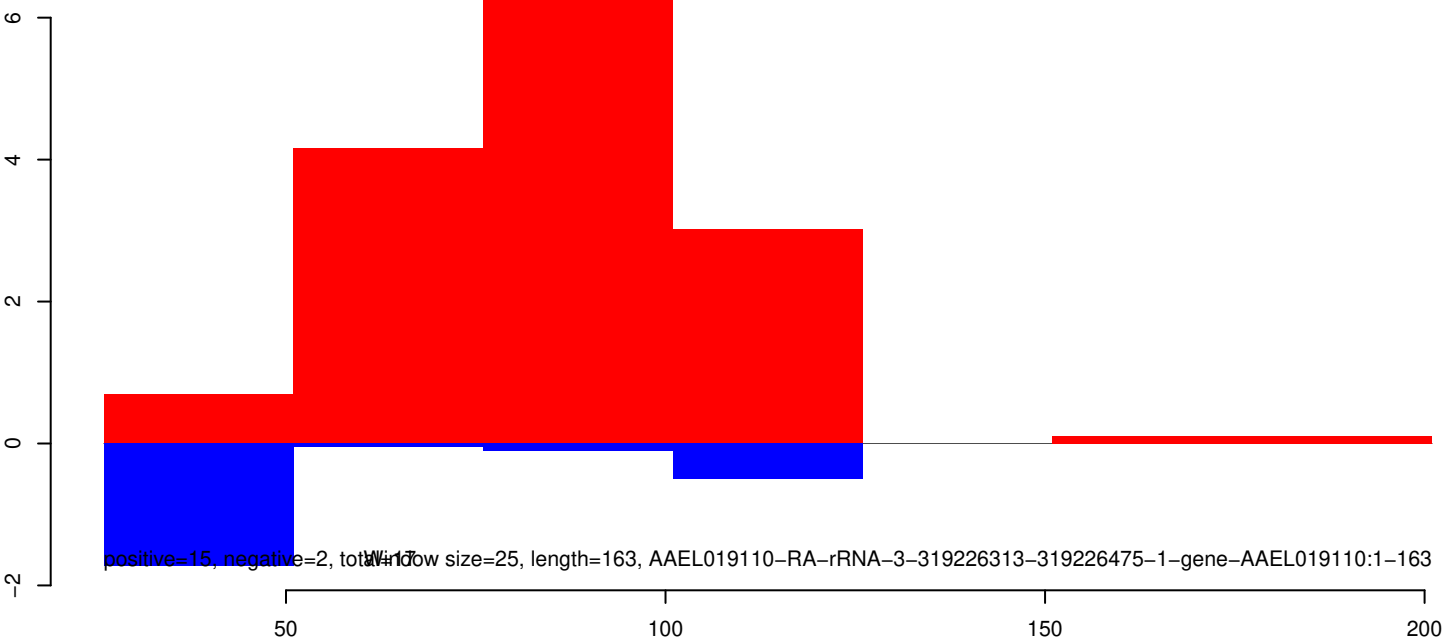
AeAeg_Aag2SINV_dsPiwi4.18_23.rep



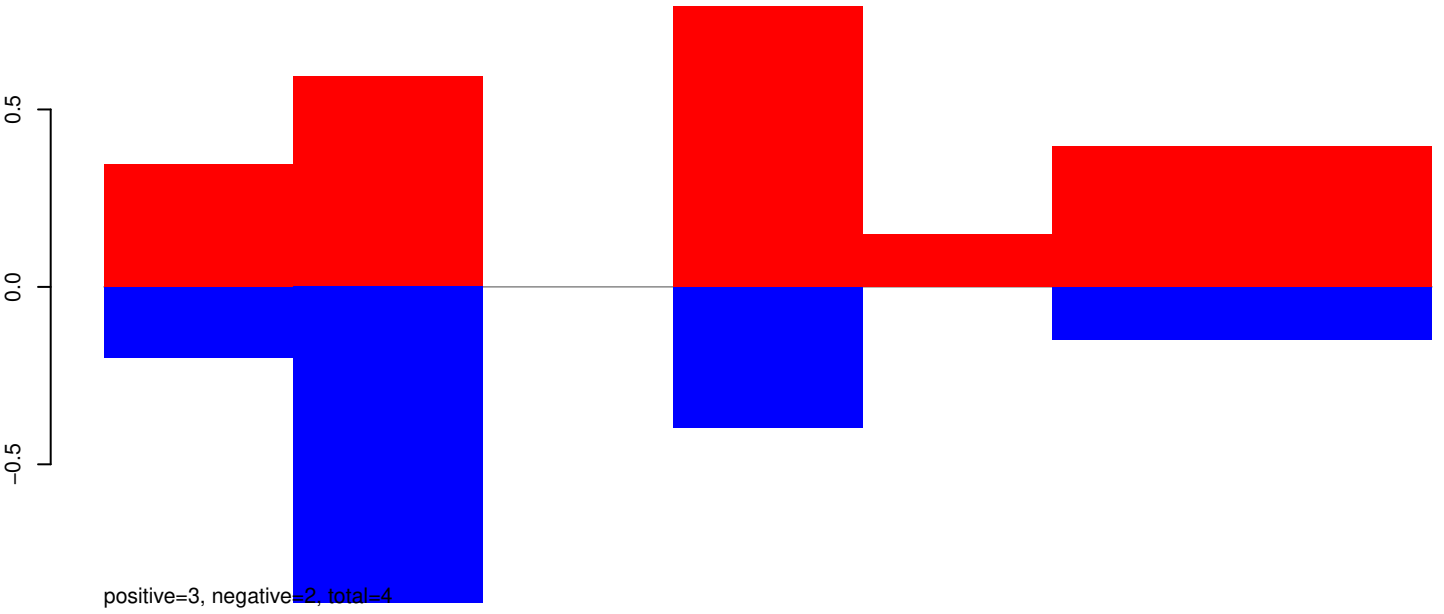
AeAeg_Aag2SINV_dsPiwi4.24_35.rep



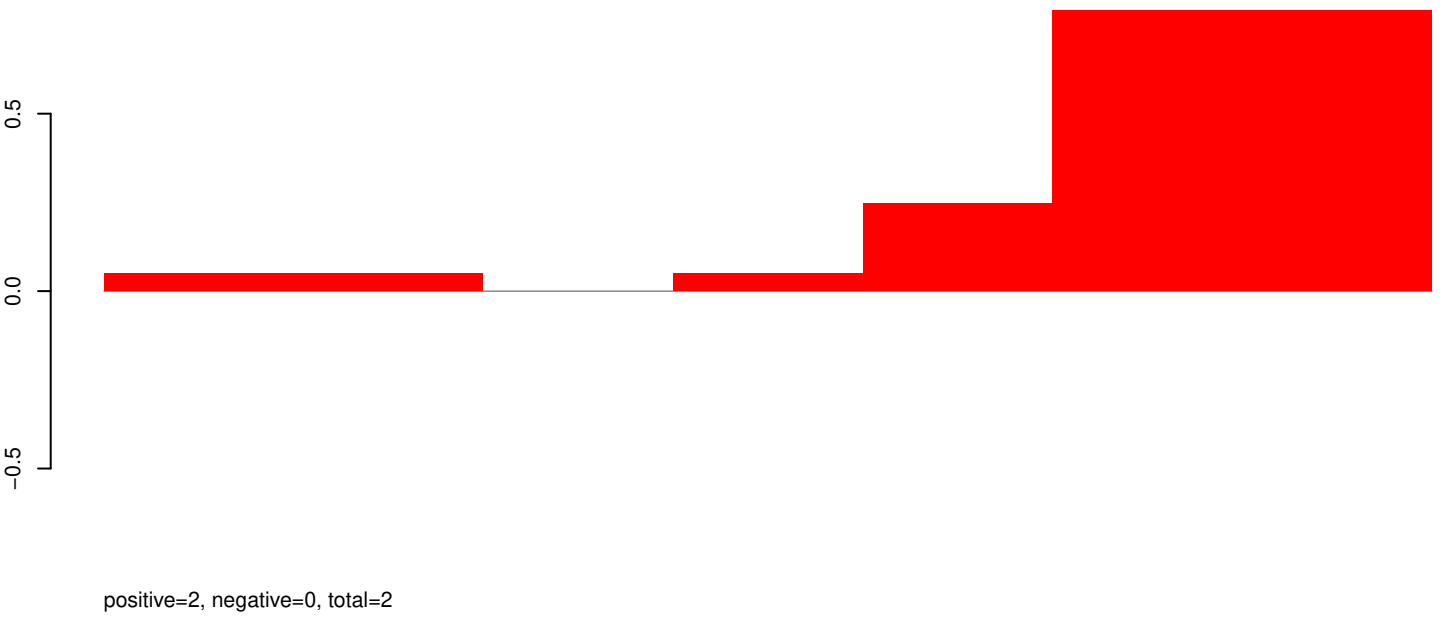
AeAeg_Aag2SINV_dsPiwi4.rep



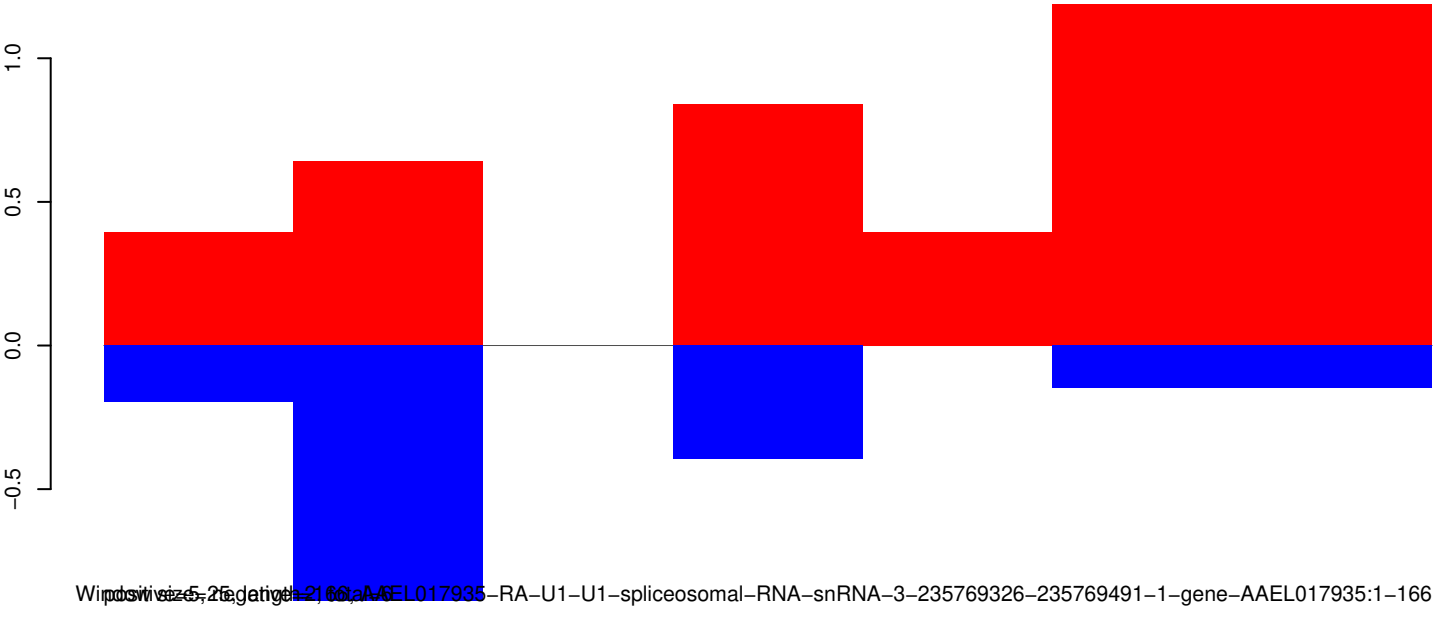
AeAeg_Aag2SINV_dsPiwi4.18_23.rep



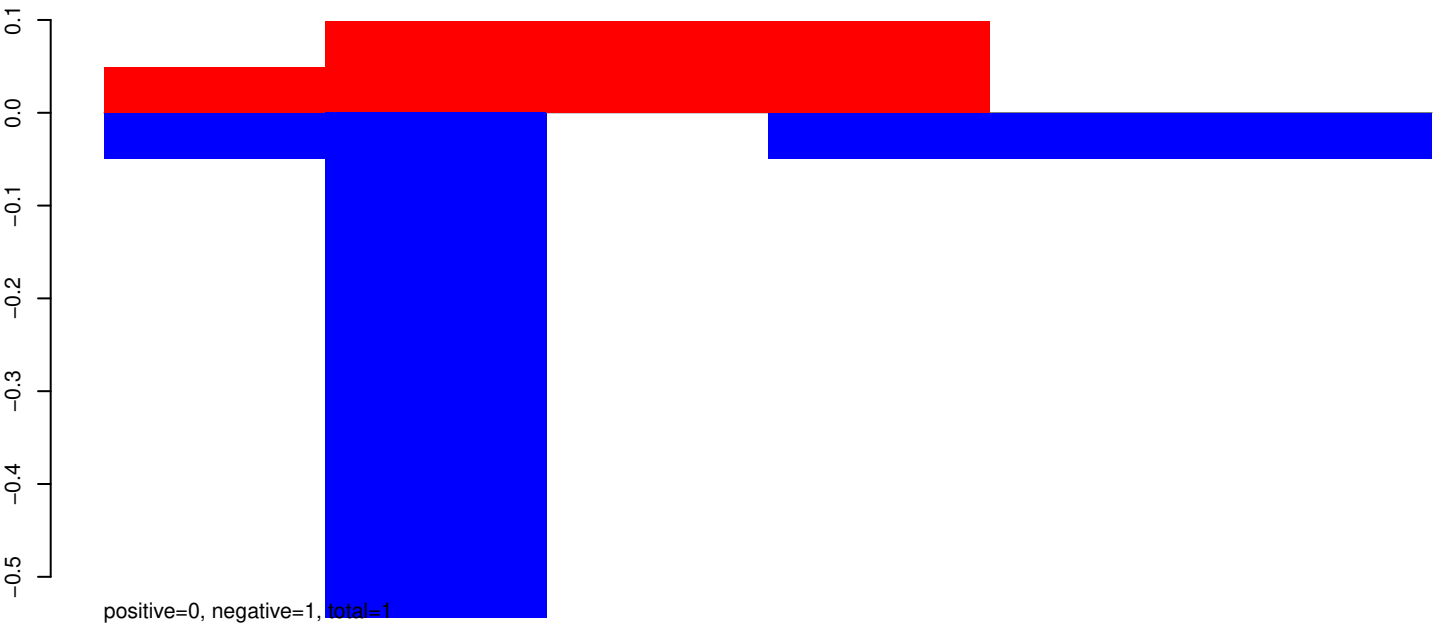
AeAeg_Aag2SINV_dsPiwi4.24_35.rep



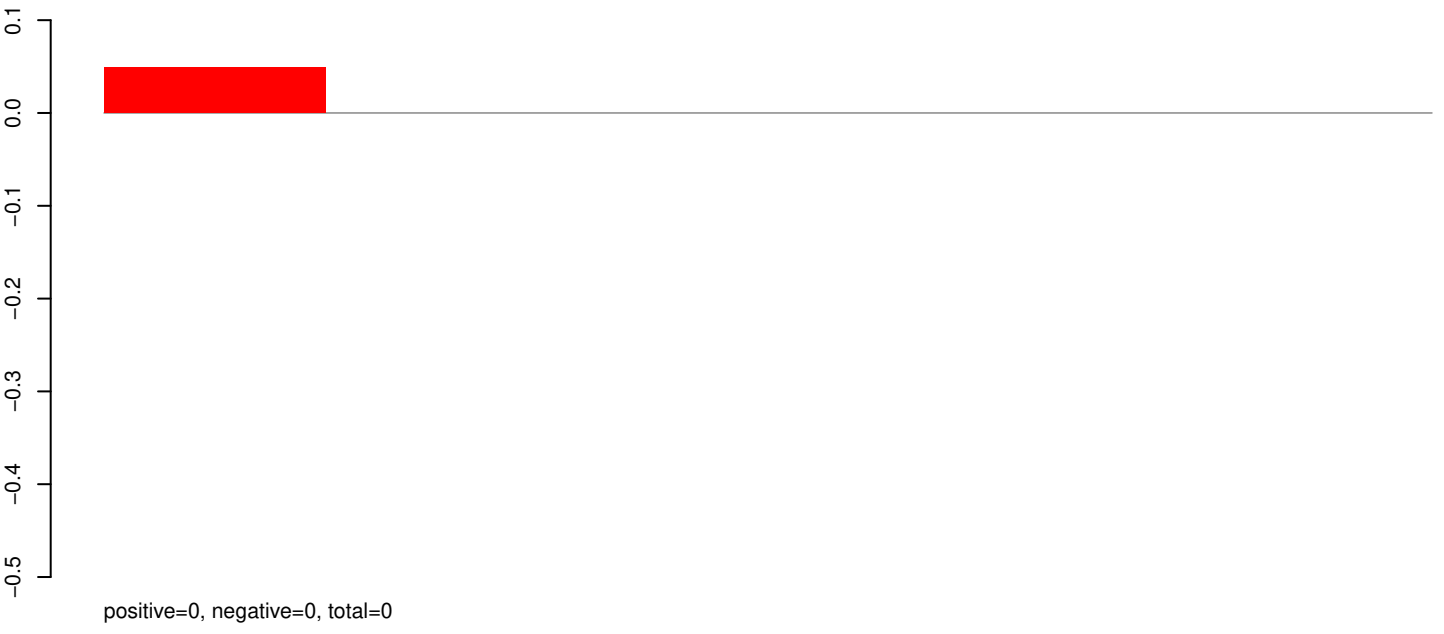
AeAeg_Aag2SINV_dsPiwi4.rep



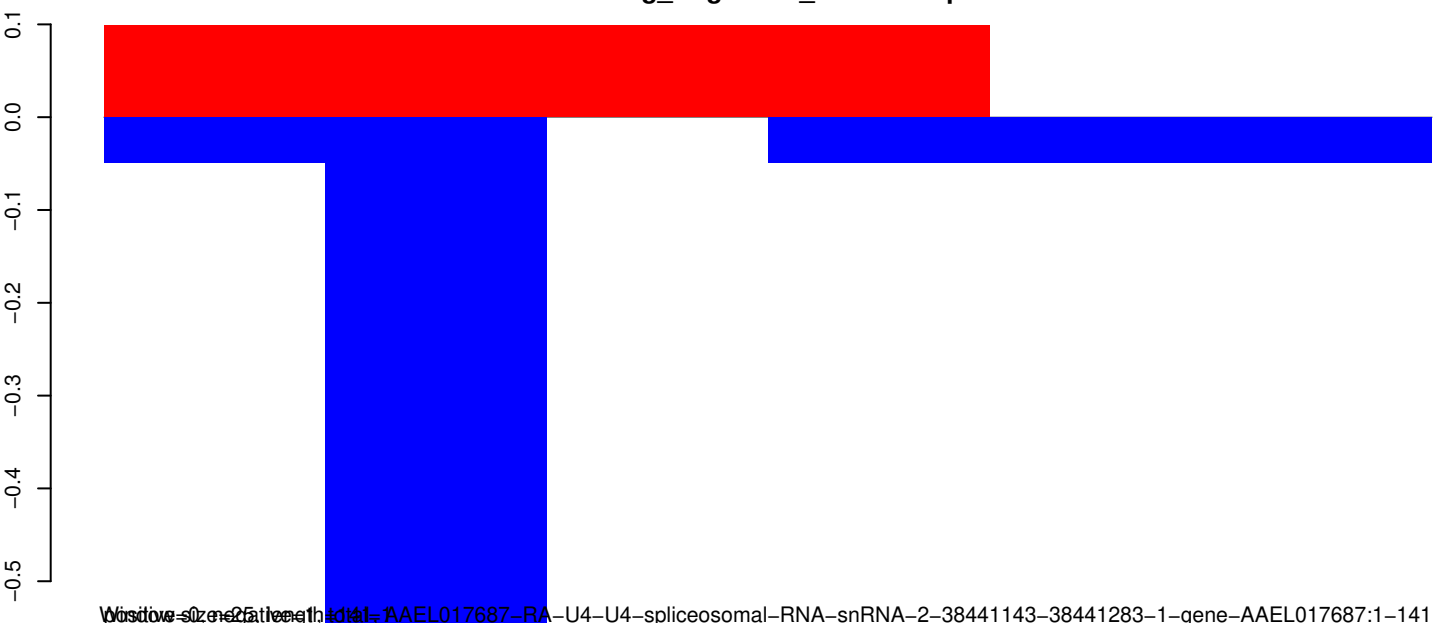
AeAeg_Aag2SINV_dsPiwi4.18_23.rep



AeAeg_Aag2SINV_dsPiwi4.24_35.rep

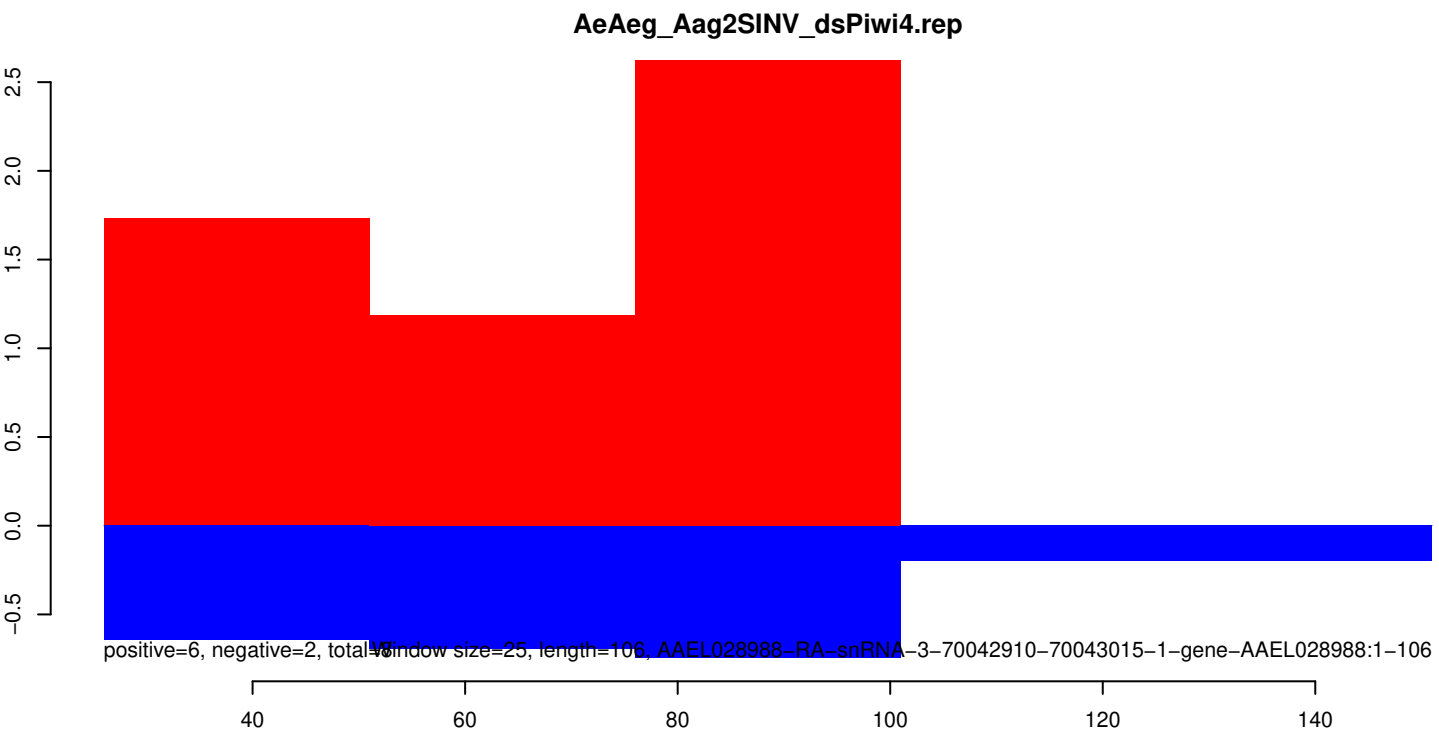
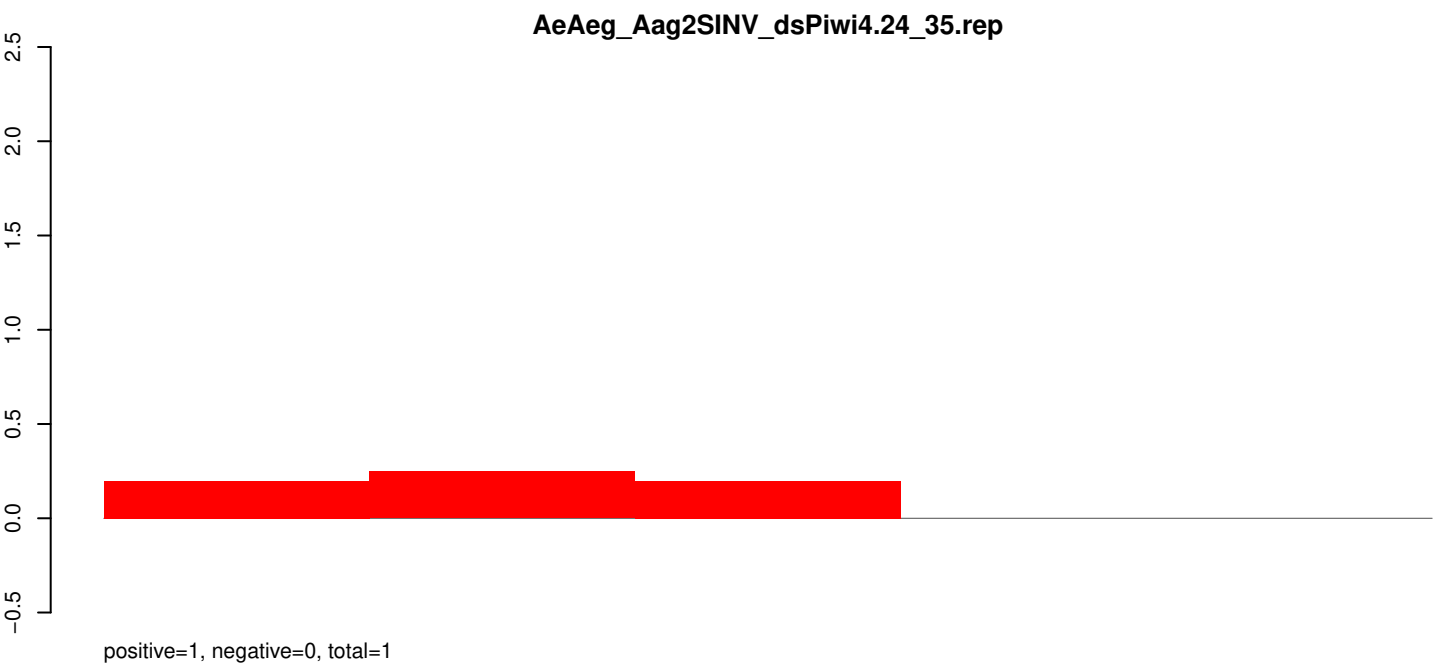
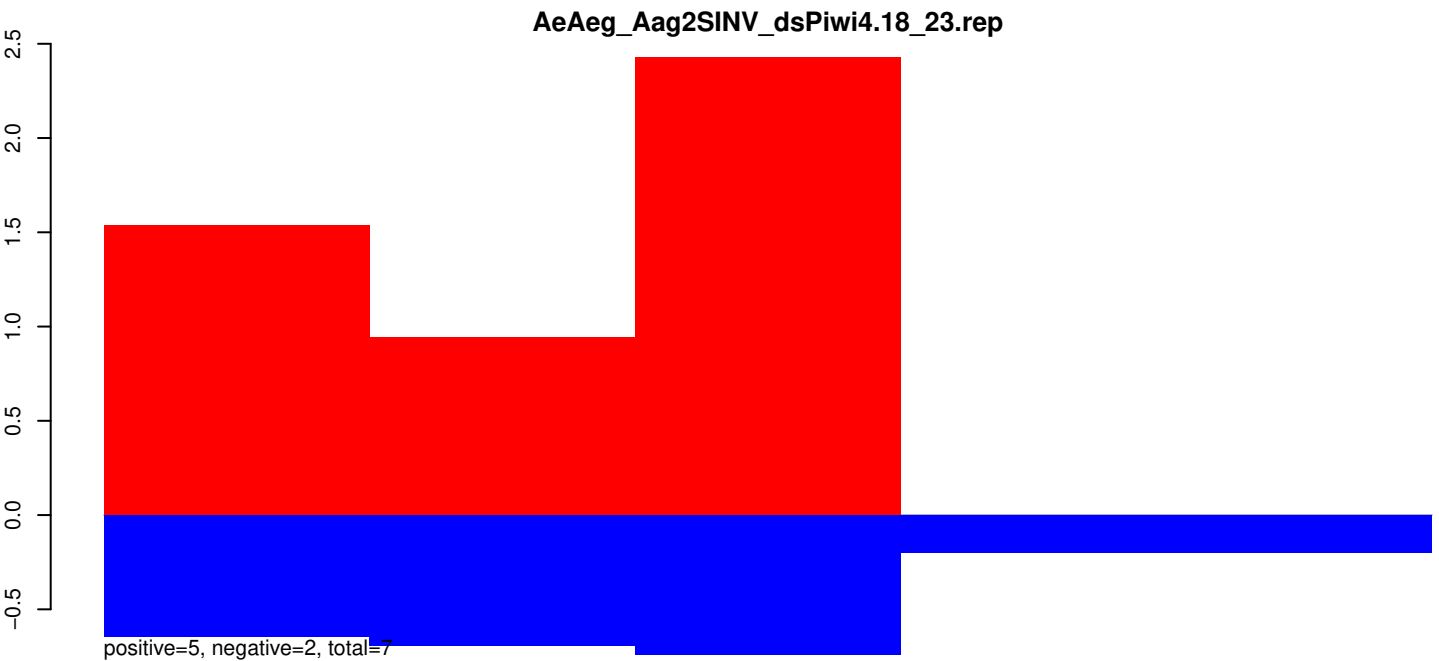


AeAeg_Aag2SINV_dsPiwi4.rep

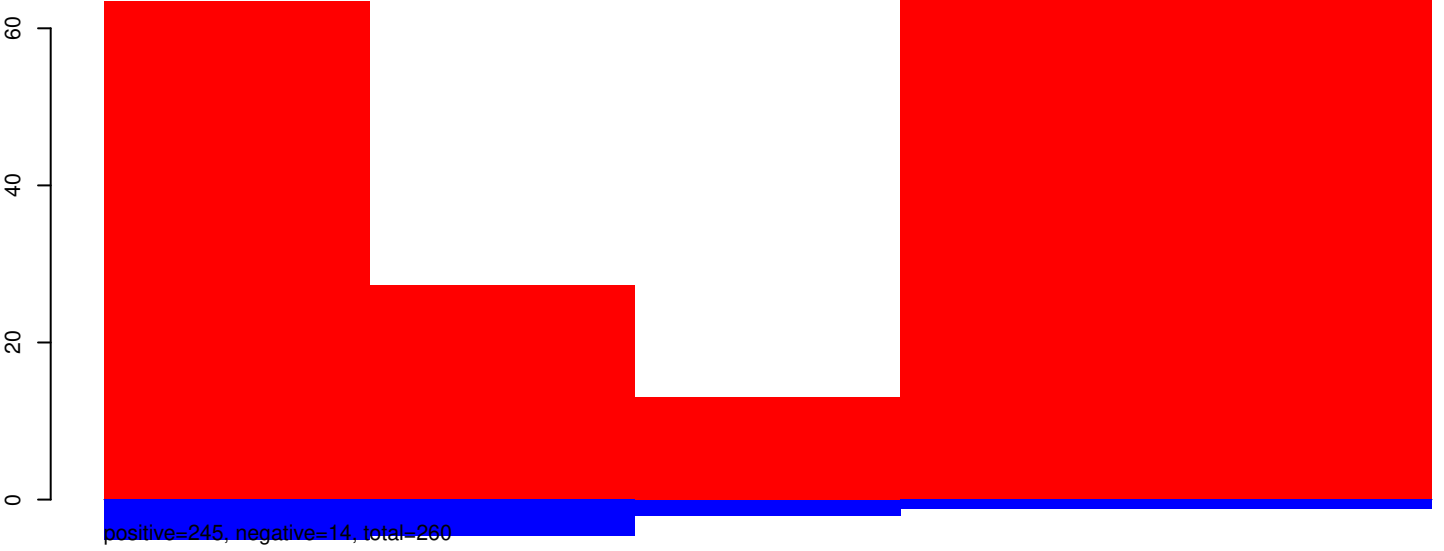


Window size=25, total=1, AAEL017687-RA-U4-U4-spliceosomal-RNA-snrRNA-2-38441143-38441283-1-gene-AAEL017687:1-141

50 100 150



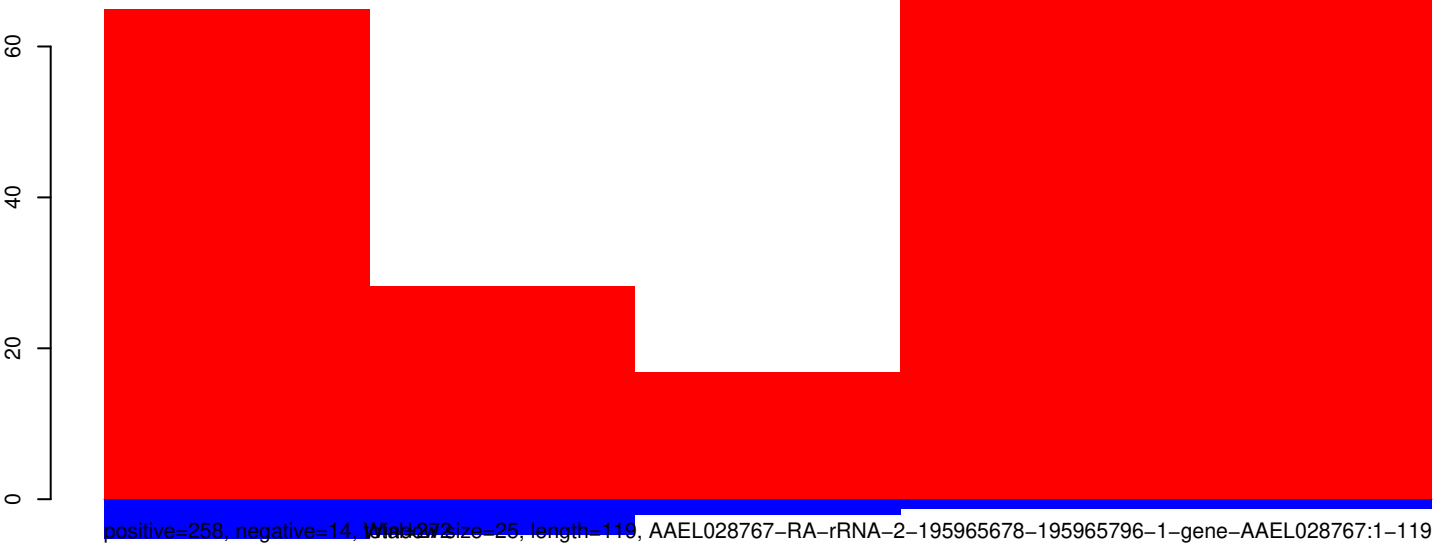
AeAeg_Aag2SINV_dsPiwi4.18_23.rep



AeAeg_Aag2SINV_dsPiwi4.24_35.rep

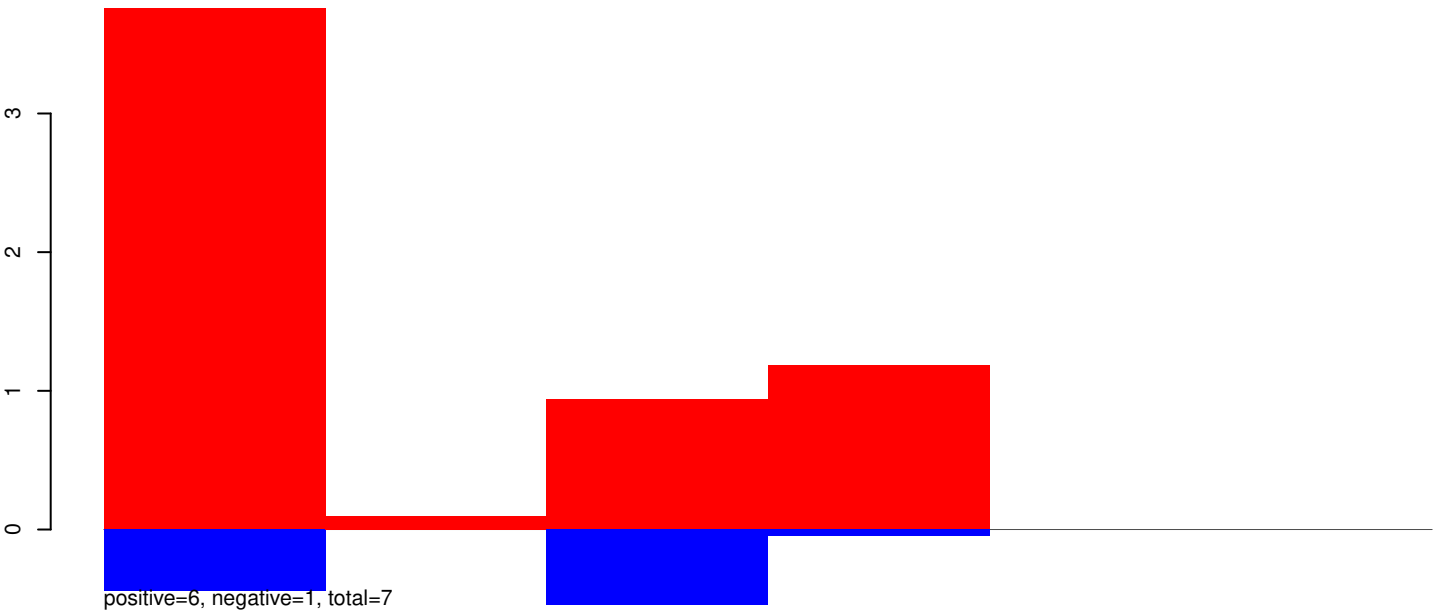


AeAeg_Aag2SINV_dsPiwi4.rep



40 60 80 100 120 140

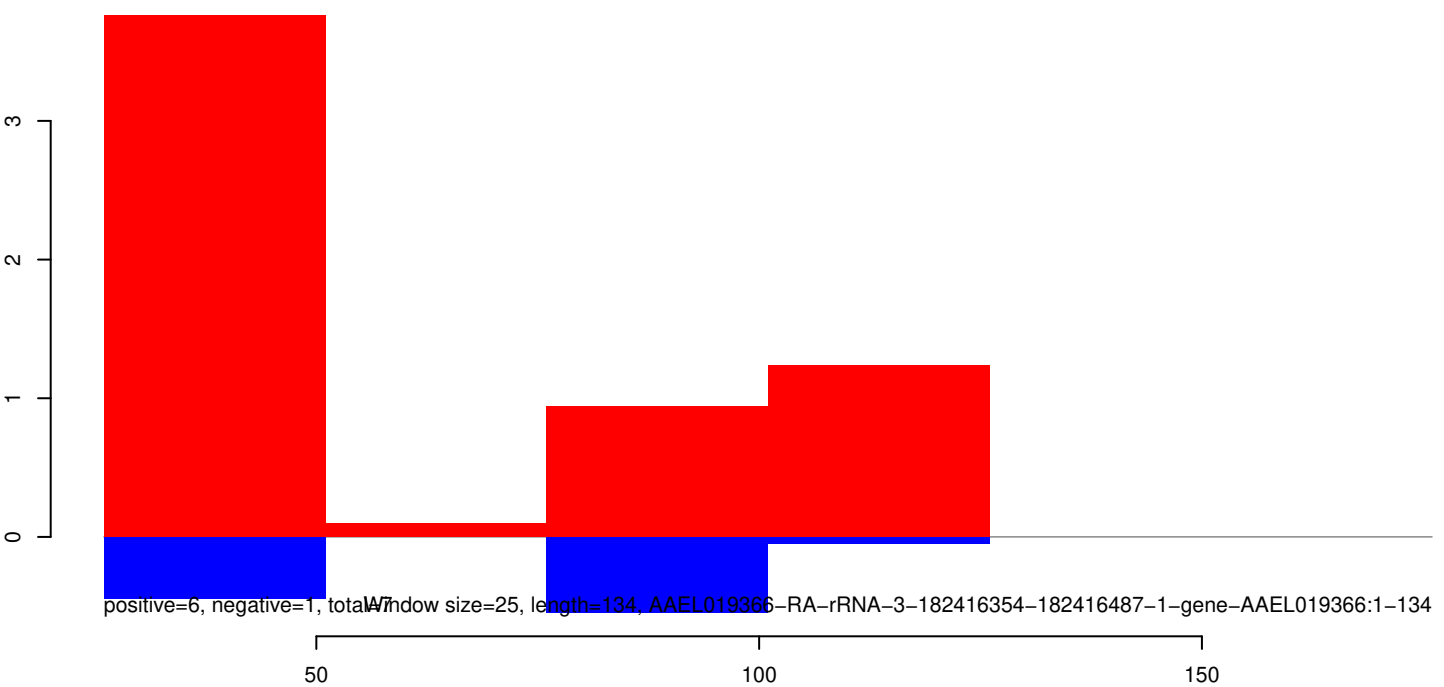
AeAeg_Aag2SINV_dsPiwi4.18_23.rep



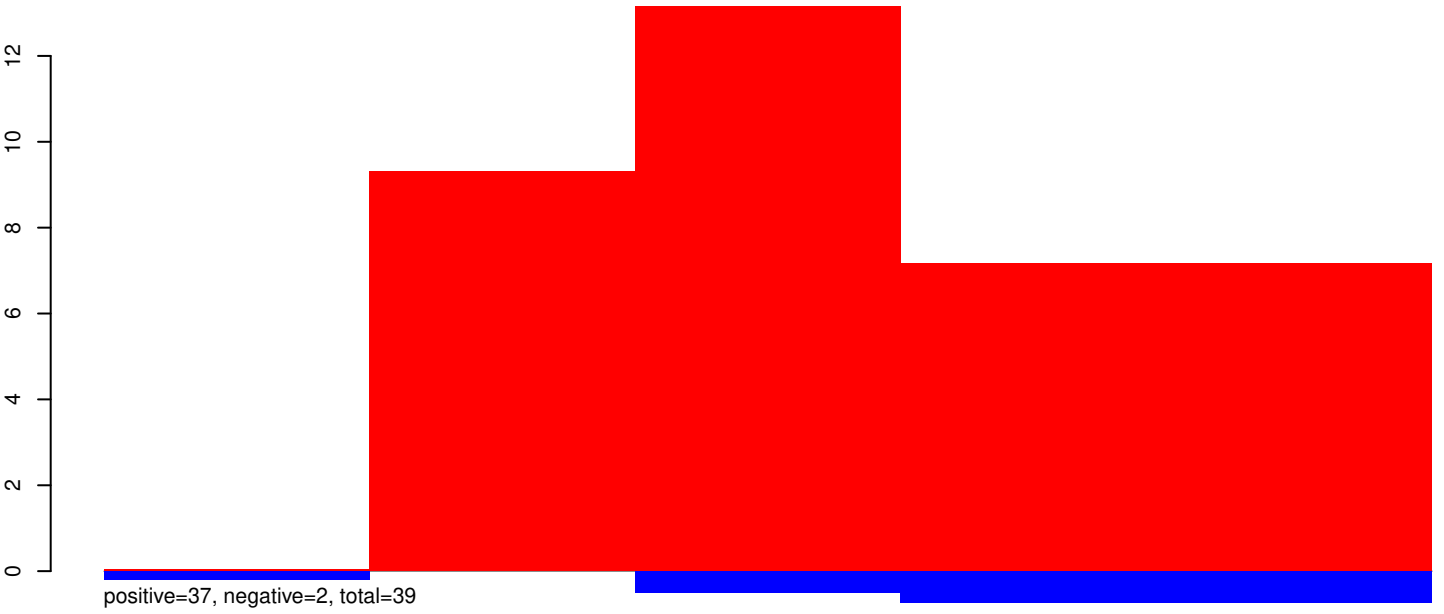
AeAeg_Aag2SINV_dsPiwi4.24_35.rep



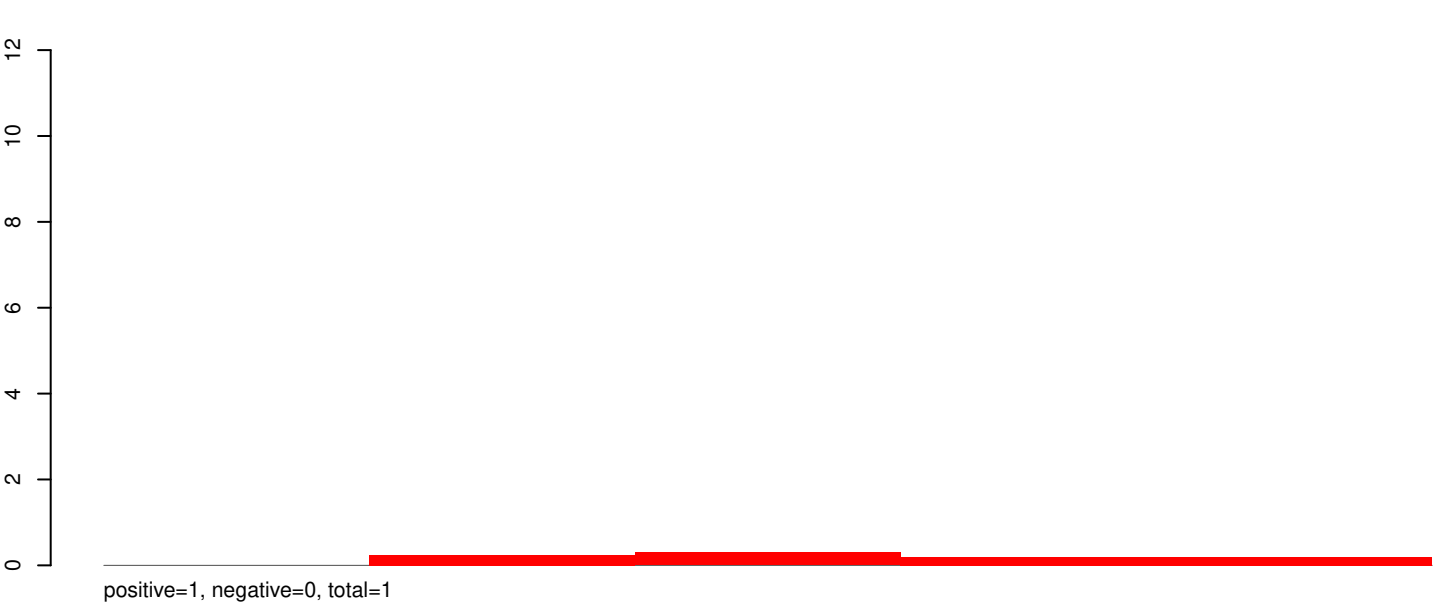
AeAeg_Aag2SINV_dsPiwi4.rep



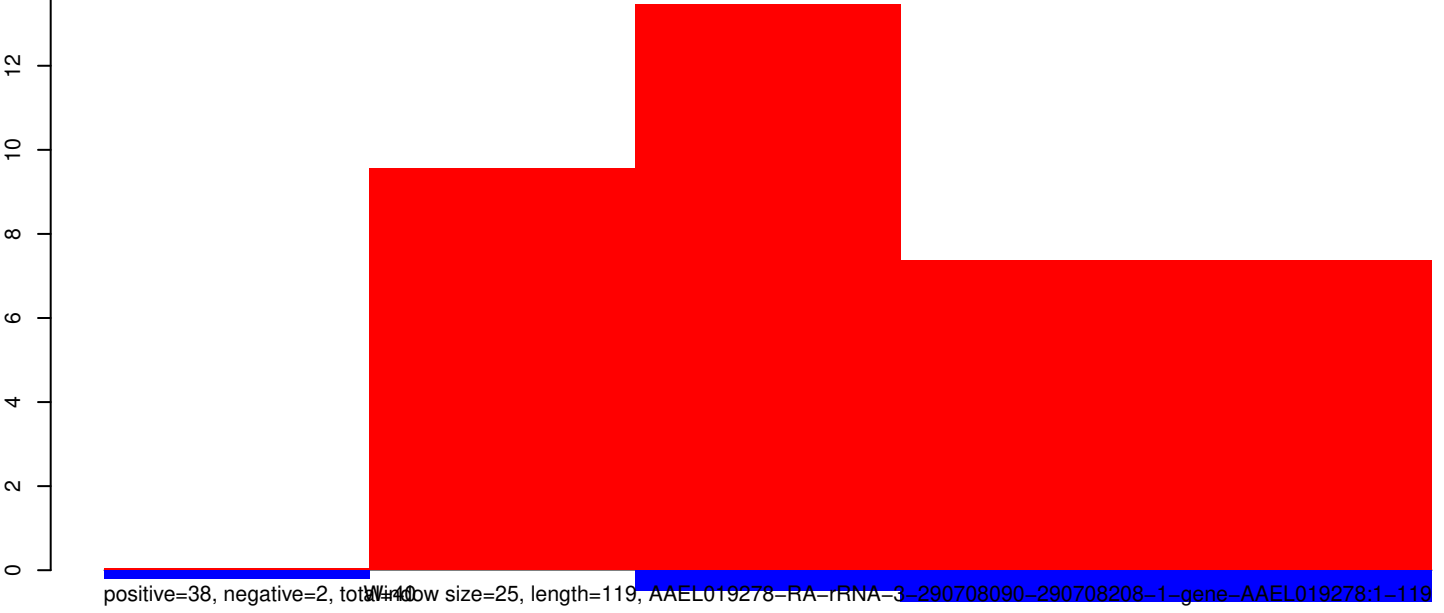
AeAeg_Aag2SINV_dsPiwi4.18_23.rep



AeAeg_Aag2SINV_dsPiwi4.24_35.rep

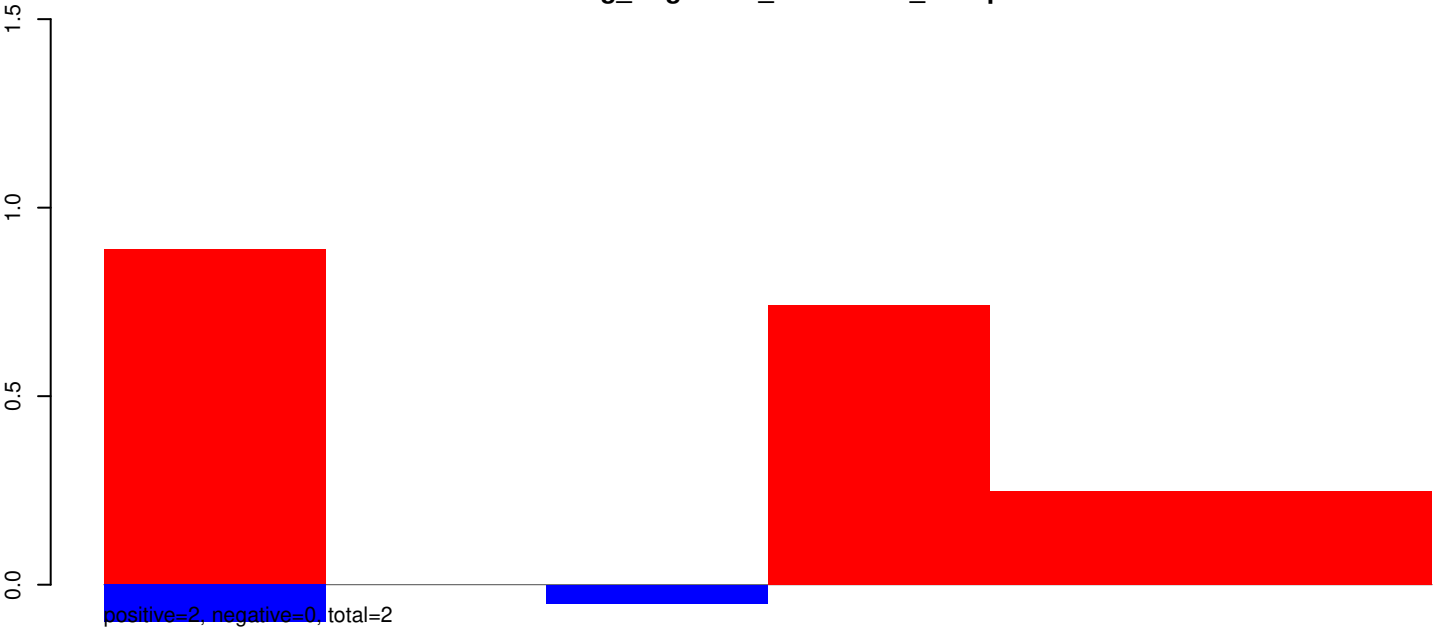


AeAeg_Aag2SINV_dsPiwi4.rep

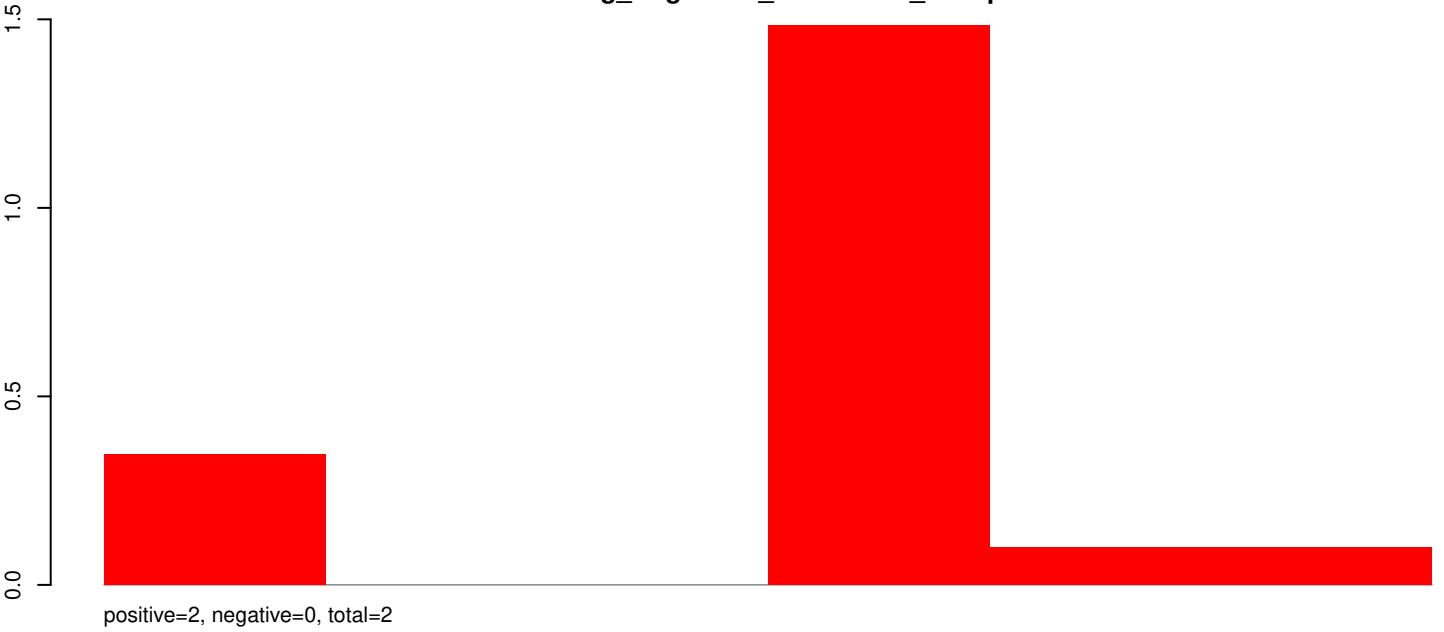


Window size=25, length=119, AAEL019278-RA-rRNA-3_290708090-290708208-1-gene-AAEL019278:1-119

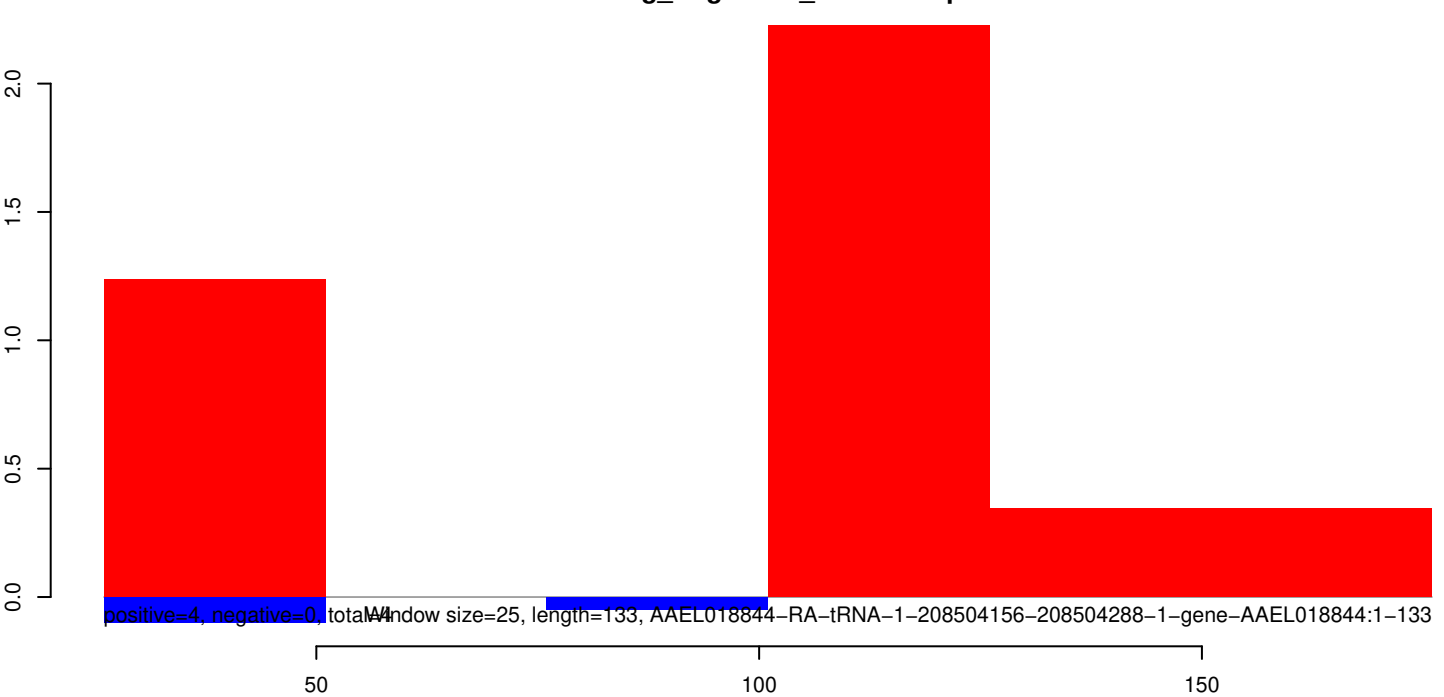
AeAeg_Aag2SINV_dsPiwi4.18_23.rep



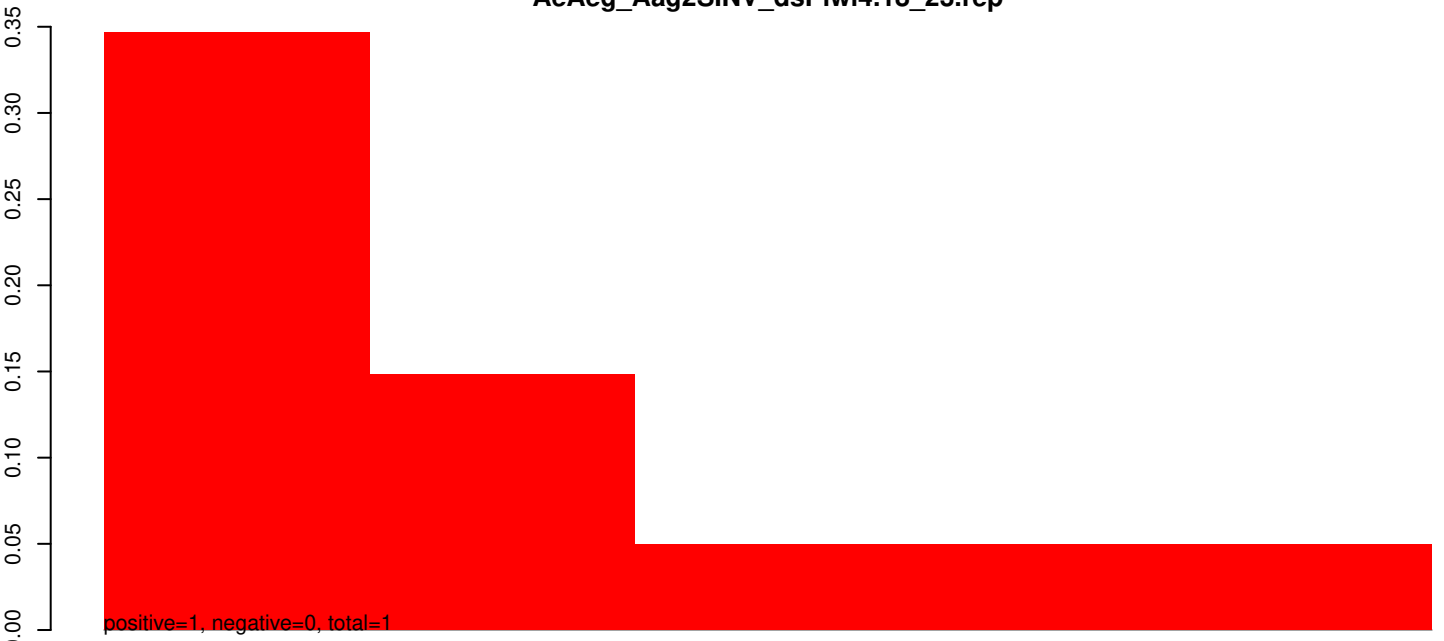
AeAeg_Aag2SINV_dsPiwi4.24_35.rep



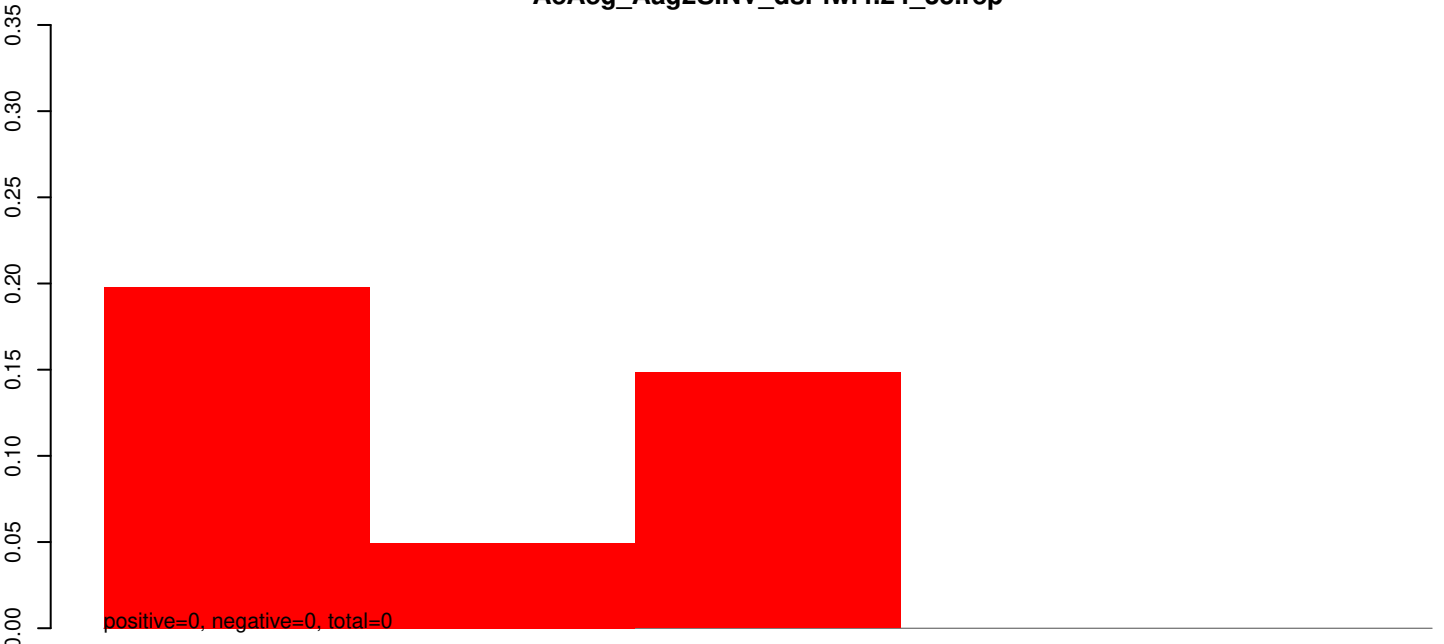
AeAeg_Aag2SINV_dsPiwi4.rep



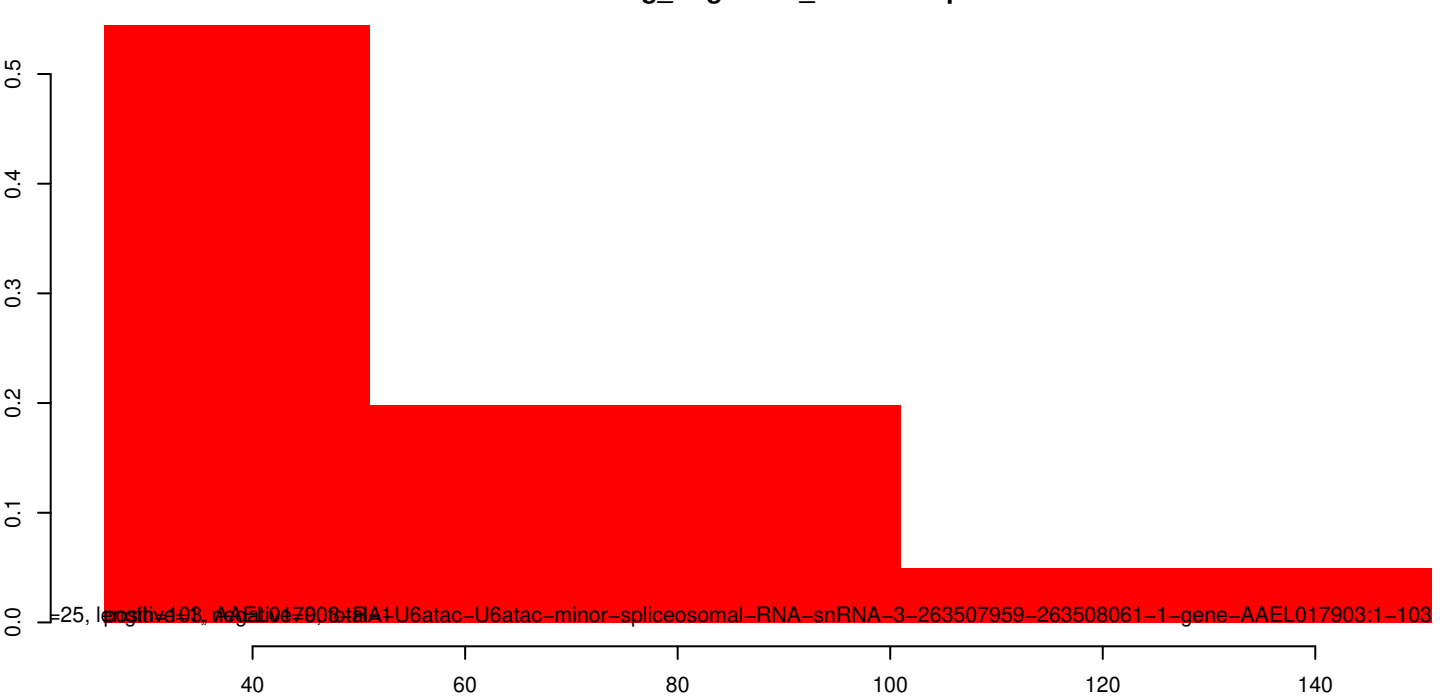
AeAeg_Aag2SINV_dsPiwi4.18_23.rep

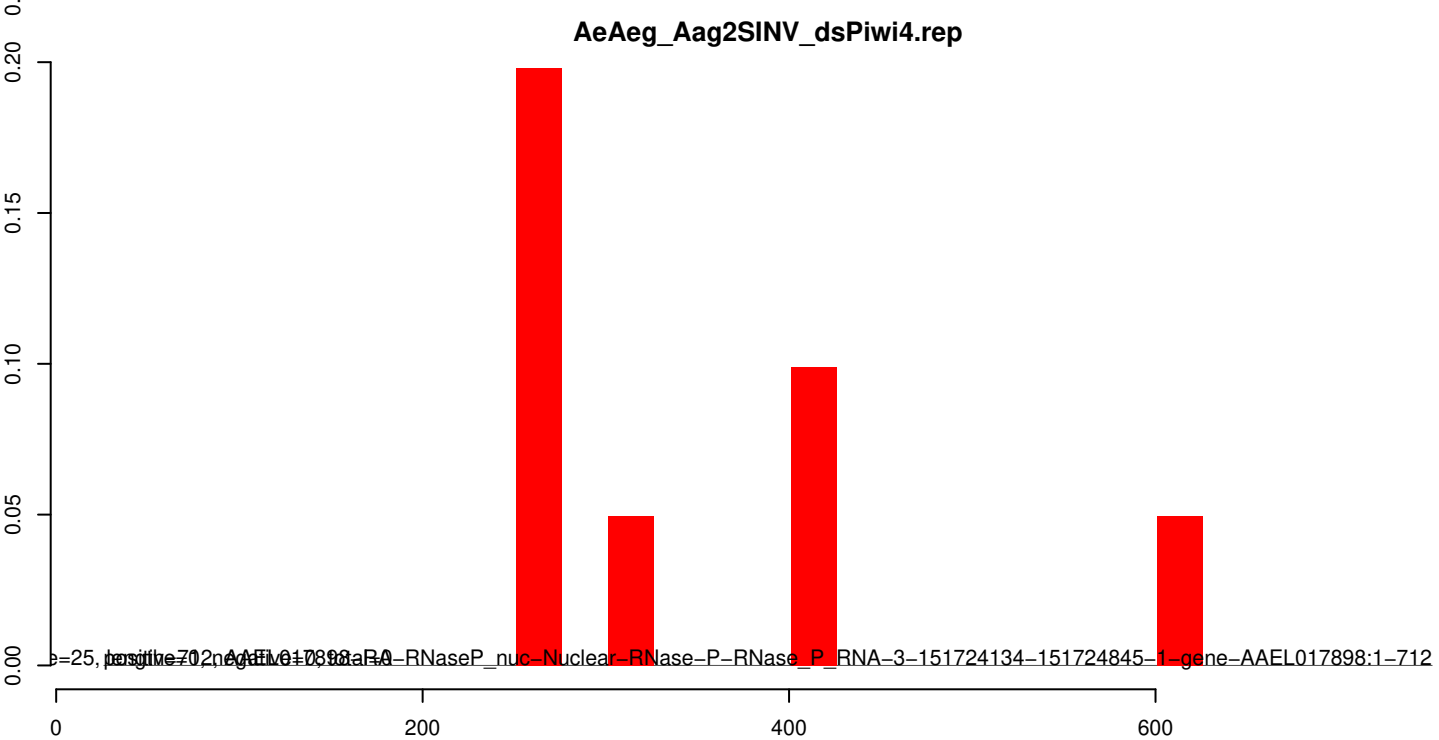
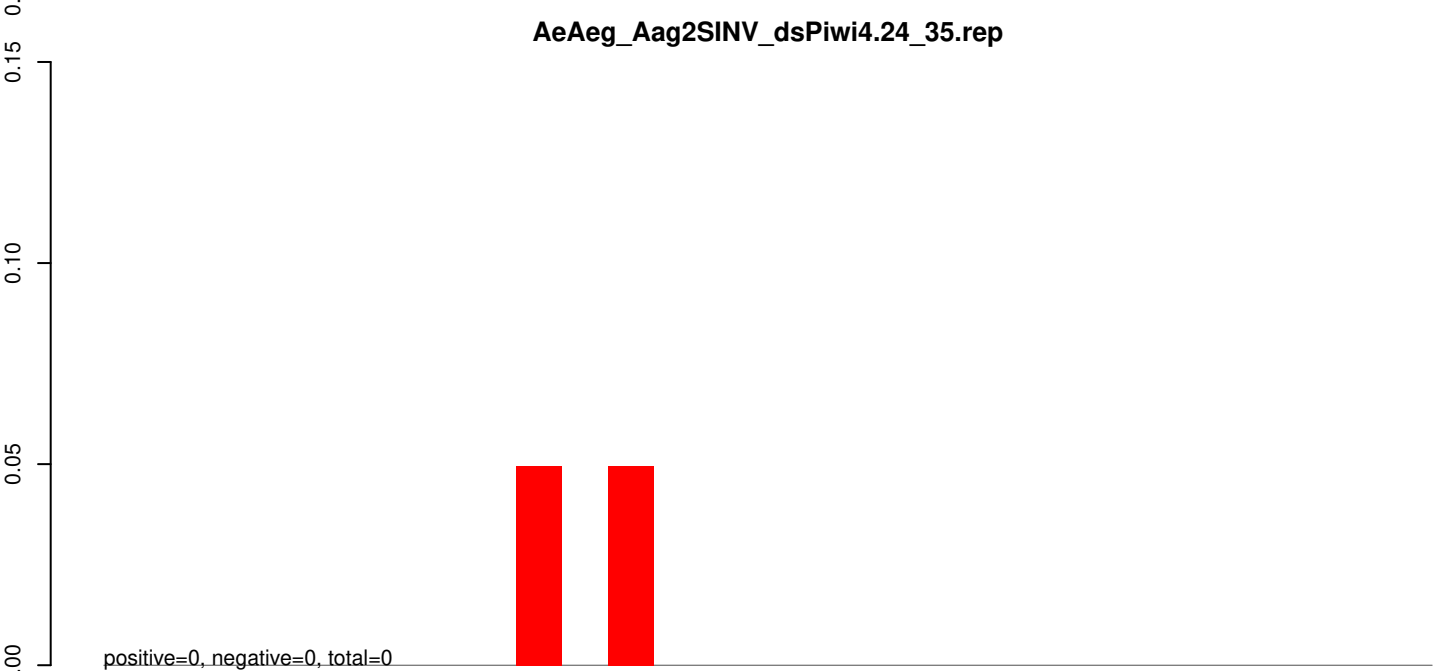
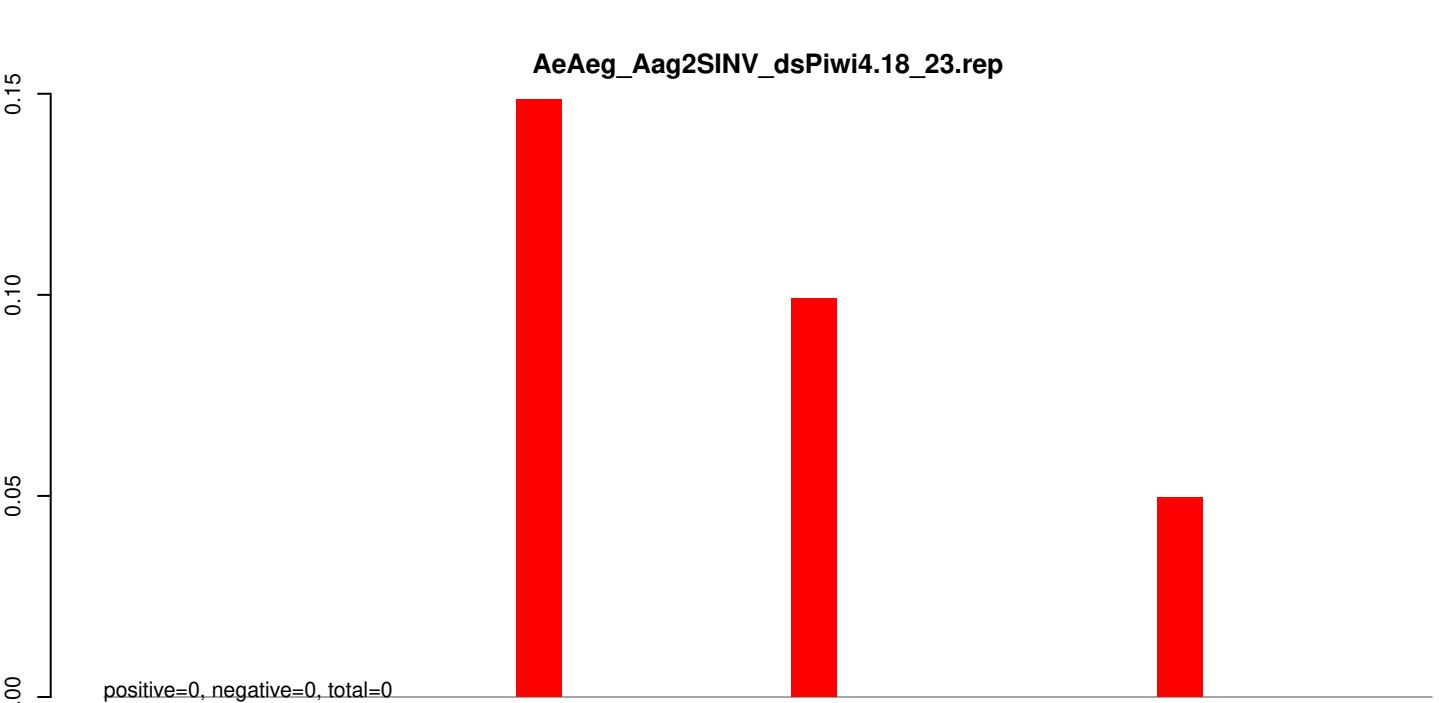


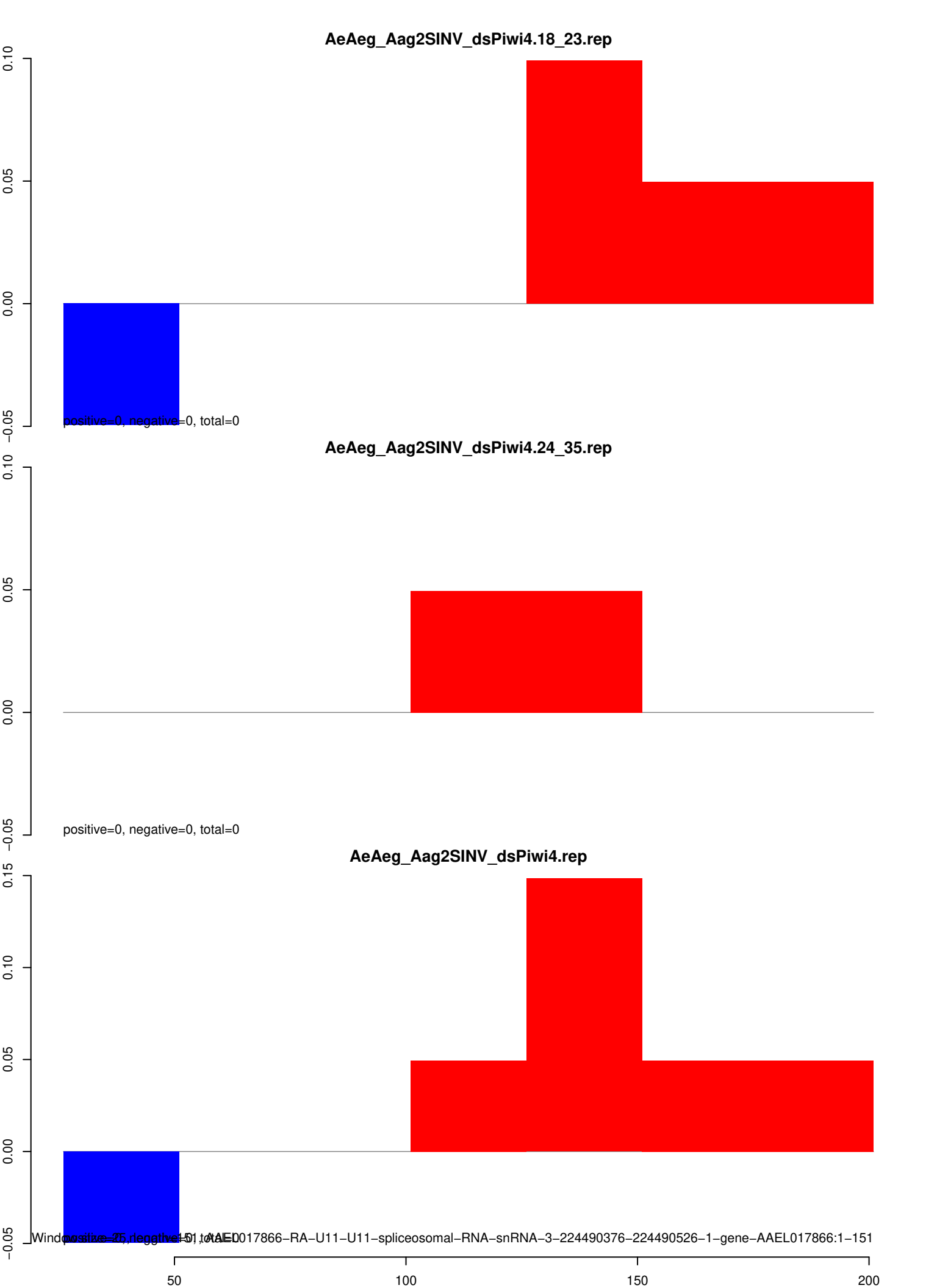
AeAeg_Aag2SINV_dsPiwi4.24_35.rep



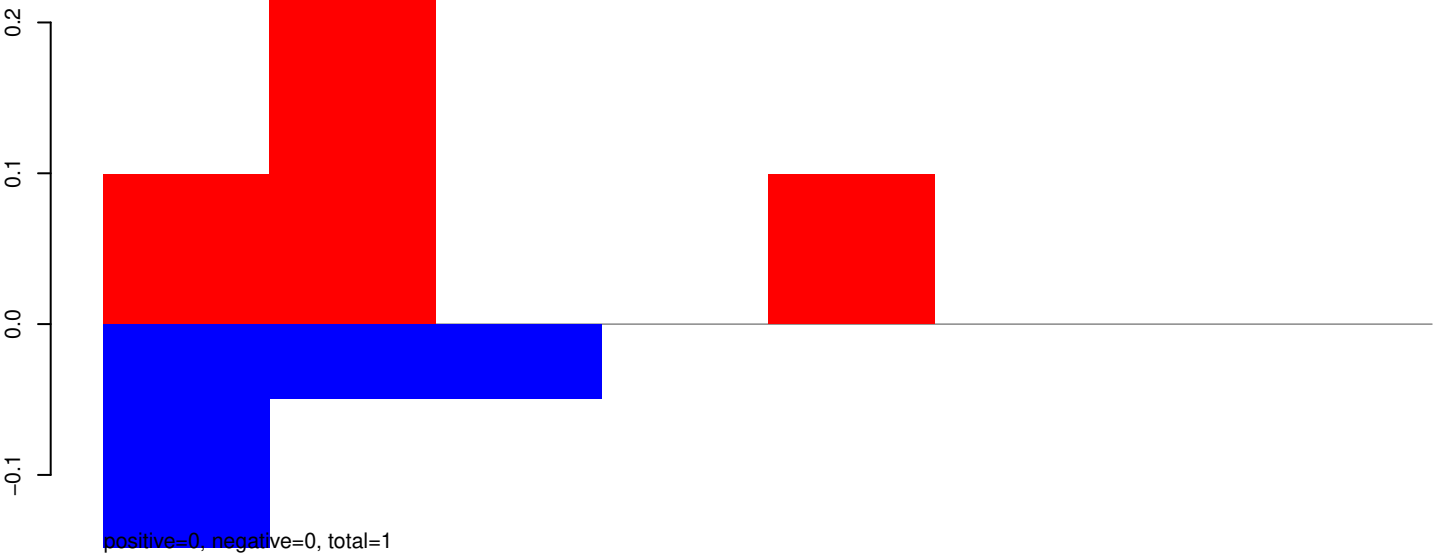
AeAeg_Aag2SINV_dsPiwi4.rep



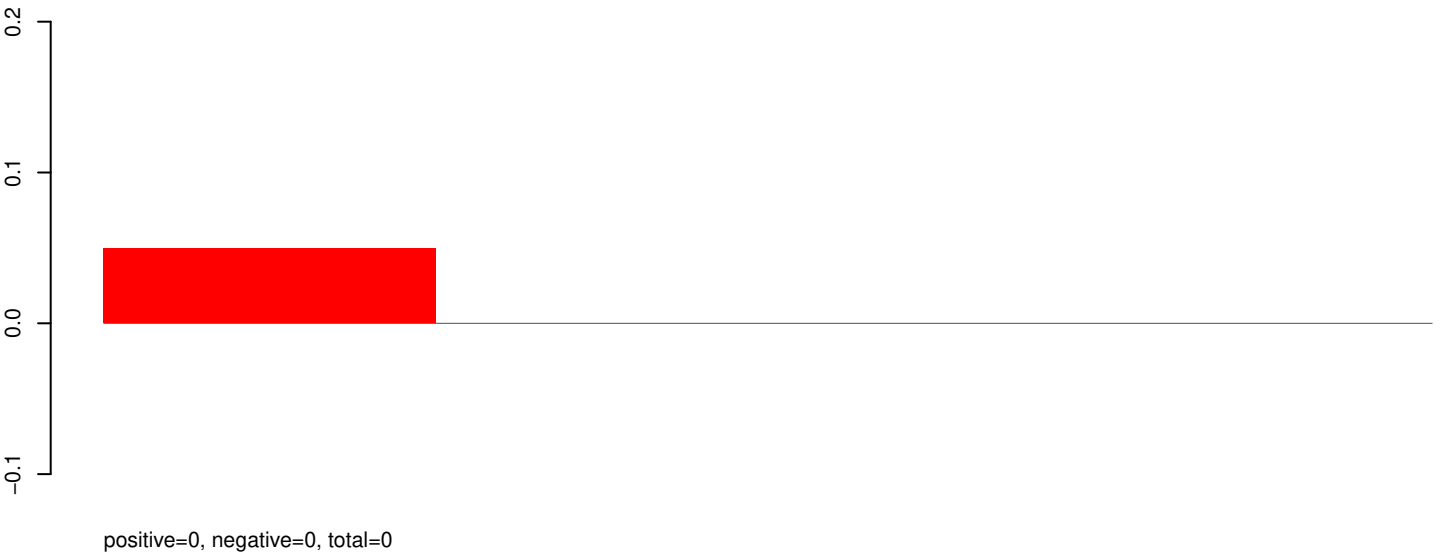




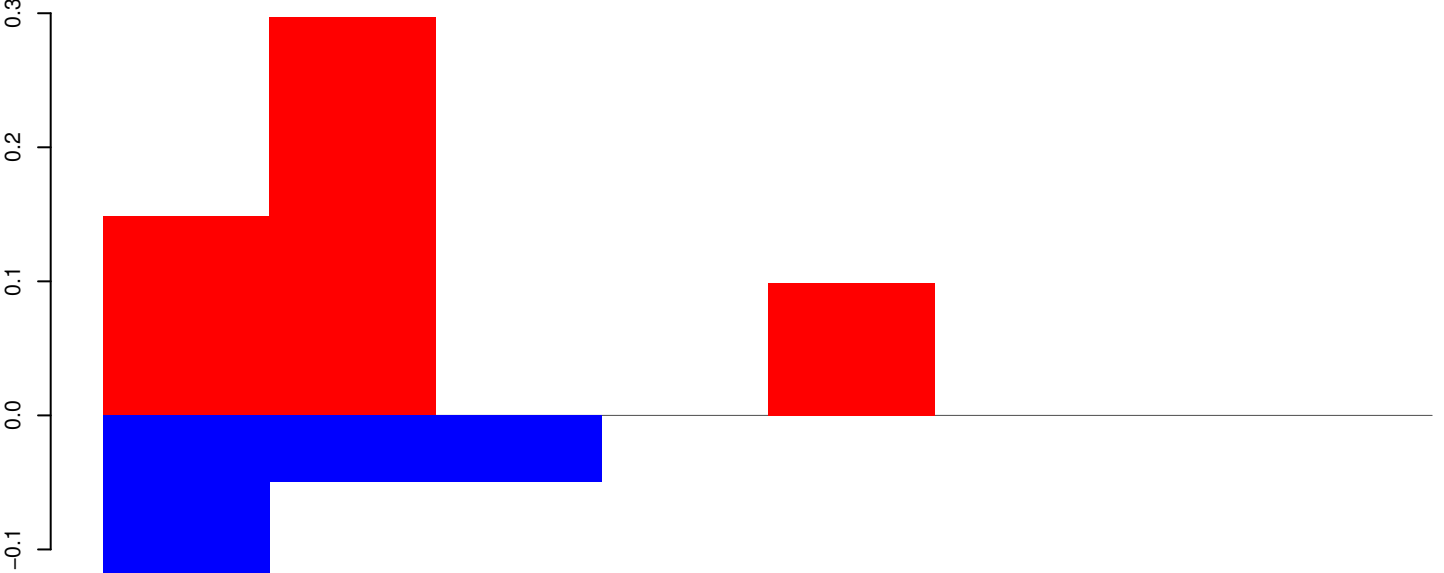
AeAeg_Aag2SINV_dsPiwi4.18_23.rep



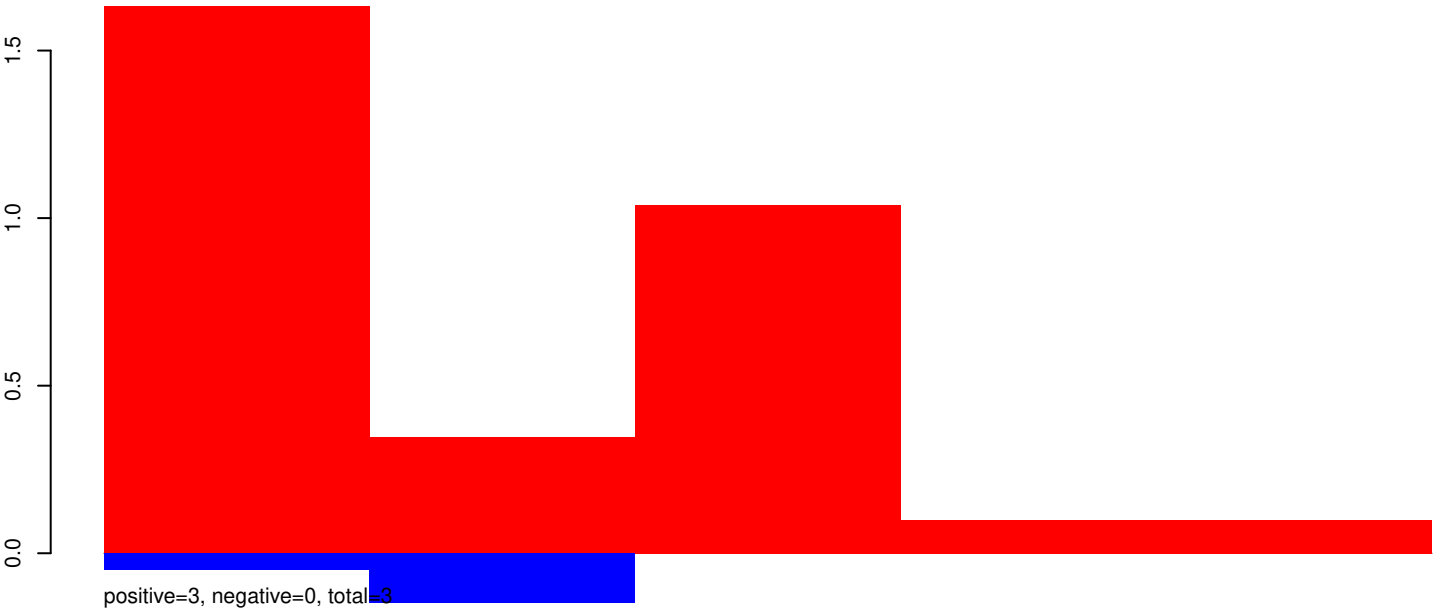
AeAeg_Aag2SINV_dsPiwi4.24_35.rep



AeAeg_Aag2SINV_dsPiwi4.rep



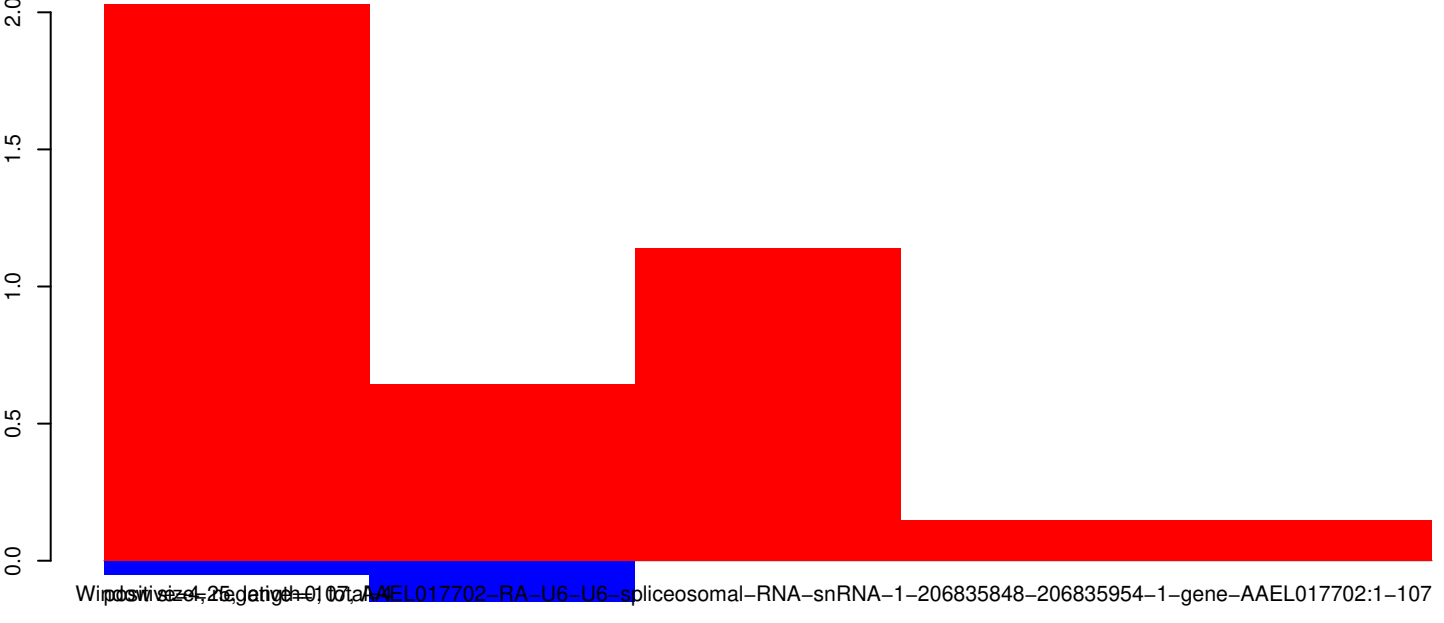
AeAeg_Aag2SINV_dsPiwi4.18_23.rep



AeAeg_Aag2SINV_dsPiwi4.24_35.rep

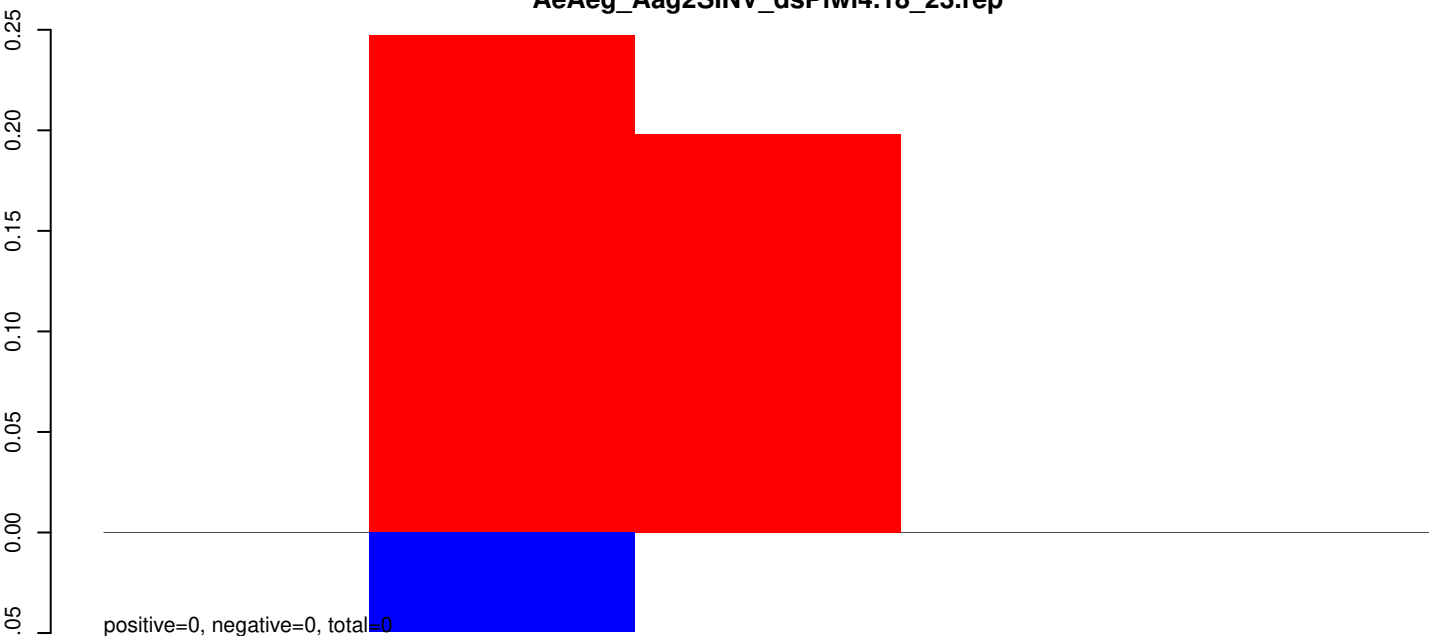


AeAeg_Aag2SINV_dsPiwi4.rep

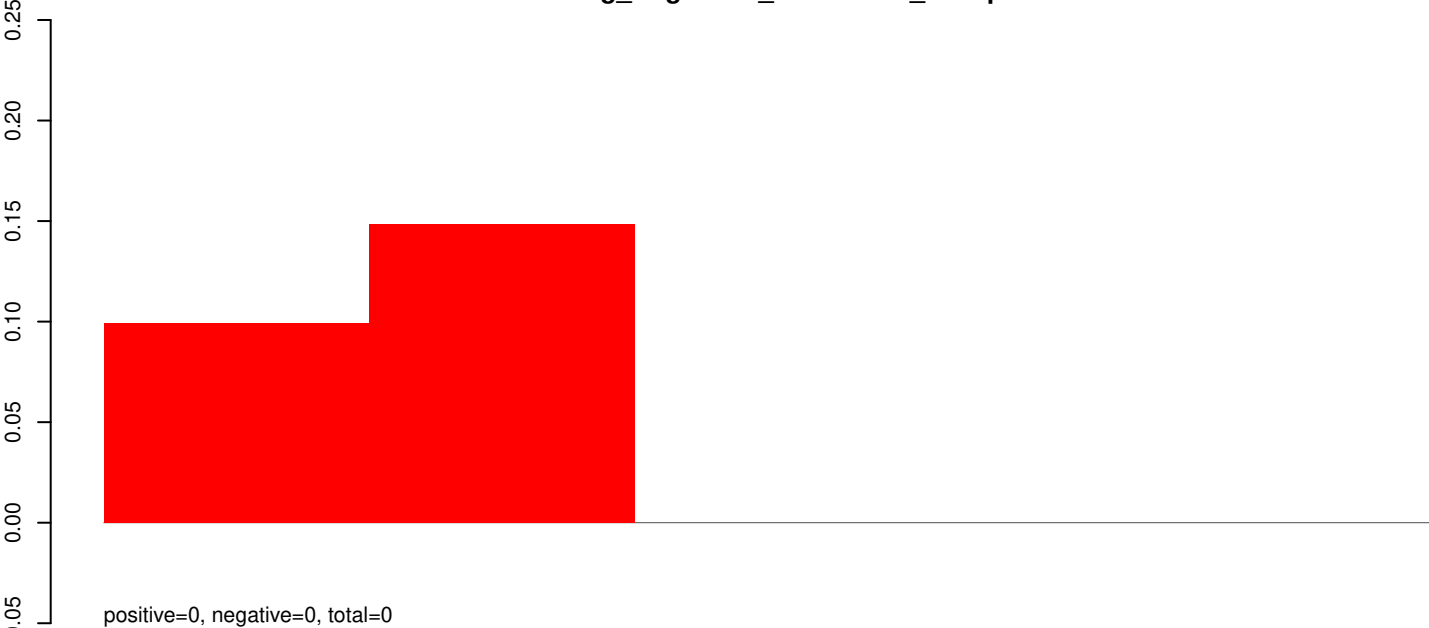


WINDSIVZL25GATGTH=007AA4EEL017702-RA-U6-U6-spliceosomal-RNA-snRNA-1-206835848-206835954-1-gene-AAEL017702:1-107

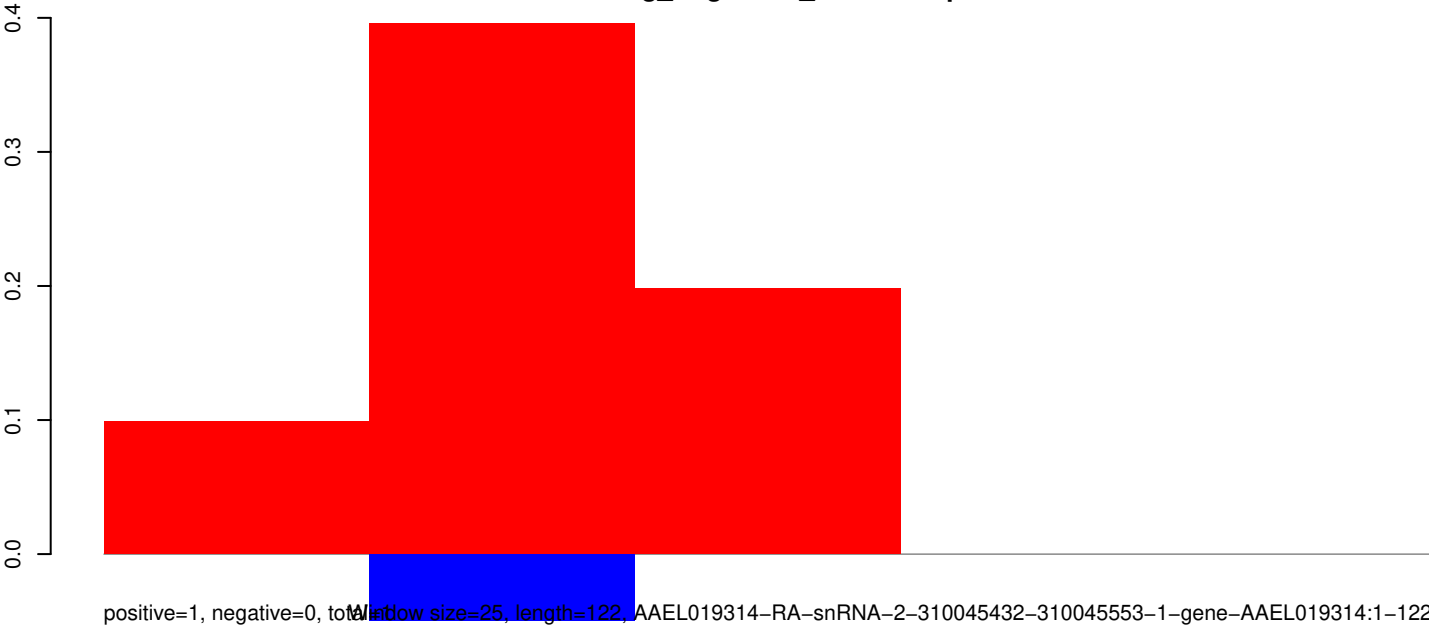
AeAeg_Aag2SINV_dsPiwi4.18_23.rep



AeAeg_Aag2SINV_dsPiwi4.24_35.rep

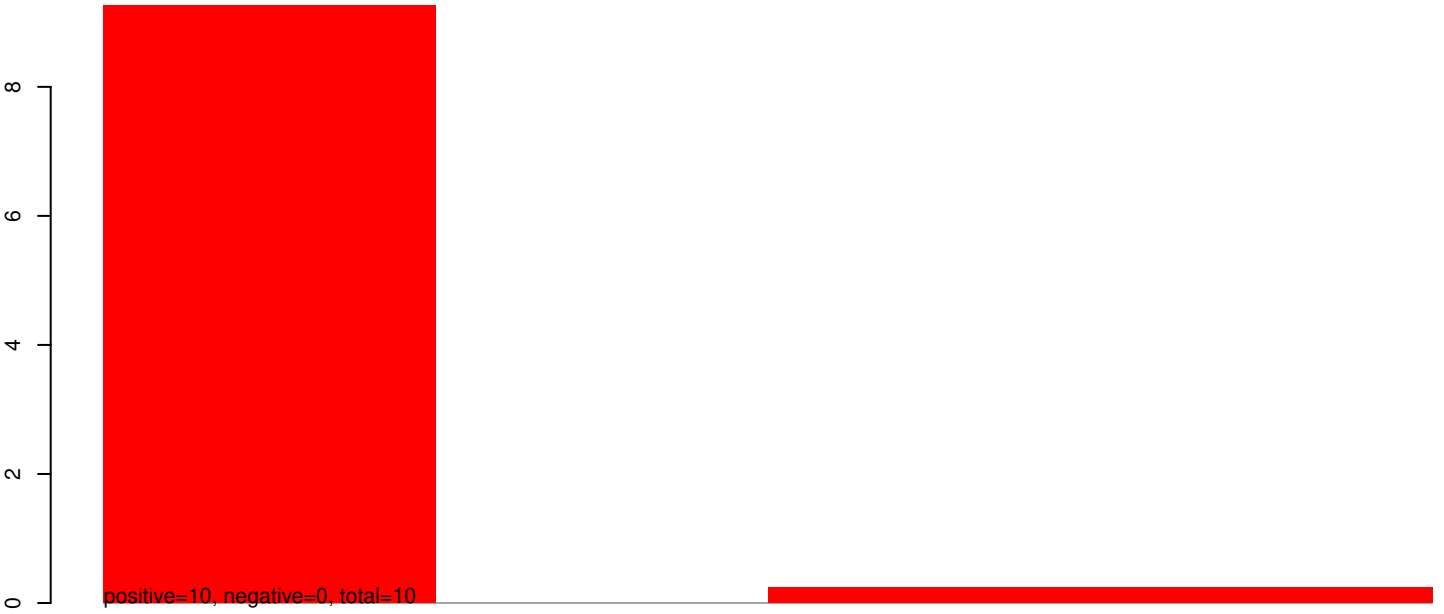


AeAeg_Aag2SINV_dsPiwi4.rep

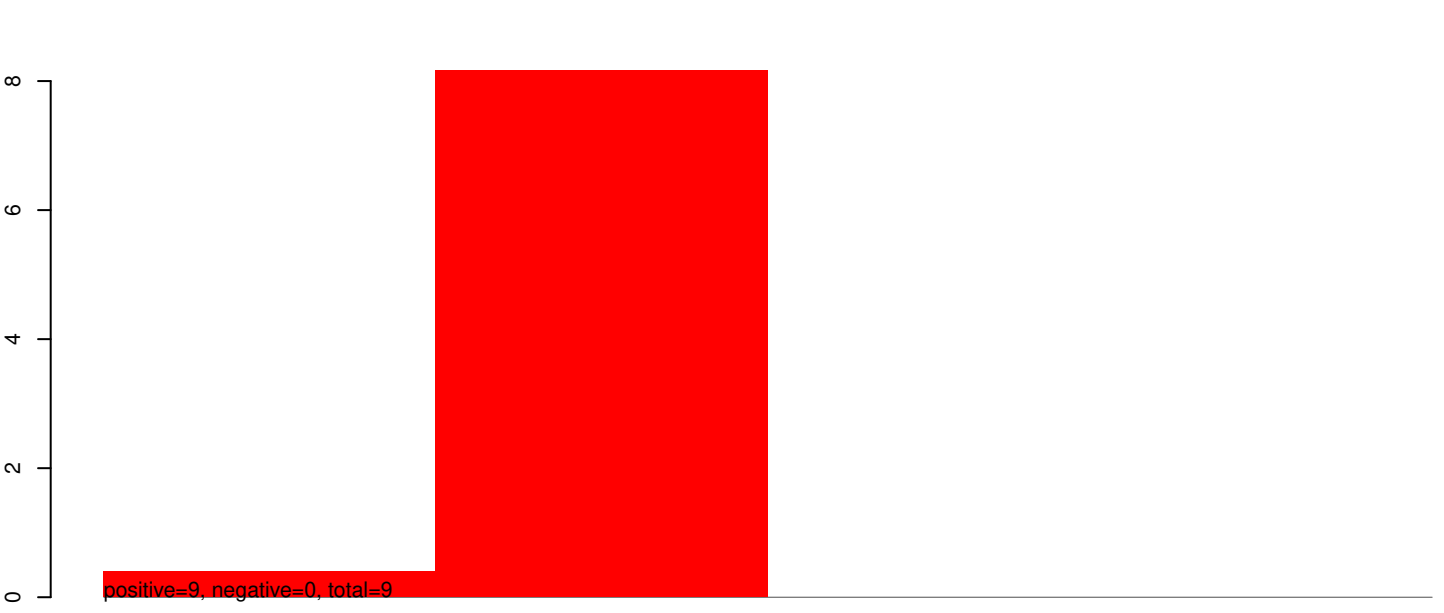


40 60 80 100 120 140

AeAeg_Aag2SINV_dsPiwi4.18_23.rep



AeAeg_Aag2SINV_dsPiwi4.24_35.rep



AeAeg_Aag2SINV_dsPiwi4.rep



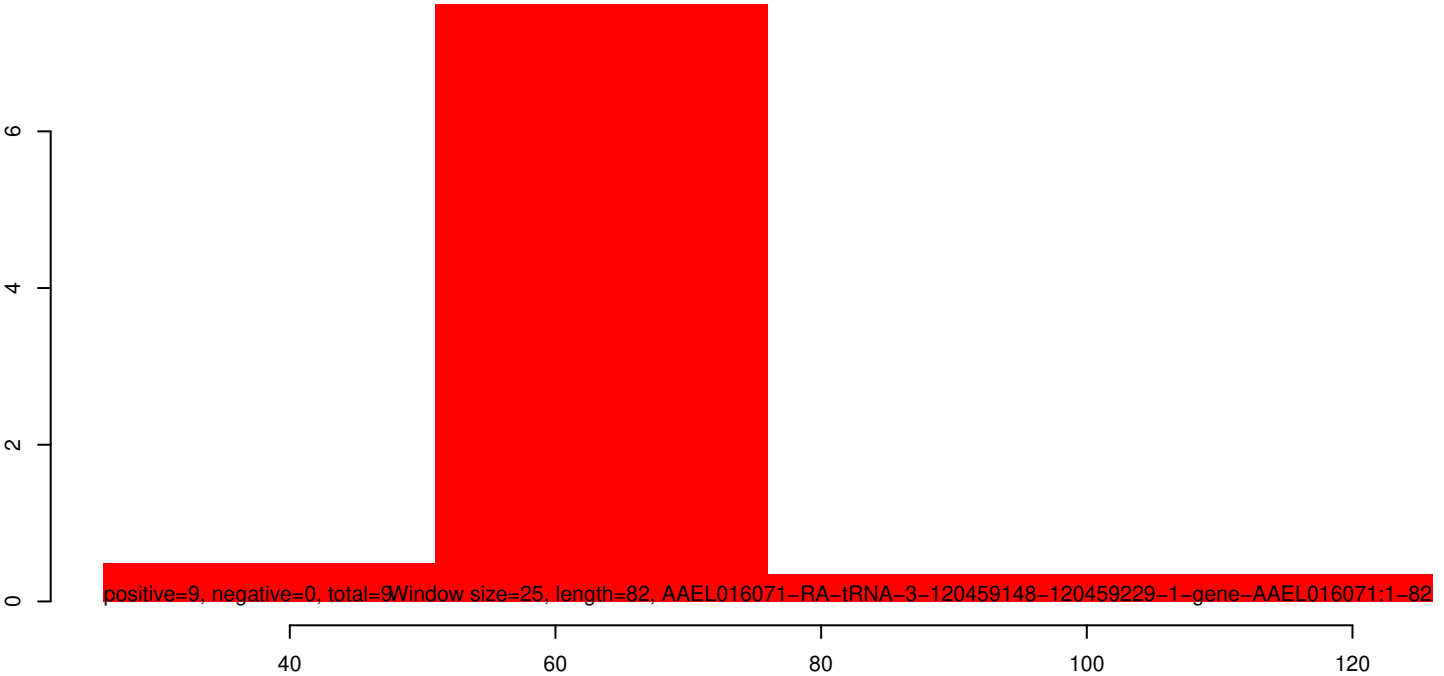
AeAeg_Aag2SINV_dsPiwi4.18_23.rep



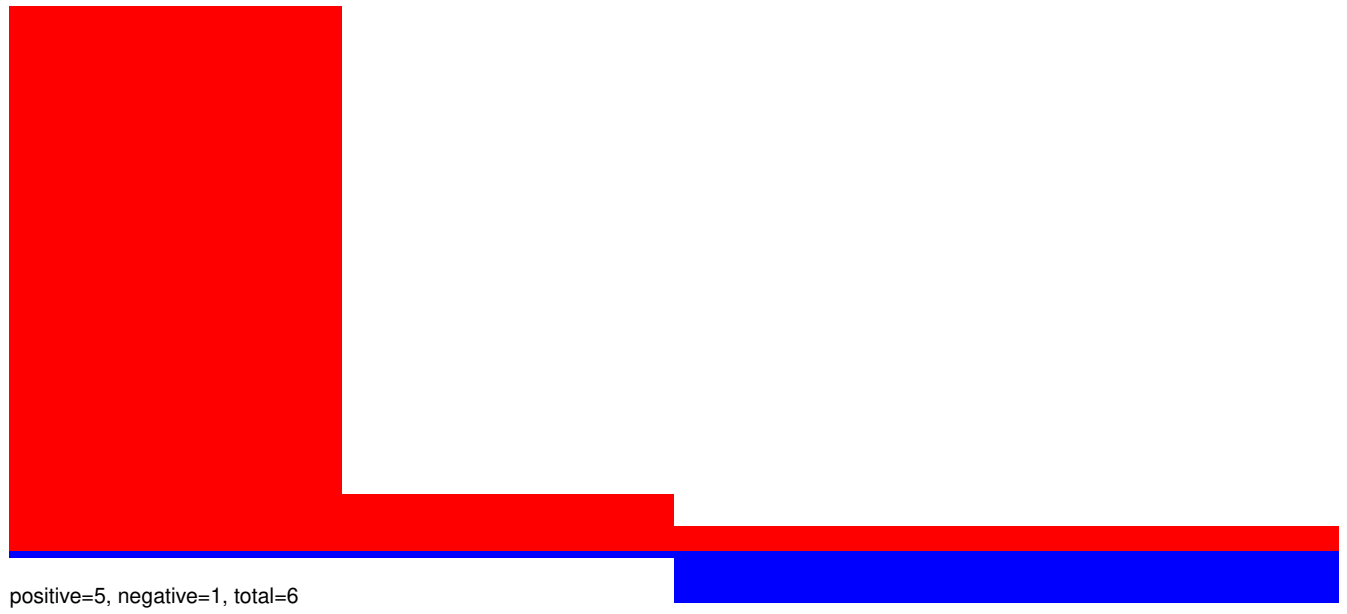
AeAeg_Aag2SINV_dsPiwi4.24_35.rep



AeAeg_Aag2SINV_dsPiwi4.rep



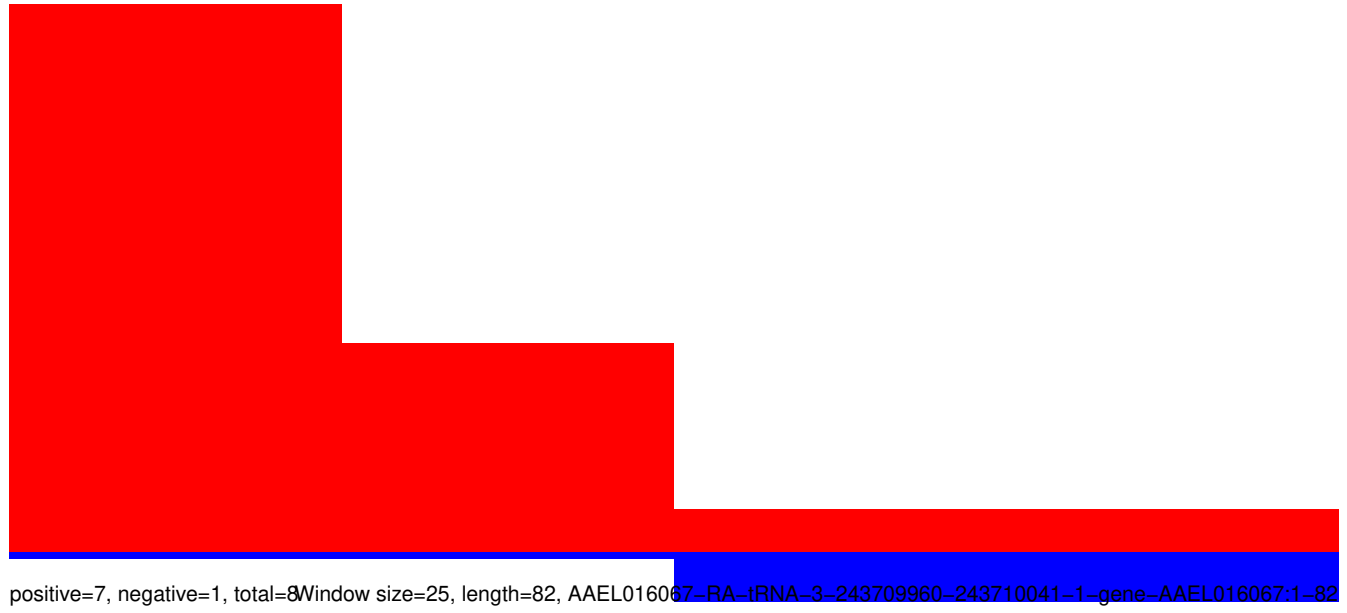
AeAeg_Aag2SINV_dsPiwi4.18_23.rep



AeAeg_Aag2SINV_dsPiwi4.24_35.rep



AeAeg_Aag2SINV_dsPiwi4.rep

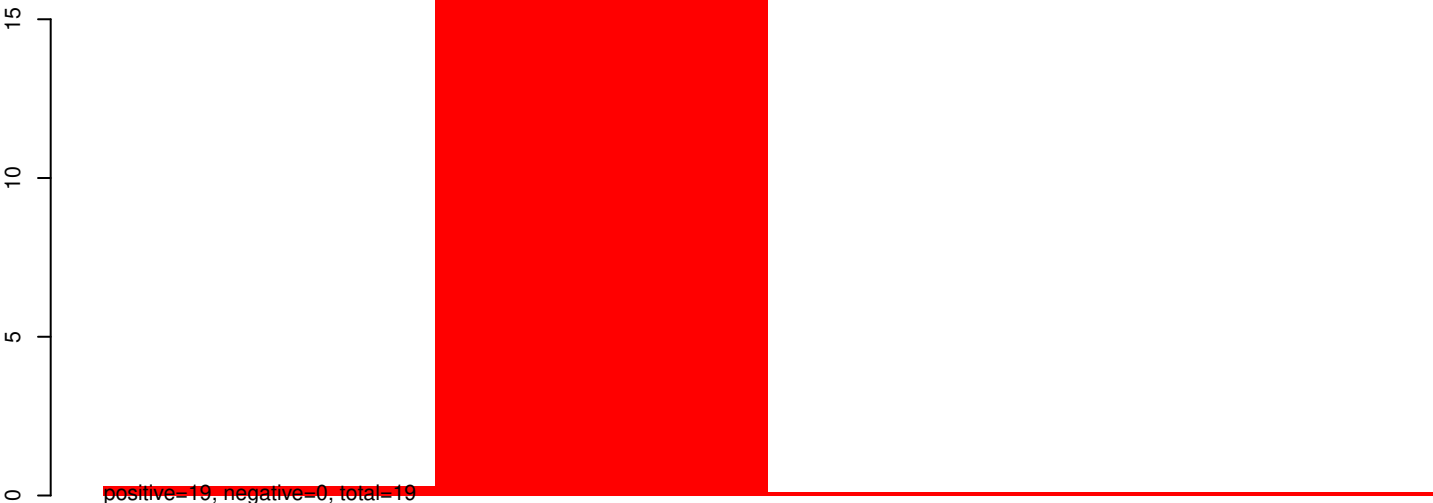


Window size=25, length=82, AAEL016067-RA-irNA-3-243709960-243710041-1-gene-AAEL016067:1-82

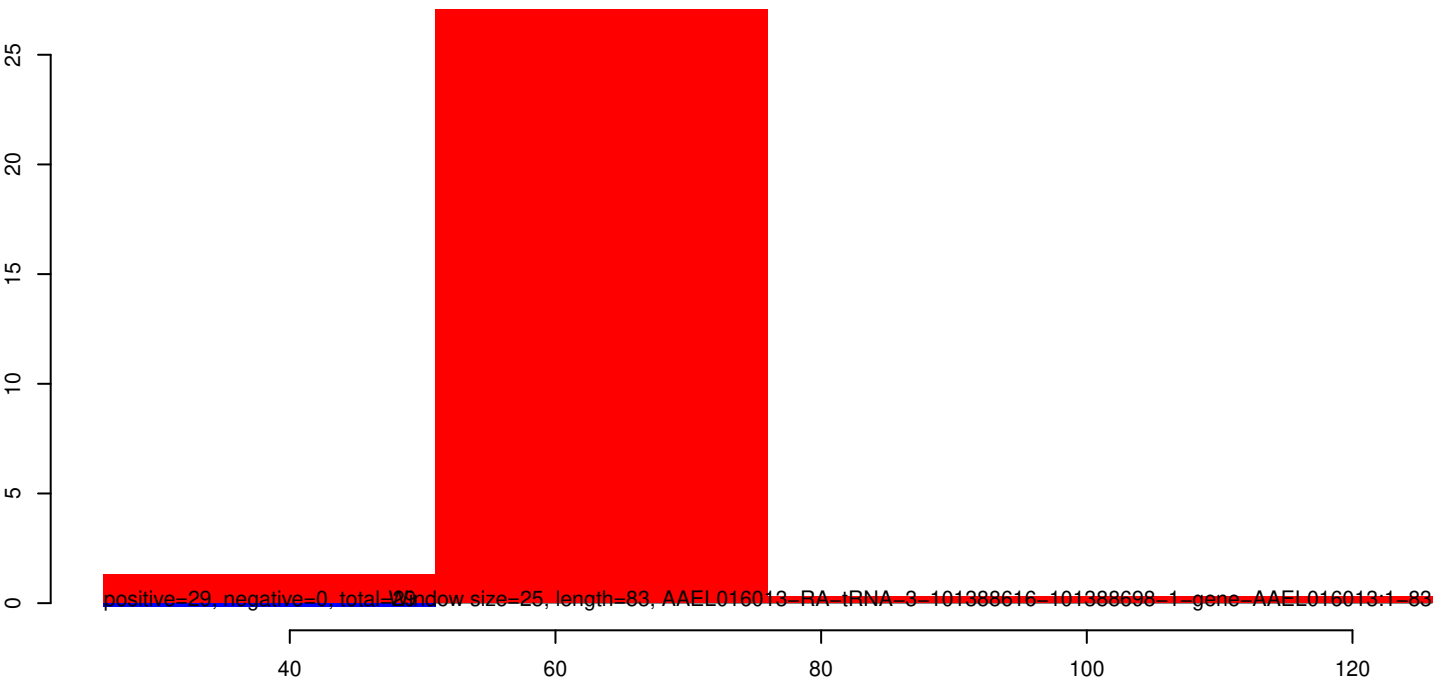
AeAeg_Aag2SINV_dsPiwi4.18_23.rep



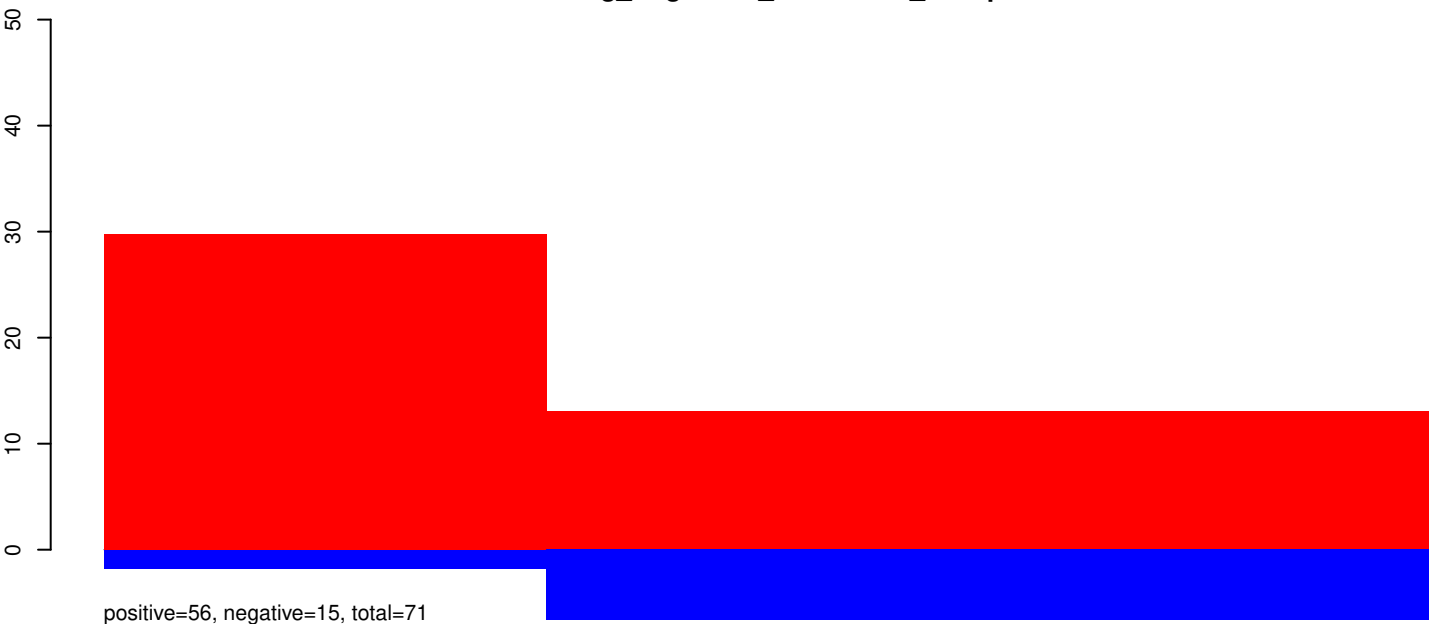
AeAeg_Aag2SINV_dsPiwi4.24_35.rep



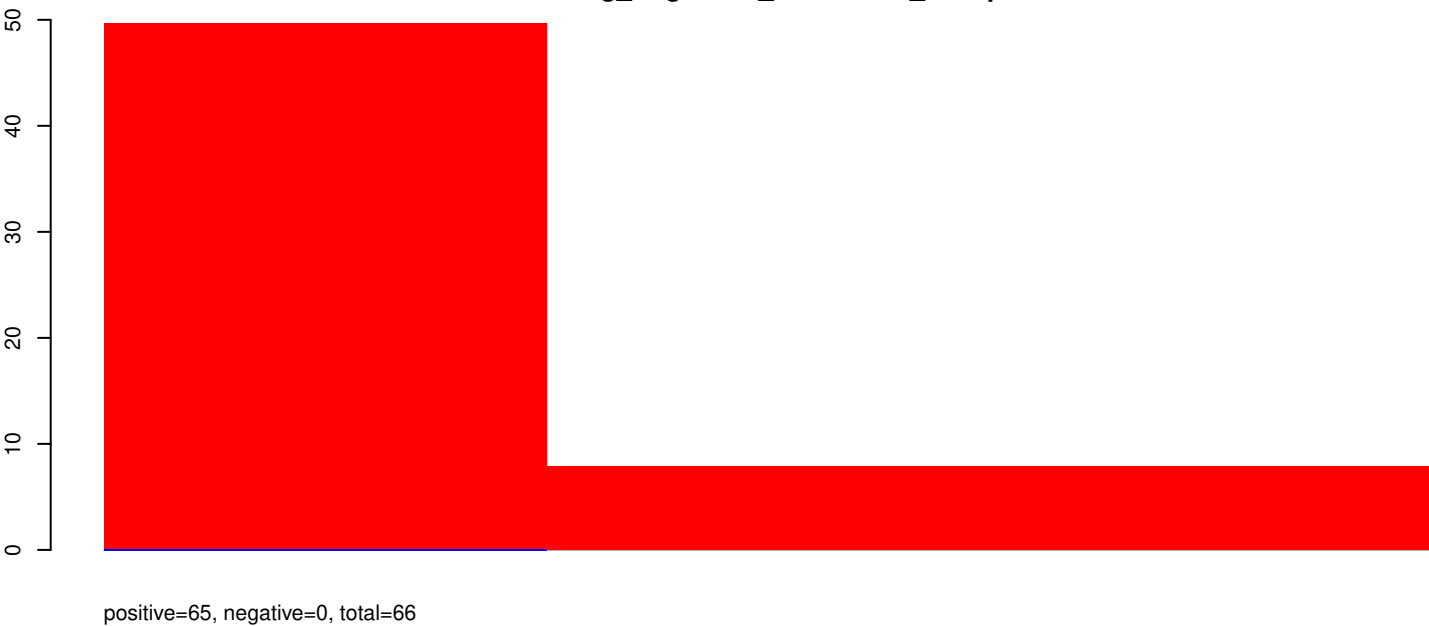
AeAeg_Aag2SINV_dsPiwi4.rep



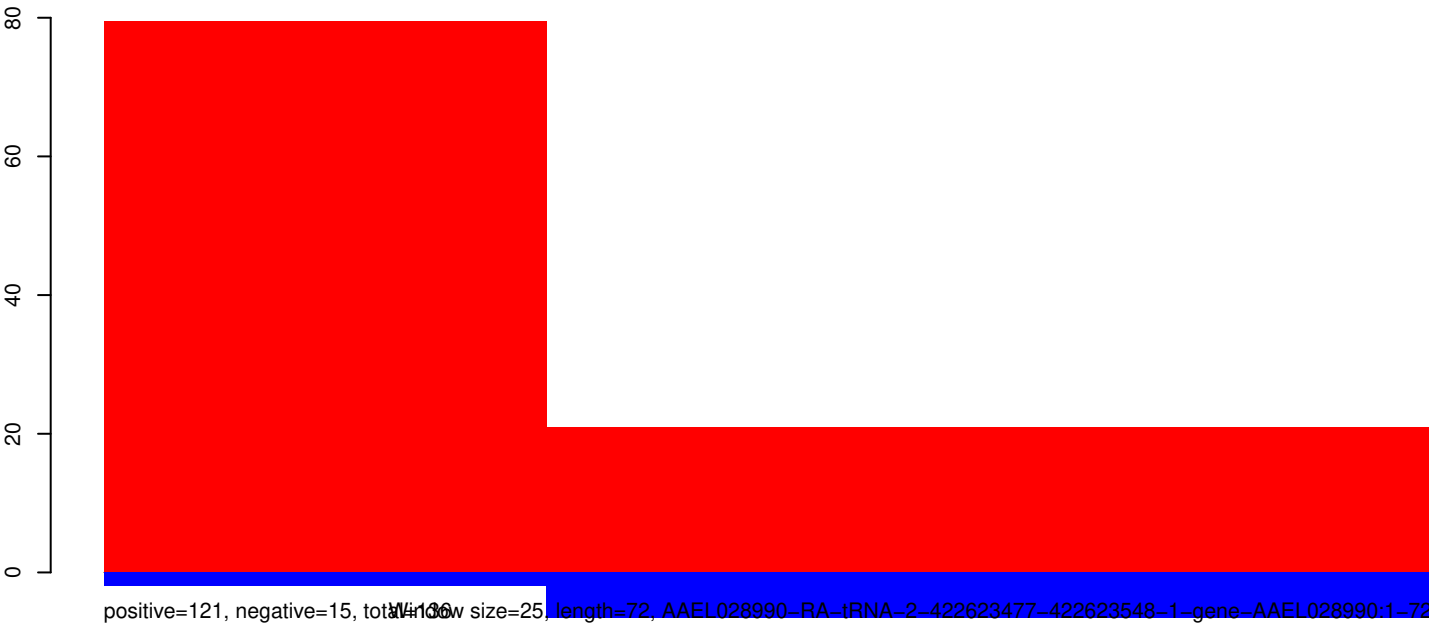
AeAeg_Aag2SINV_dsPiwi4.18_23.rep



AeAeg_Aag2SINV_dsPiwi4.24_35.rep

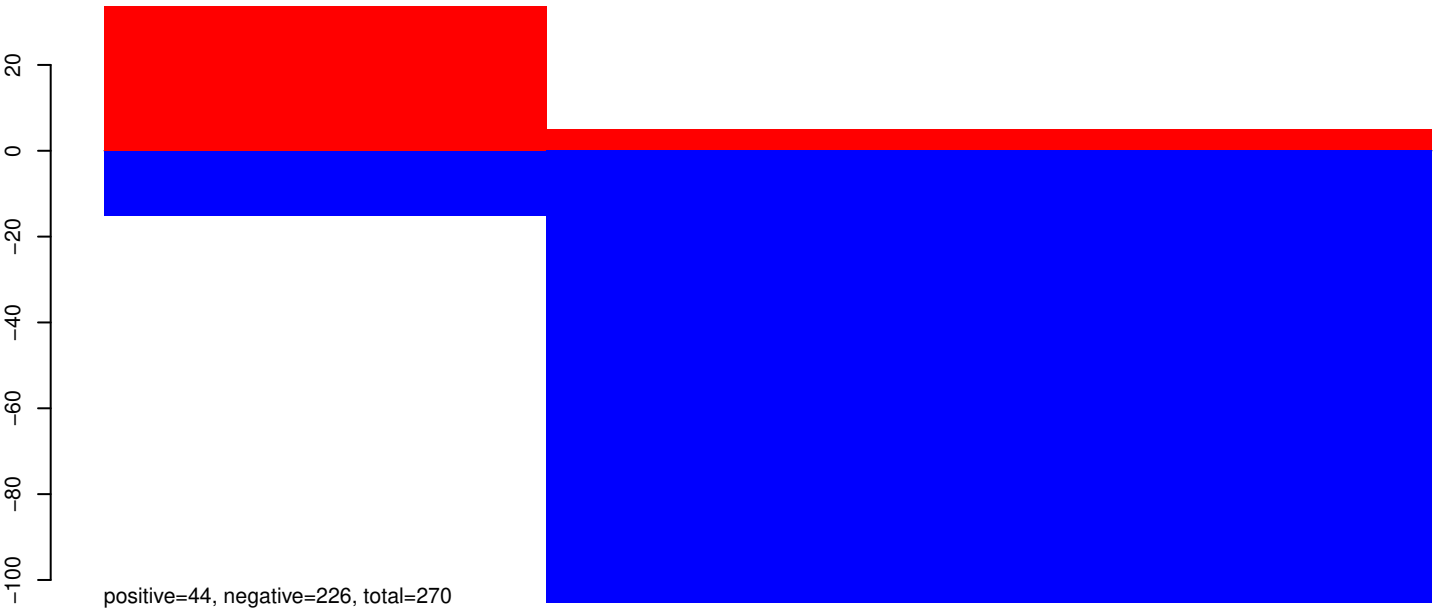


AeAeg_Aag2SINV_dsPiwi4.rep

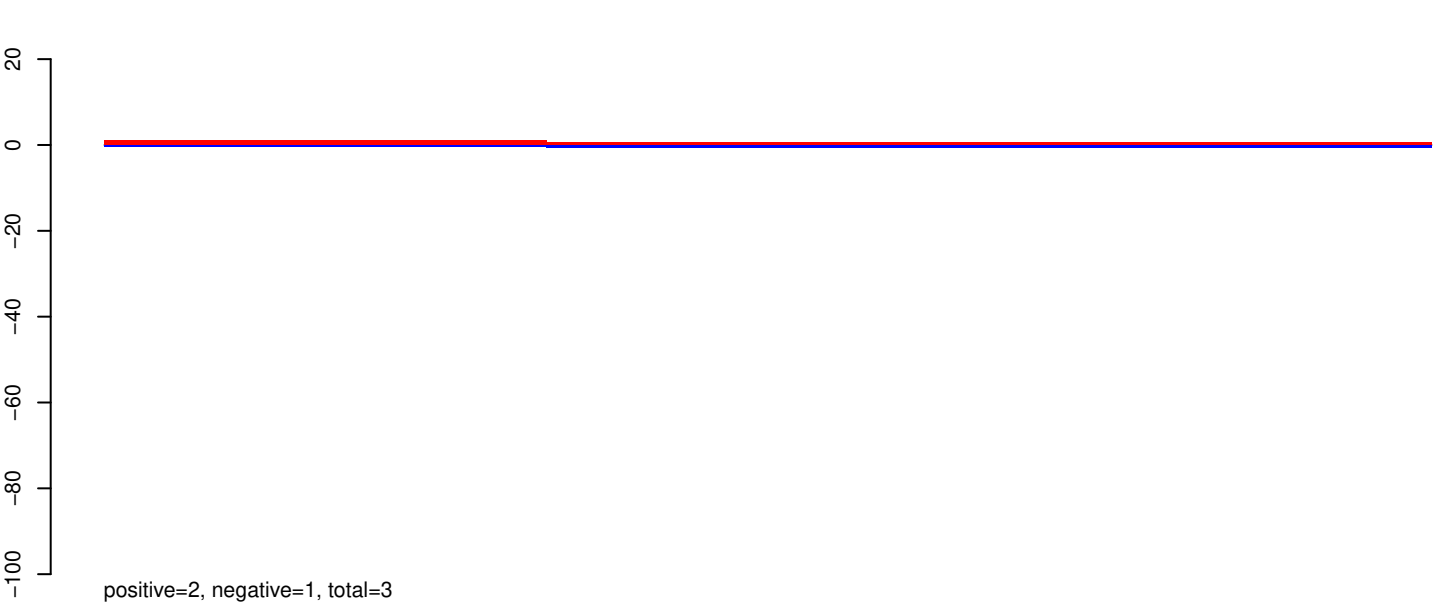


40 60 80 100
window size=25, length=72, AAEL028990-RA-1RNA-2-422623477-422623548-1-gene-AAEL028990:1-72

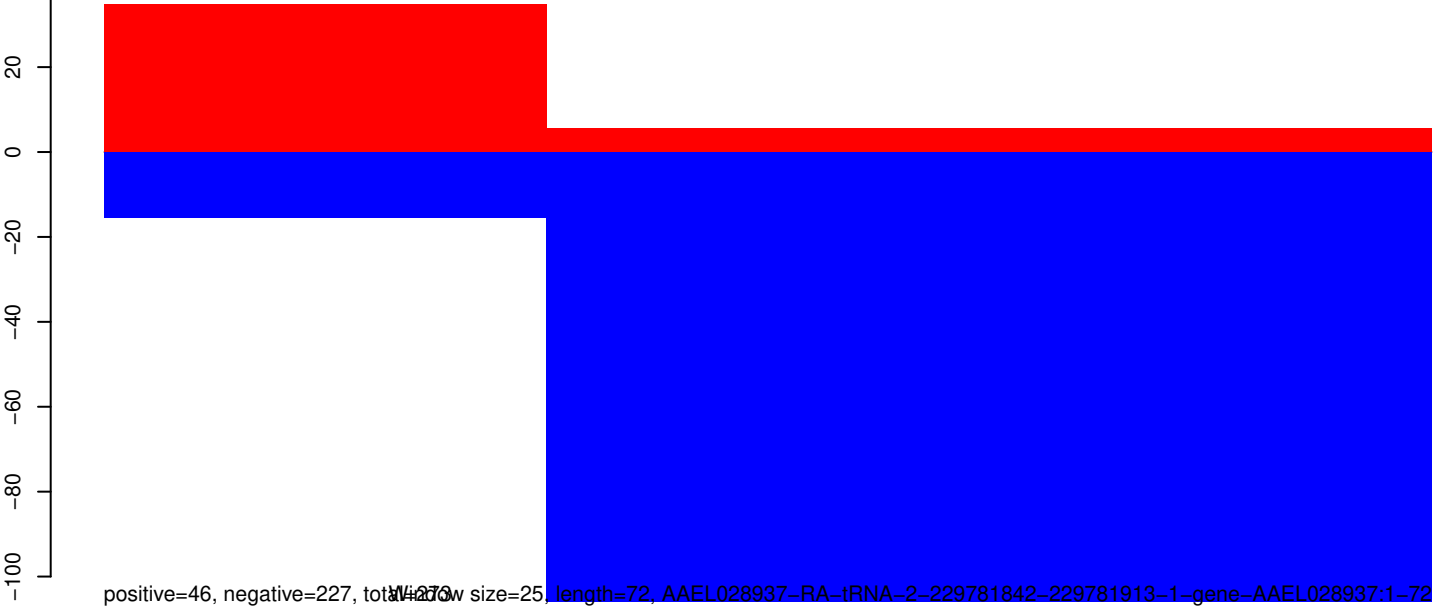
AeAeg_Aag2SINV_dsPiwi4.18_23.rep



AeAeg_Aag2SINV_dsPiwi4.24_35.rep



AeAeg_Aag2SINV_dsPiwi4.rep

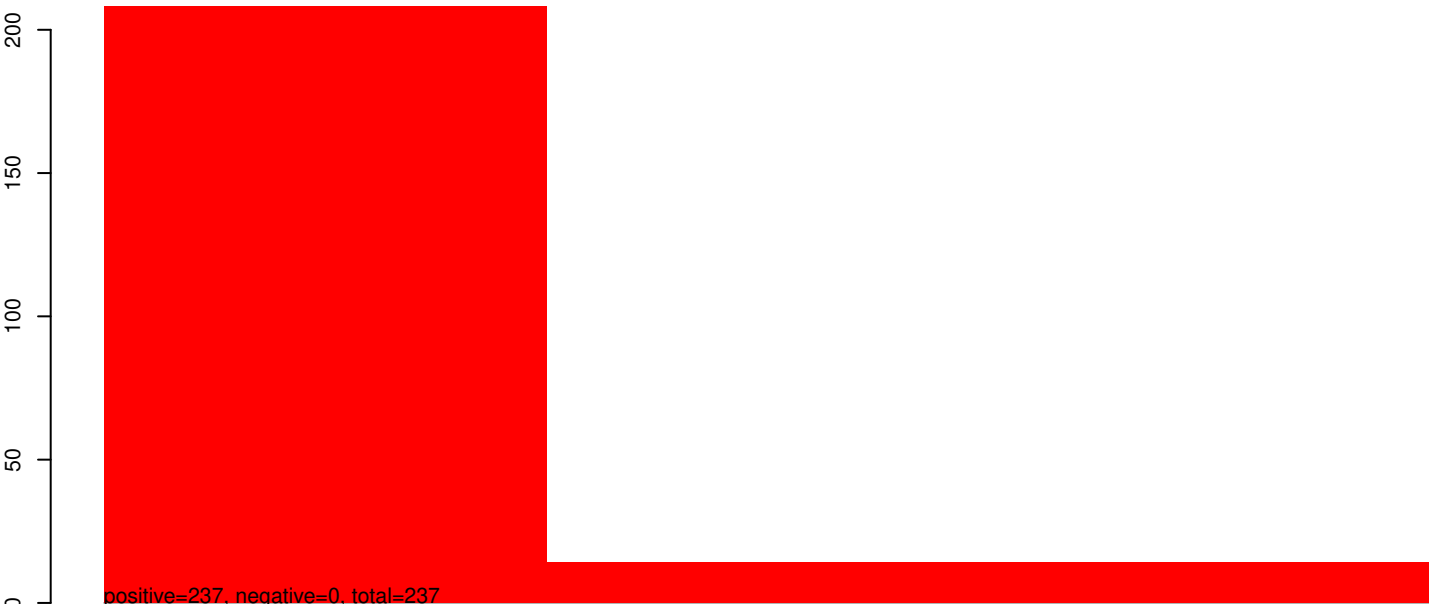


40 60 80 100

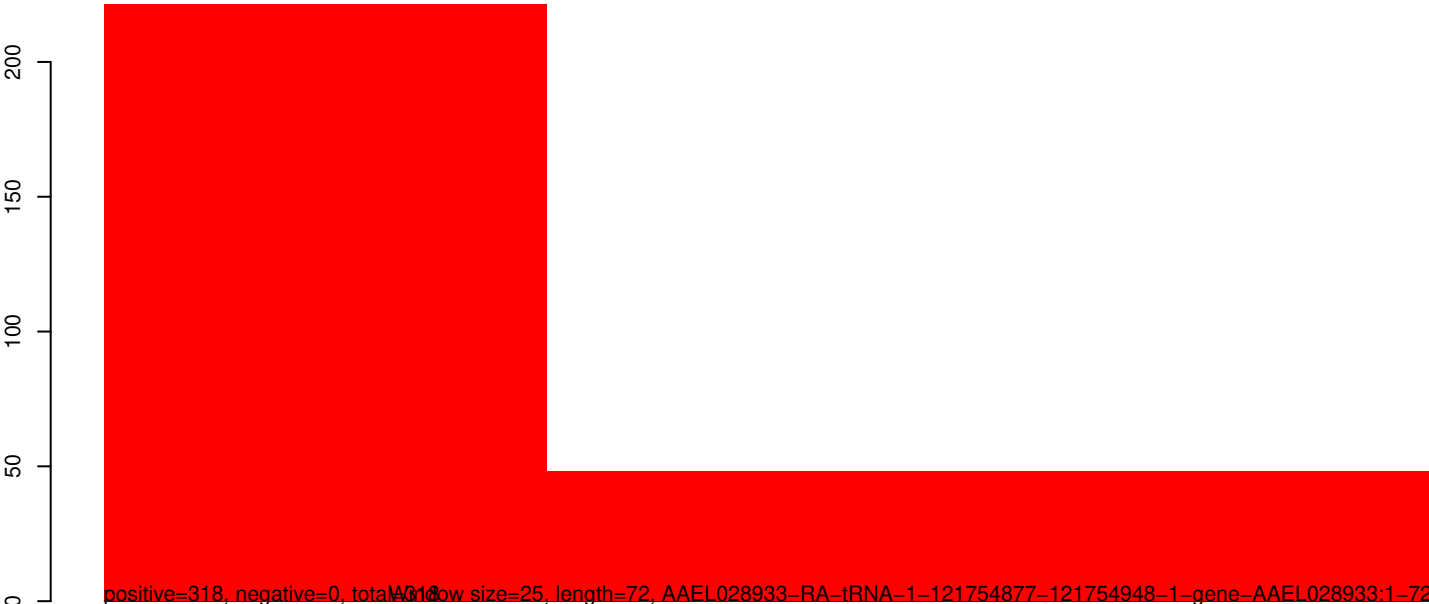
AeAeg_Aag2SINV_dsPiwi4.18_23.rep



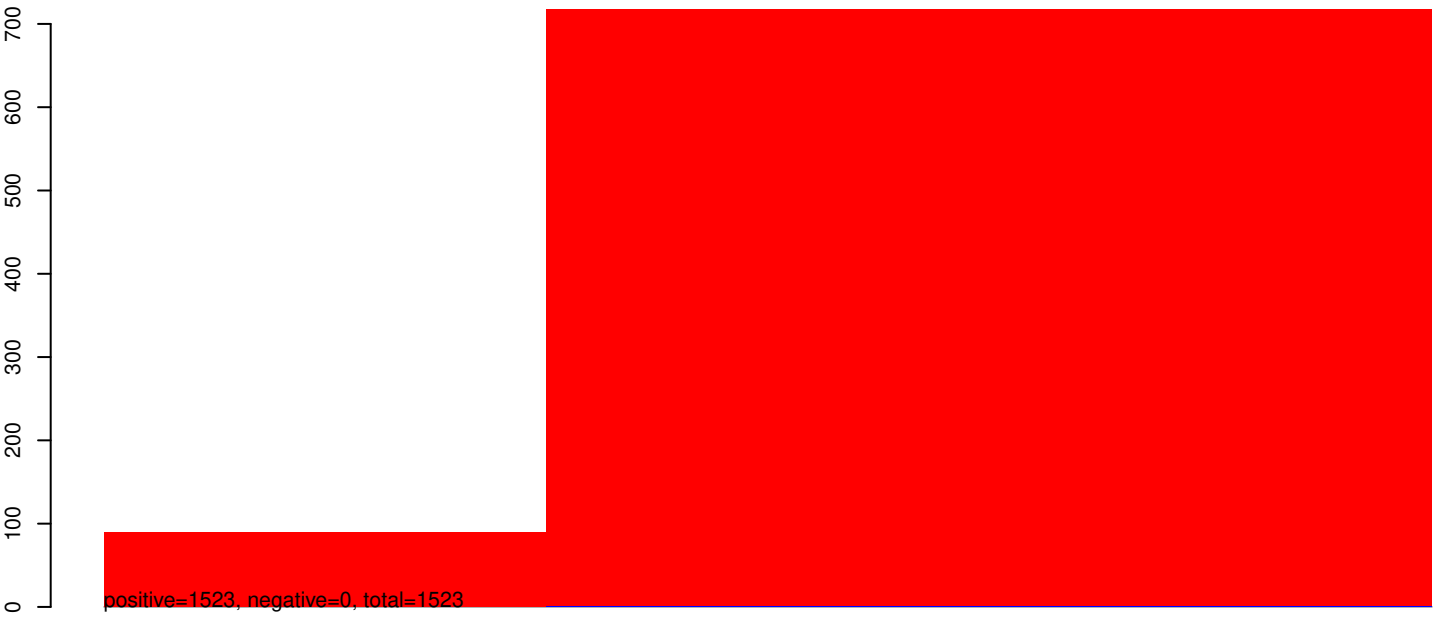
AeAeg_Aag2SINV_dsPiwi4.24_35.rep



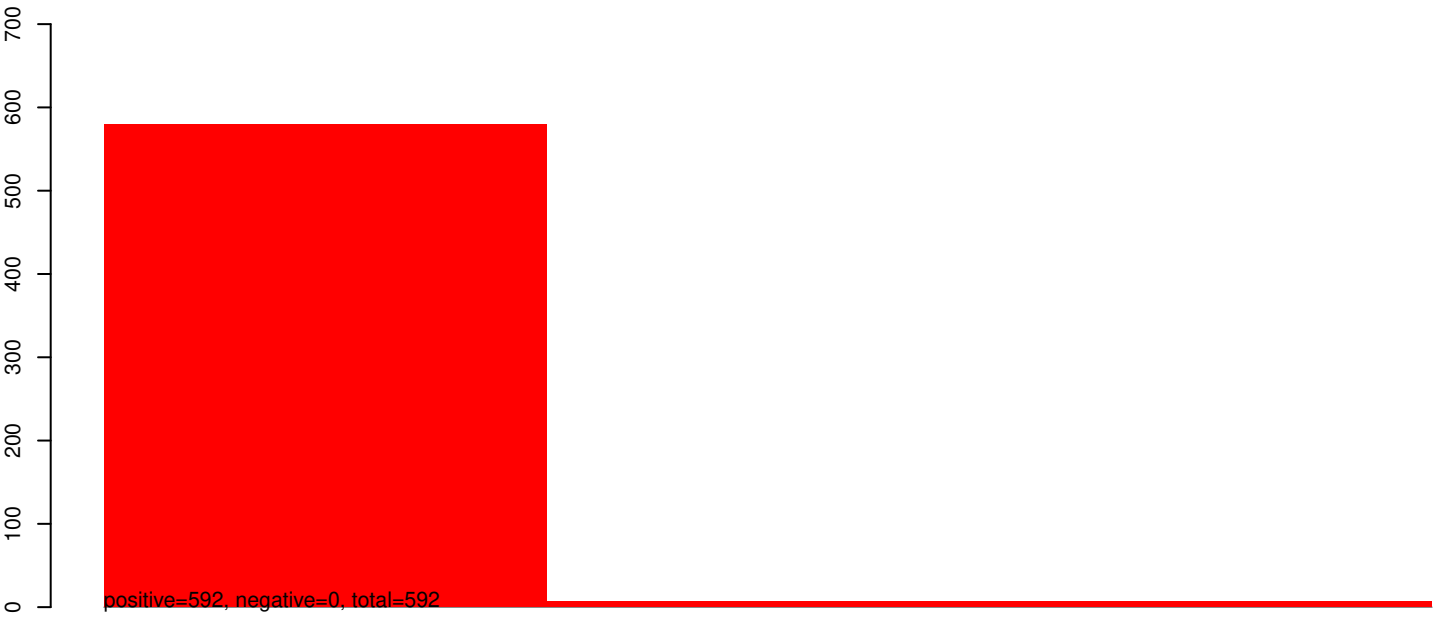
AeAeg_Aag2SINV_dsPiwi4.rep



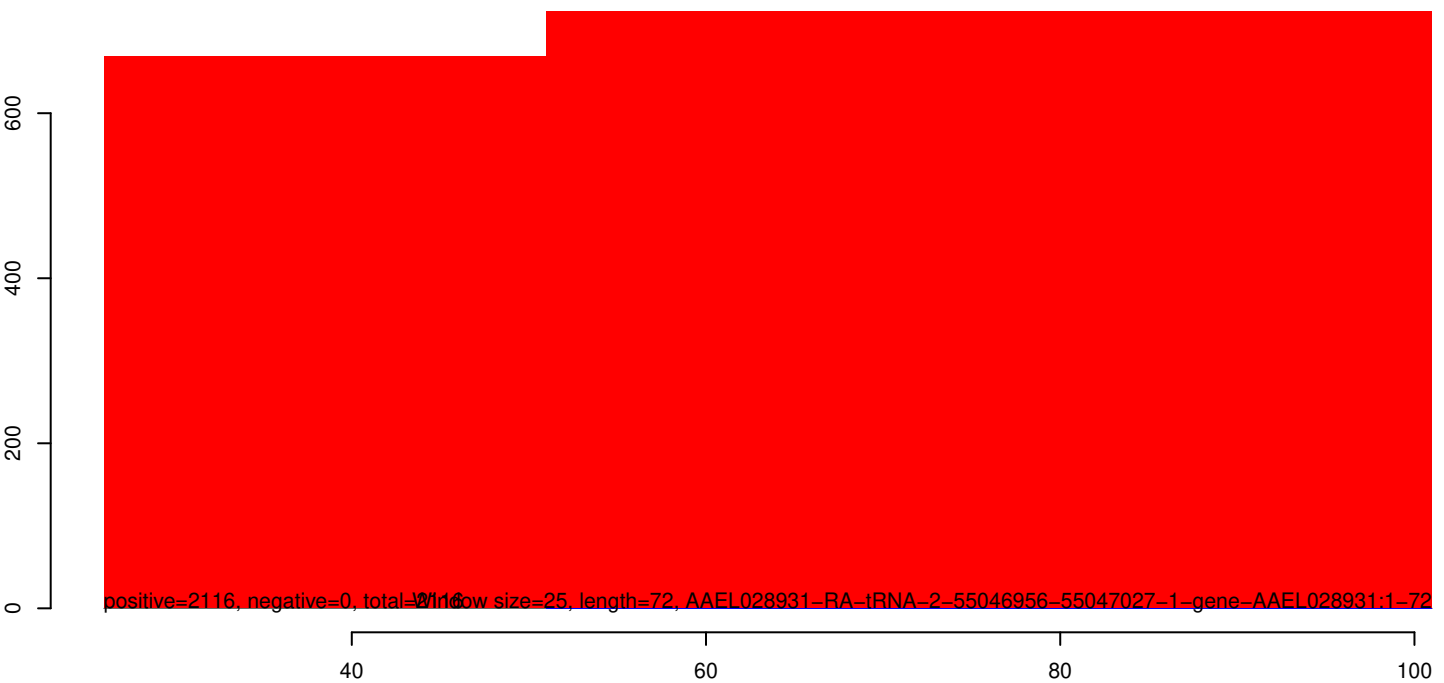
AeAeg_Aag2SINV_dsPiwi4.18_23.rep



AeAeg_Aag2SINV_dsPiwi4.24_35.rep

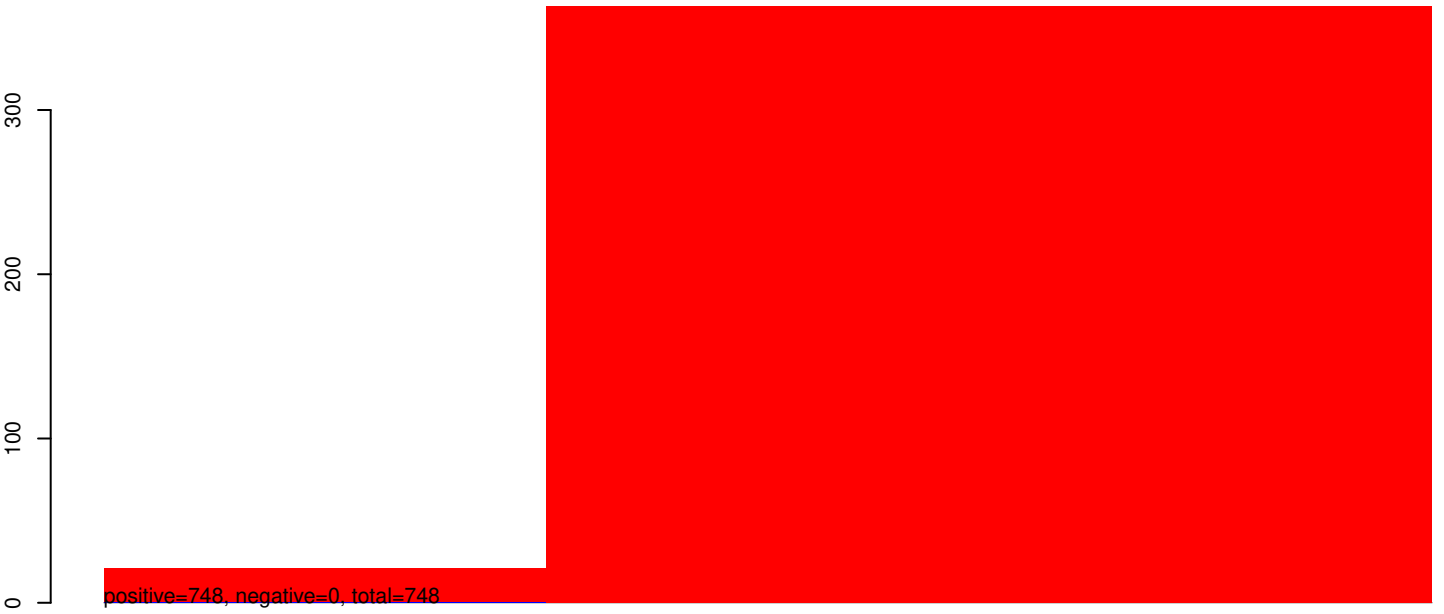


AeAeg_Aag2SINV_dsPiwi4.rep

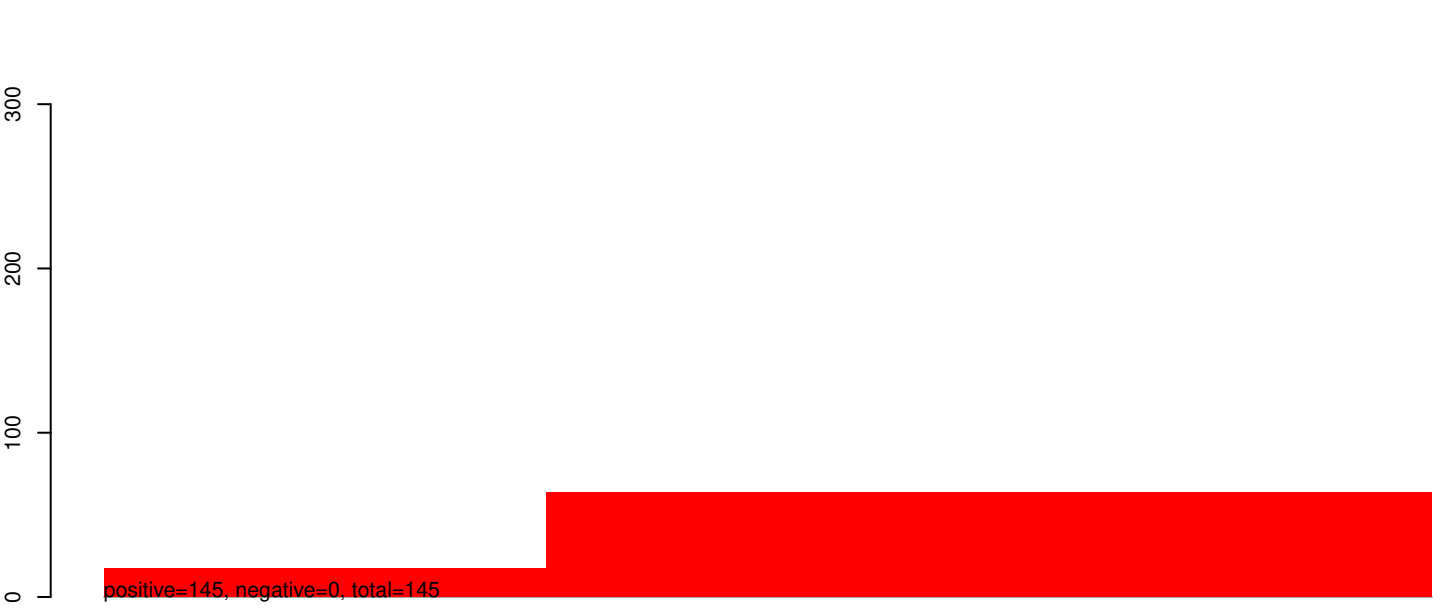


Window size=25, length=72, AAEL028931-RA-tRNA-2-55046956-55047027-1-gene-AAEL028931:1-72

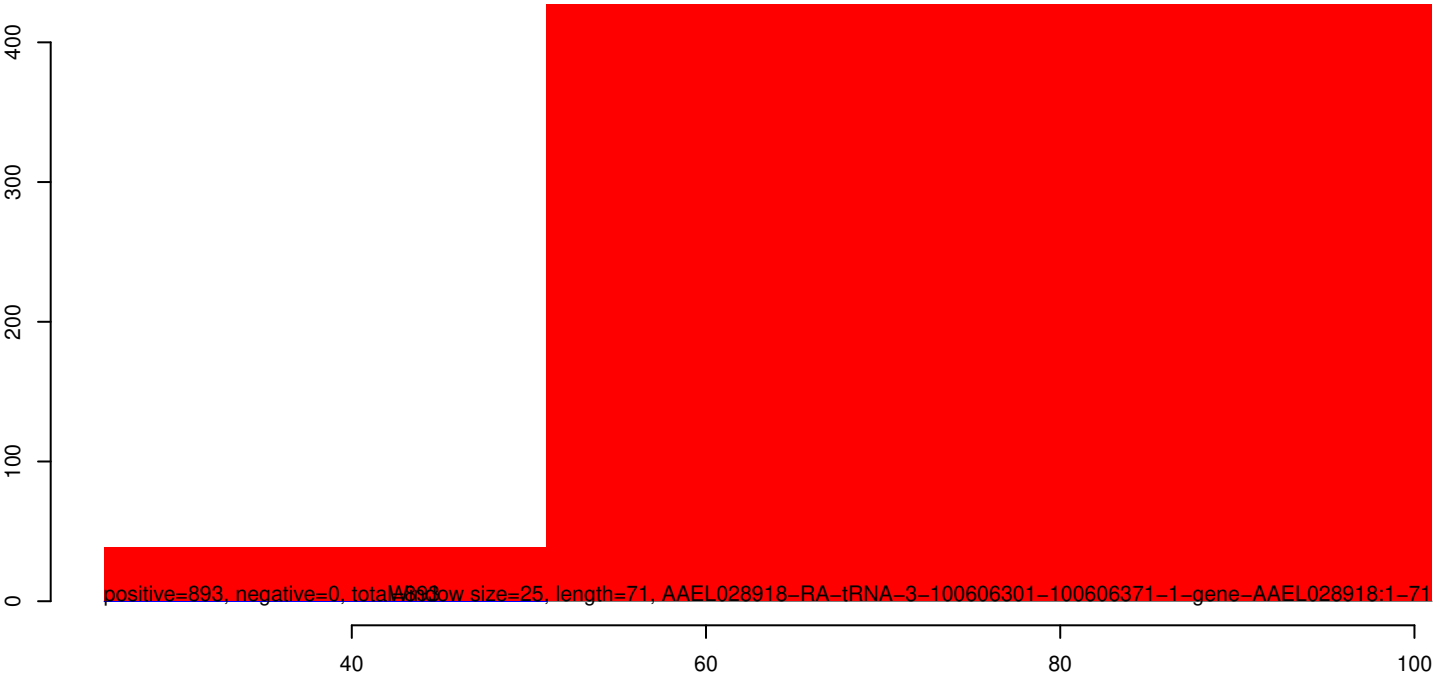
AeAeg_Aag2SINV_dsPiwi4.18_23.rep



AeAeg_Aag2SINV_dsPiwi4.24_35.rep



AeAeg_Aag2SINV_dsPiwi4.rep



AeAeg_Aag2SINV_dsPiwi4.18_23.rep



AeAeg_Aag2SINV_dsPiwi4.24_35.rep

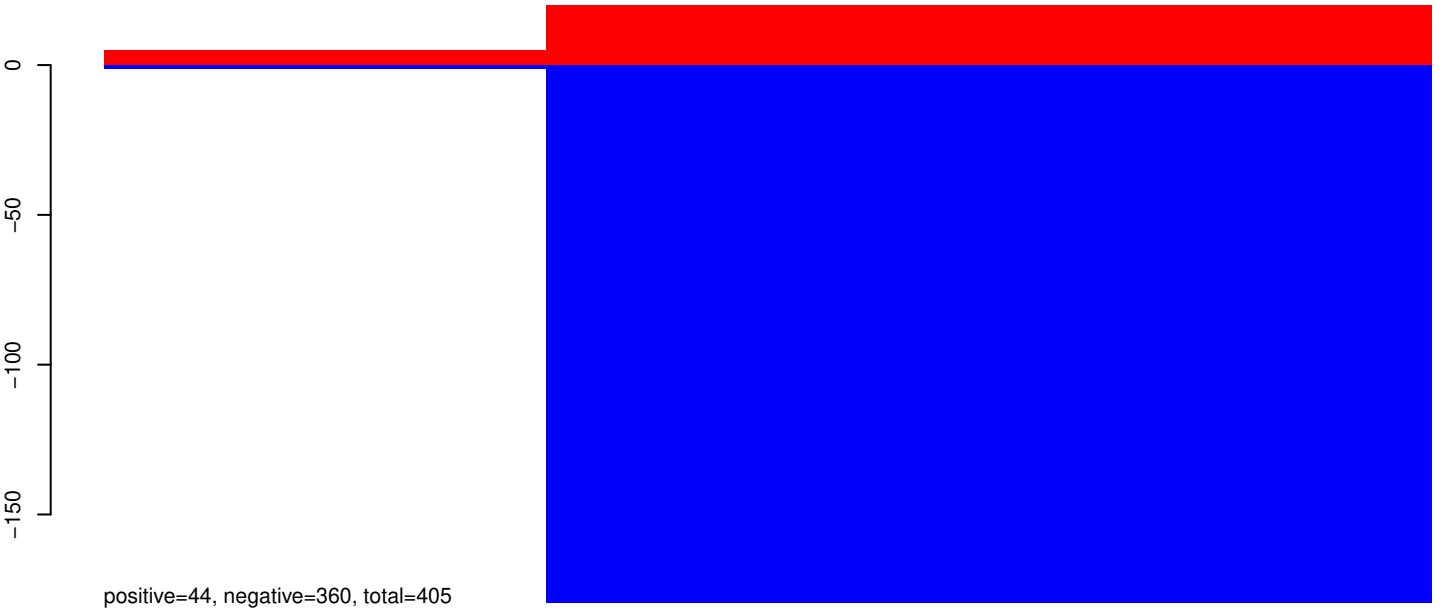


AeAeg_Aag2SINV_dsPiwi4.rep

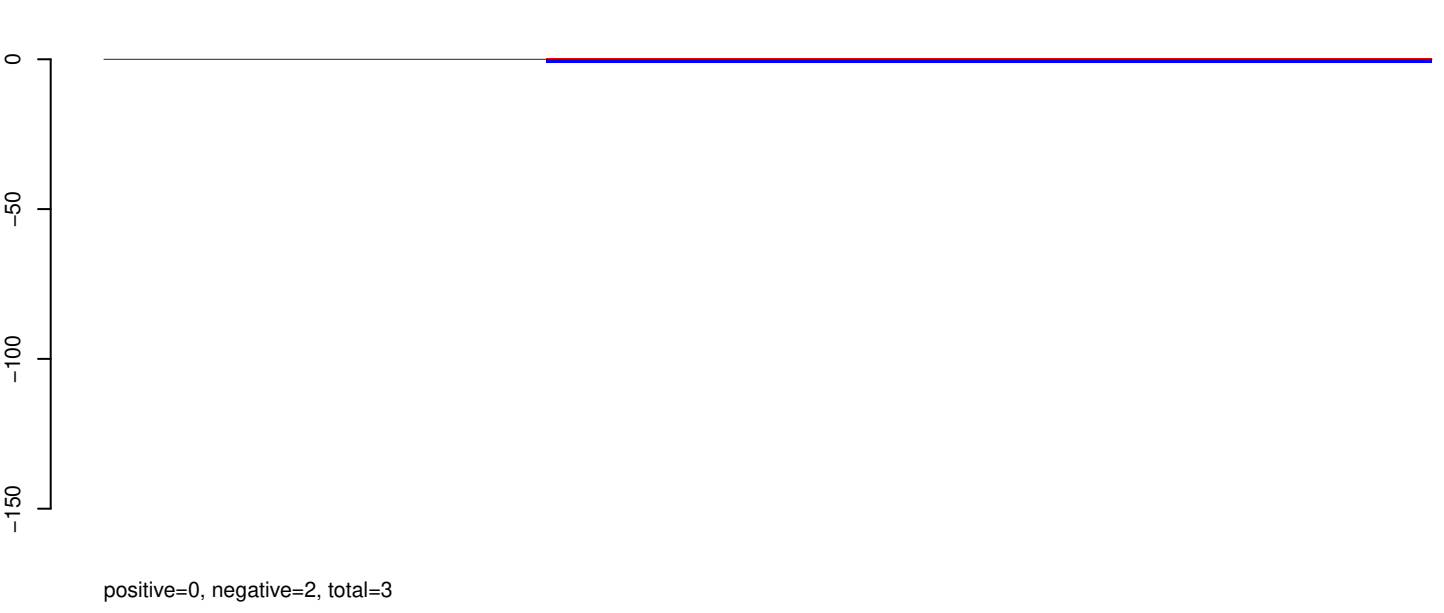


40 60 80 100

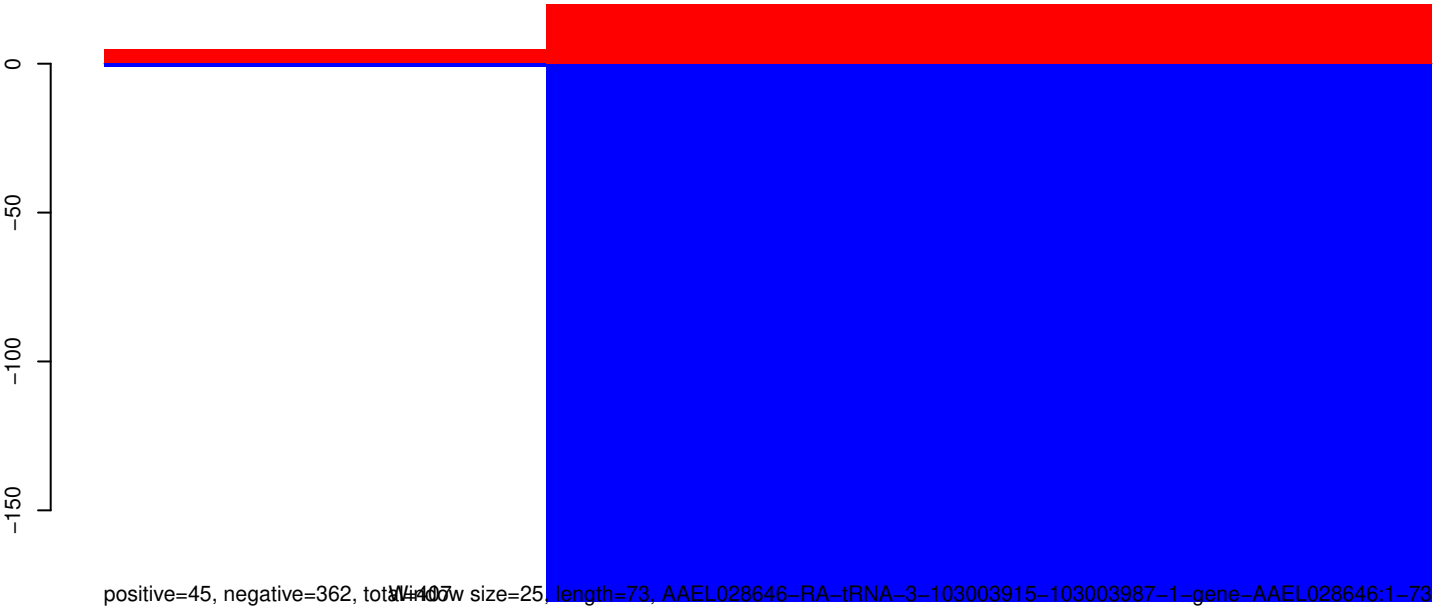
AeAeg_Aag2SINV_dsPiwi4.18_23.rep



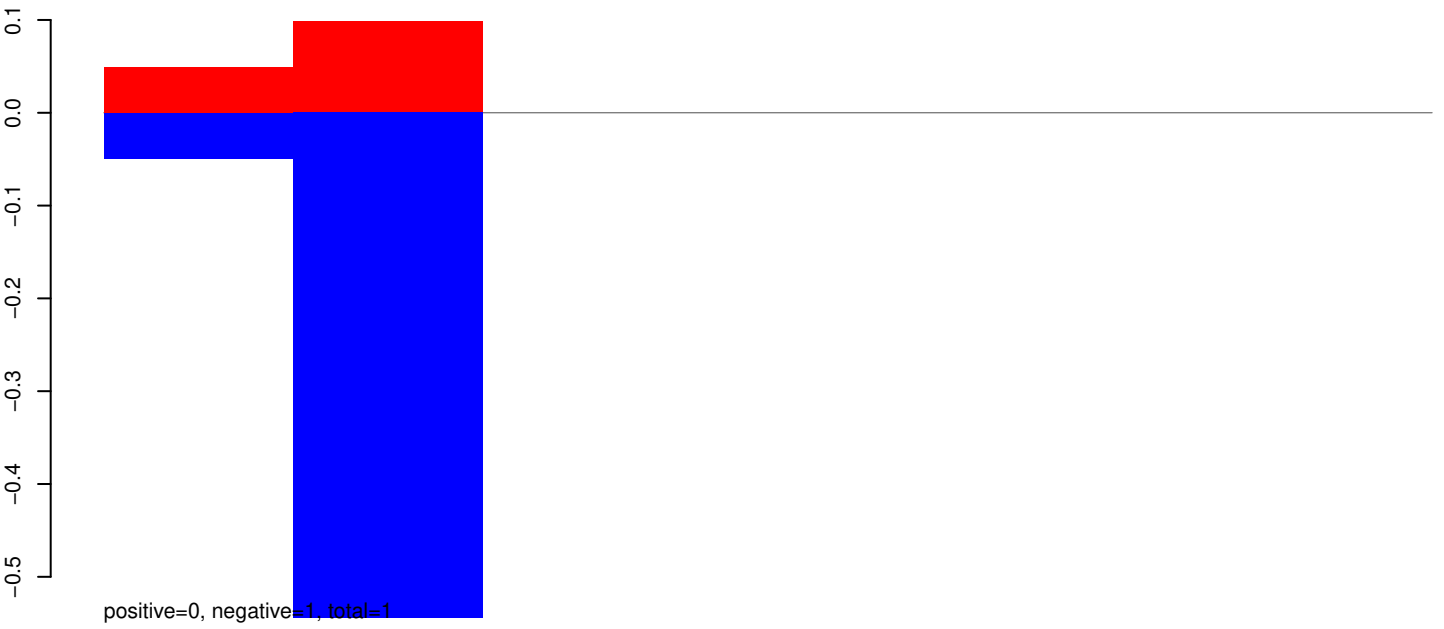
AeAeg_Aag2SINV_dsPiwi4.24_35.rep



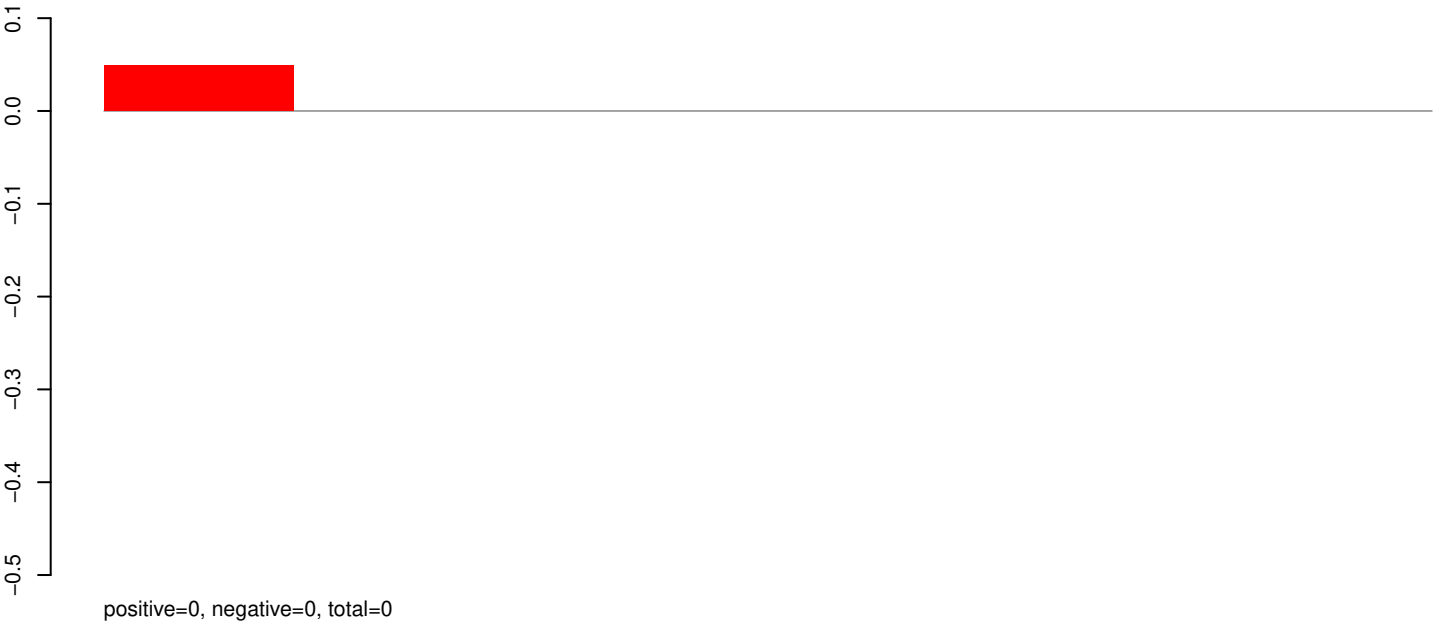
AeAeg_Aag2SINV_dsPiwi4.rep



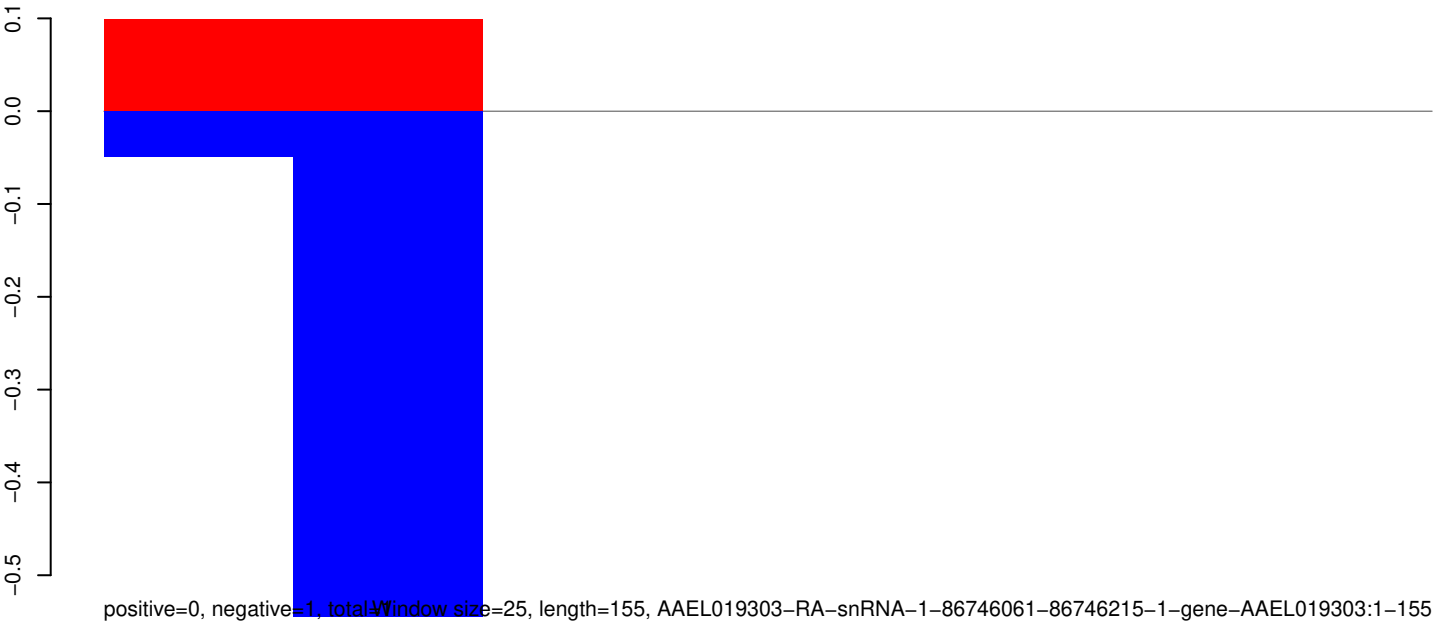
AeAeg_Aag2SINV_dsPiwi4.18_23.rep



AeAeg_Aag2SINV_dsPiwi4.24_35.rep



AeAeg_Aag2SINV_dsPiwi4.rep



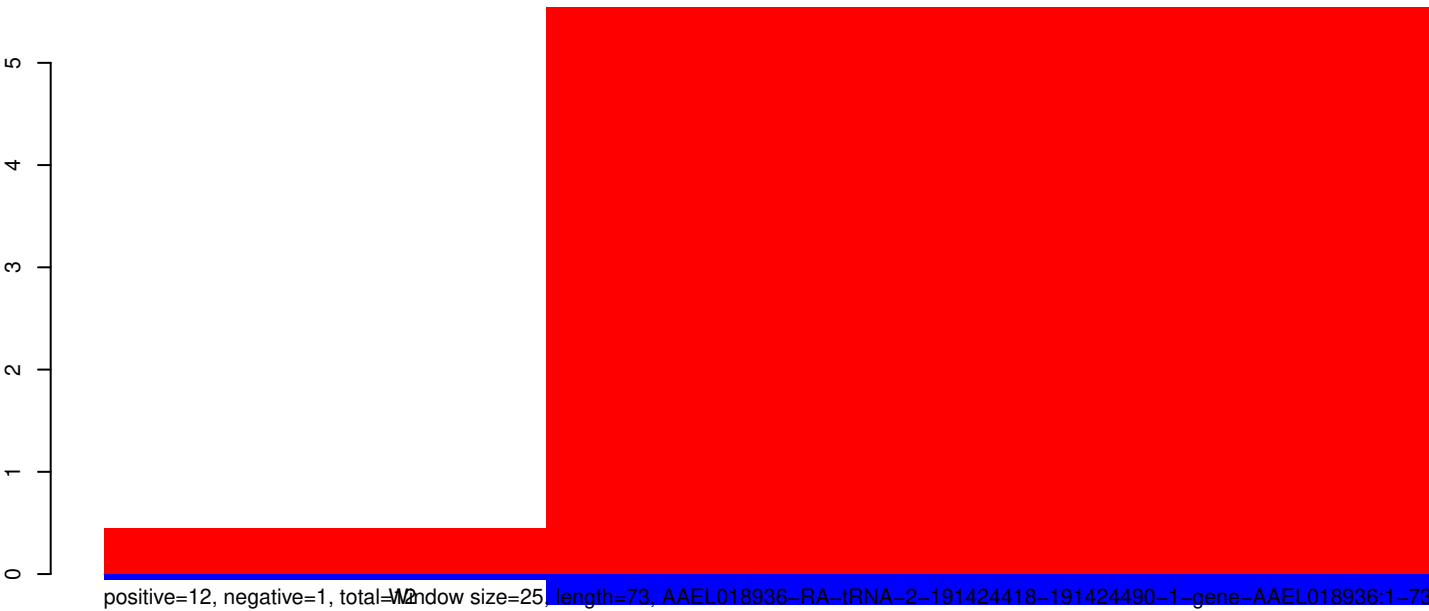
AeAeg_Aag2SINV_dsPiwi4.18_23.rep



AeAeg_Aag2SINV_dsPiwi4.24_35.rep

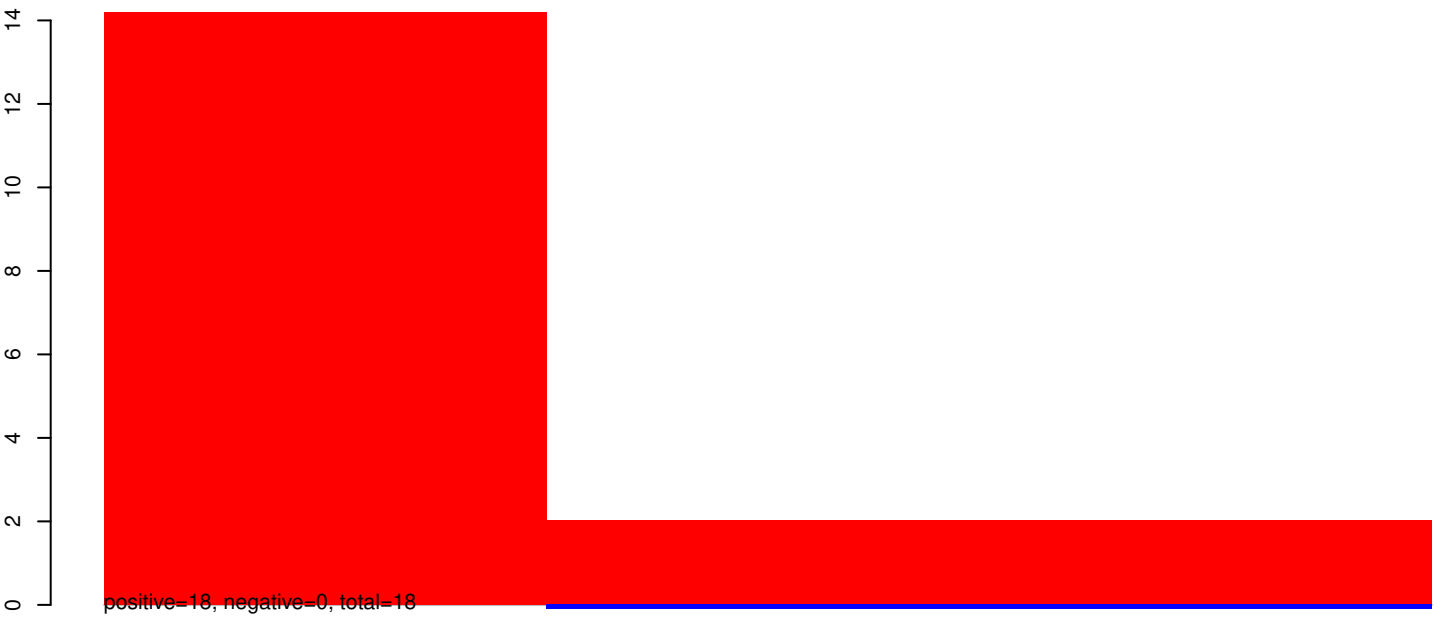


AeAeg_Aag2SINV_dsPiwi4.rep



40 60 80 100

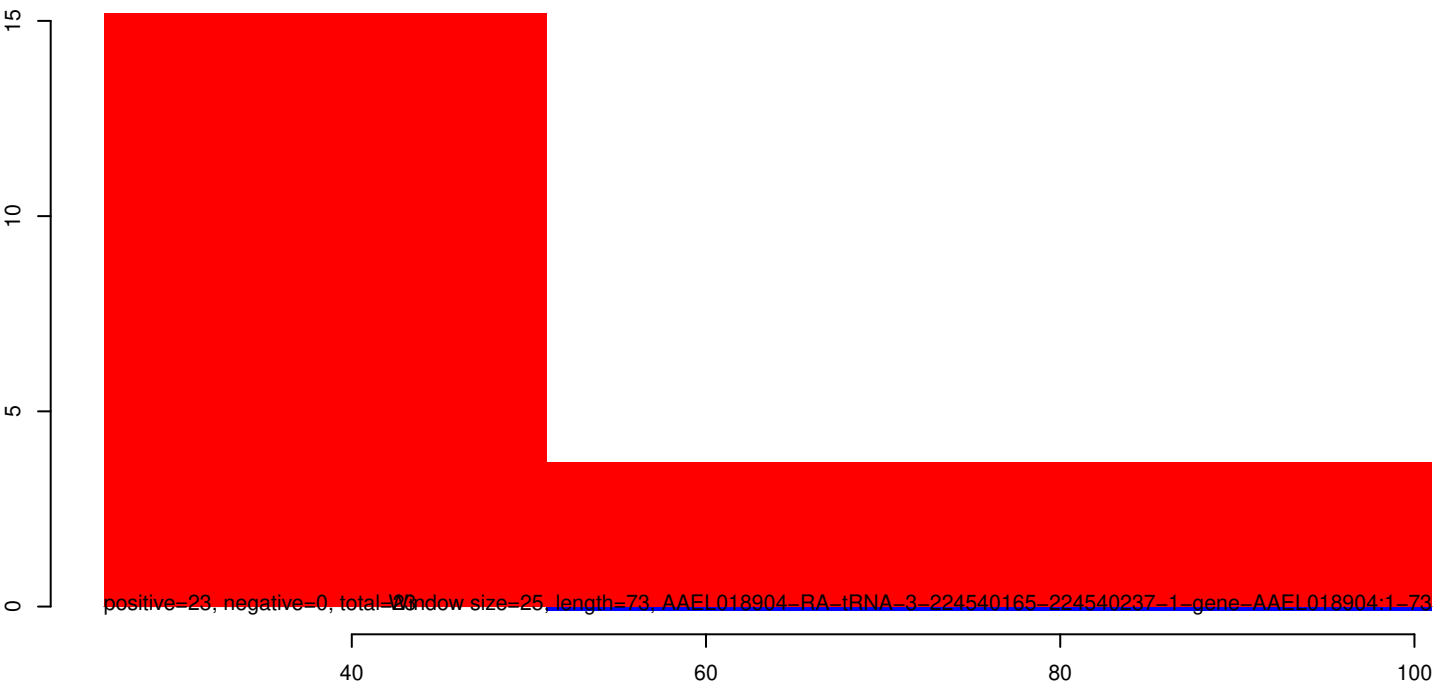
AeAeg_Aag2SINV_dsPiwi4.18_23.rep



AeAeg_Aag2SINV_dsPiwi4.24_35.rep



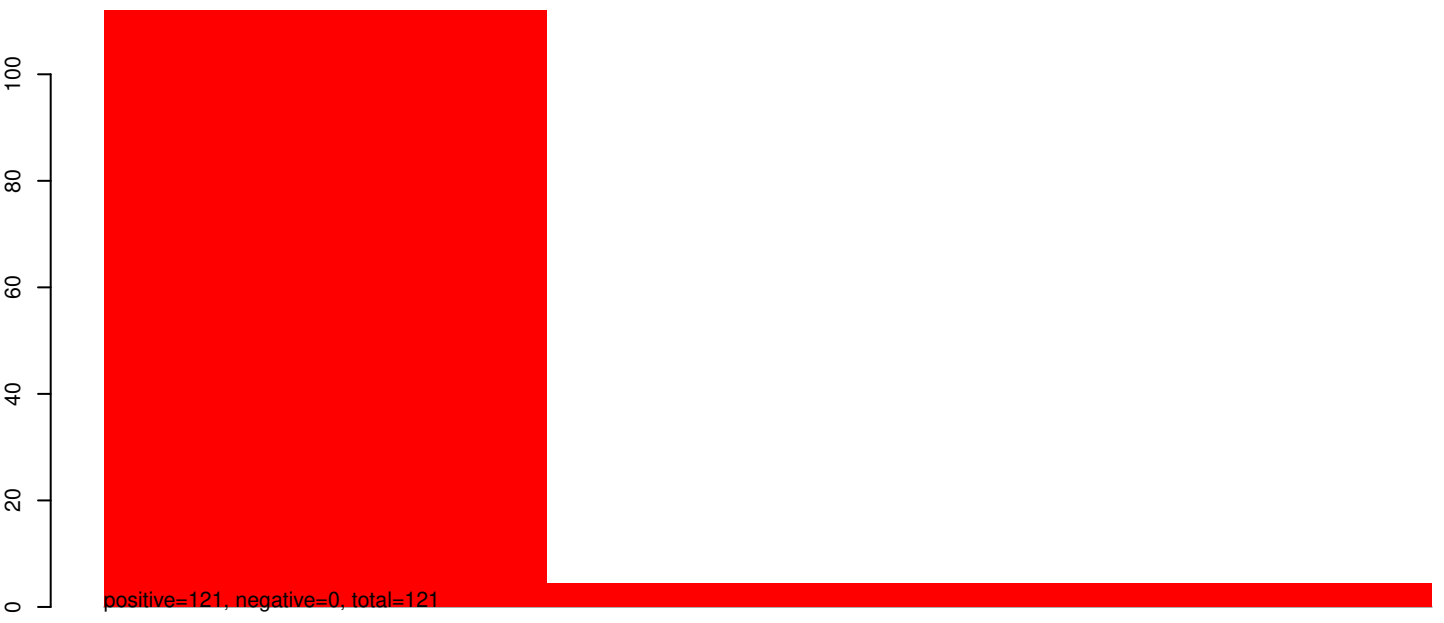
AeAeg_Aag2SINV_dsPiwi4.rep



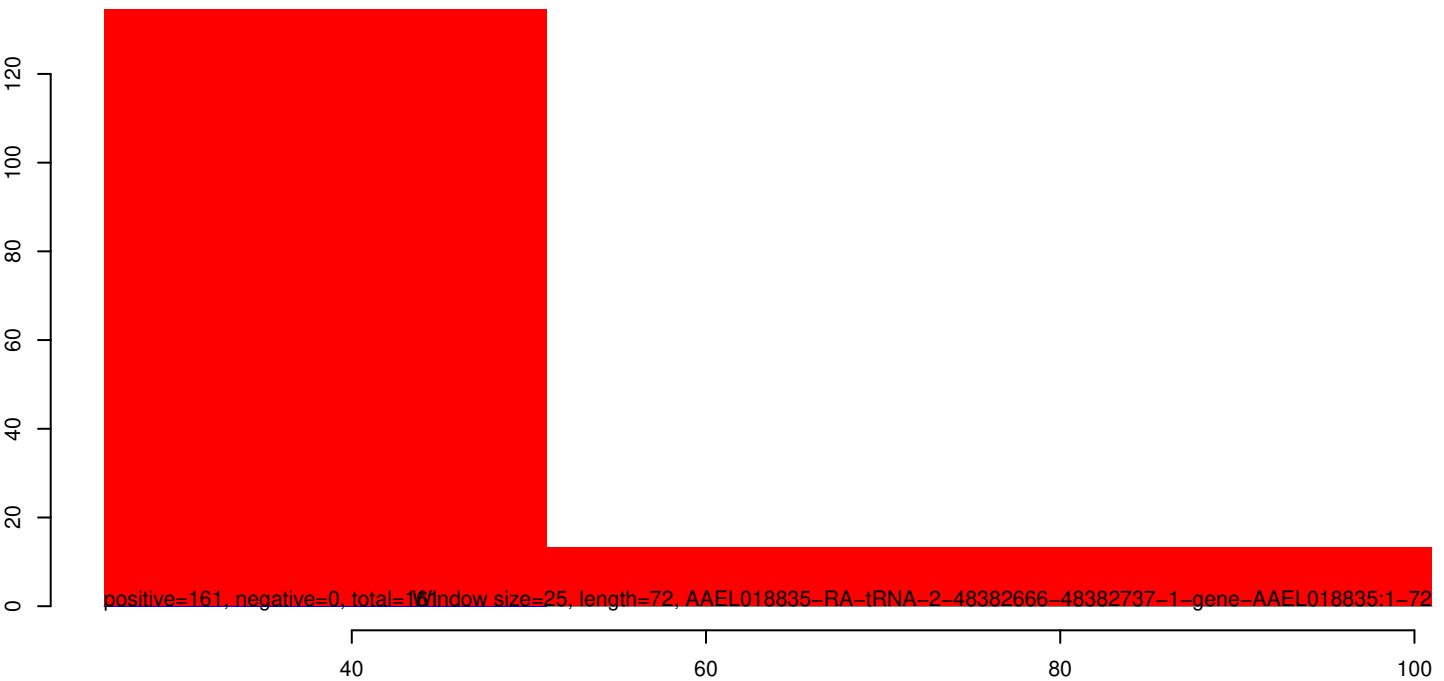
AeAeg_Aag2SINV_dsPiwi4.18_23.rep



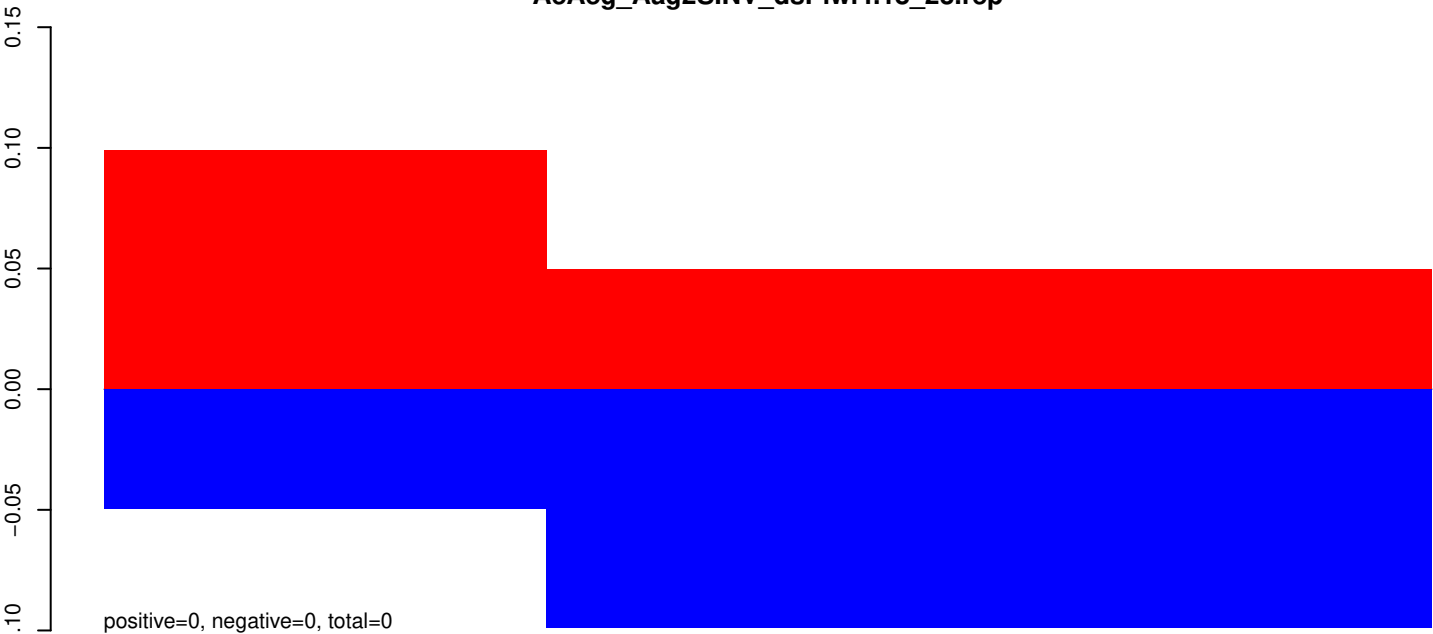
AeAeg_Aag2SINV_dsPiwi4.24_35.rep



AeAeg_Aag2SINV_dsPiwi4.rep



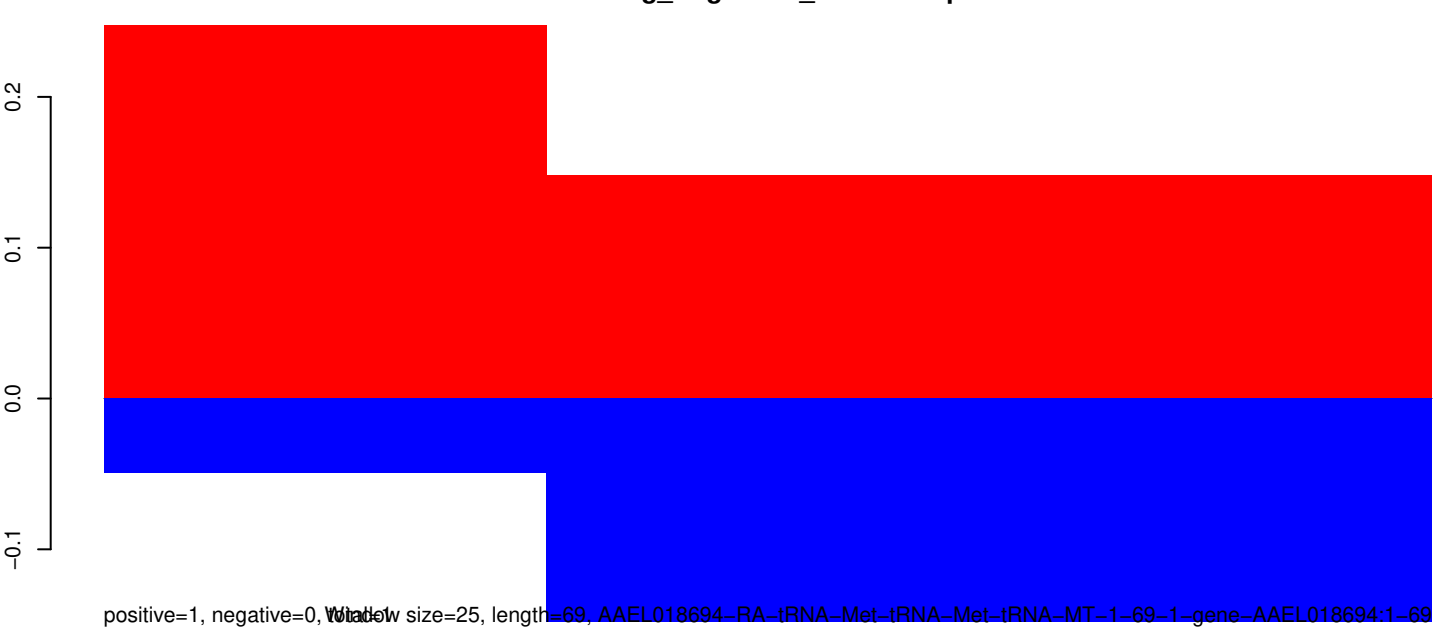
AeAeg_Aag2SINV_dsPiwi4.18_23.rep



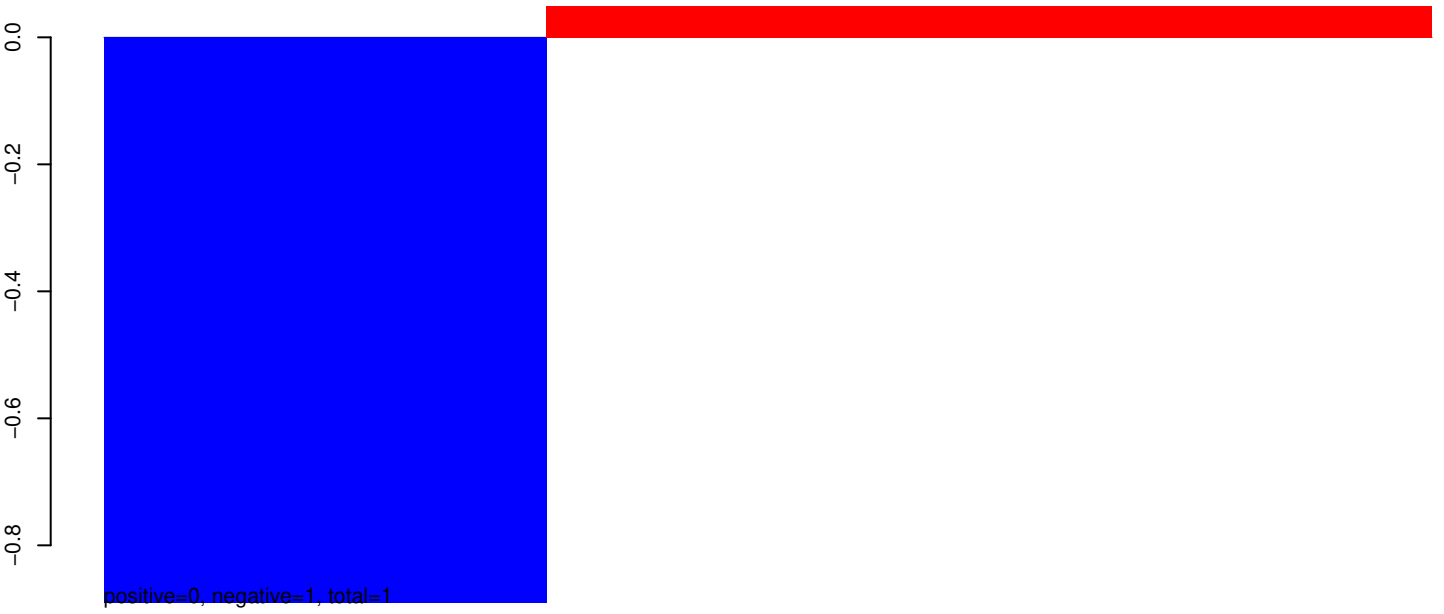
AeAeg_Aag2SINV_dsPiwi4.24_35.rep



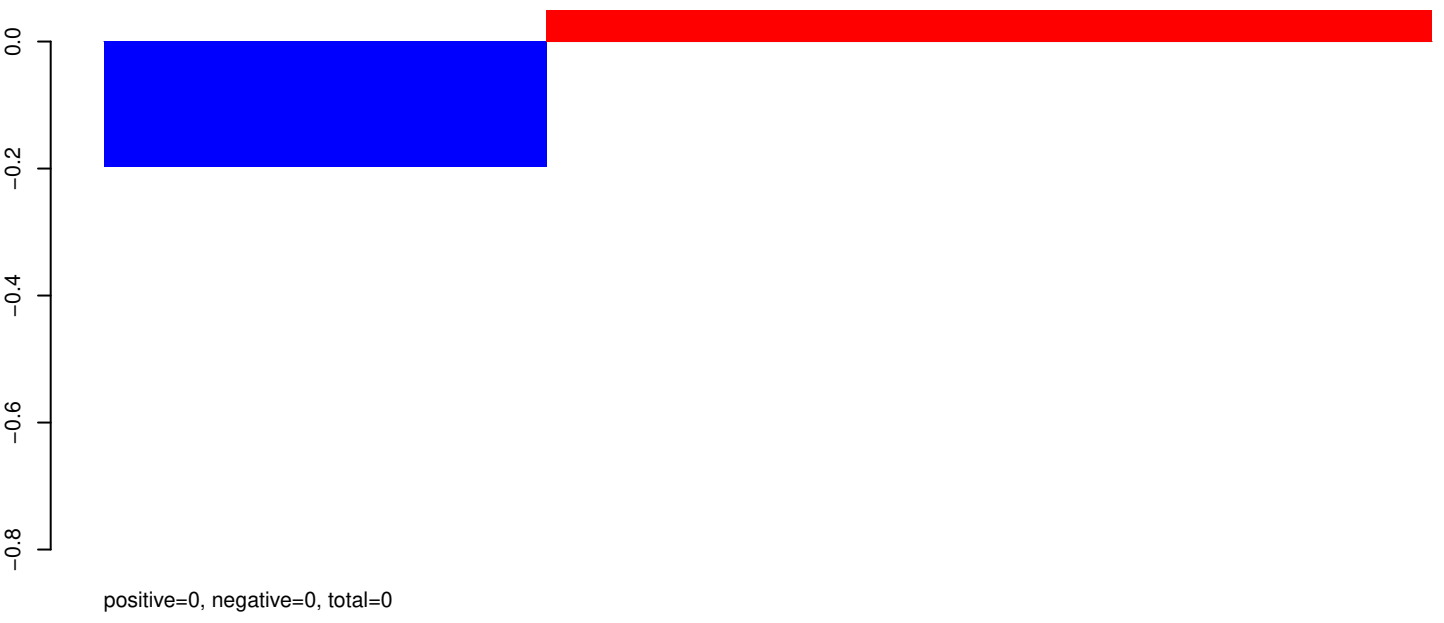
AeAeg_Aag2SINV_dsPiwi4.rep



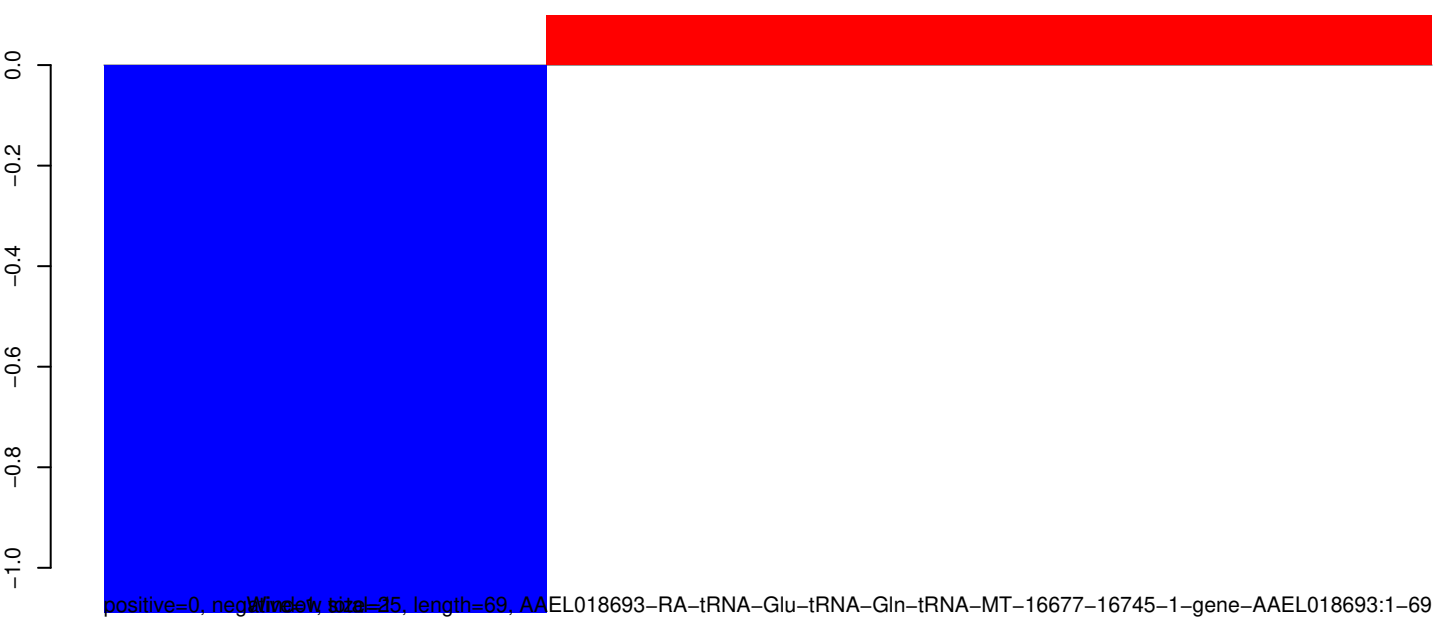
AeAeg_Aag2SINV_dsPiwi4.18_23.rep



AeAeg_Aag2SINV_dsPiwi4.24_35.rep



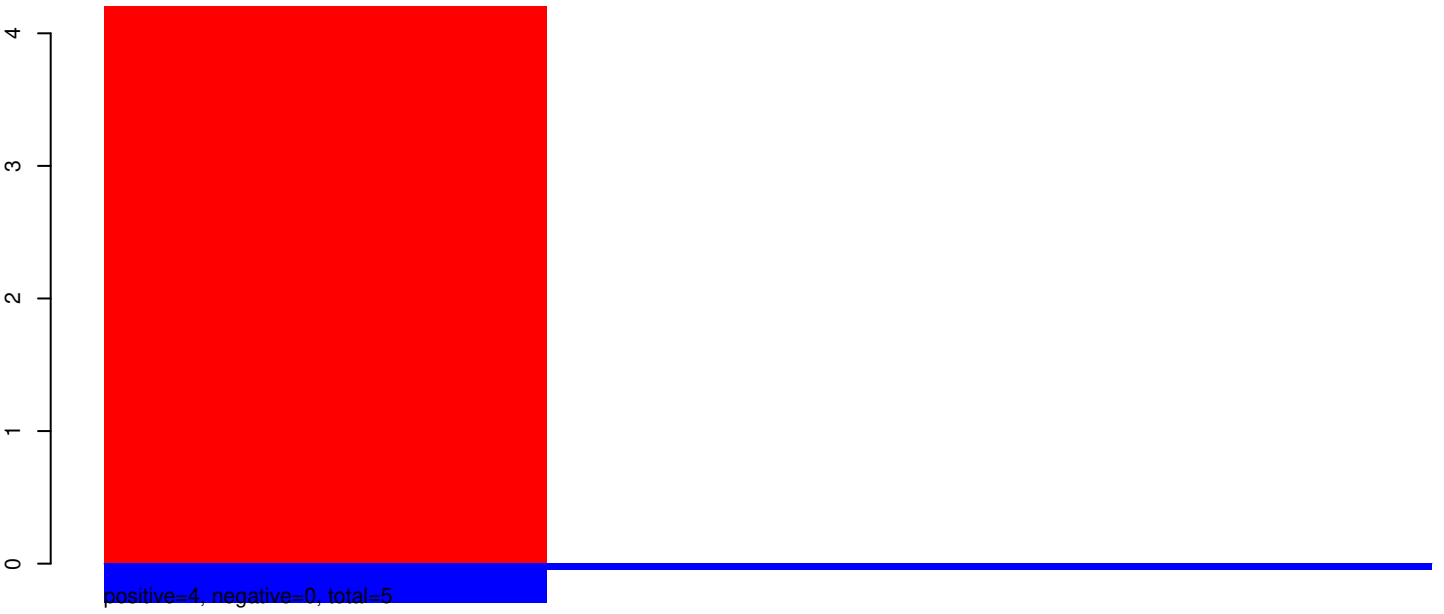
AeAeg_Aag2SINV_dsPiwi4.rep



AAEL018693-RA-tRNA-Glu-tRNA-Gln-tRNA-MT-16677-16745-1-gene-AAEL018693:1-69

40 60 80 100

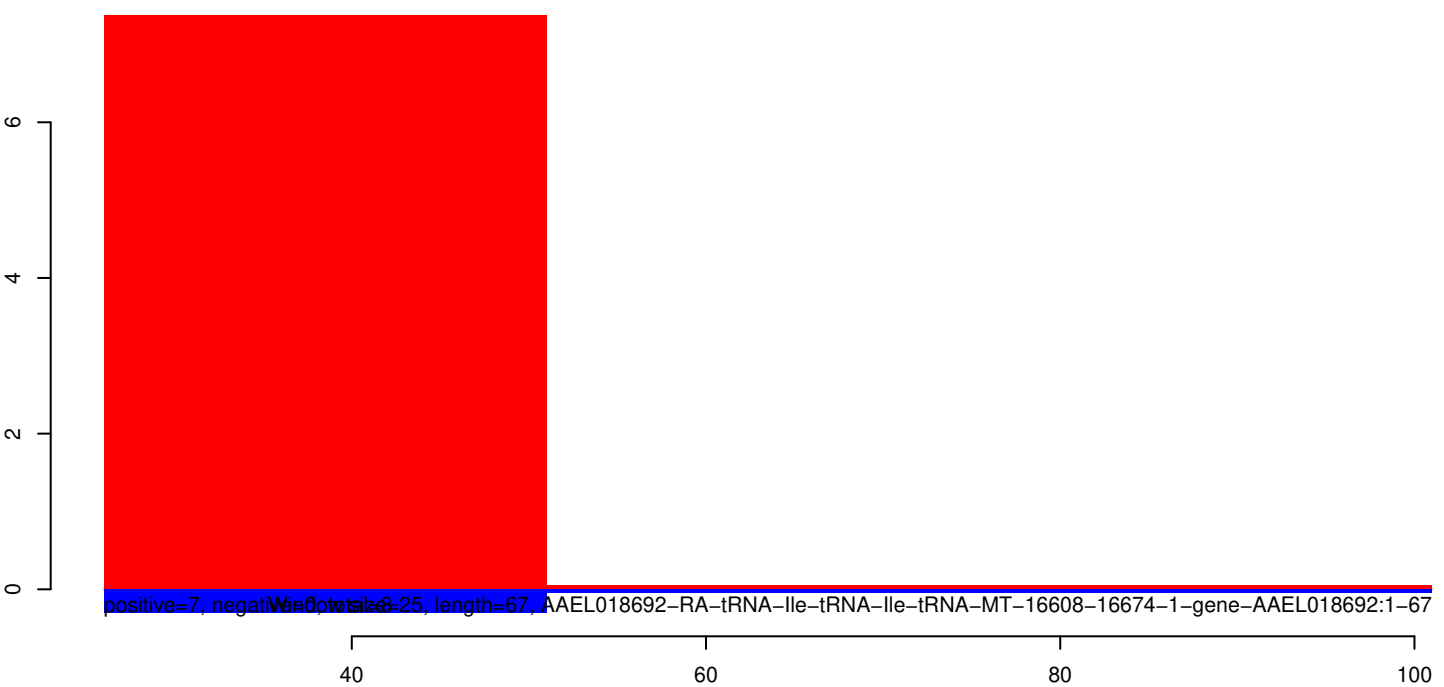
AeAeg_Aag2SINV_dsPiwi4.18_23.rep



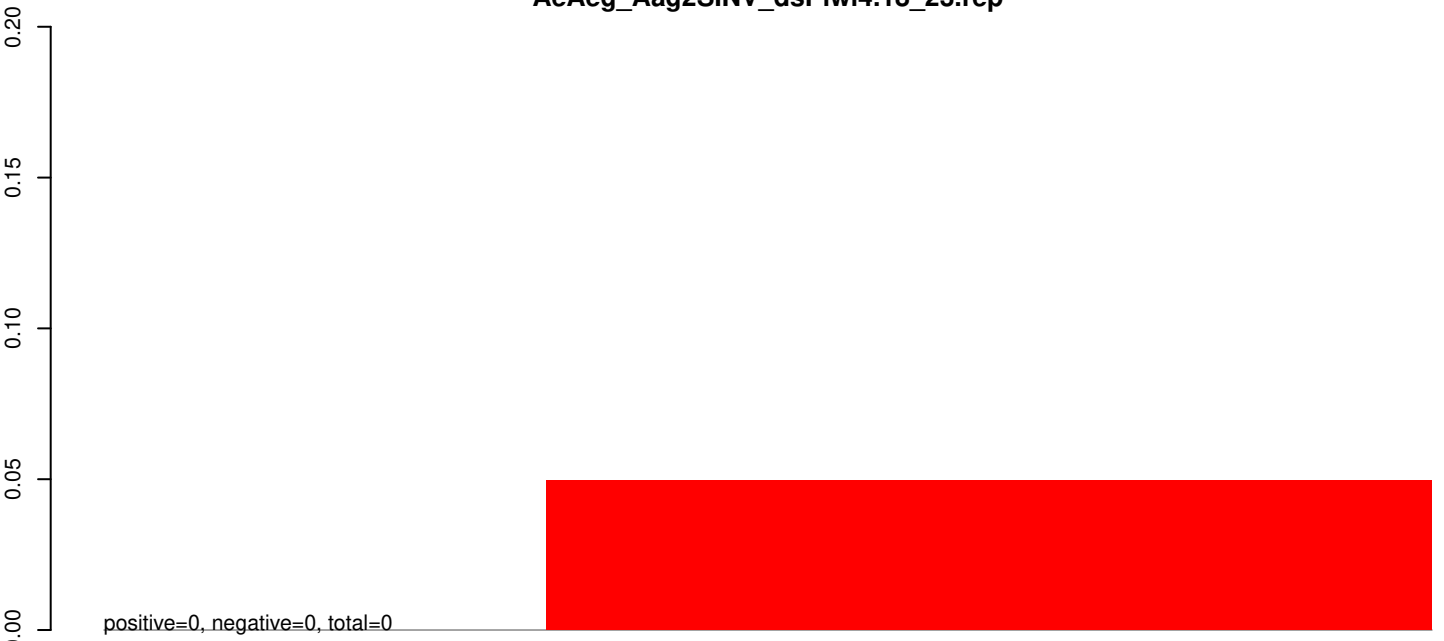
AeAeg_Aag2SINV_dsPiwi4.24_35.rep



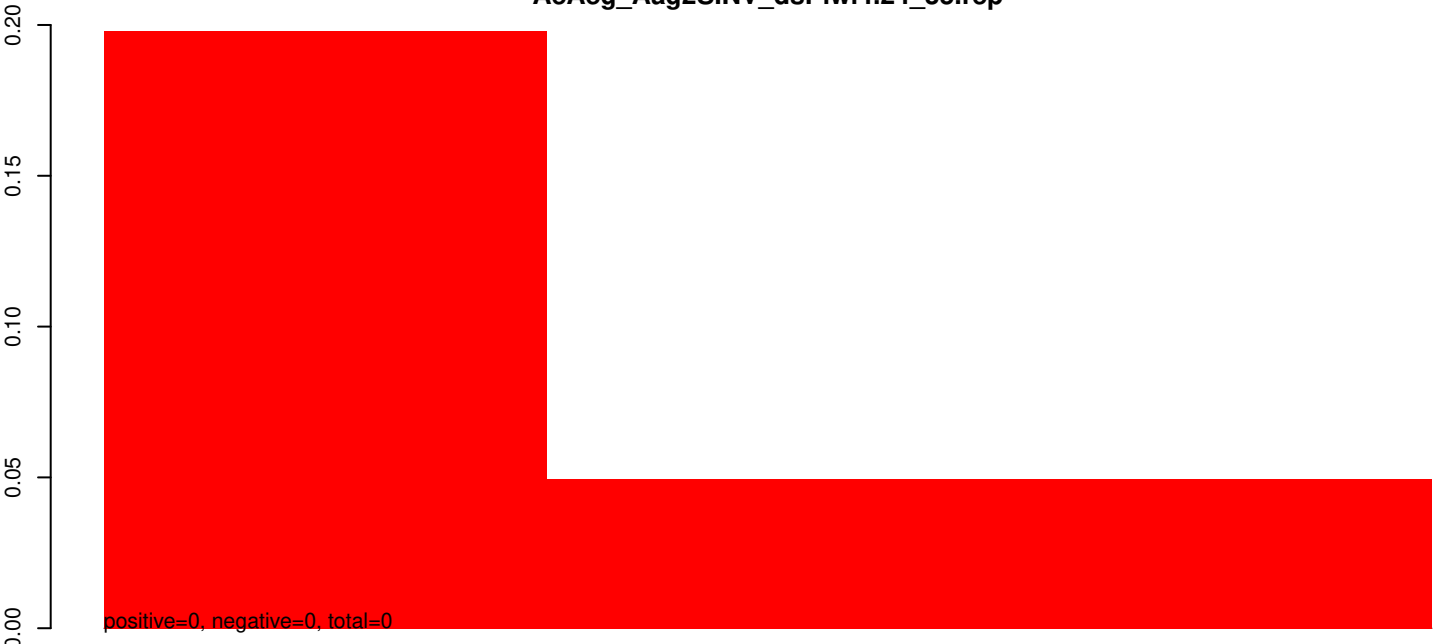
AeAeg_Aag2SINV_dsPiwi4.rep



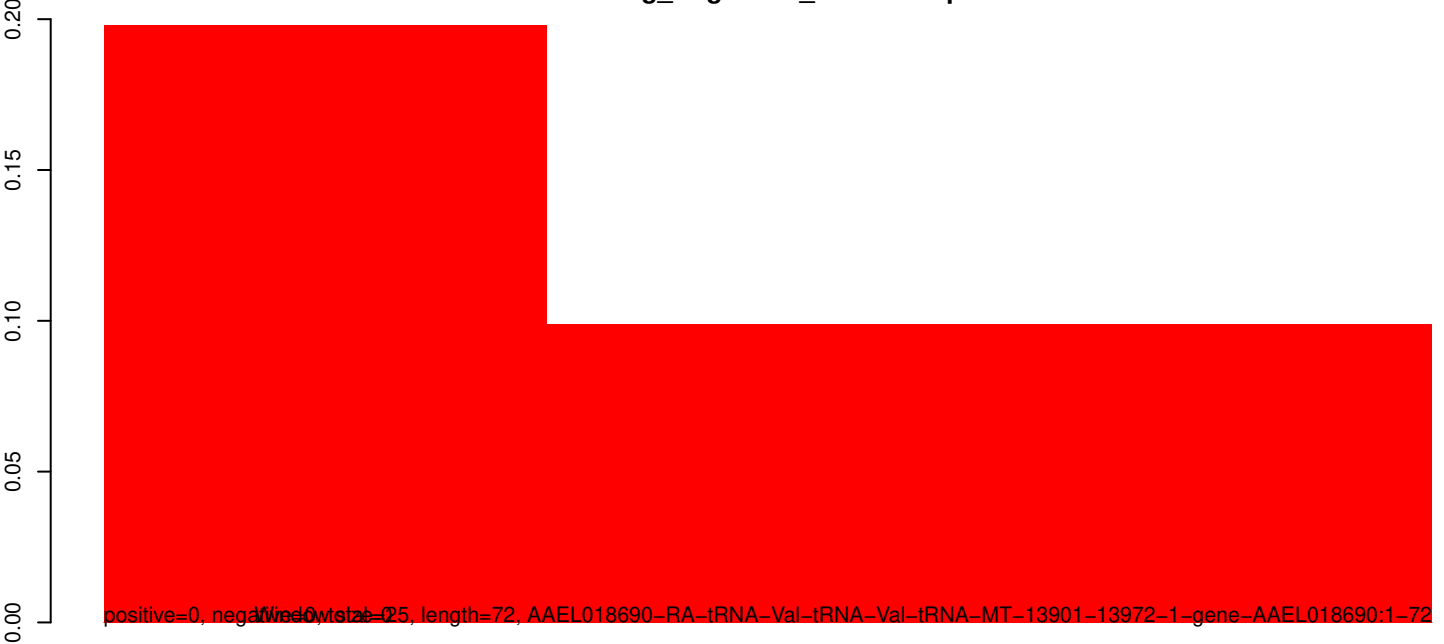
AeAeg_Aag2SINV_dsPiwi4.18_23.rep



AeAeg_Aag2SINV_dsPiwi4.24_35.rep



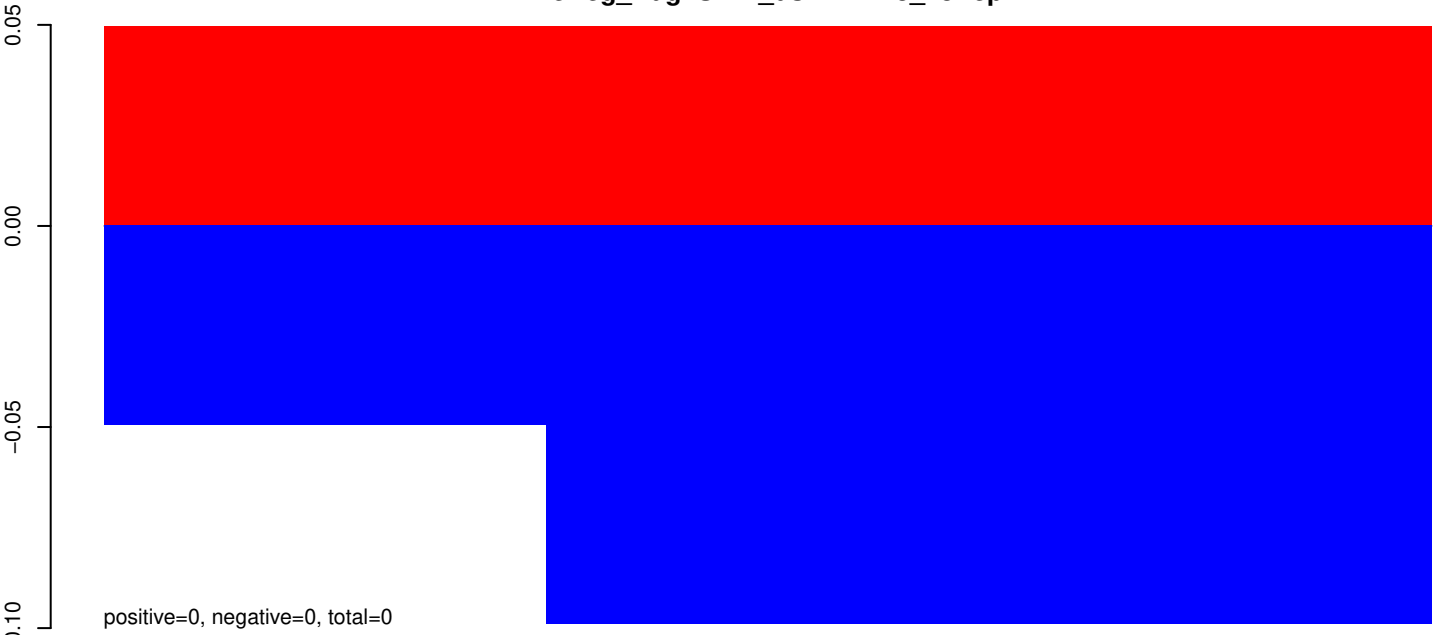
AeAeg_Aag2SINV_dsPiwi4.rep



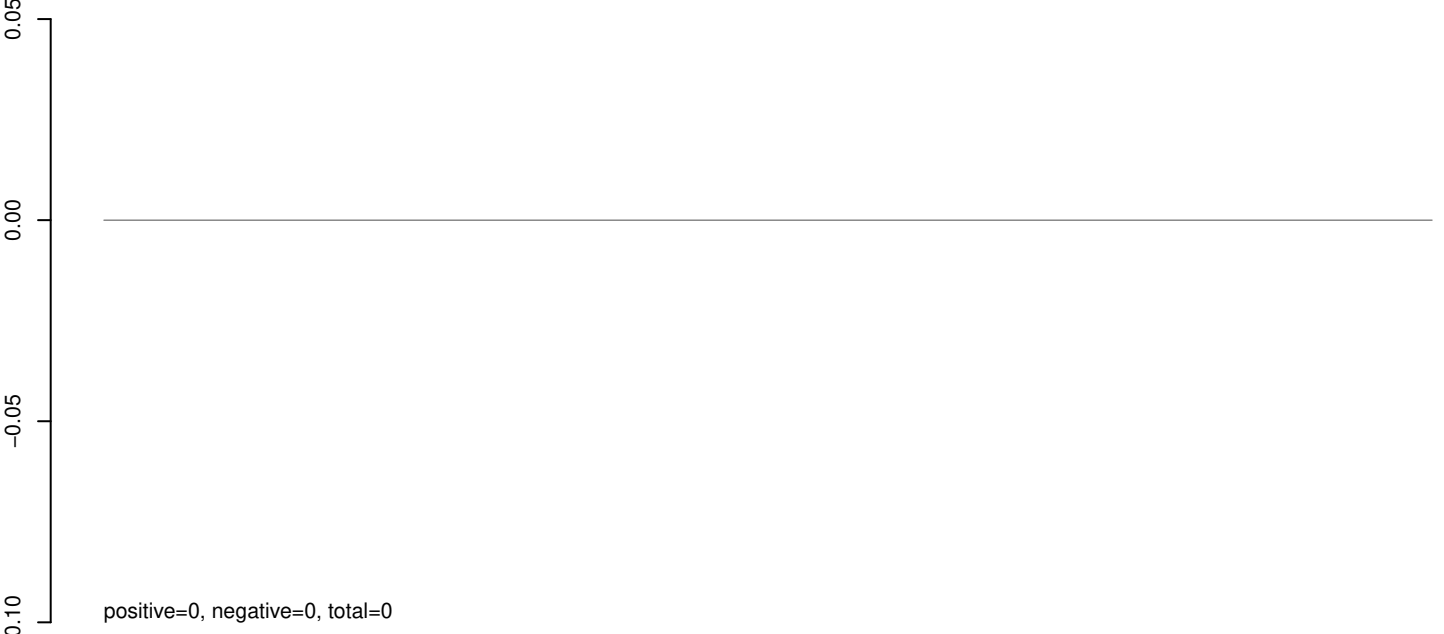
AAEL018690-RA-tRNA-Val-tRNA-Val-tRNA-MT-13901-13972-1-gene-AAEL018690:1-72

40 60 80 100

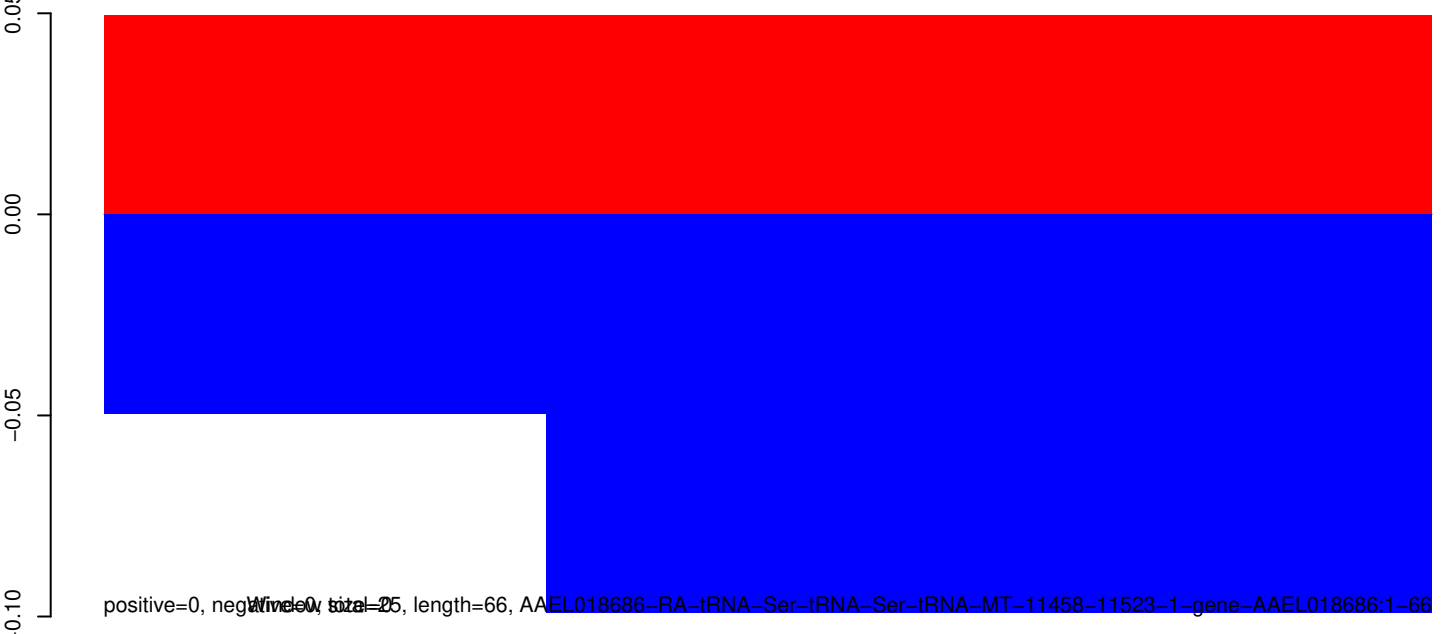
AeAeg_Aag2SINV_dsPiwi4.18_23.rep



AeAeg_Aag2SINV_dsPiwi4.24_35.rep

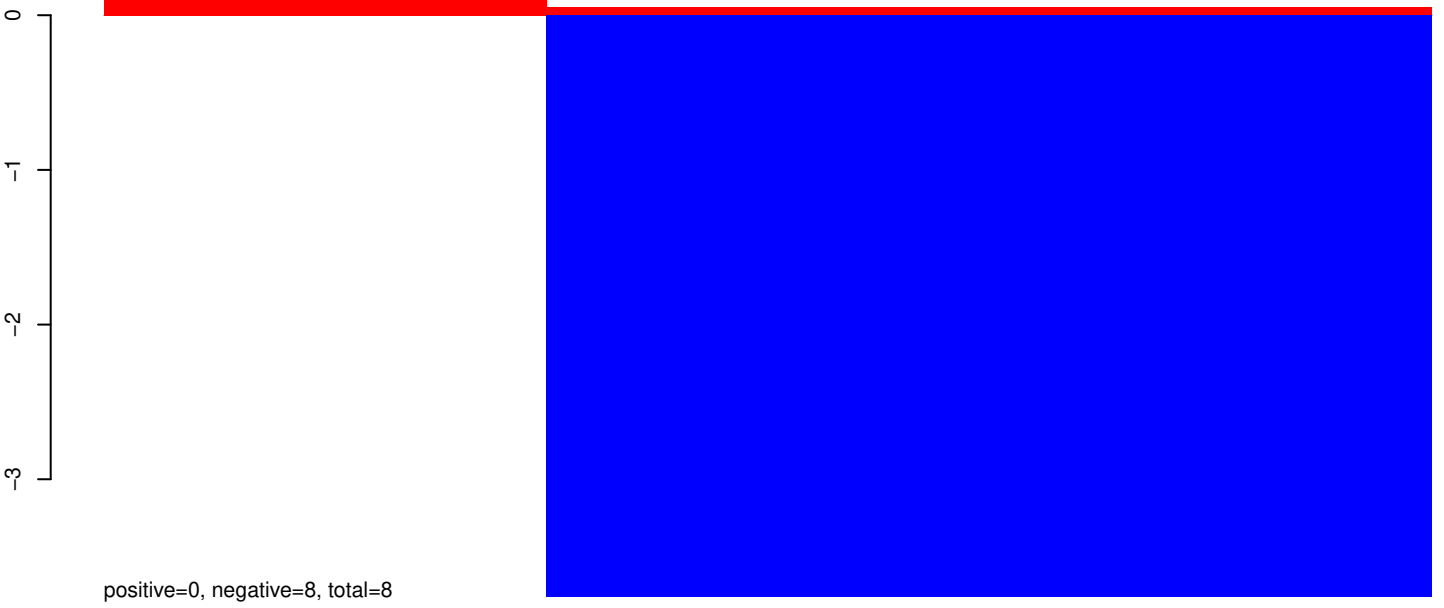


AeAeg_Aag2SINV_dsPiwi4.rep

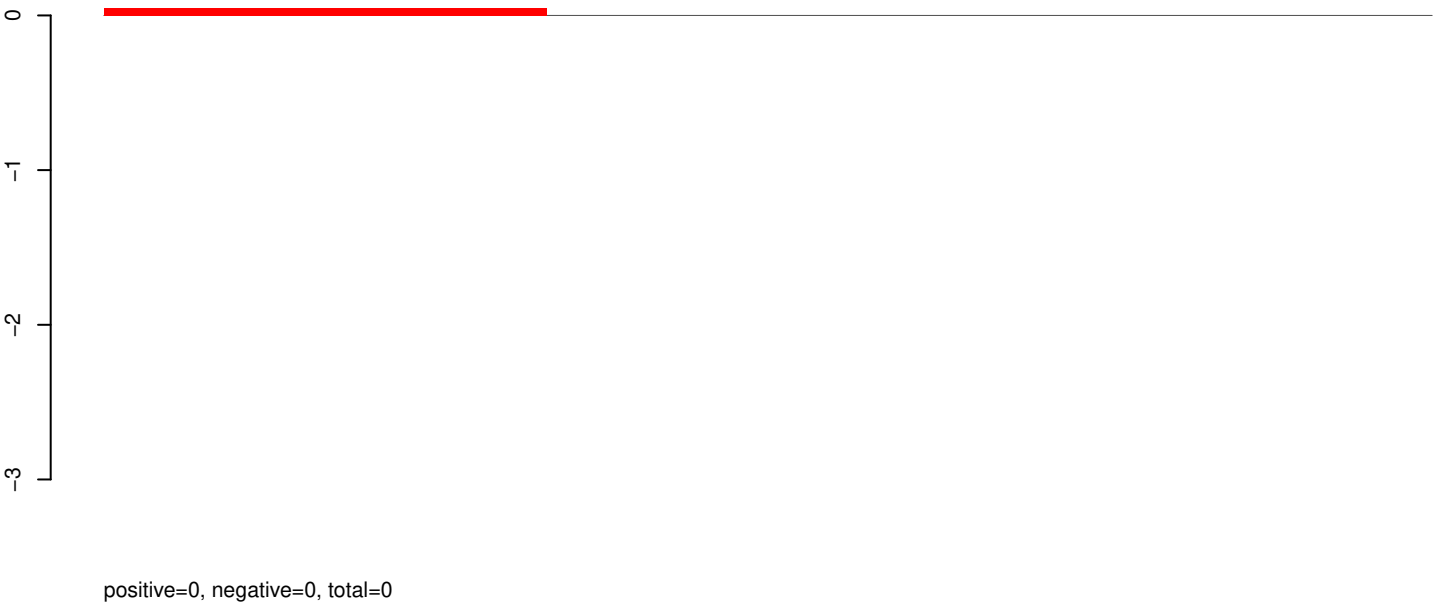


40 60 80 100

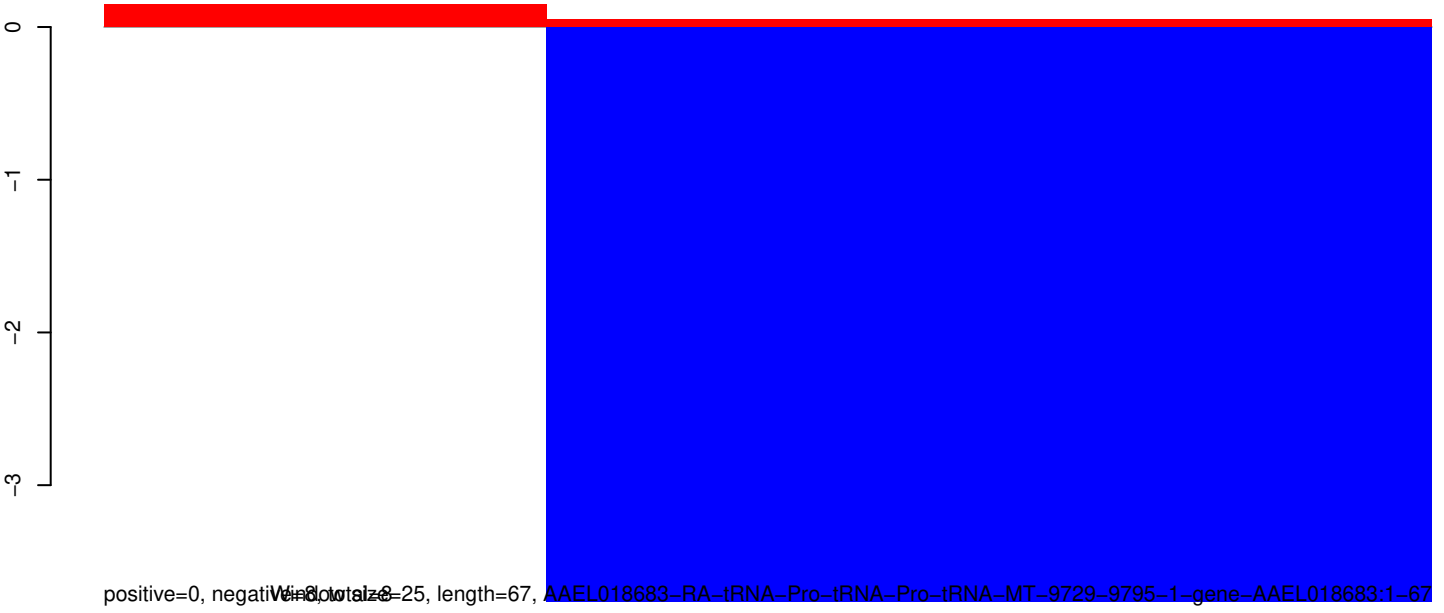
AeAeg_Aag2SINV_dsPiwi4.18_23.rep



AeAeg_Aag2SINV_dsPiwi4.24_35.rep



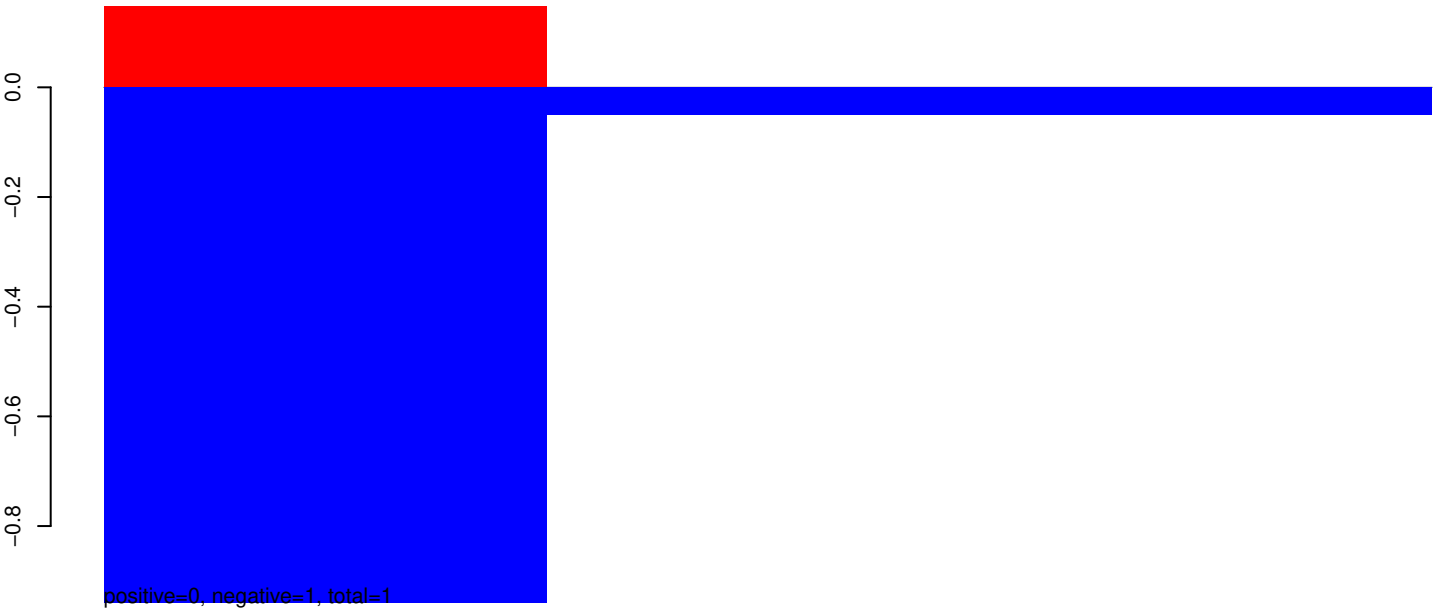
AeAeg_Aag2SINV_dsPiwi4.rep



Window size=25, length=67, AAEL018683-RA-tRNA-Pro-tRNA-Pro-tRNA-MT-9729-9795-1-gene-AAEL018683:1-67

40 60 80 100

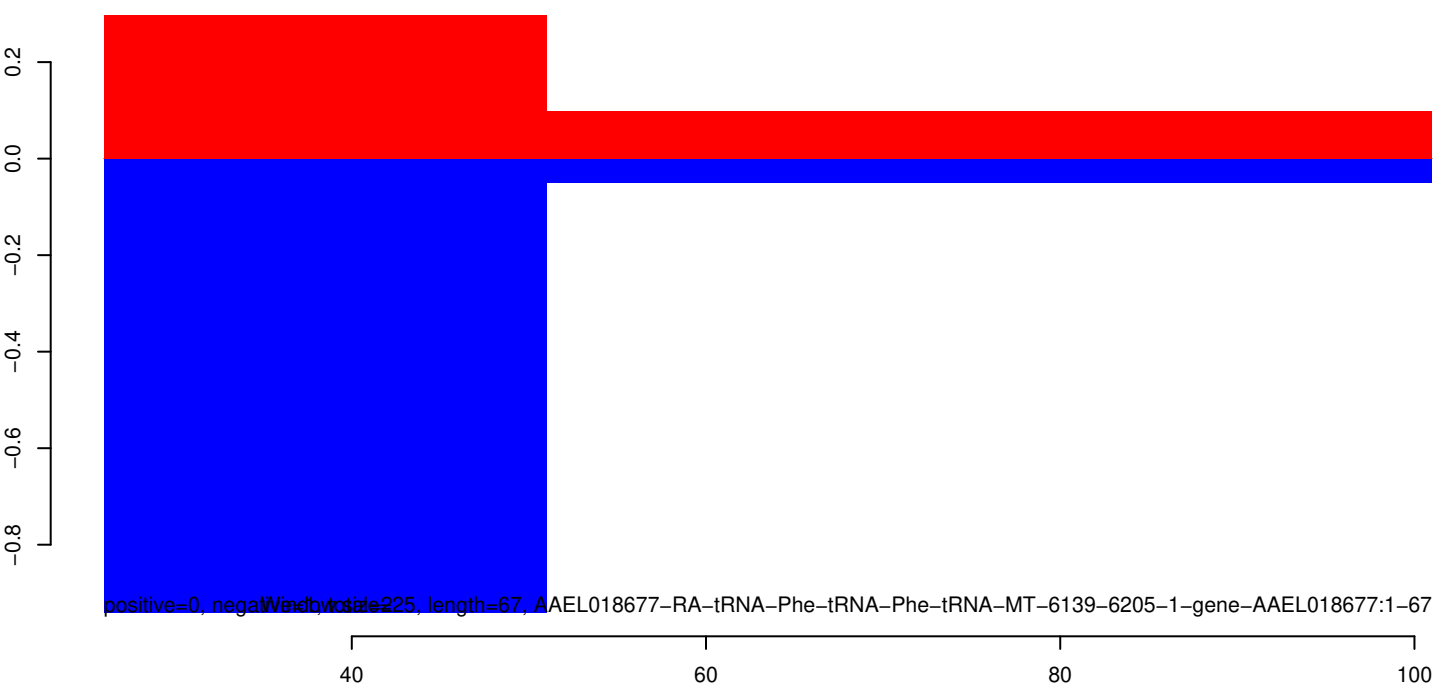
AeAeg_Aag2SINV_dsPiwi4.18_23.rep



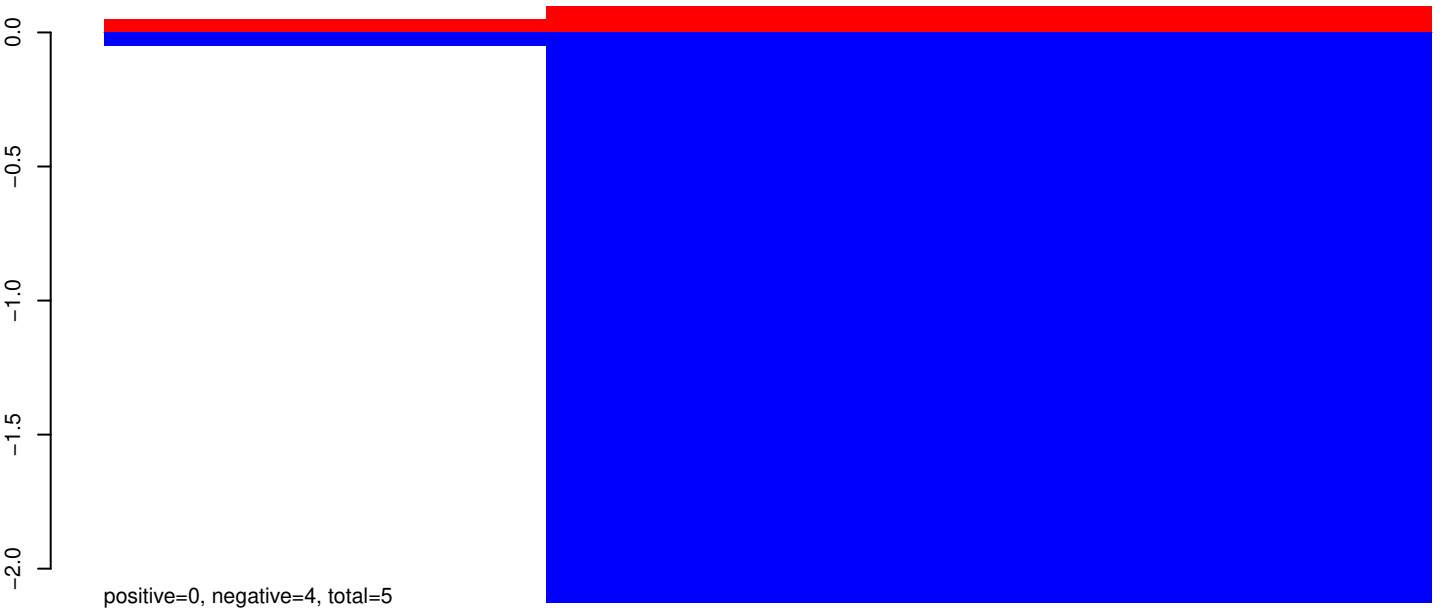
AeAeg_Aag2SINV_dsPiwi4.24_35.rep



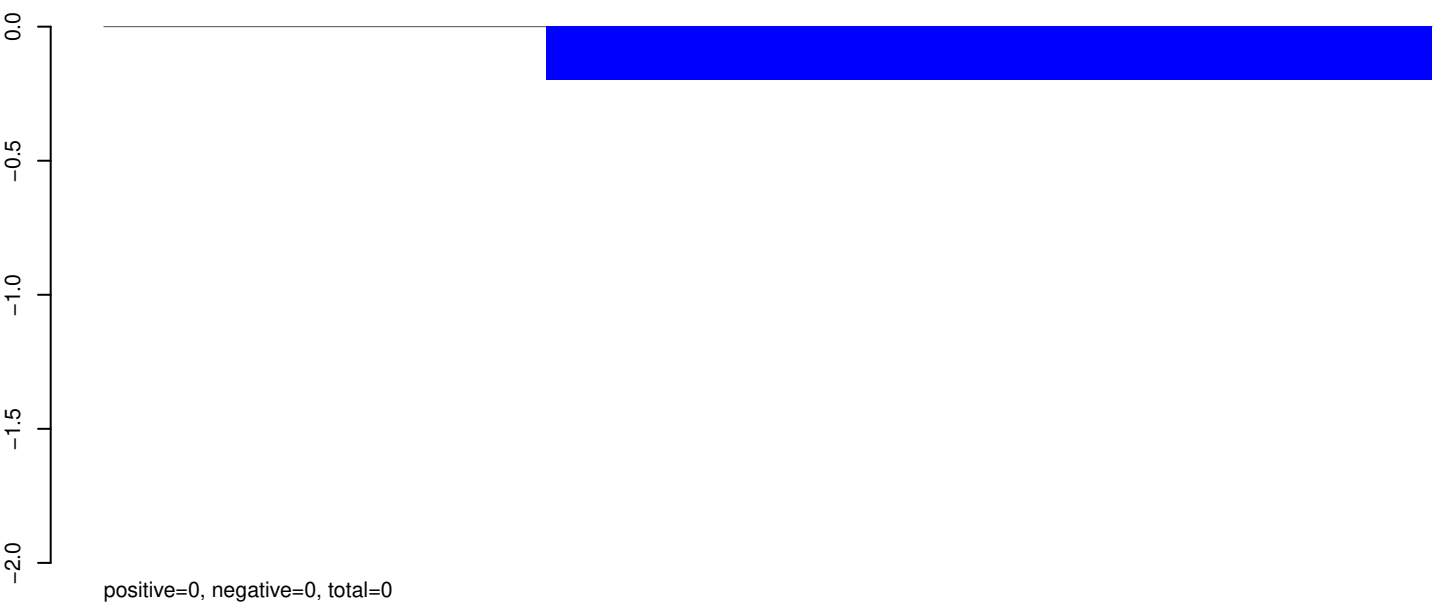
AeAeg_Aag2SINV_dsPiwi4.rep



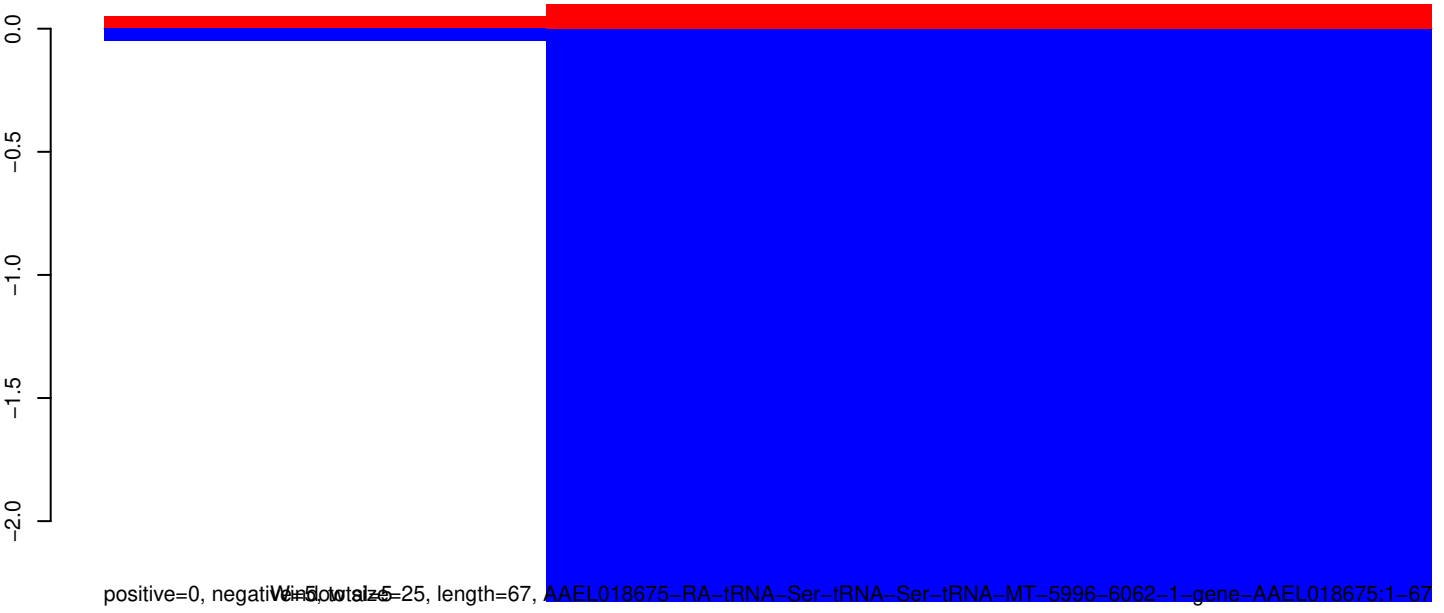
AeAeg_Aag2SINV_dsPiwi4.18_23.rep



AeAeg_Aag2SINV_dsPiwi4.24_35.rep

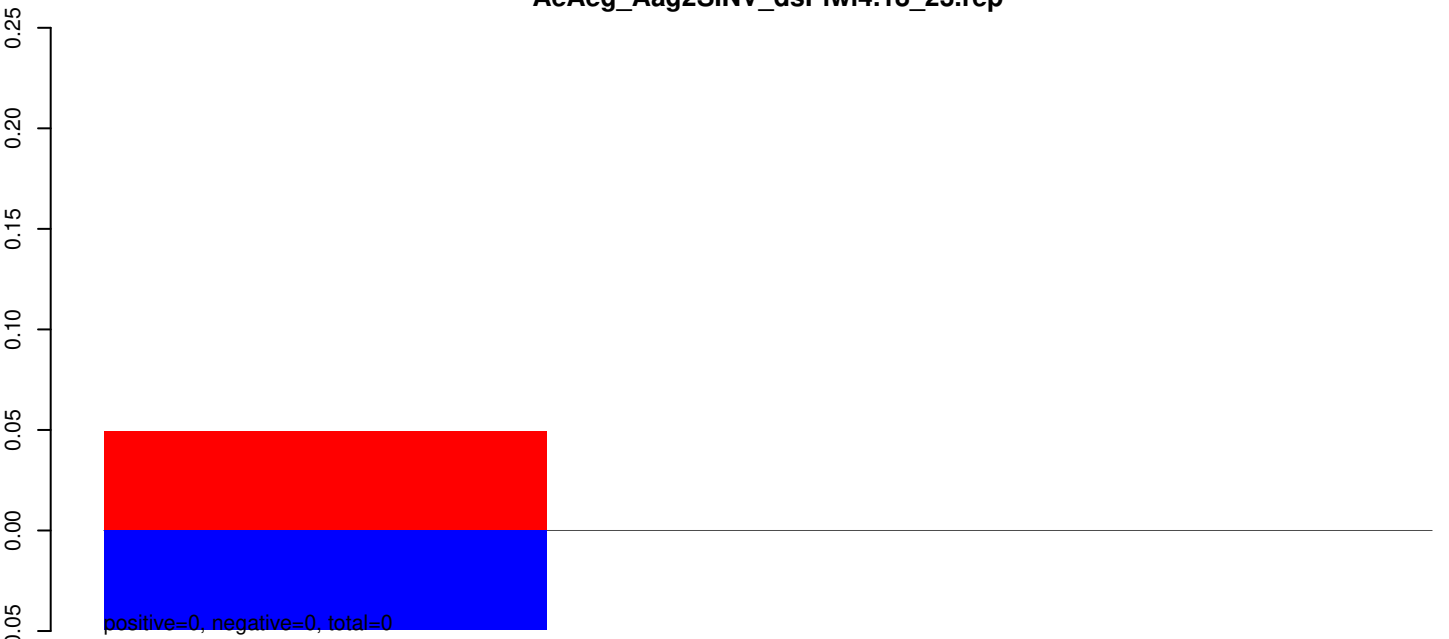


AeAeg_Aag2SINV_dsPiwi4.rep

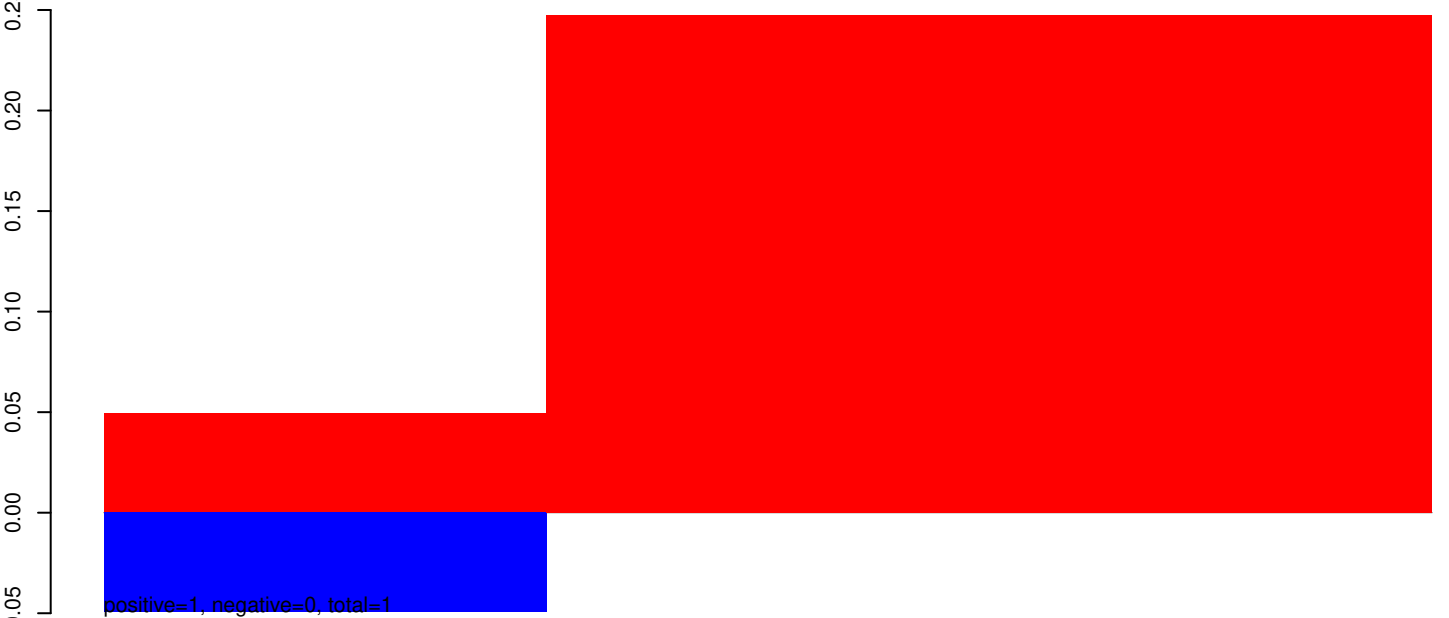


40 60 80 100

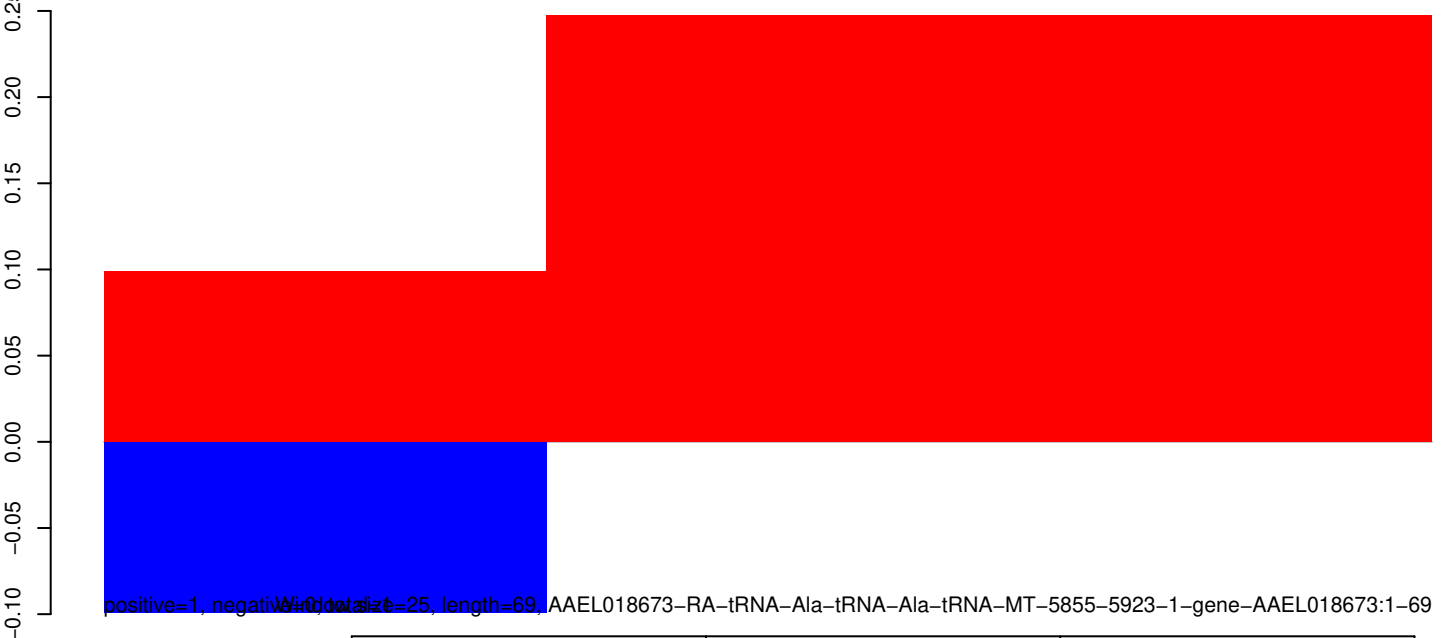
AeAeg_Aag2SINV_dsPiwi4.18_23.rep



AeAeg_Aag2SINV_dsPiwi4.24_35.rep



AeAeg_Aag2SINV_dsPiwi4.rep



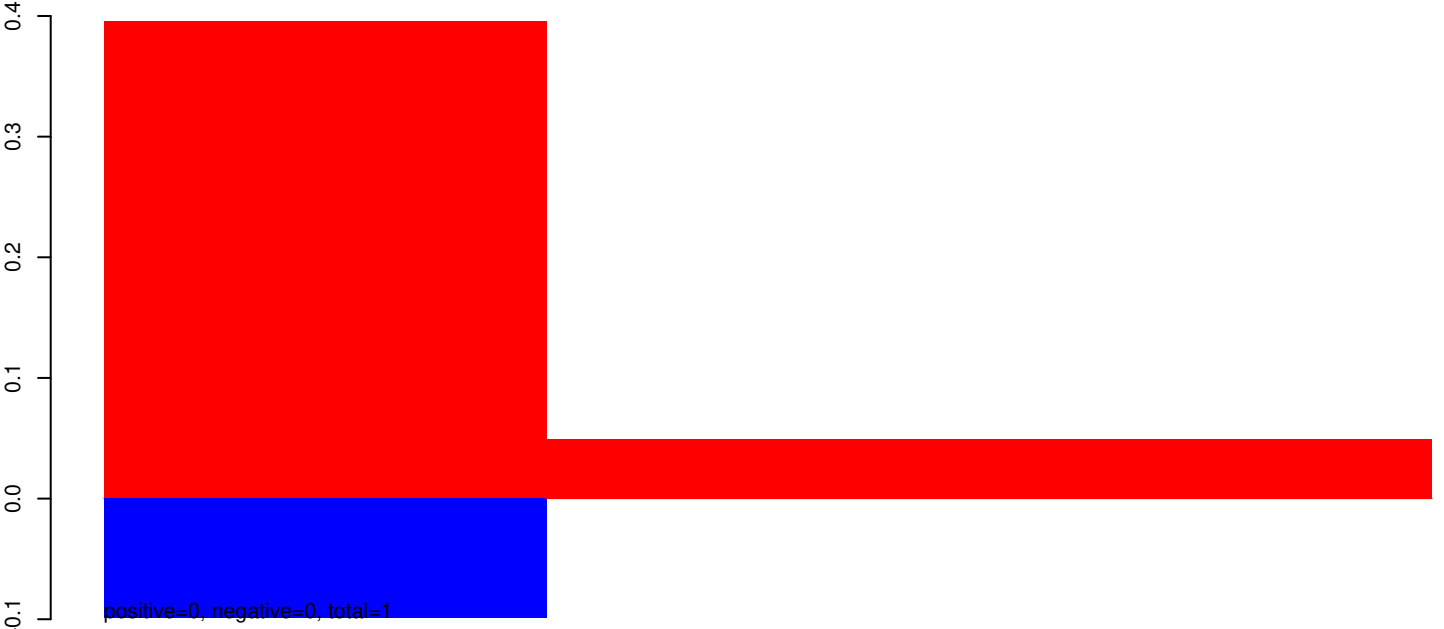
40

60

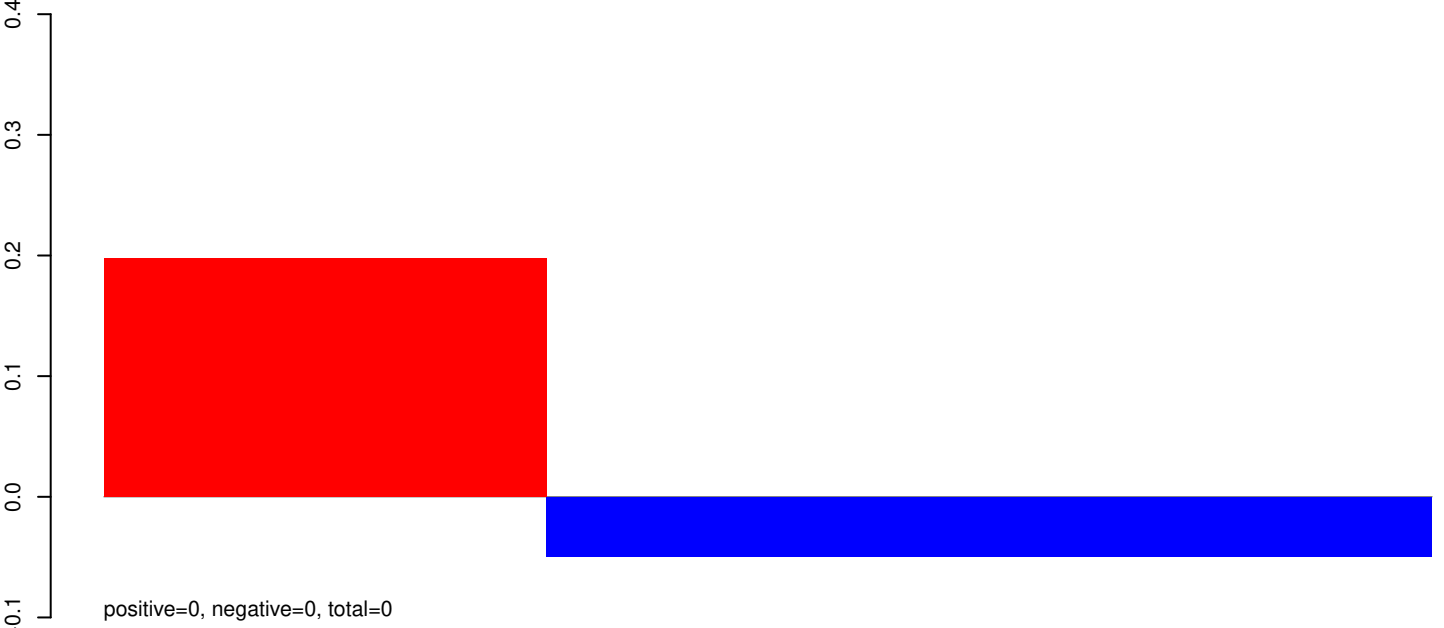
80

100

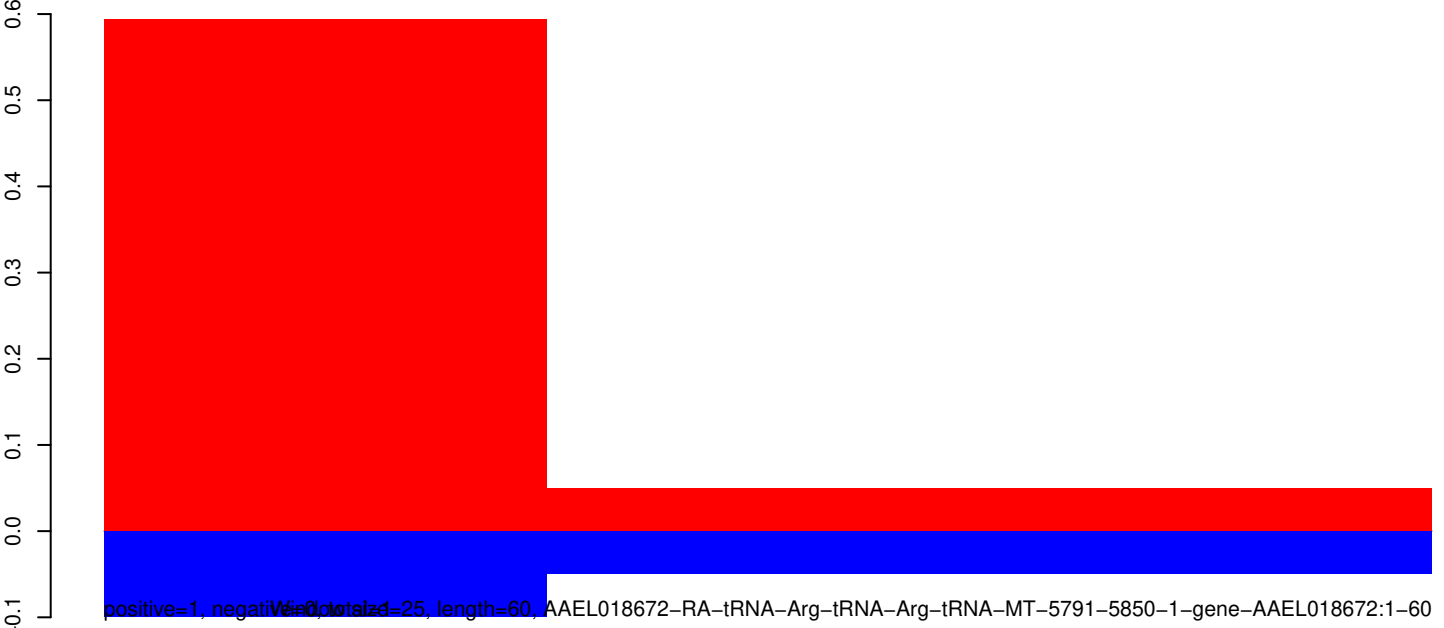
AeAeg_Aag2SINV_dsPiwi4.18_23.rep



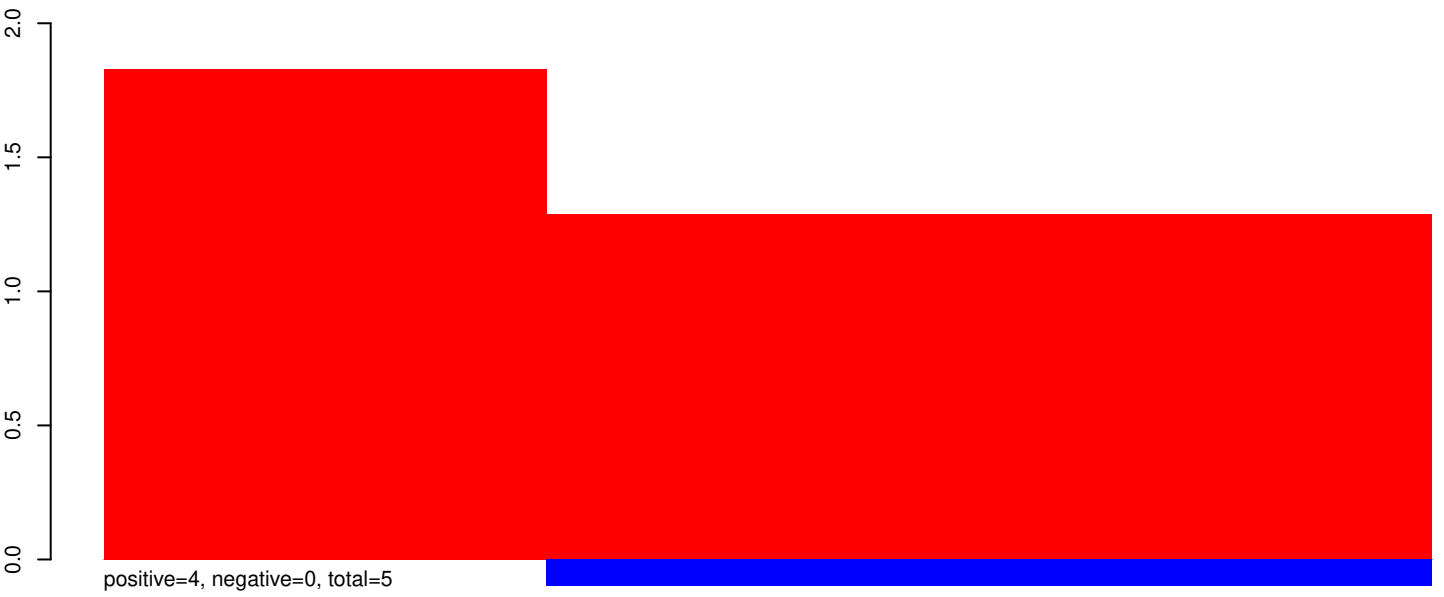
AeAeg_Aag2SINV_dsPiwi4.24_35.rep



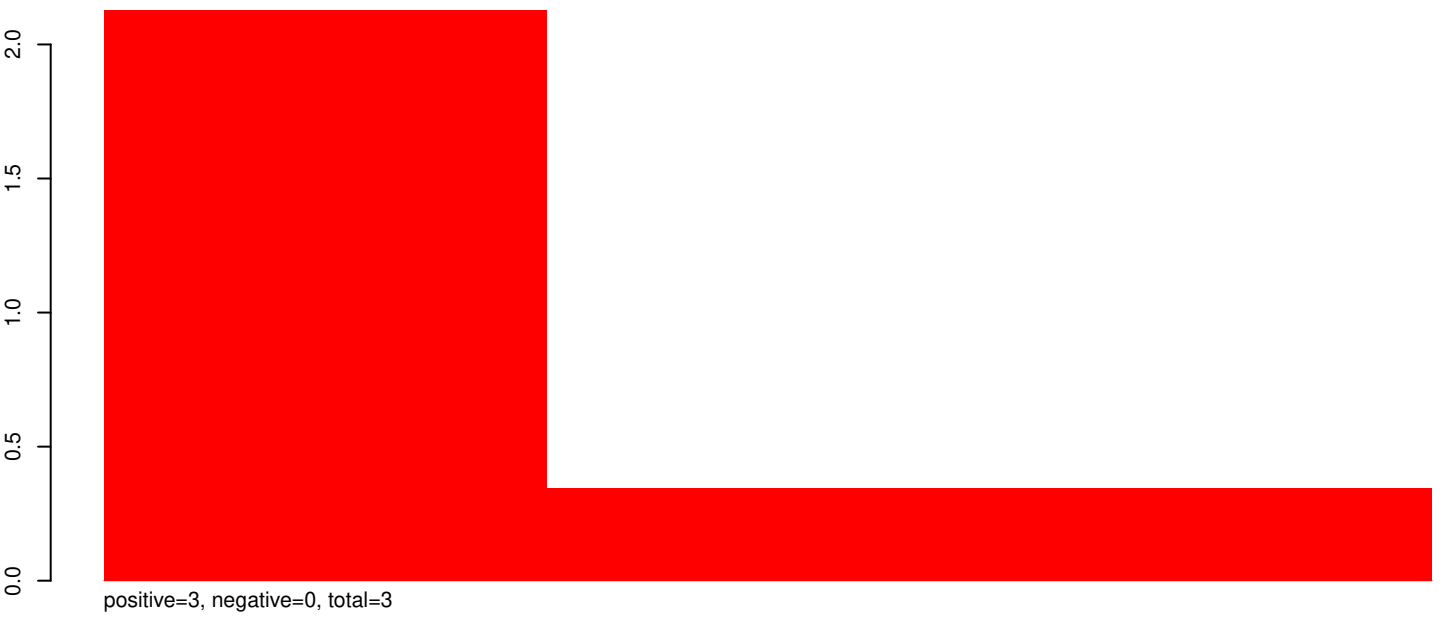
AeAeg_Aag2SINV_dsPiwi4.rep



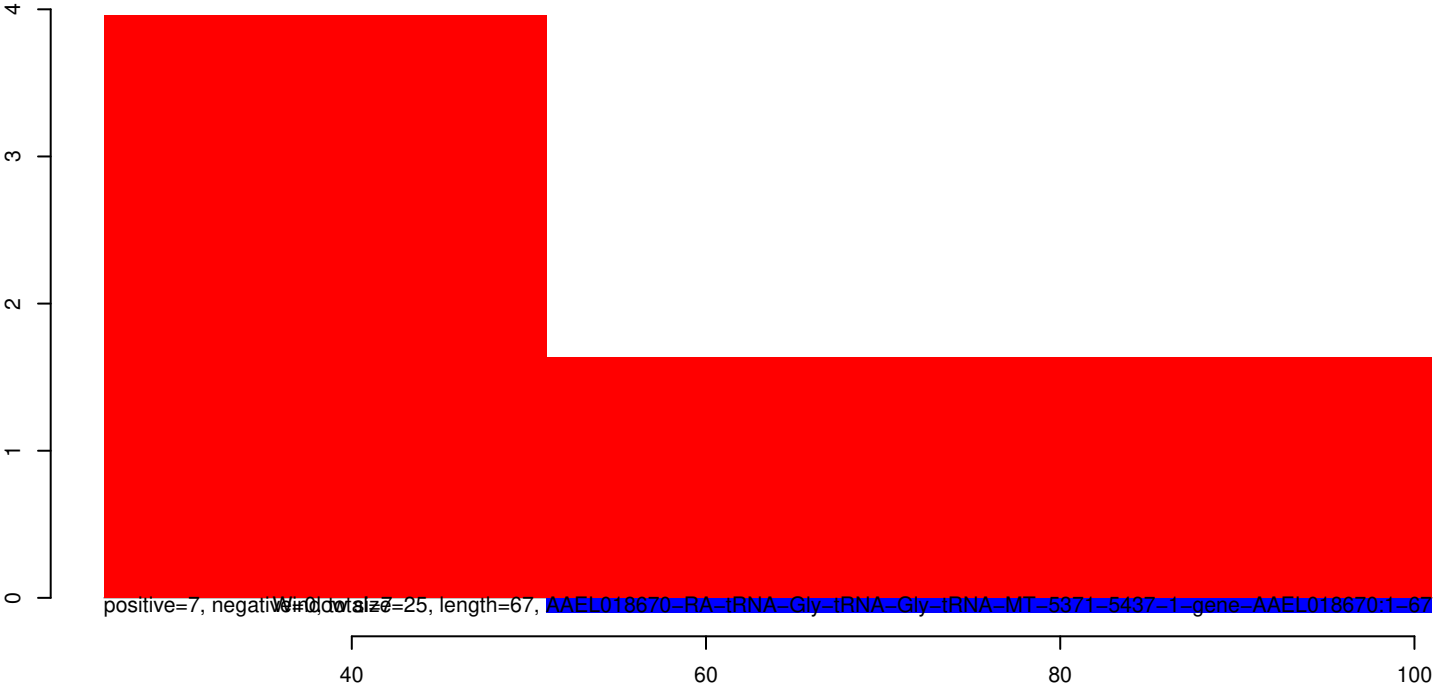
AeAeg_Aag2SINV_dsPiwi4.18_23.rep



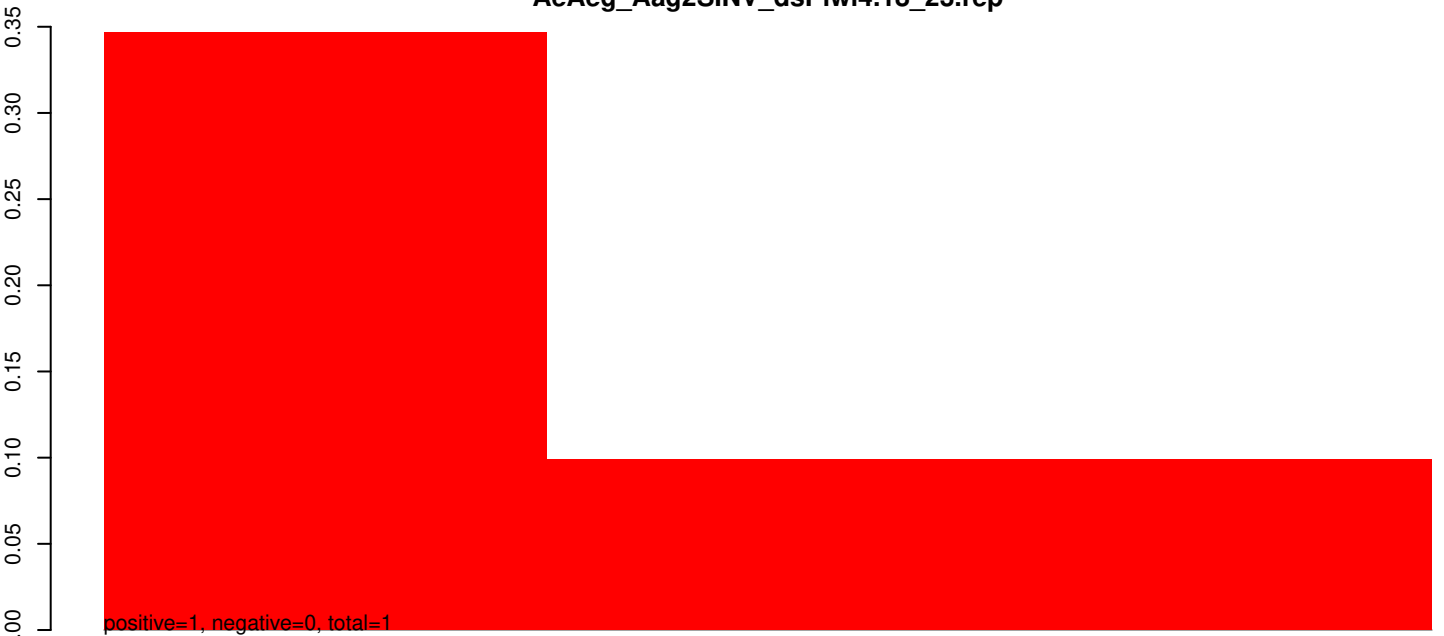
AeAeg_Aag2SINV_dsPiwi4.24_35.rep



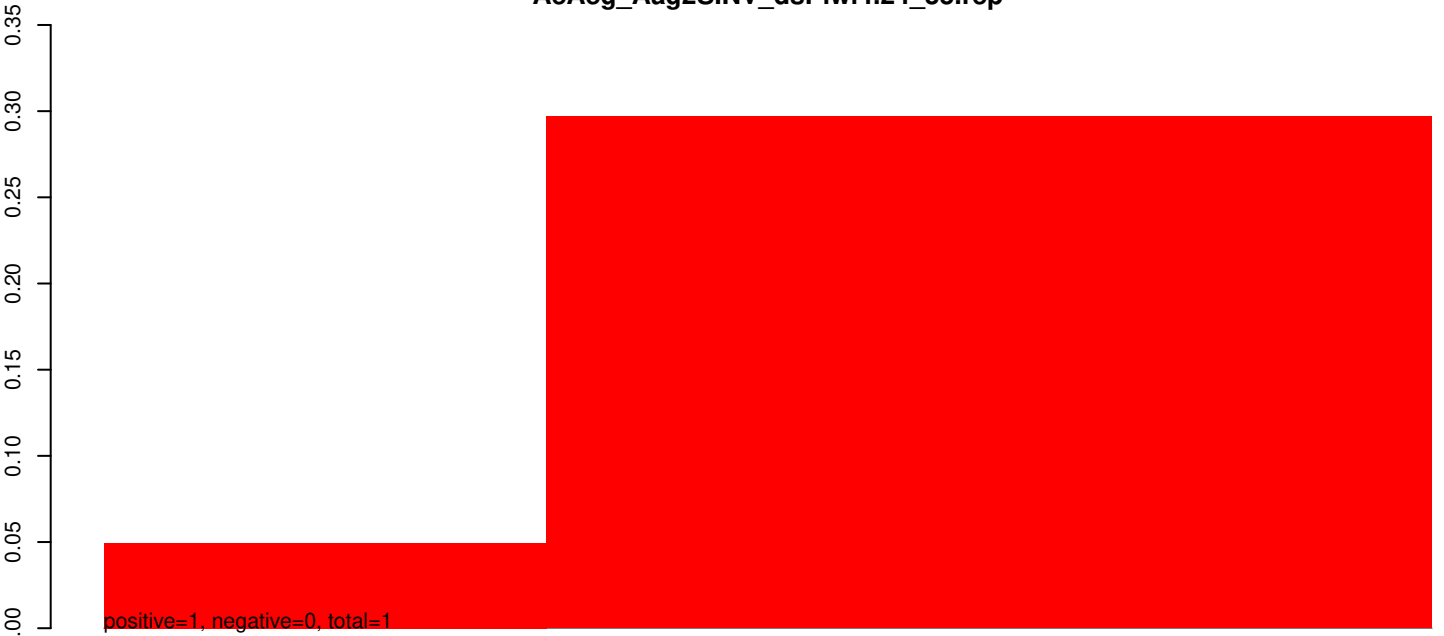
AeAeg_Aag2SINV_dsPiwi4.rep



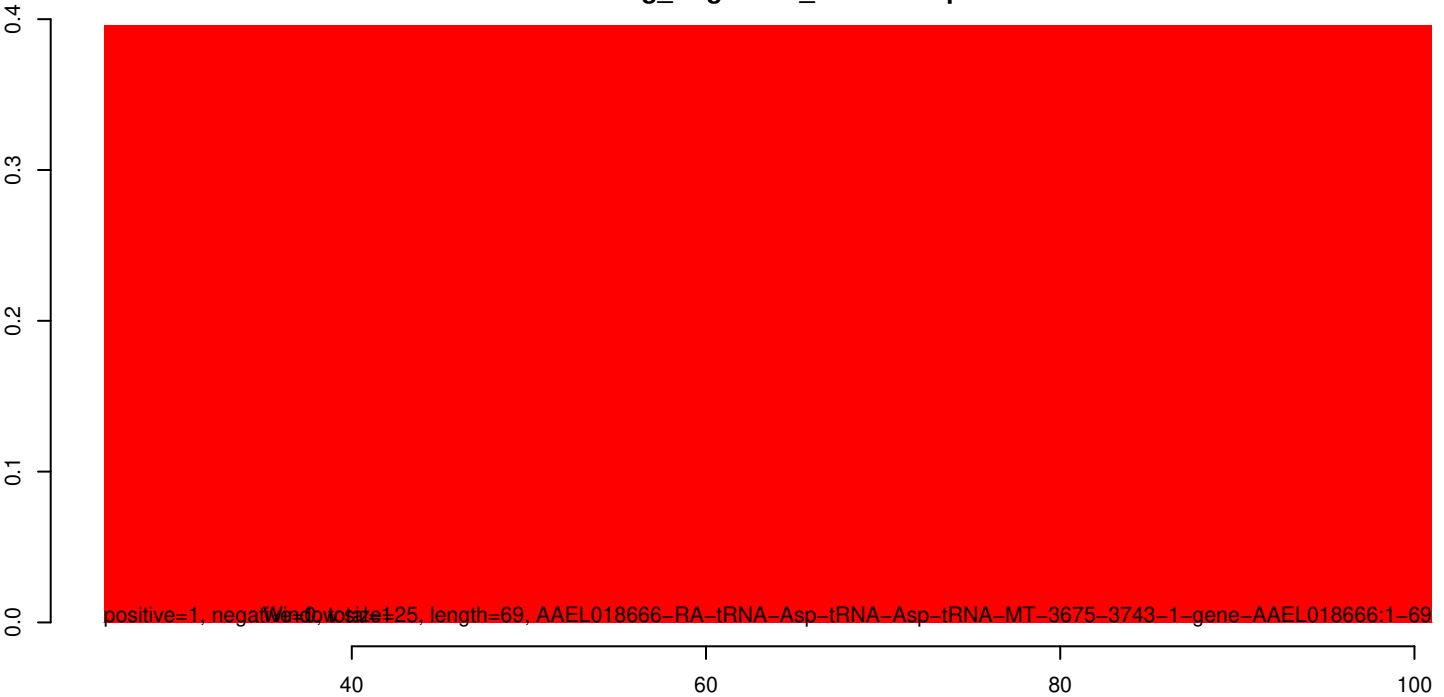
AeAeg_Aag2SINV_dsPiwi4.18_23.rep

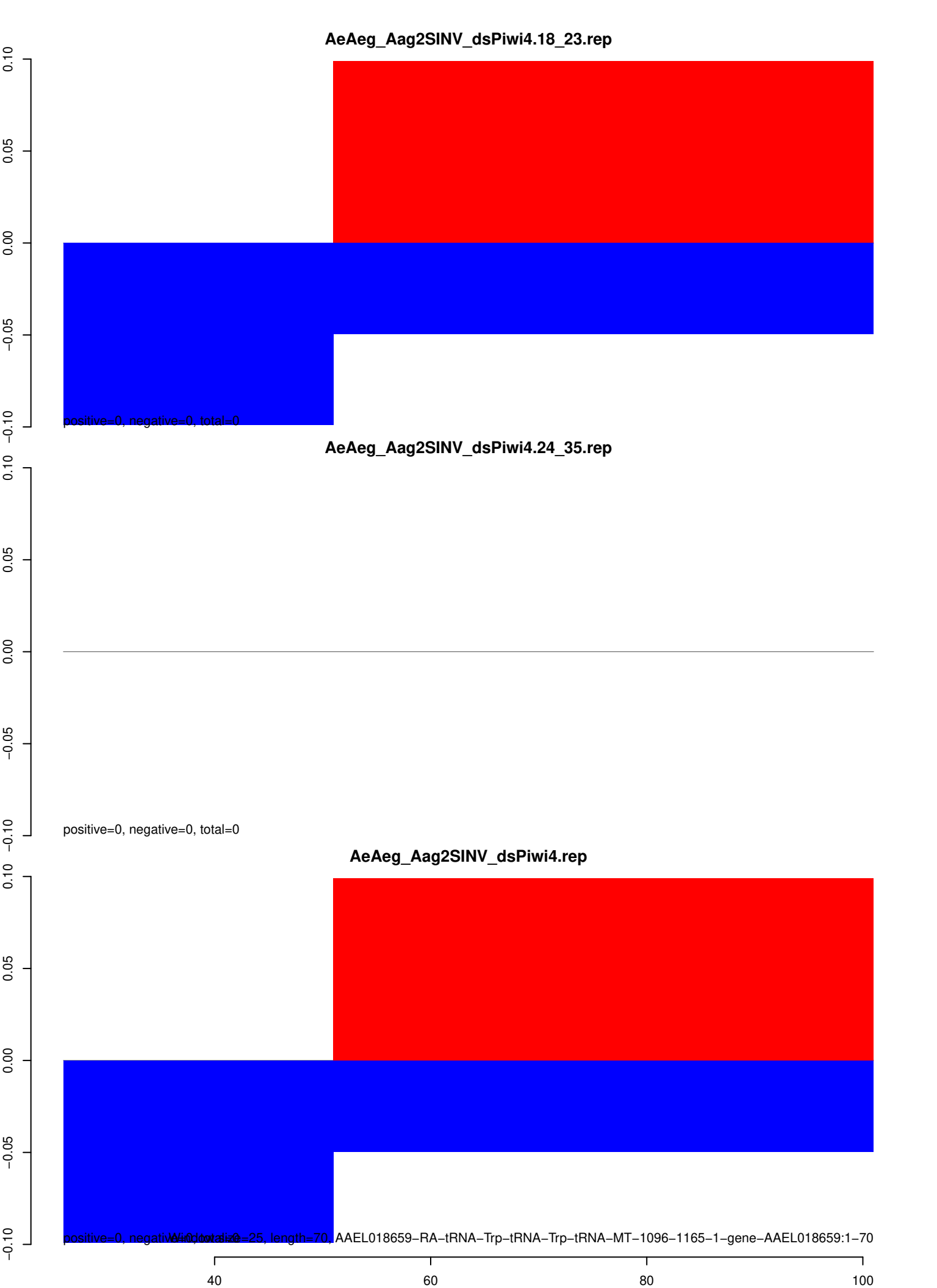


AeAeg_Aag2SINV_dsPiwi4.24_35.rep

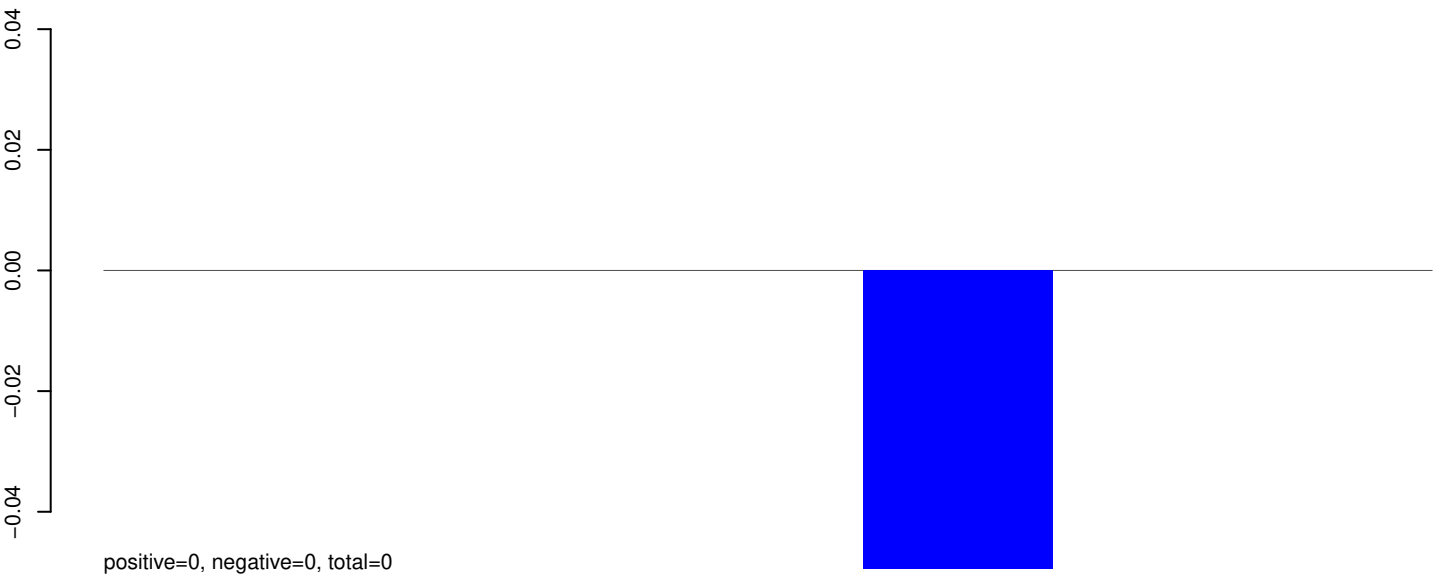


AeAeg_Aag2SINV_dsPiwi4.rep

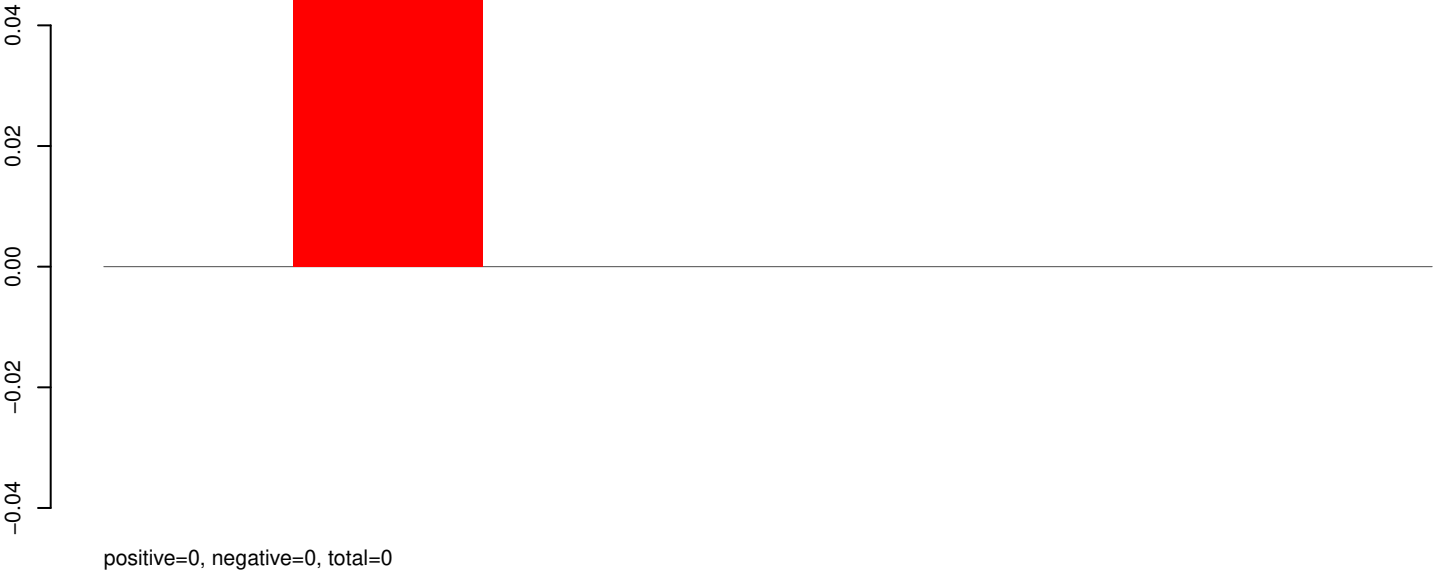




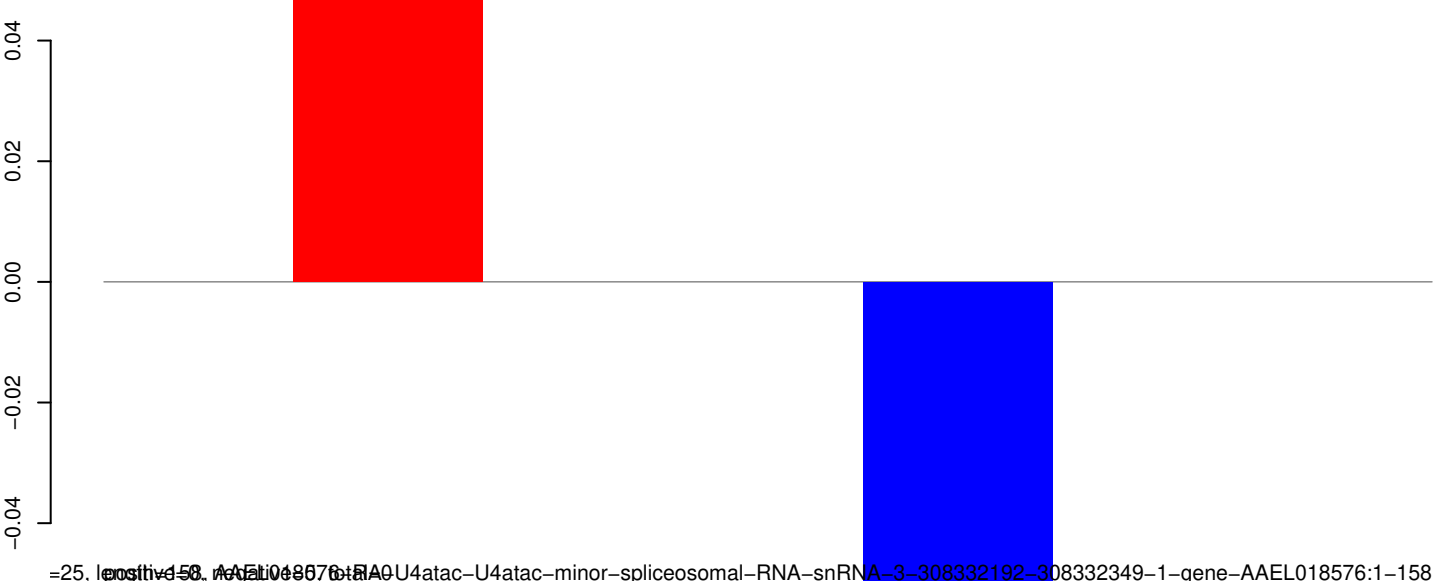
AeAeg_Aag2SINV_dsPiwi4.18_23.rep



AeAeg_Aag2SINV_dsPiwi4.24_35.rep

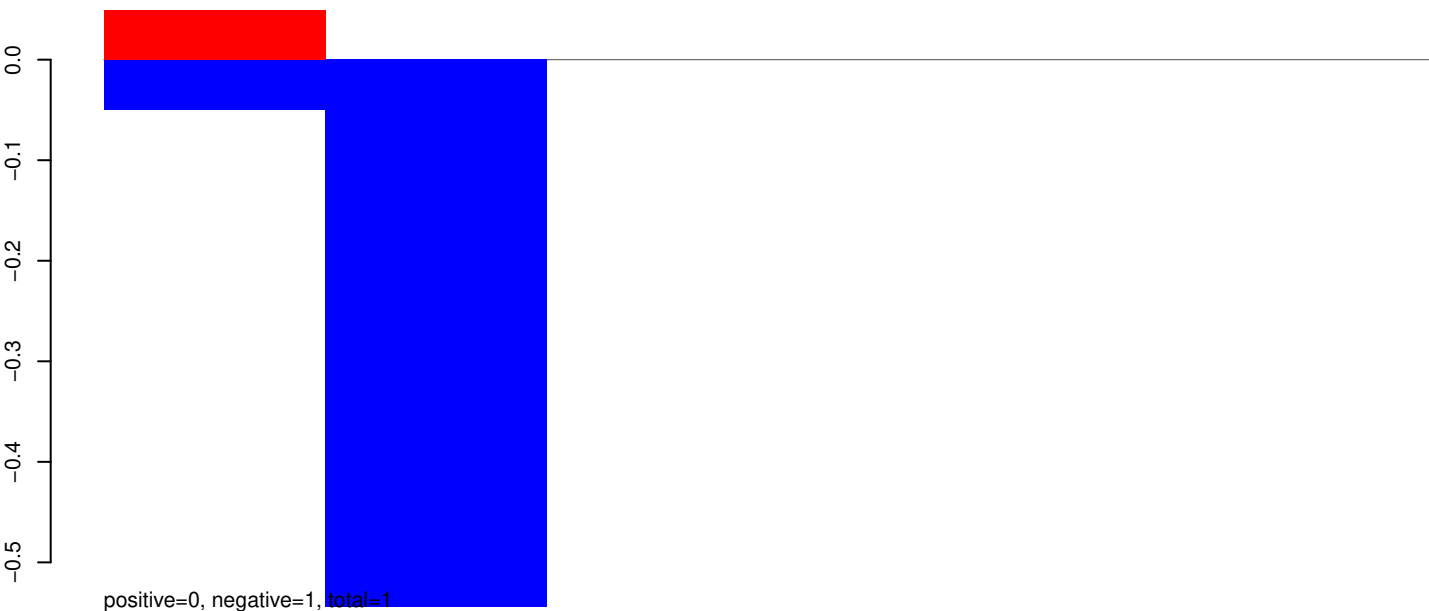


AeAeg_Aag2SINV_dsPiwi4.rep

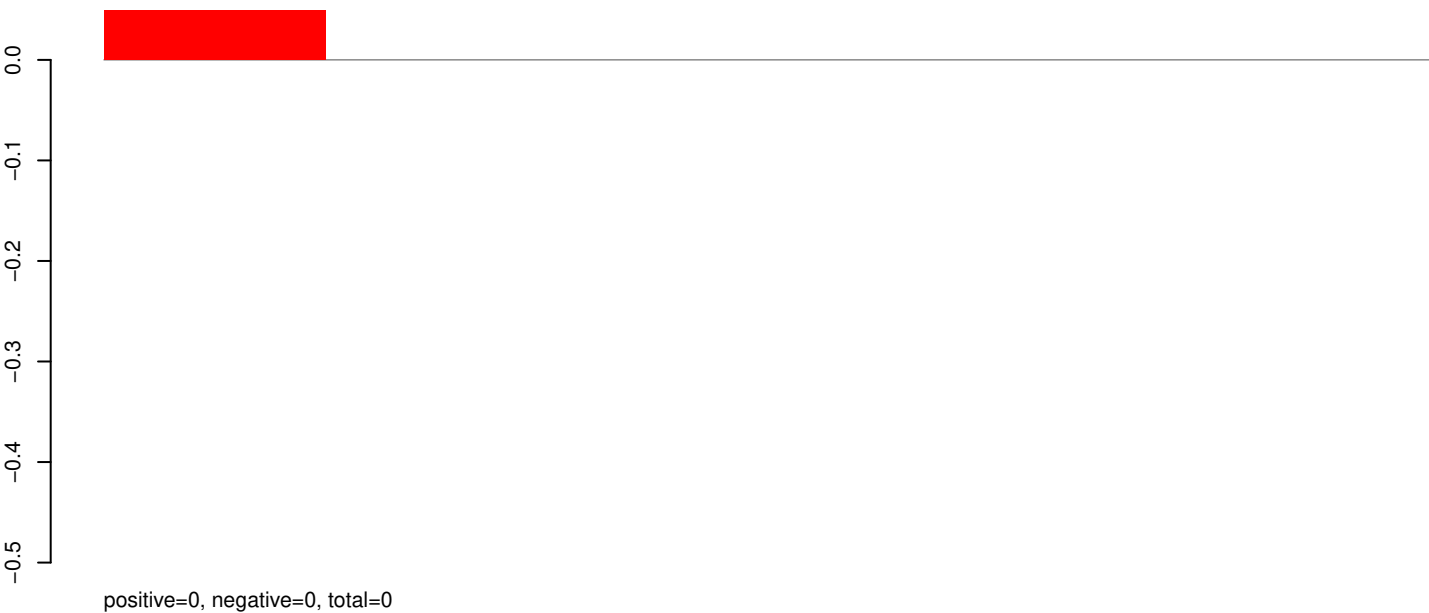


=25, length=58, type=U4atac-U4atac-minor-spliceosomal-RNA-snrRNA-3-308332192-308332349-1-gene-AAEL018576:1-158

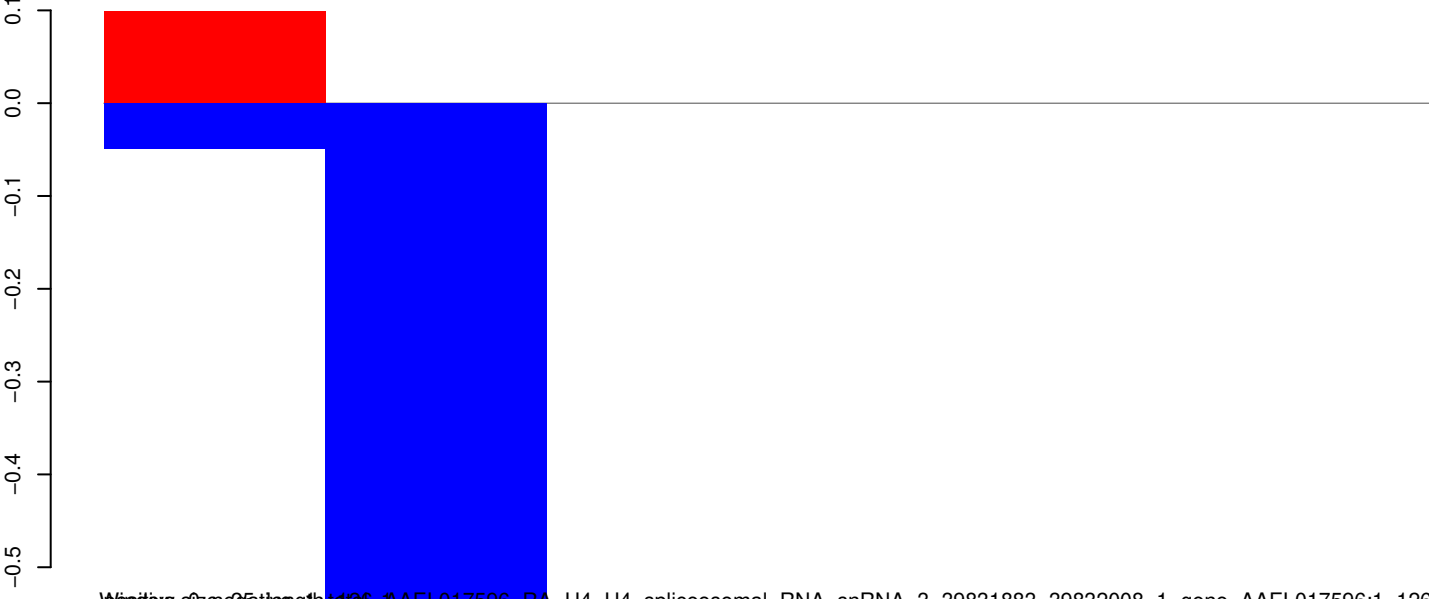
AeAeg_Aag2SINV_dsPiwi4.18_23.rep



AeAeg_Aag2SINV_dsPiwi4.24_35.rep



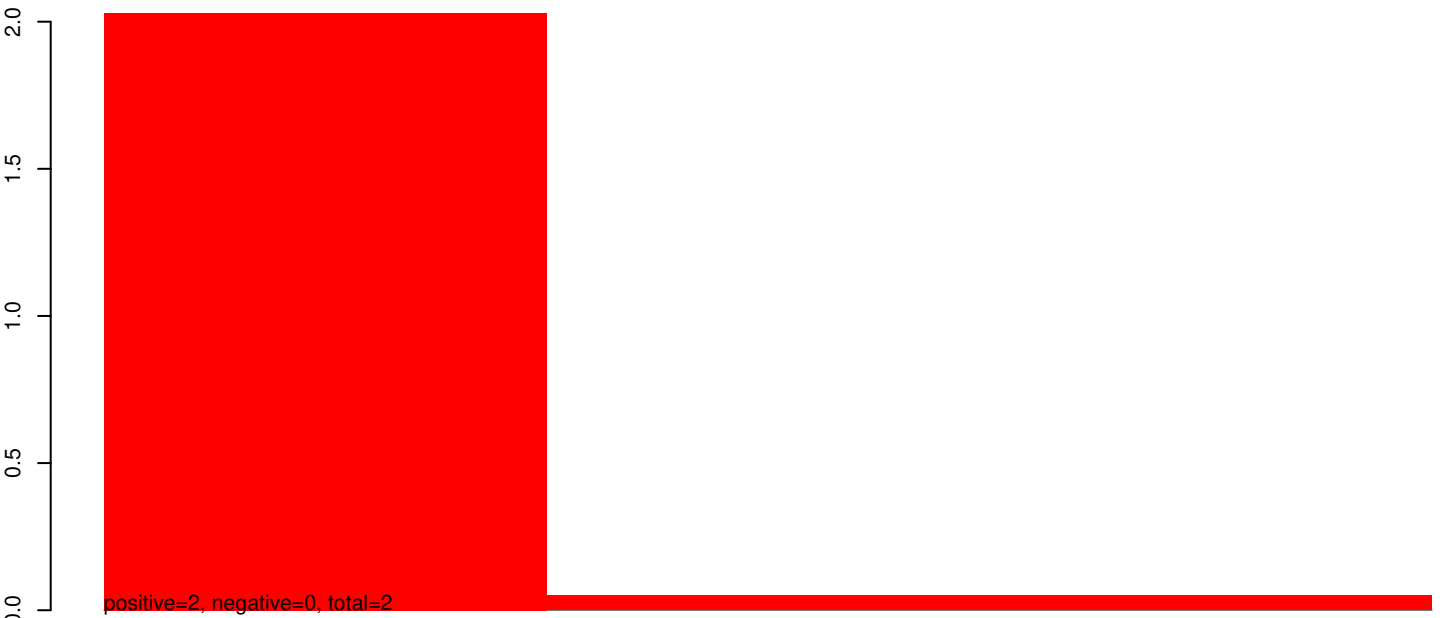
AeAeg_Aag2SINV_dsPiwi4.rep



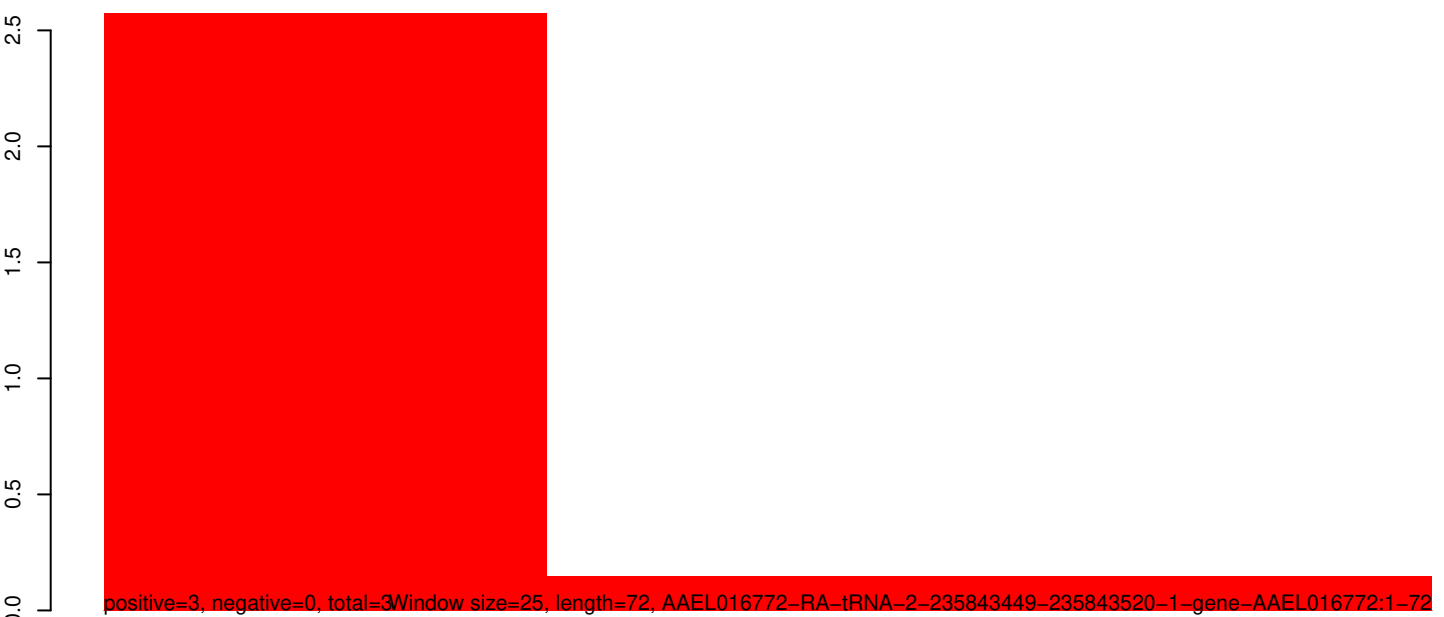
AeAeg_Aag2SINV_dsPiwi4.18_23.rep



AeAeg_Aag2SINV_dsPiwi4.24_35.rep



AeAeg_Aag2SINV_dsPiwi4.rep

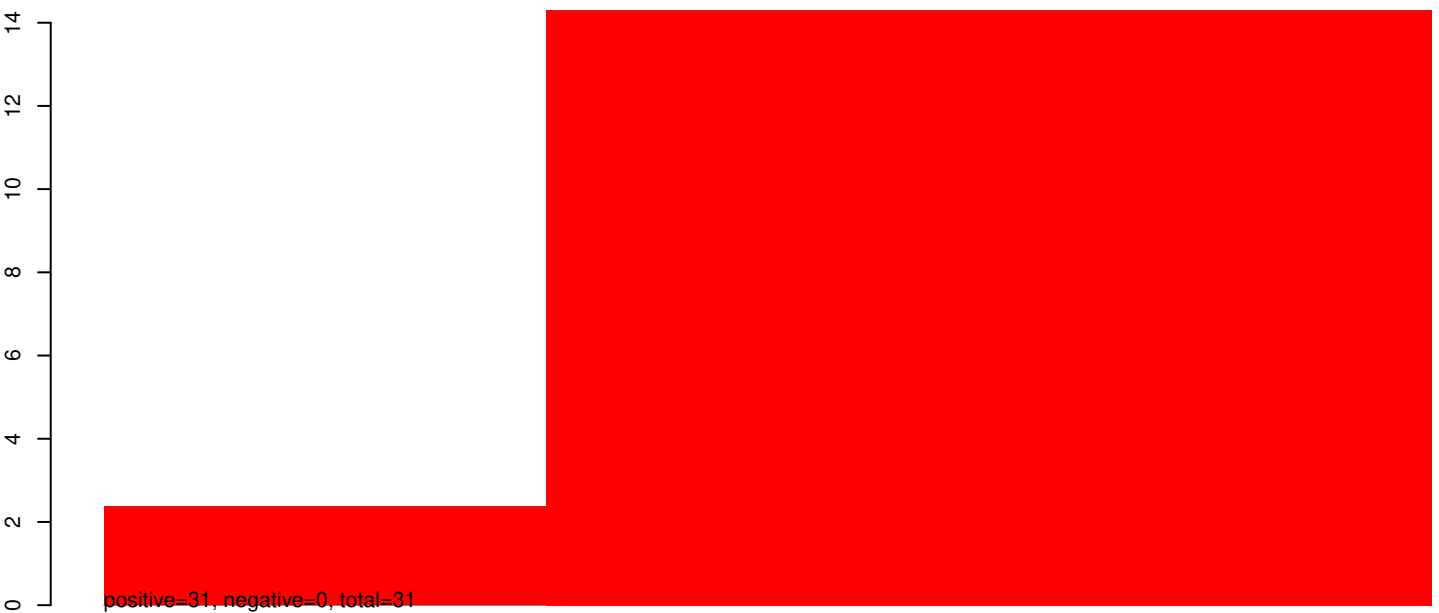


40 60 80 100

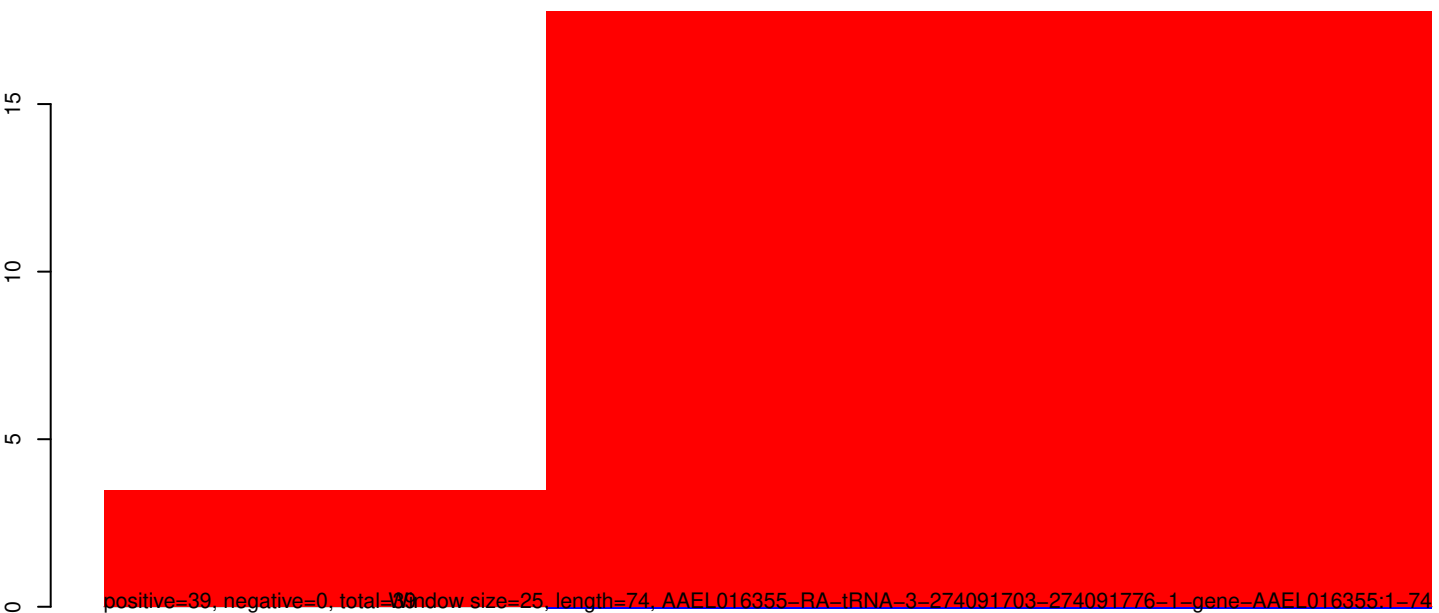
AeAeg_Aag2SINV_dsPiwi4.18_23.rep



AeAeg_Aag2SINV_dsPiwi4.24_35.rep

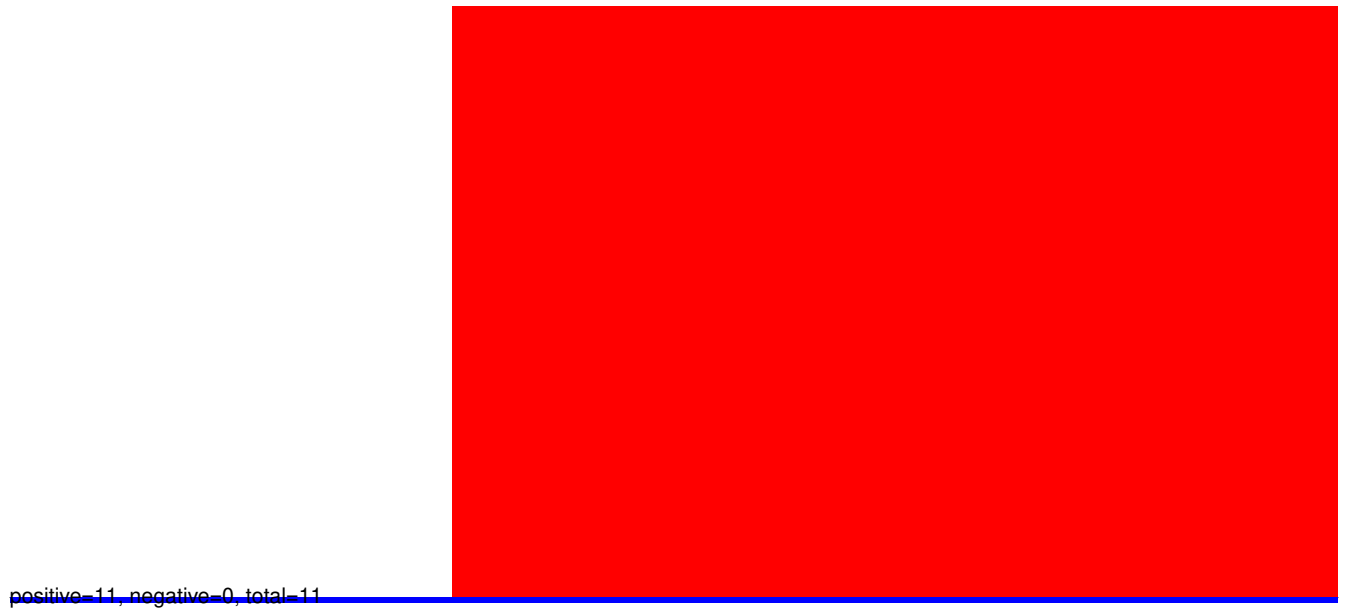


AeAeg_Aag2SINV_dsPiwi4.rep



40 60 80 100

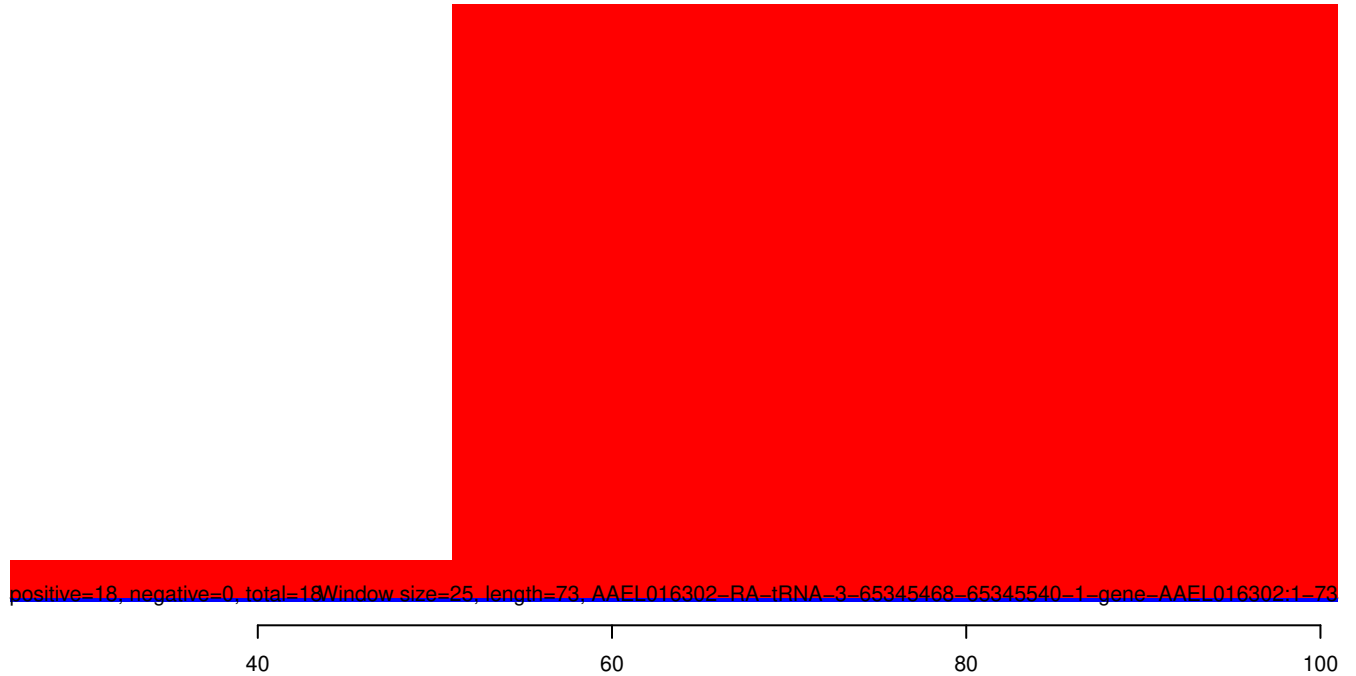
AeAeg_Aag2SINV_dsPiwi4.18_23.rep



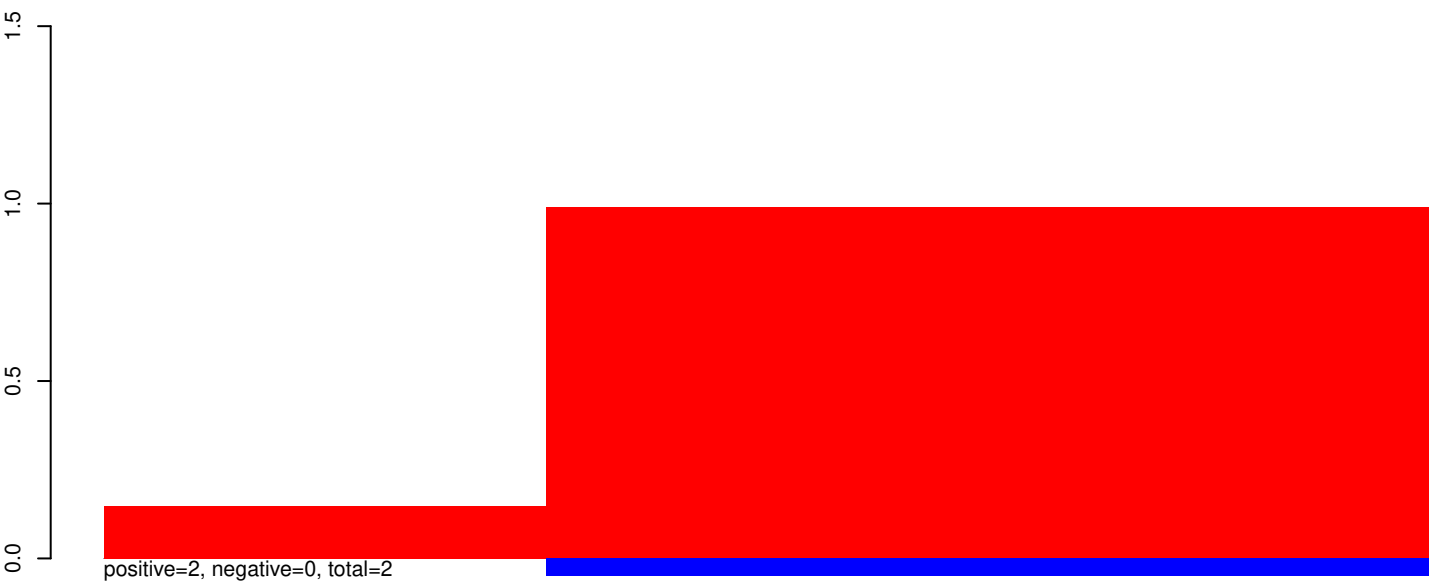
AeAeg_Aag2SINV_dsPiwi4.24_35.rep



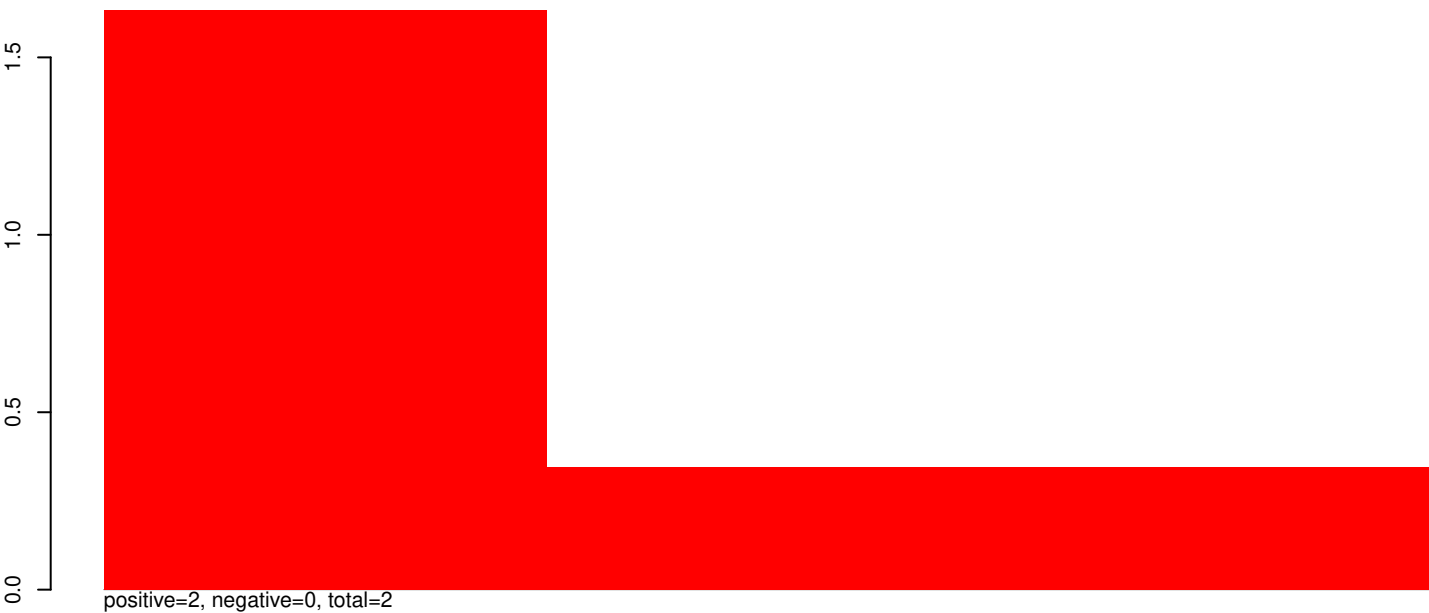
AeAeg_Aag2SINV_dsPiwi4.rep



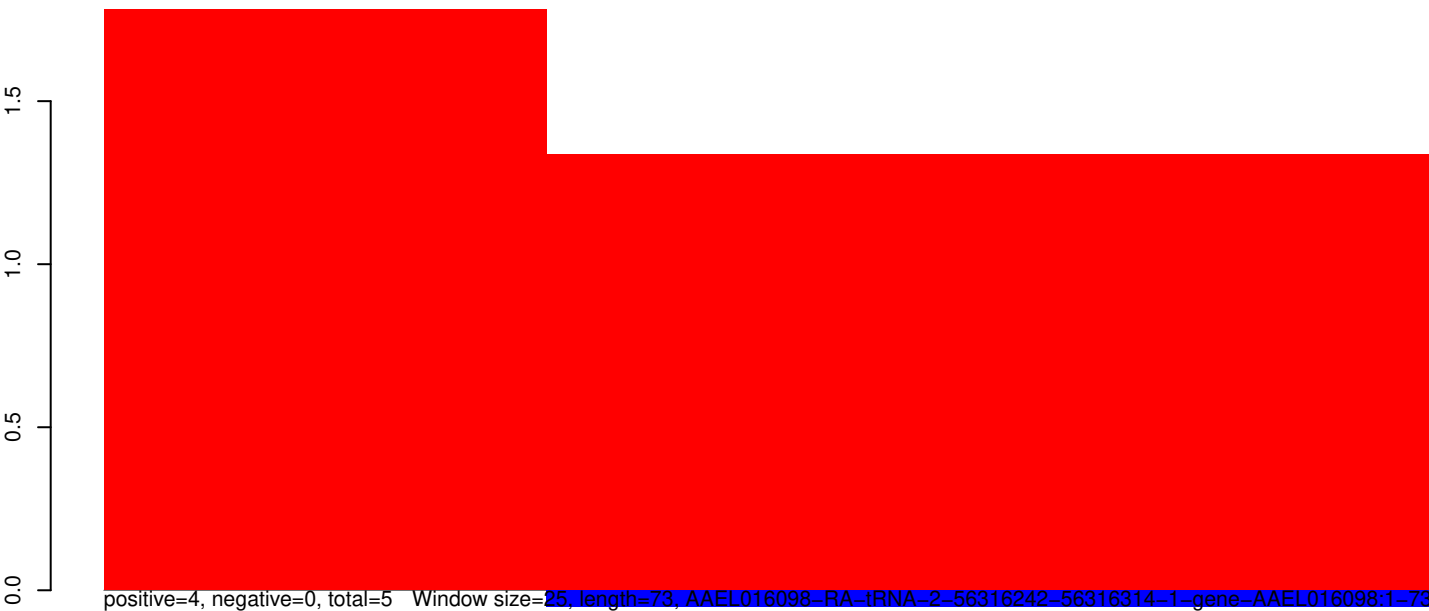
AeAeg_Aag2SINV_dsPiwi4.18_23.rep



AeAeg_Aag2SINV_dsPiwi4.24_35.rep

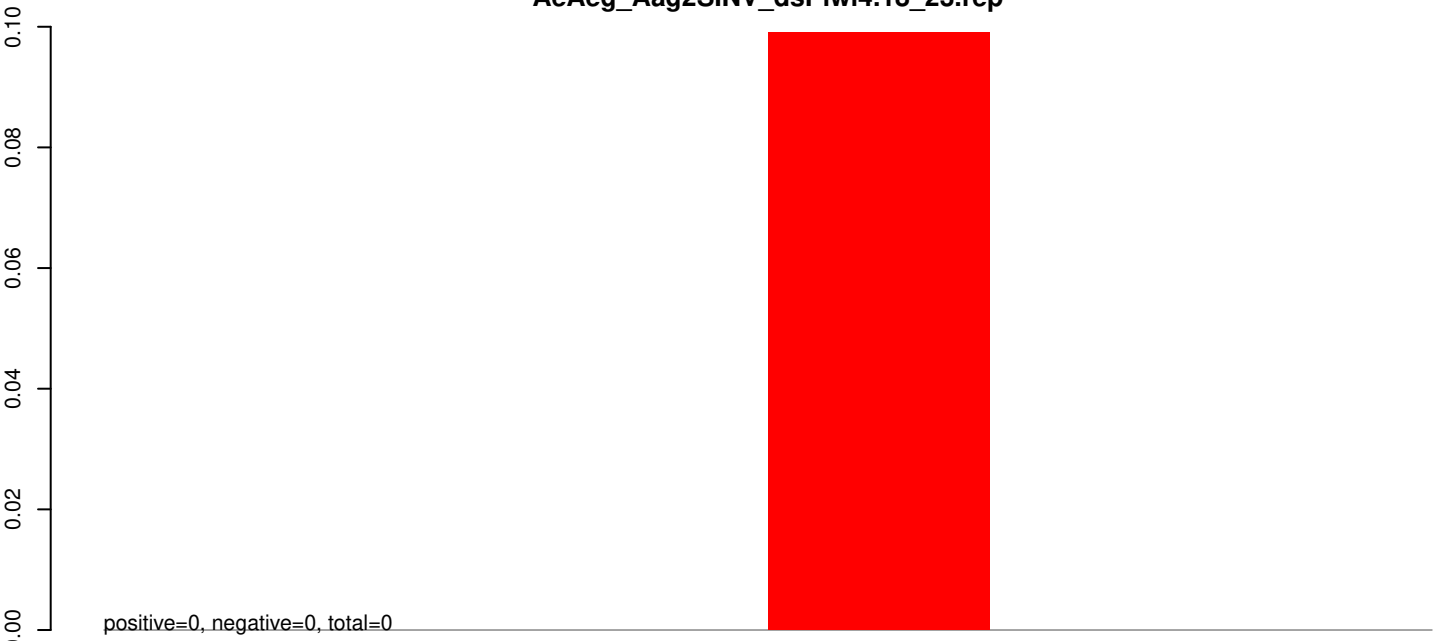


AeAeg_Aag2SINV_dsPiwi4.rep

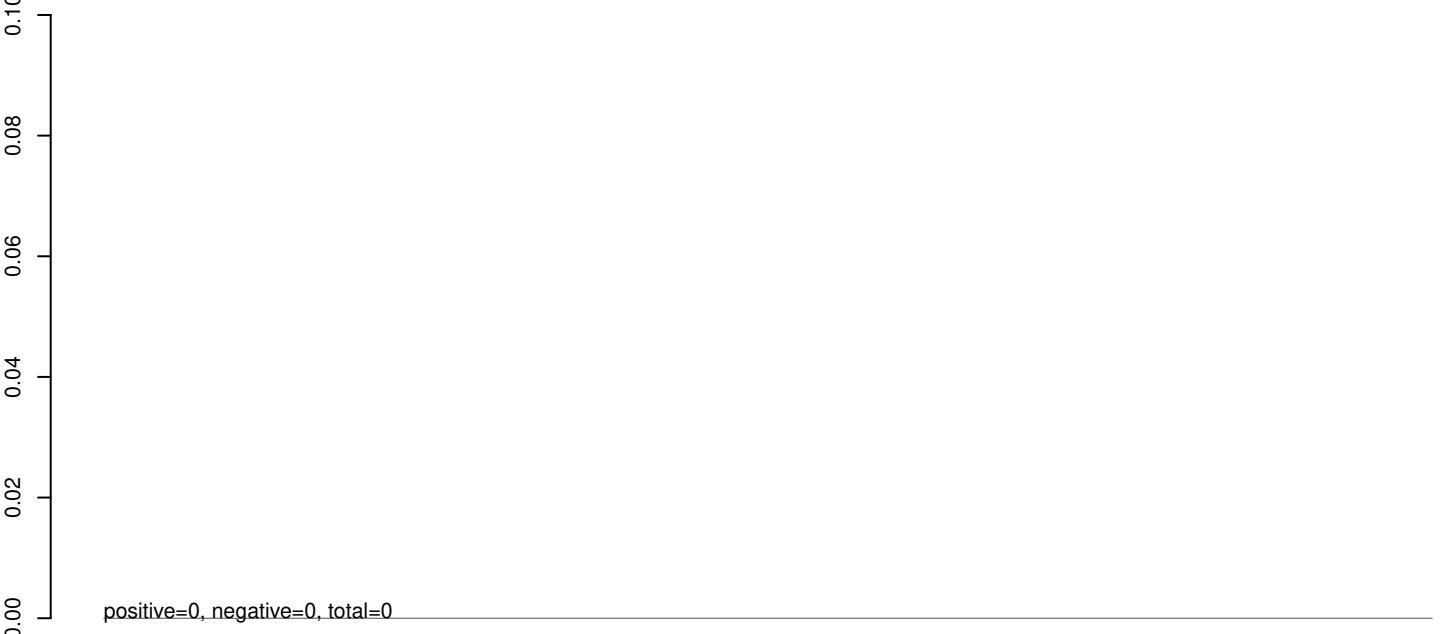


40 60 80 100

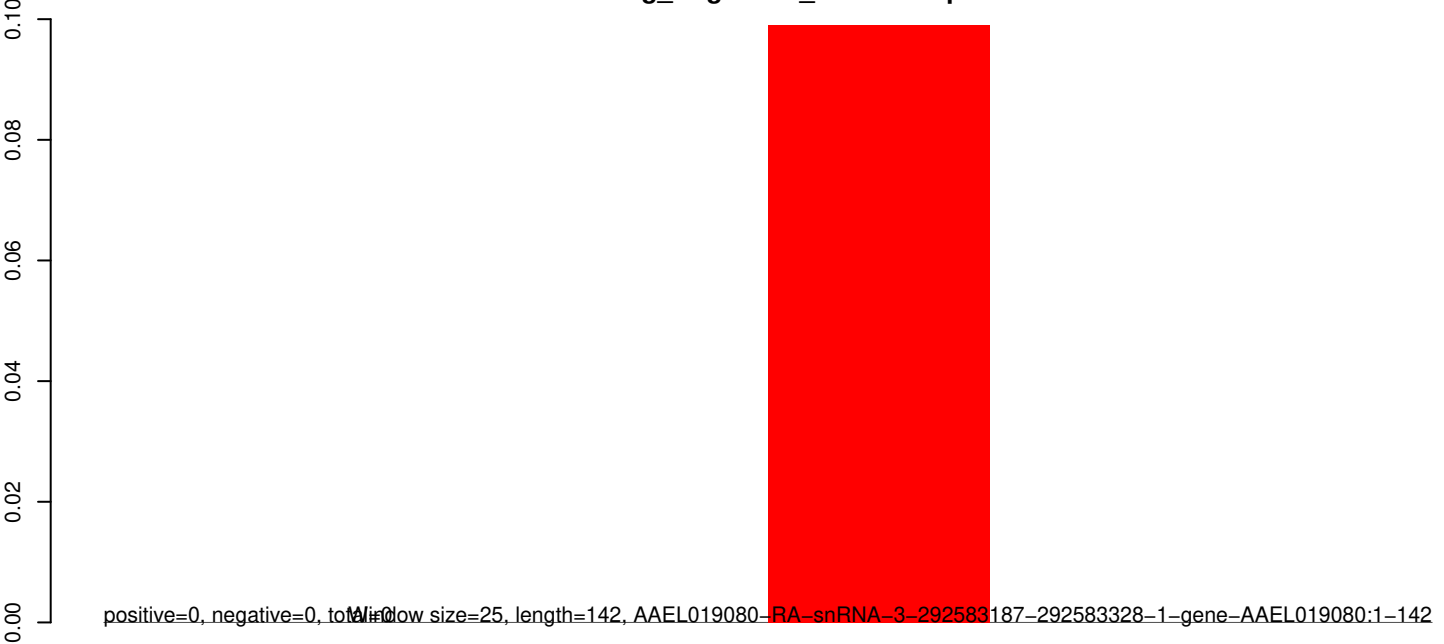
AeAeg_Aag2SINV_dsPiwi4.18_23.rep



AeAeg_Aag2SINV_dsPiwi4.24_35.rep



AeAeg_Aag2SINV_dsPiwi4.rep



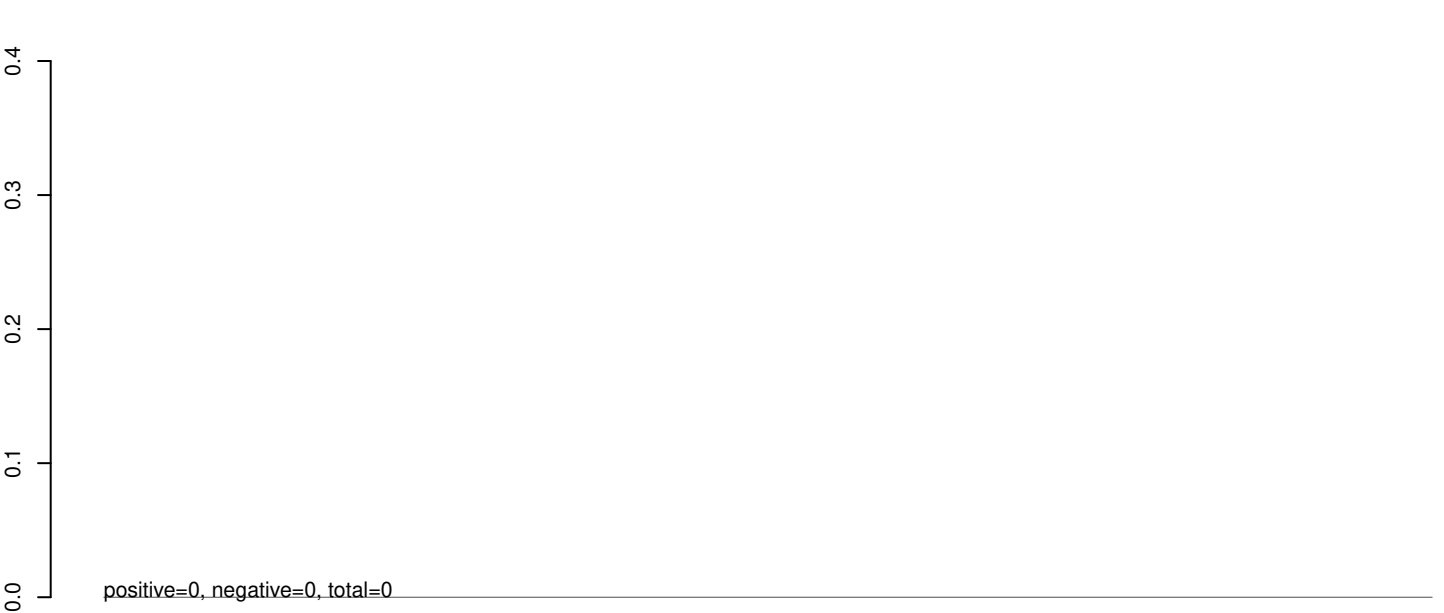
50 100 150

positive=0, negative=0, total=0, window size=25, length=142, AAEL019080-RA-siRNA-3-292583187-292583328-1-gene-AAEL019080:1-142

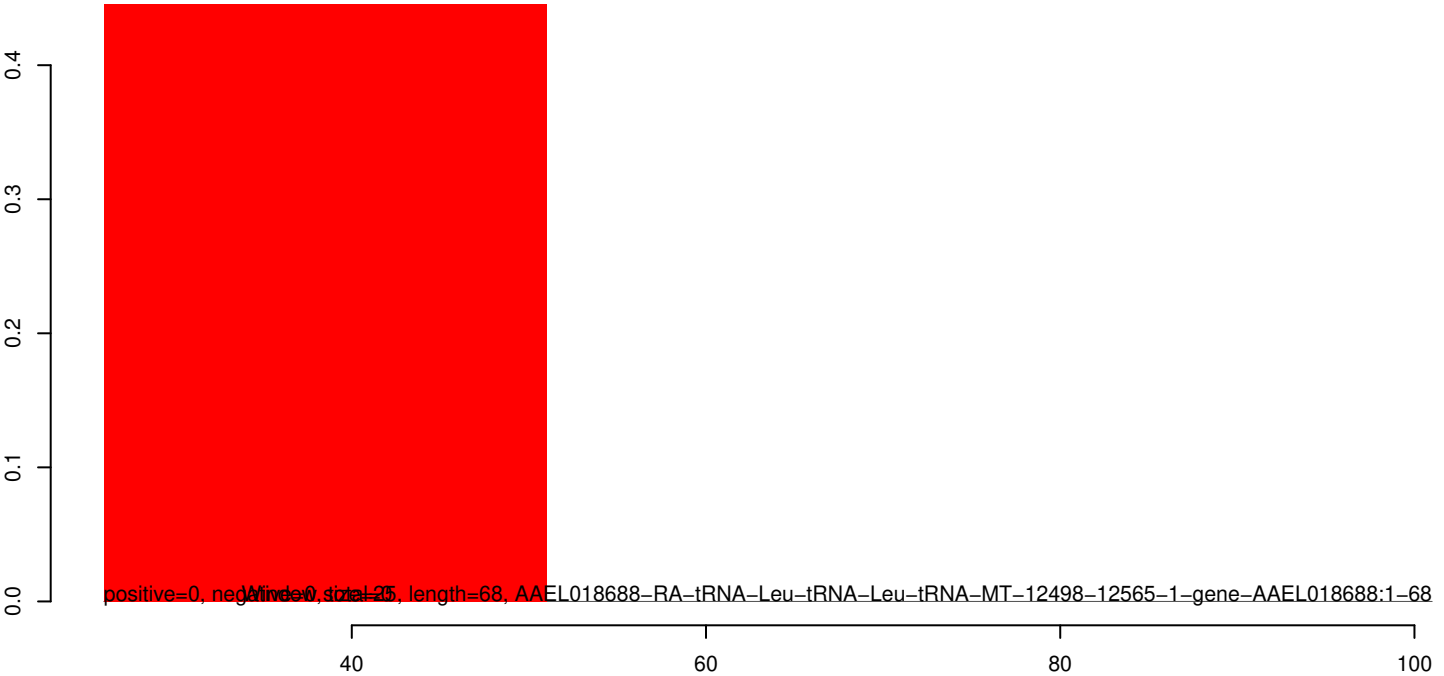
AeAeg_Aag2SINV_dsPiwi4.18_23.rep



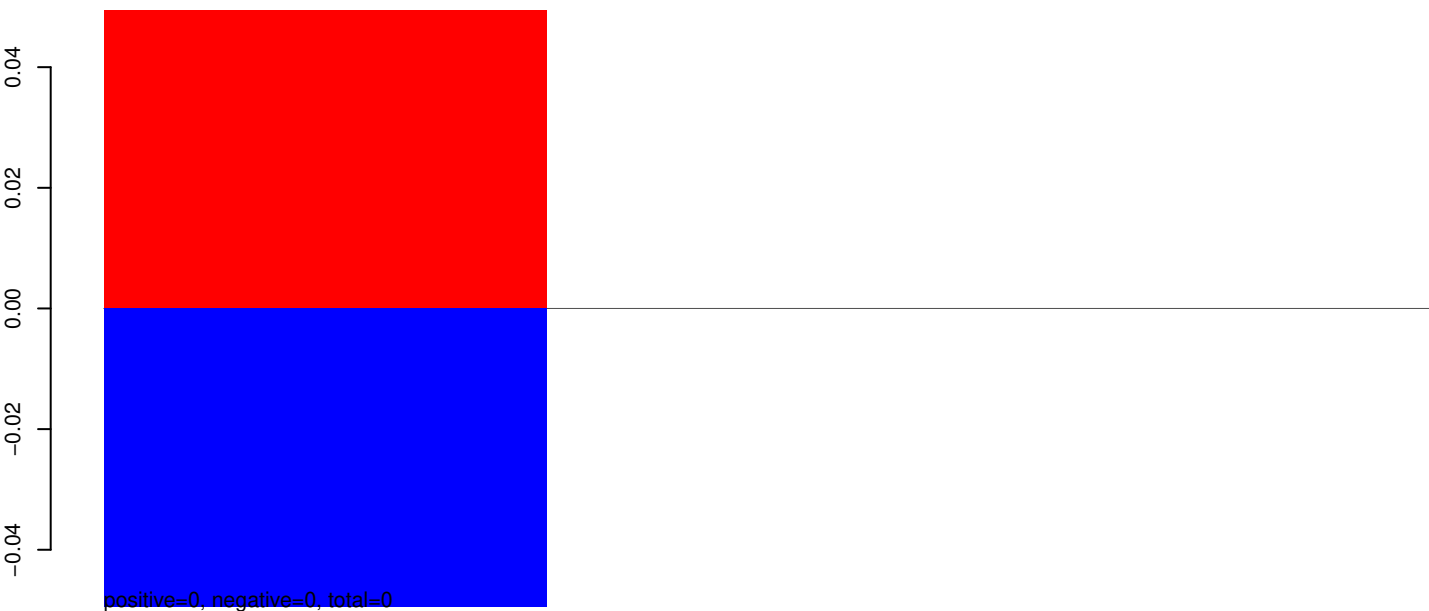
AeAeg_Aag2SINV_dsPiwi4.24_35.rep



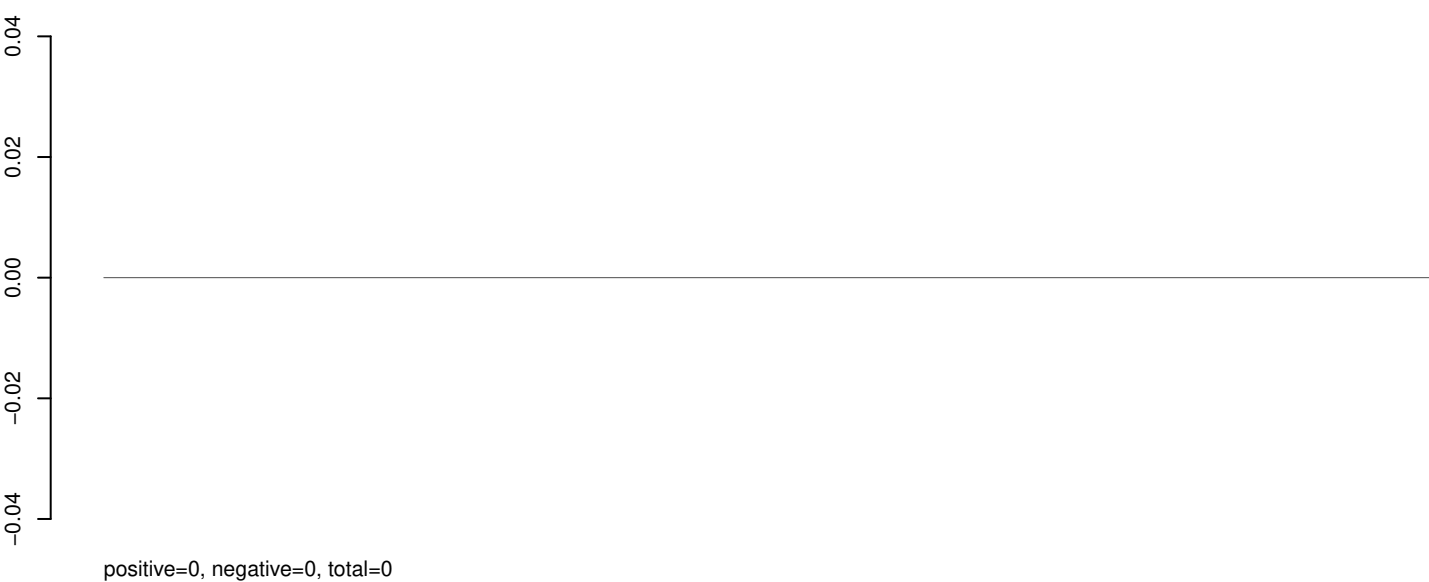
AeAeg_Aag2SINV_dsPiwi4.rep



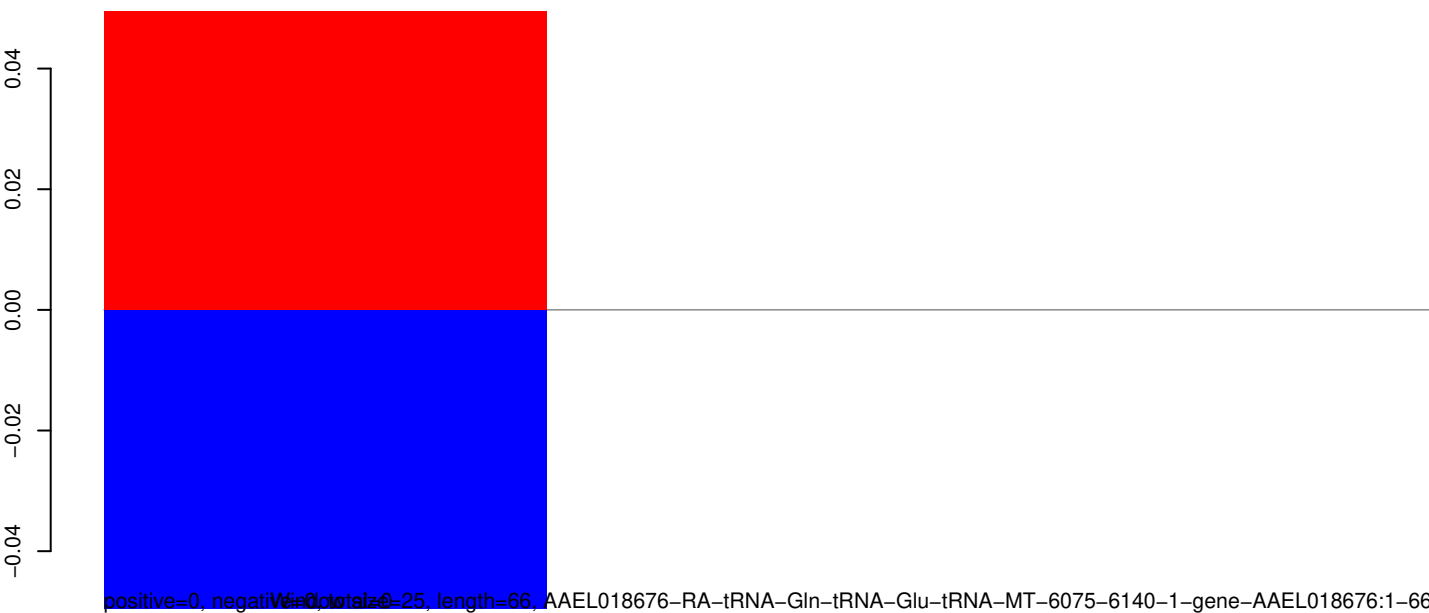
AeAeg_Aag2SINV_dsPiwi4.18_23.rep



AeAeg_Aag2SINV_dsPiwi4.24_35.rep

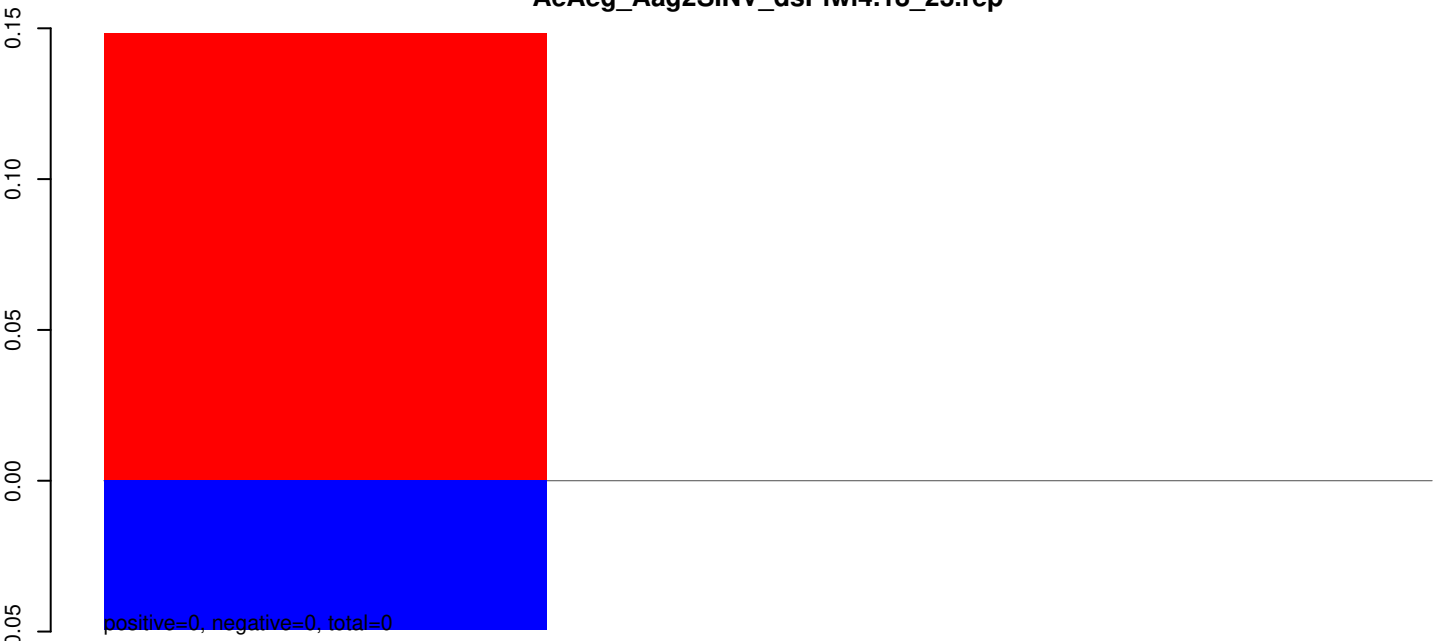


AeAeg_Aag2SINV_dsPiwi4.rep

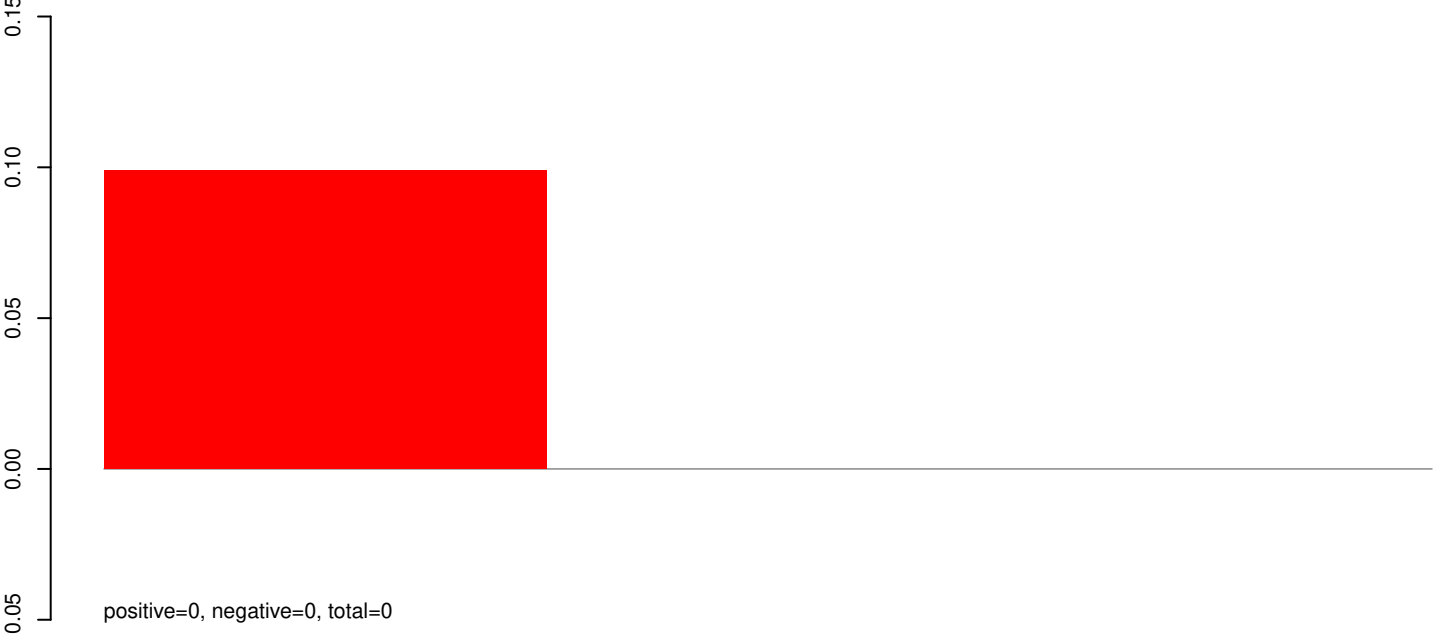


positive=0, negative=0, total=0, window size=25, length=66, AAEL018676-RA-tRNA-Gln-tRNA-Glu-tRNA-MT-6075-6140-1-gene-AAEL018676:1-66

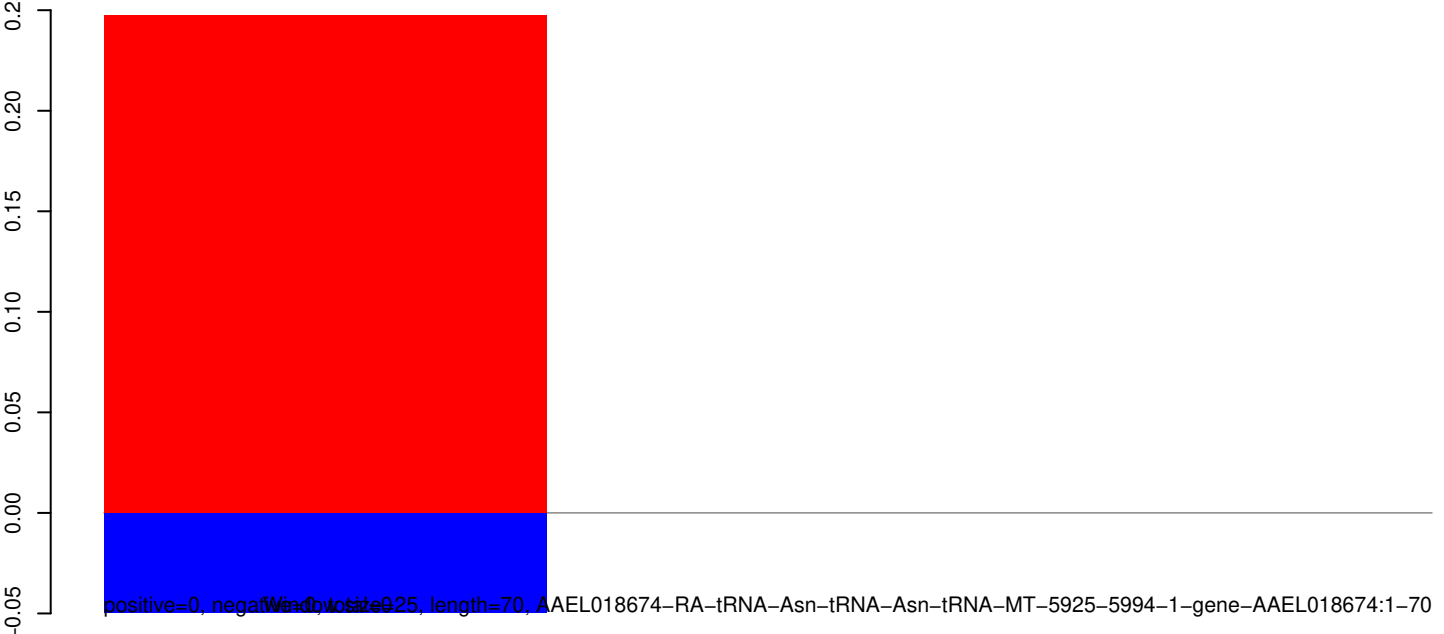
AeAeg_Aag2SINV_dsPiwi4.18_23.rep



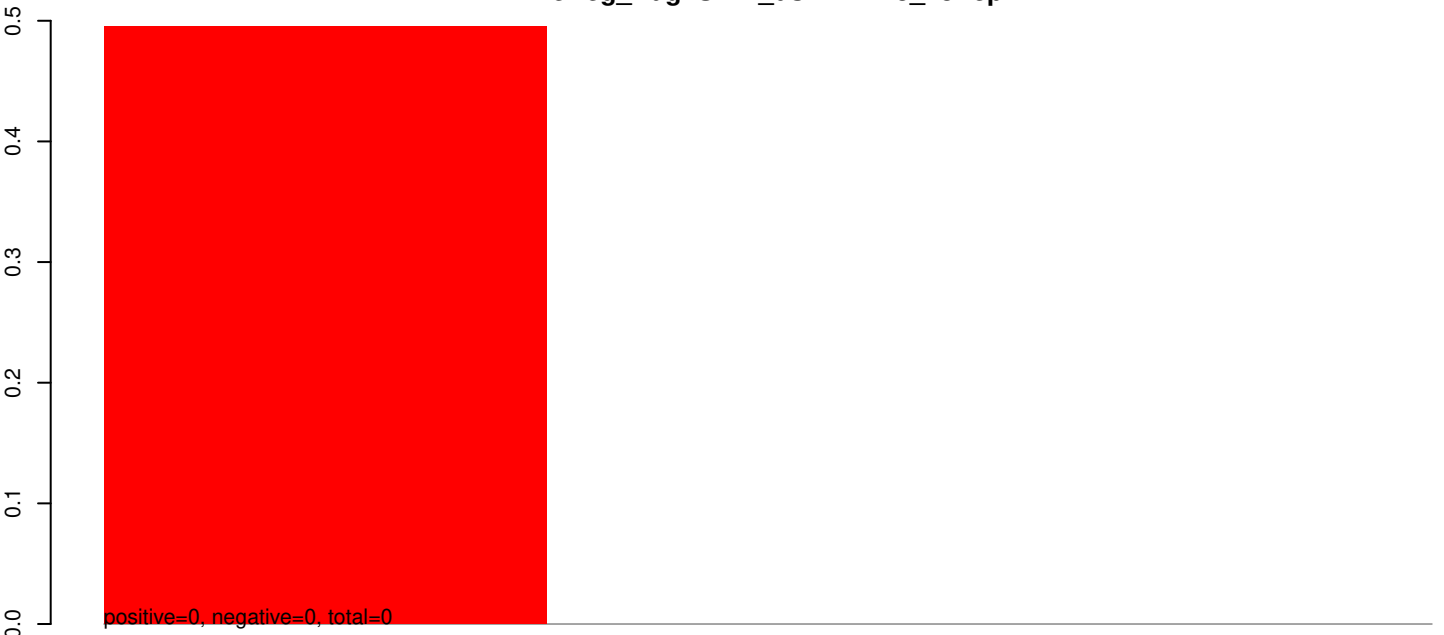
AeAeg_Aag2SINV_dsPiwi4.24_35.rep



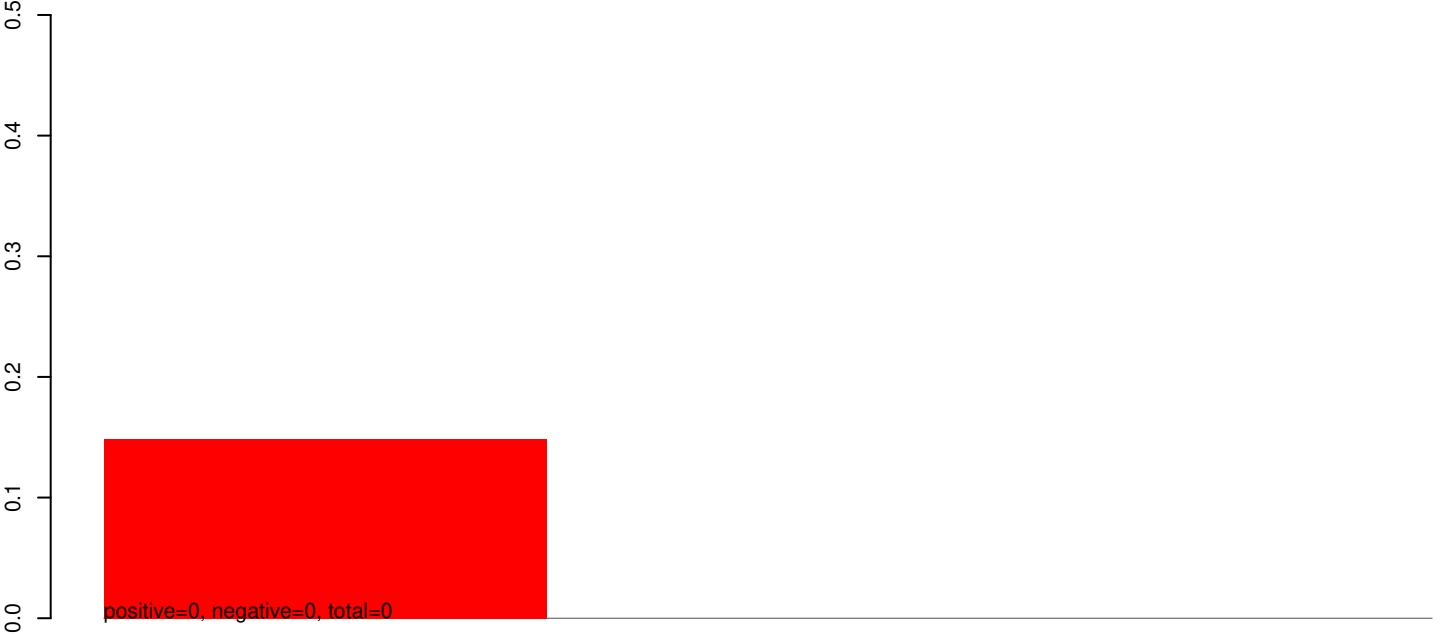
AeAeg_Aag2SINV_dsPiwi4.rep



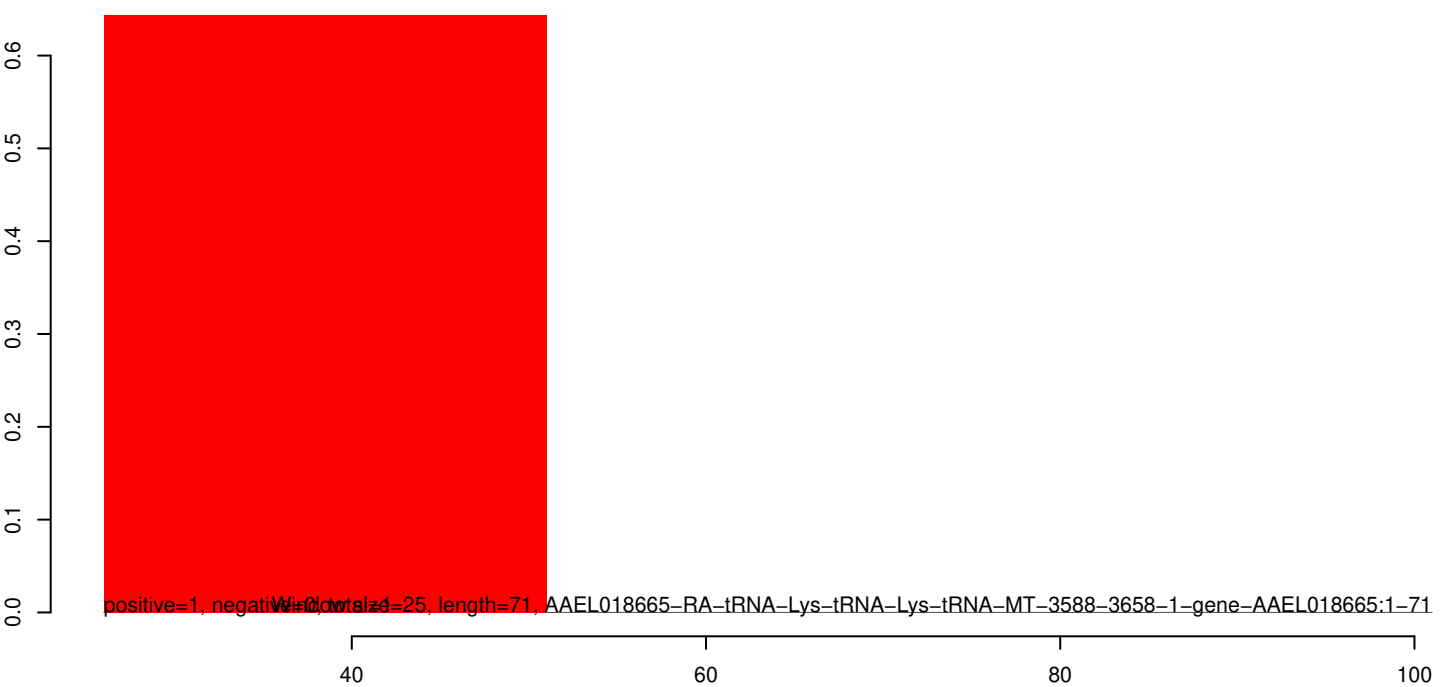
AeAeg_Aag2SINV_dsPiwi4.18_23.rep



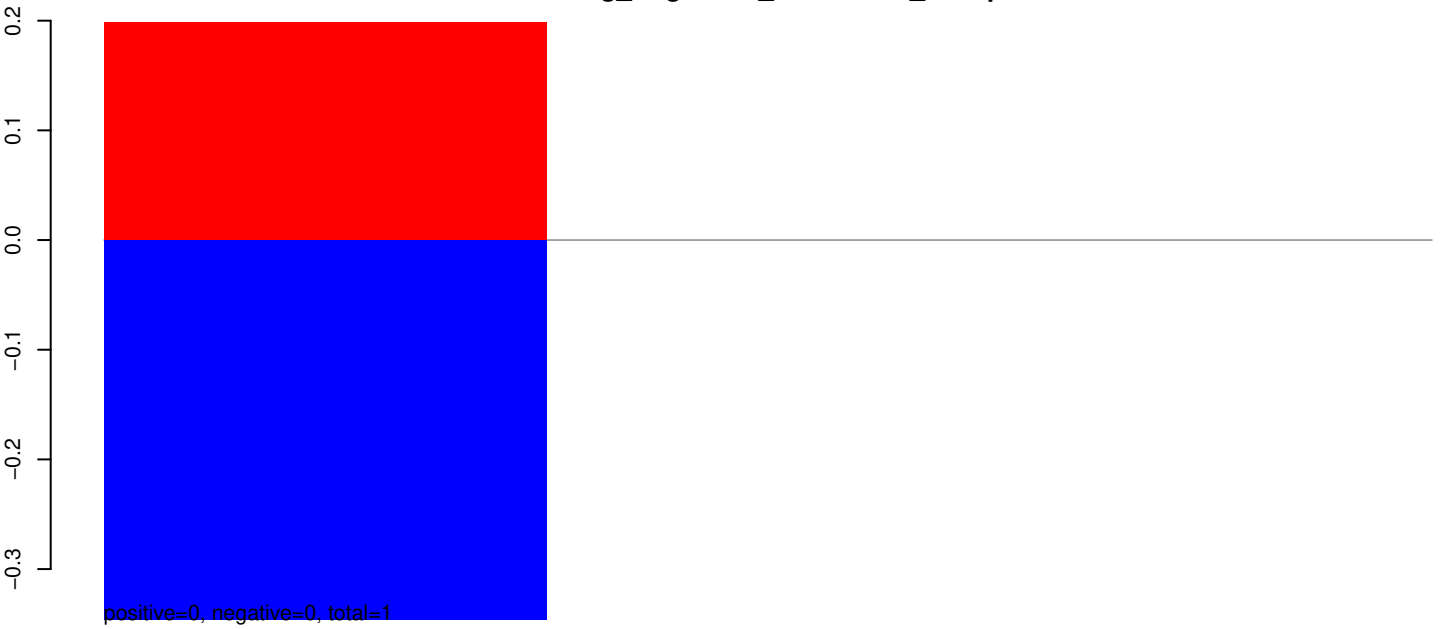
AeAeg_Aag2SINV_dsPiwi4.24_35.rep



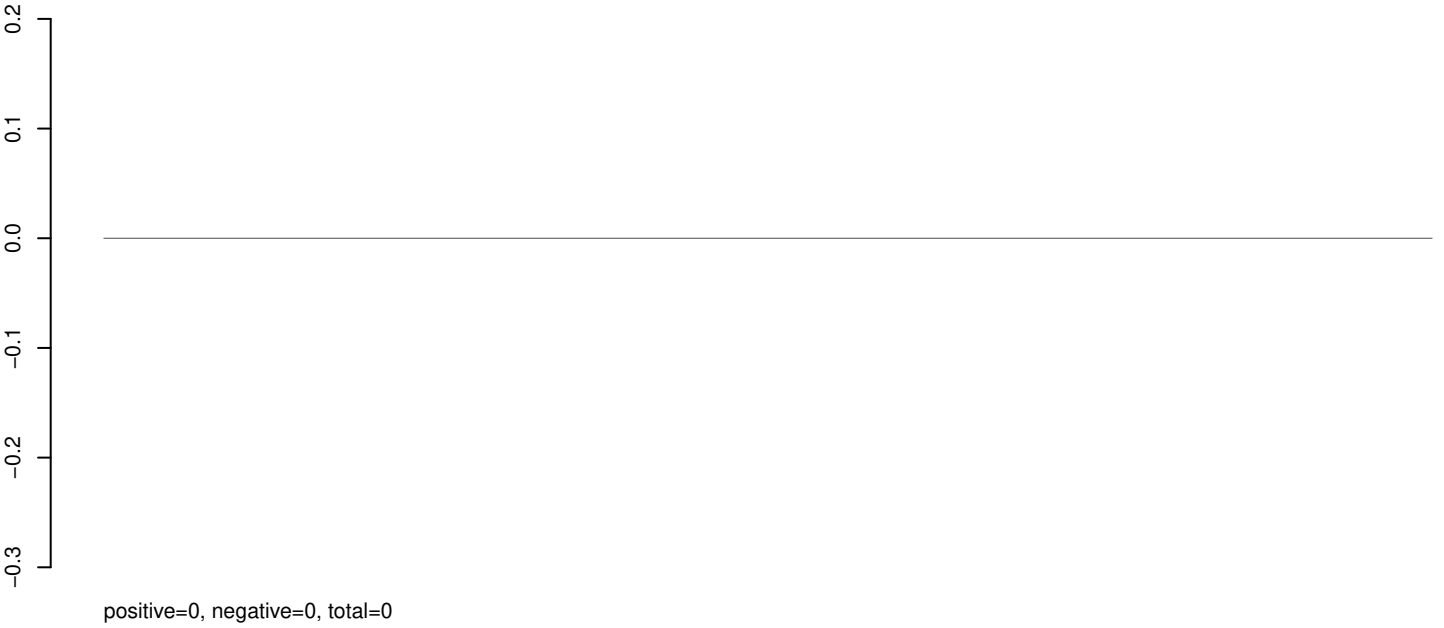
AeAeg_Aag2SINV_dsPiwi4.rep



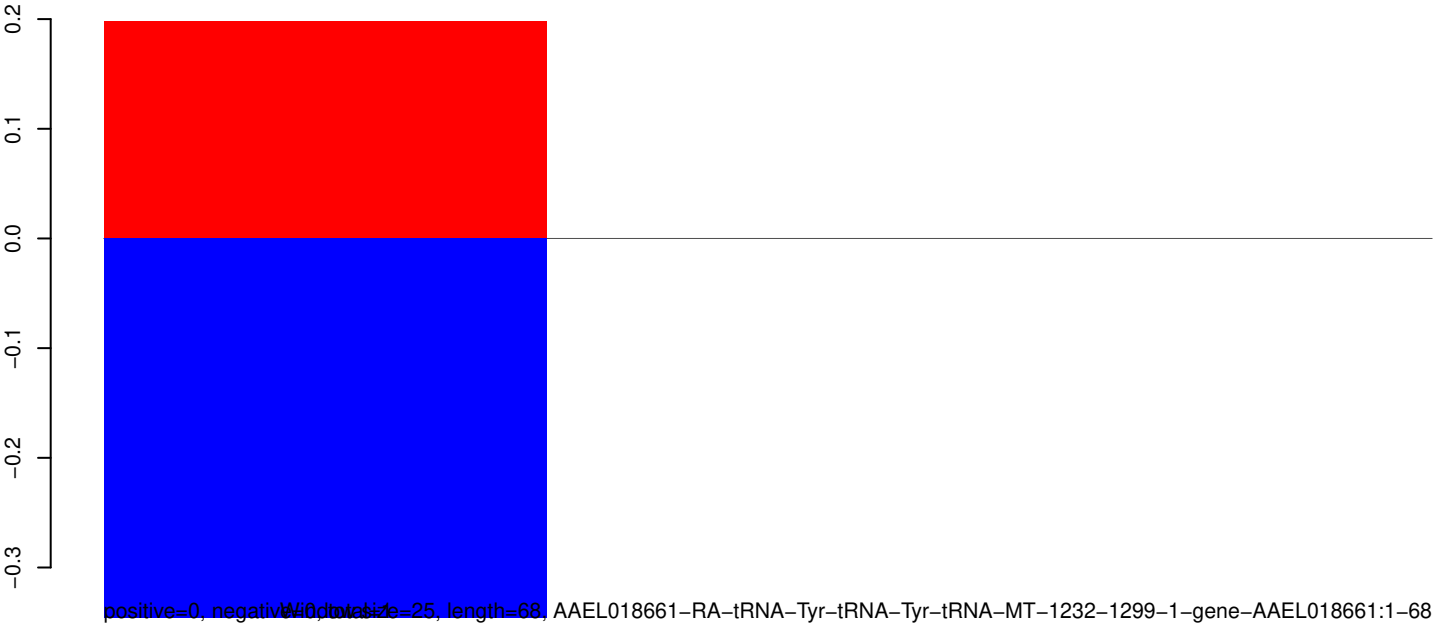
AeAeg_Aag2SINV_dsPiwi4.18_23.rep



AeAeg_Aag2SINV_dsPiwi4.24_35.rep



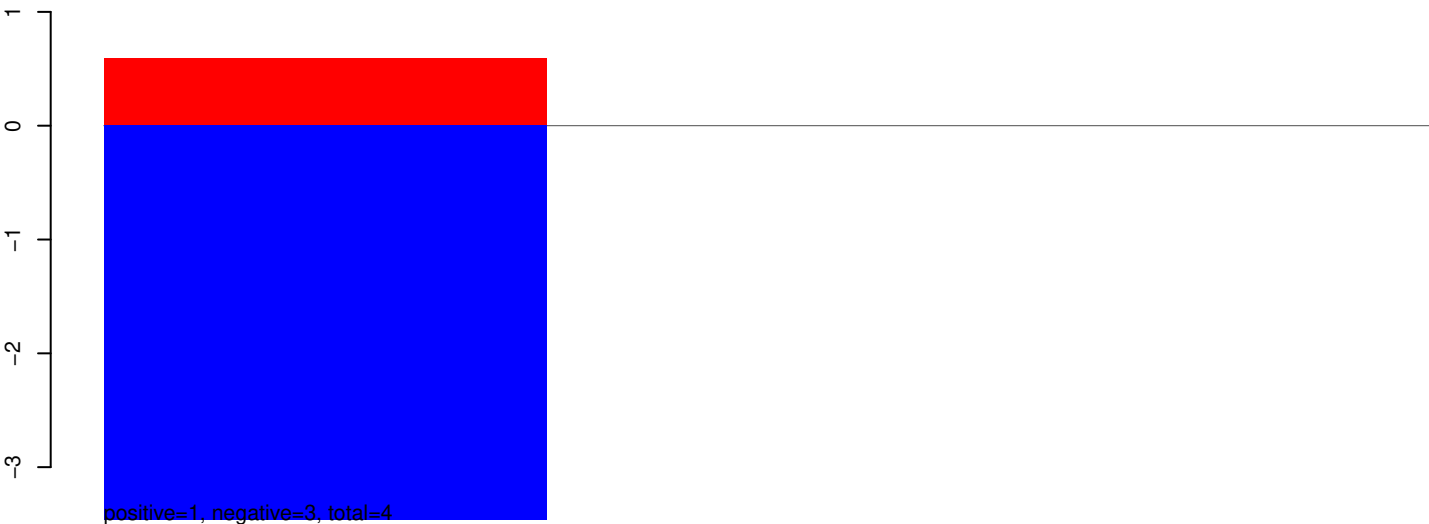
AeAeg_Aag2SINV_dsPiwi4.rep



AAEL018661-RA-tRNA-Tyr-tRNA-Tyr-tRNA-MT-1232-1299-1-gene-AAEL018661:1-68

40 60 80 100

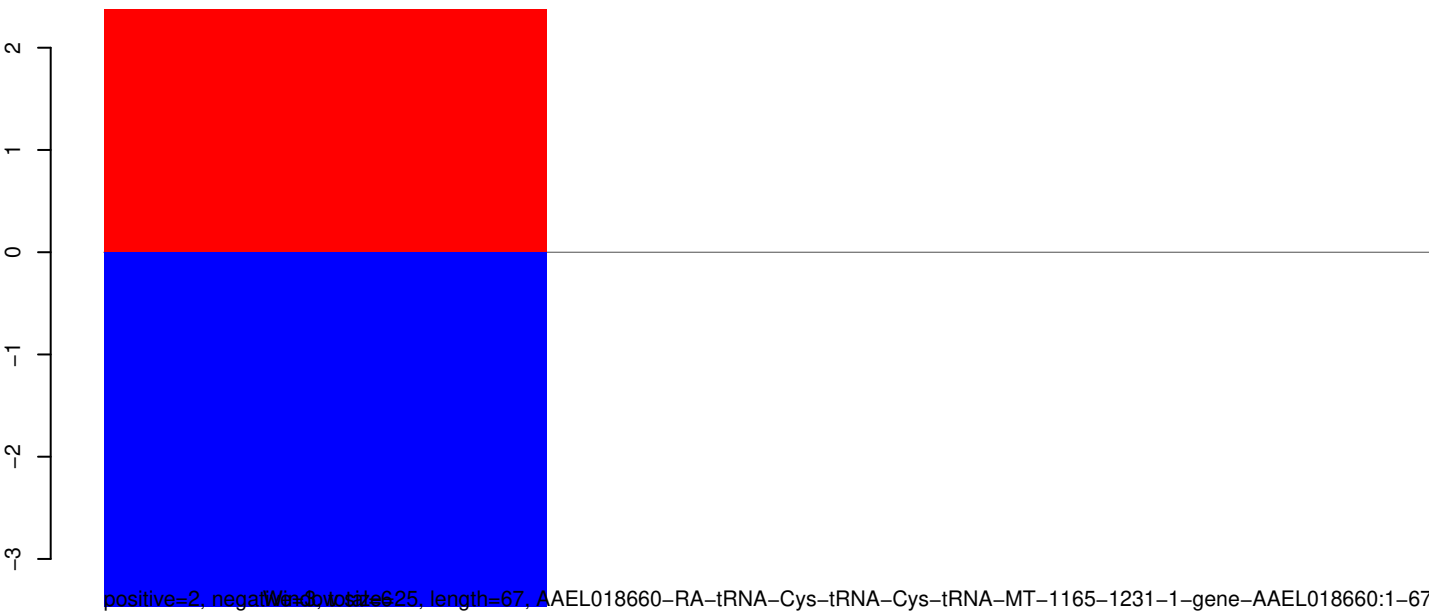
AeAeg_Aag2SINV_dsPiwi4.18_23.rep



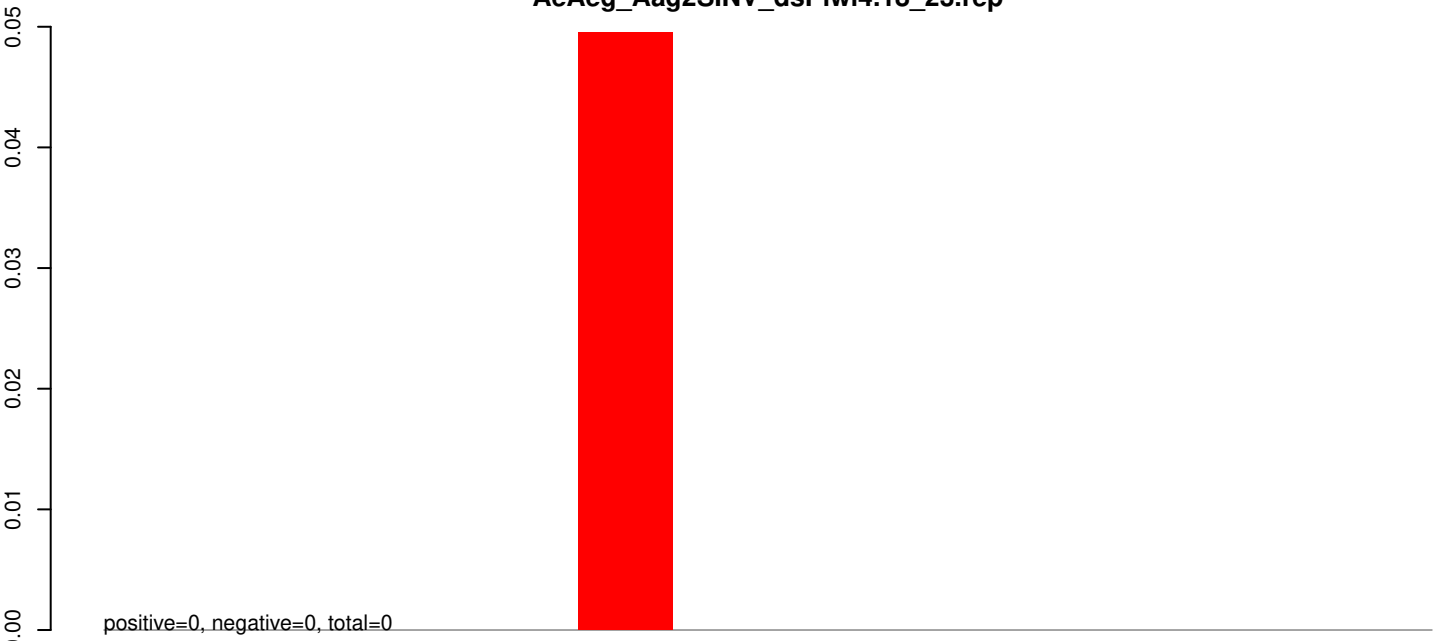
AeAeg_Aag2SINV_dsPiwi4.24_35.rep



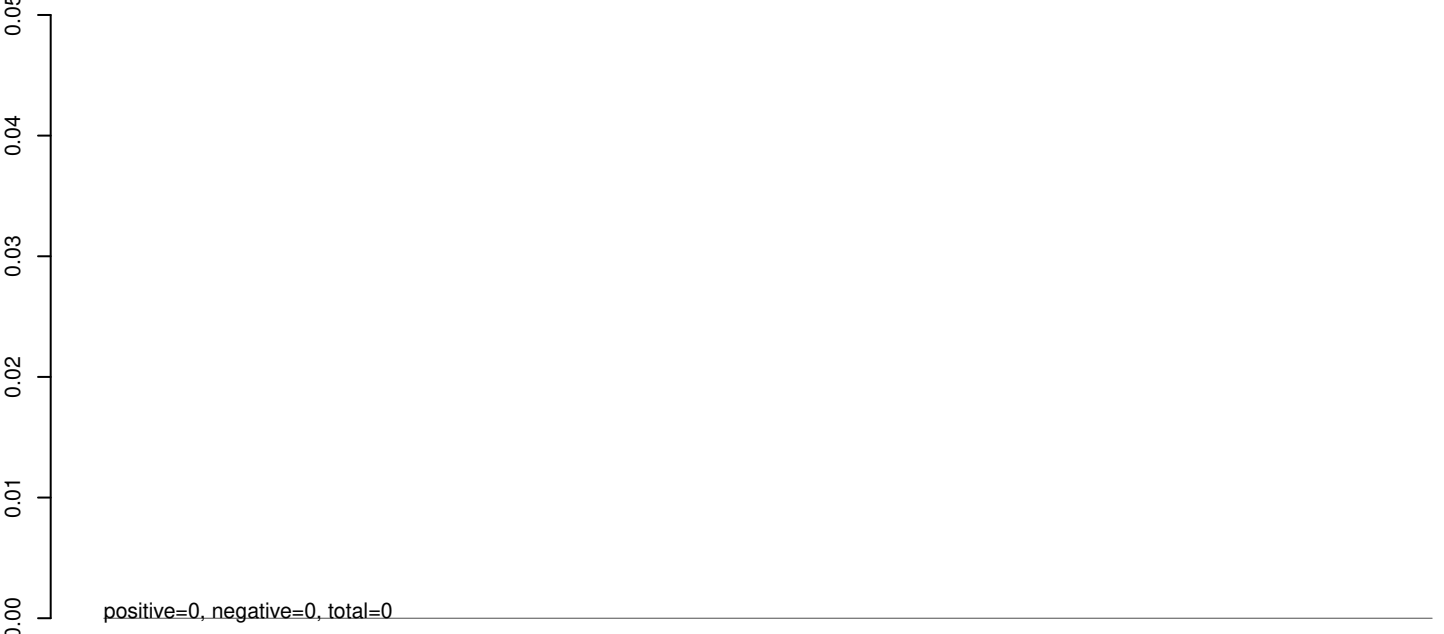
AeAeg_Aag2SINV_dsPiwi4.rep



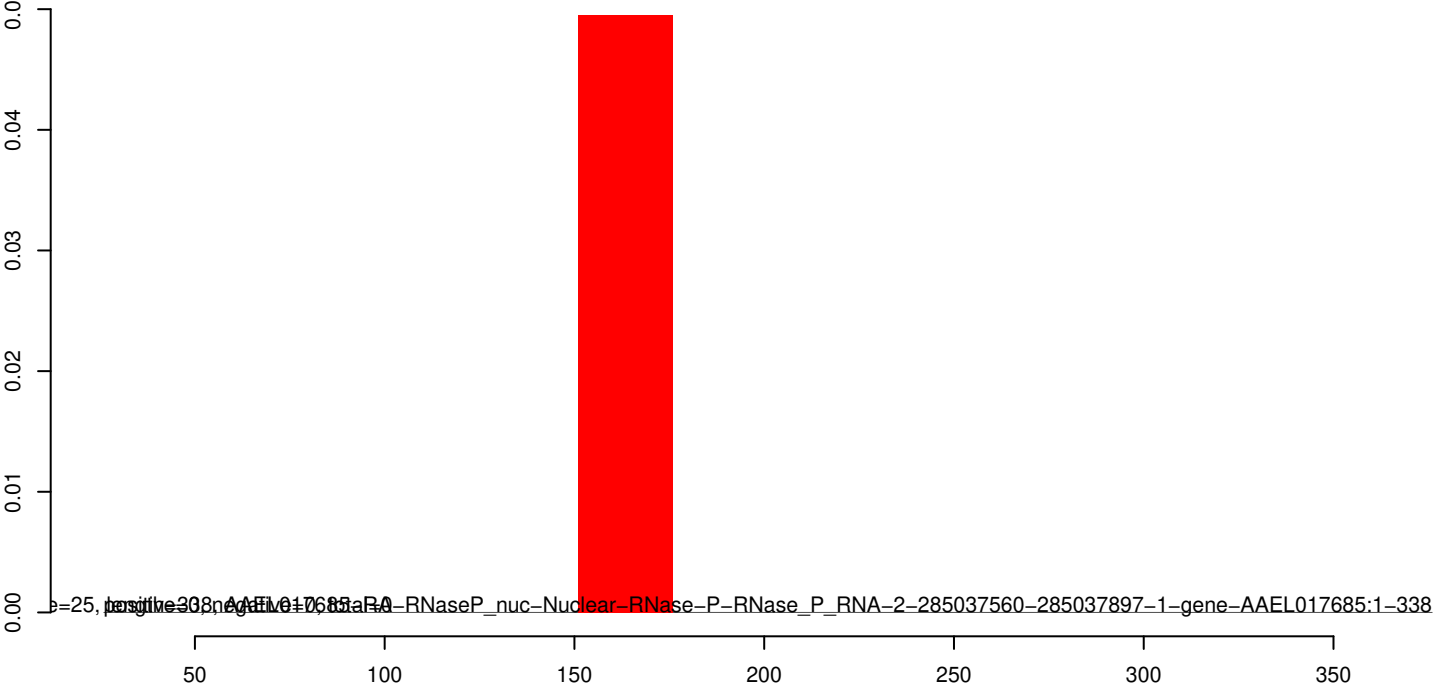
AeAeg_Aag2SINV_dsPiwi4.18_23.rep



AeAeg_Aag2SINV_dsPiwi4.24_35.rep



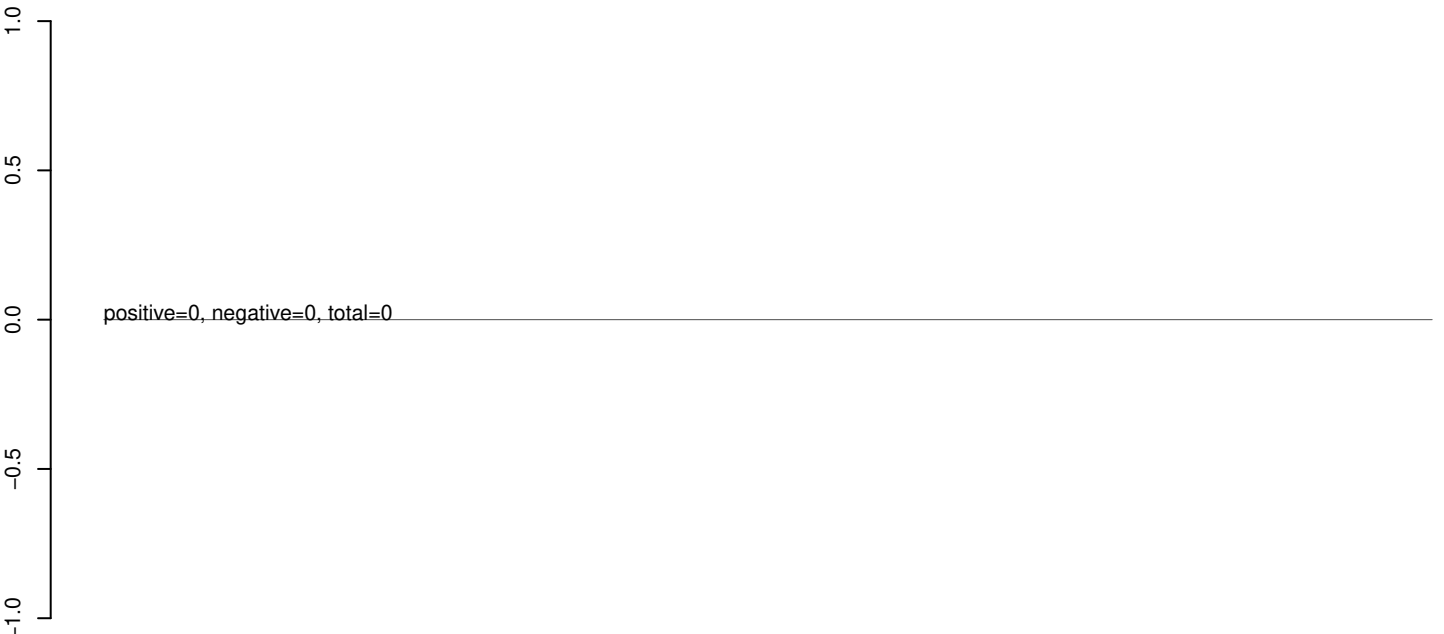
AeAeg_Aag2SINV_dsPiwi4.rep



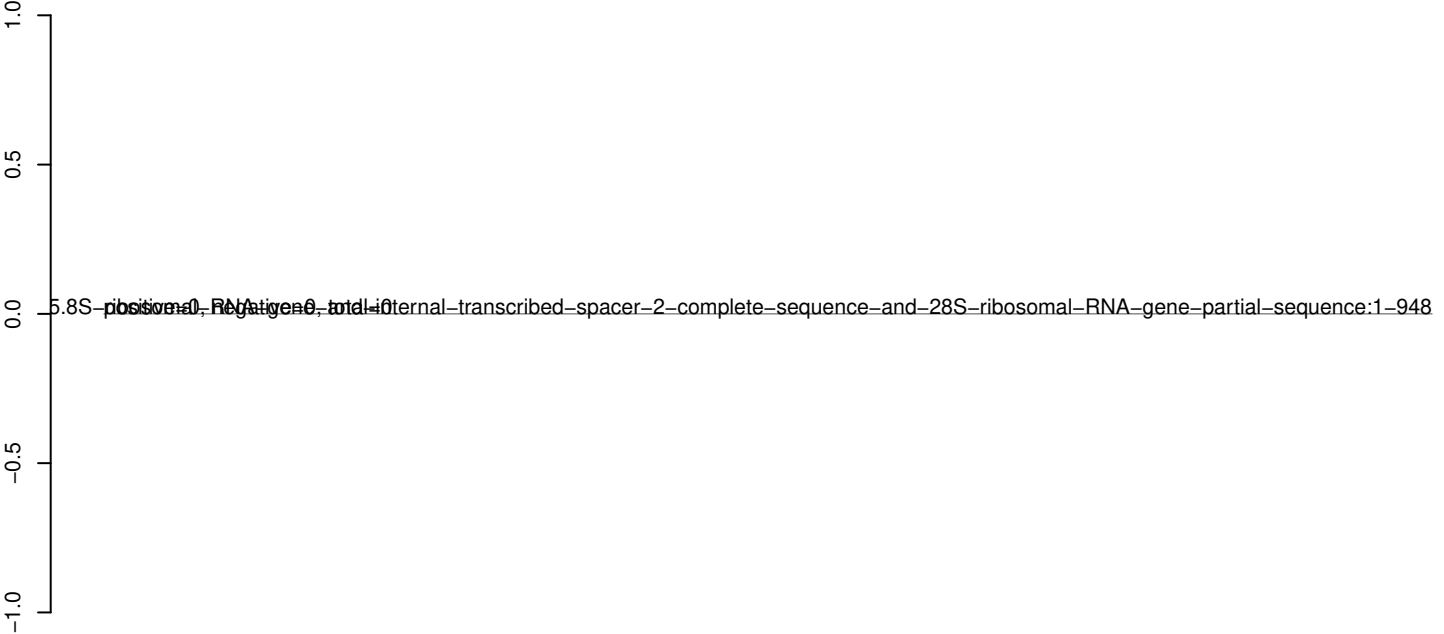
AeAeg_Aag2SINV_dsPiwi4.18_23.rep



AeAeg_Aag2SINV_dsPiwi4.24_35.rep



AeAeg_Aag2SINV_dsPiwi4.rep



0 200 400 600 800 1000

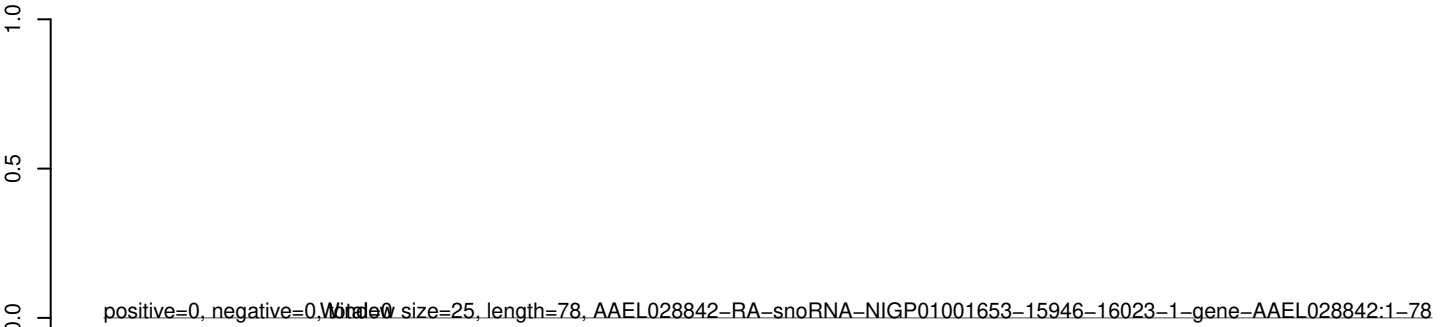
AeAeg_Aag2SINV_dsPiwi4.18_23.rep



AeAeg_Aag2SINV_dsPiwi4.24_35.rep



AeAeg_Aag2SINV_dsPiwi4.rep



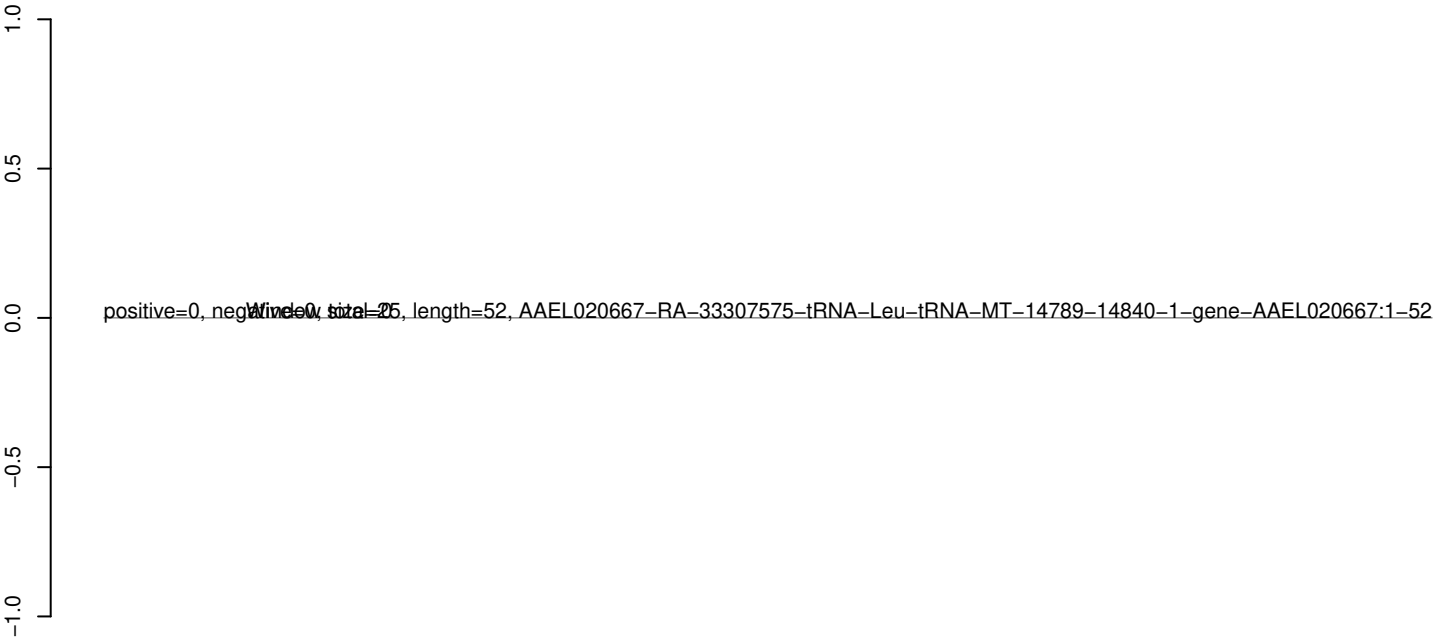
AeAeg_Aag2SINV_dsPiwi4.18_23.rep



AeAeg_Aag2SINV_dsPiwi4.24_35.rep



AeAeg_Aag2SINV_dsPiwi4.rep



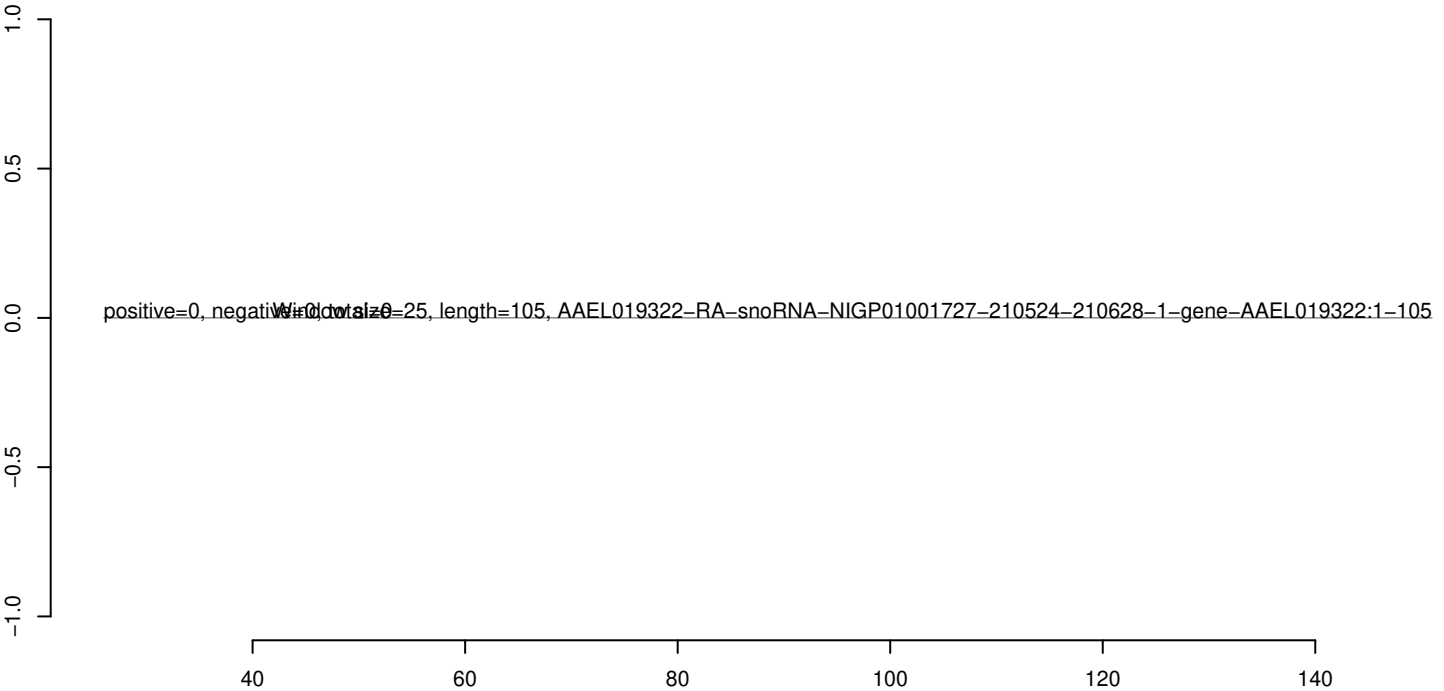
AeAeg_Aag2SINV_dsPiwi4.18_23.rep



AeAeg_Aag2SINV_dsPiwi4.24_35.rep



AeAeg_Aag2SINV_dsPiwi4.rep



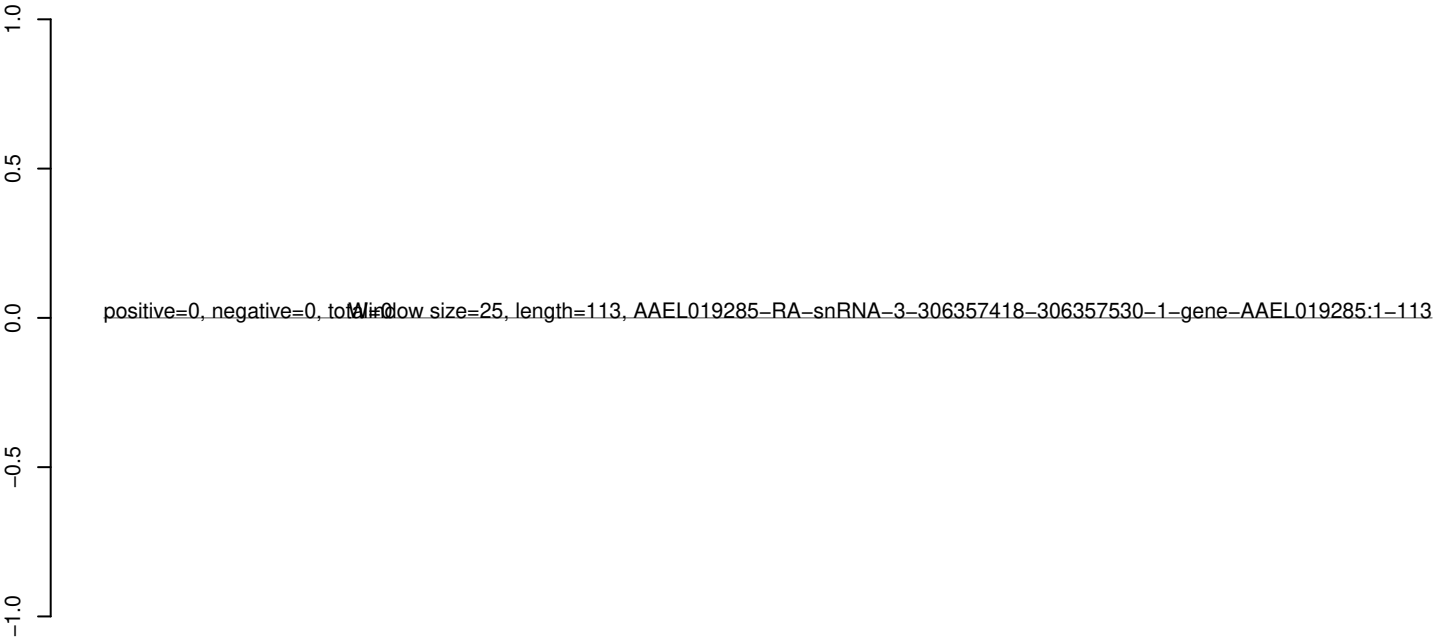
AeAeg_Aag2SINV_dsPiwi4.18_23.rep



AeAeg_Aag2SINV_dsPiwi4.24_35.rep

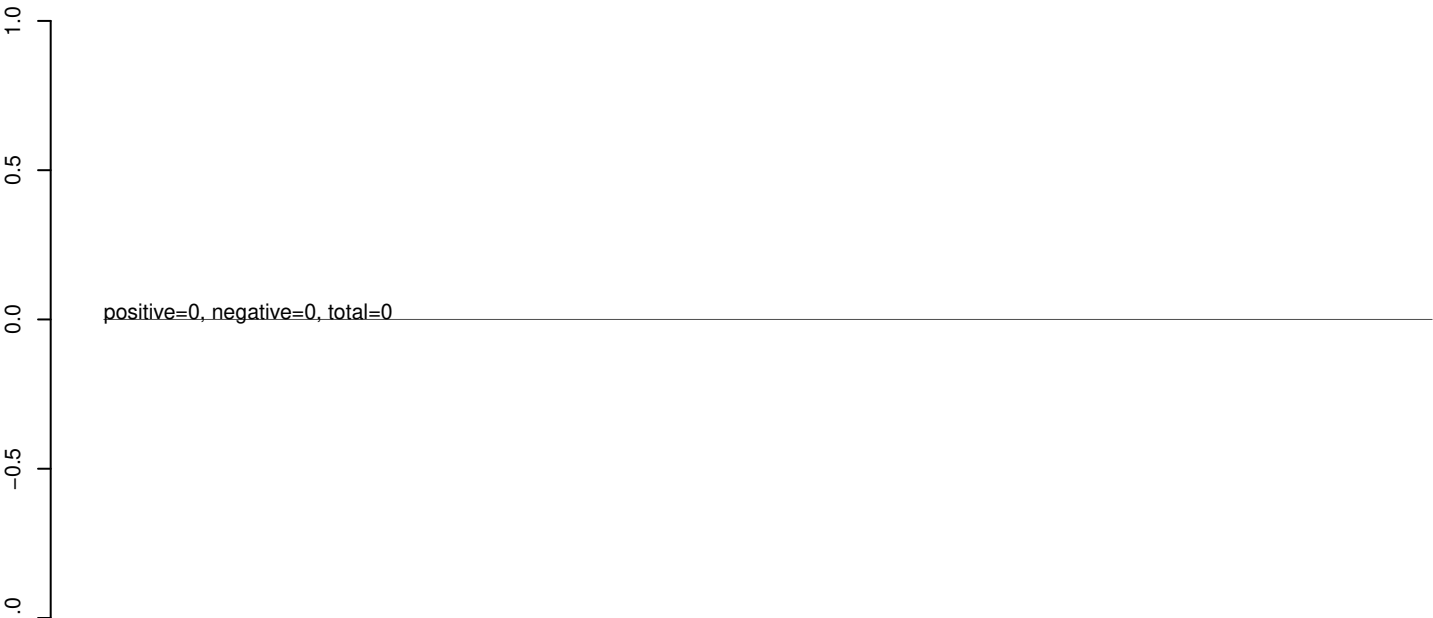


AeAeg_Aag2SINV_dsPiwi4.rep

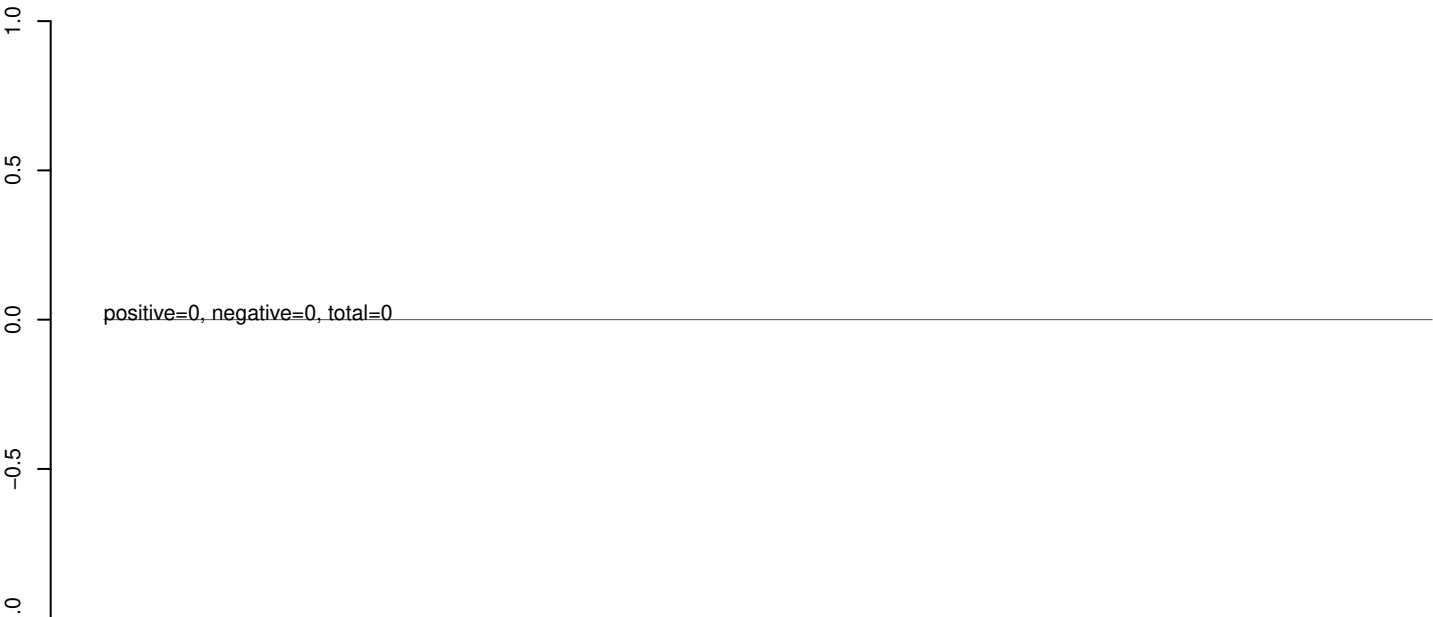


40 60 80 100 120 140

AeAeg_Aag2SINV_dsPiwi4.18_23.rep



AeAeg_Aag2SINV_dsPiwi4.24_35.rep



AeAeg_Aag2SINV_dsPiwi4.rep

